

Arquitectura: EfficientNetB0

Entrenamiento: Fine Tuning

Transformación de entrenamiento: Brillo

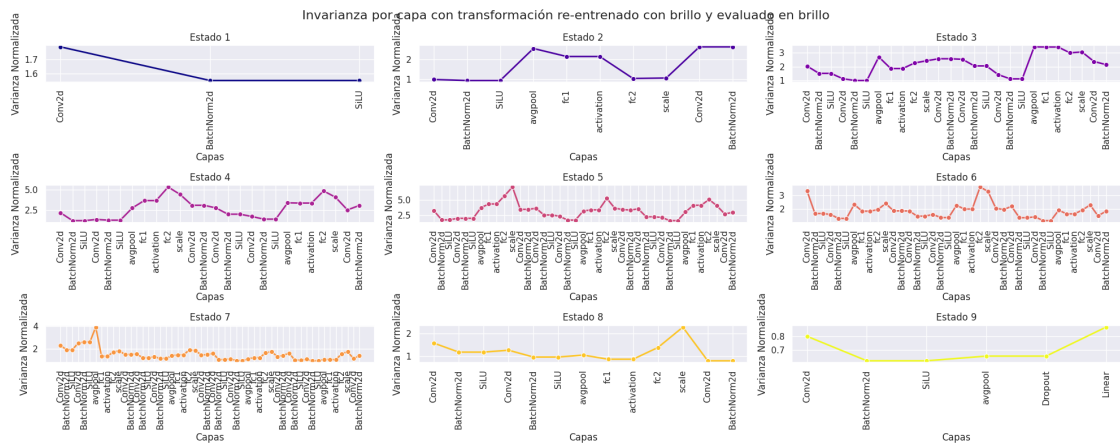


Figura 1: Arquitectura EfficientNetB0, entrenada con enfoque Fine Tuning y transformación Brillo, invarianza evaluada con Brillo

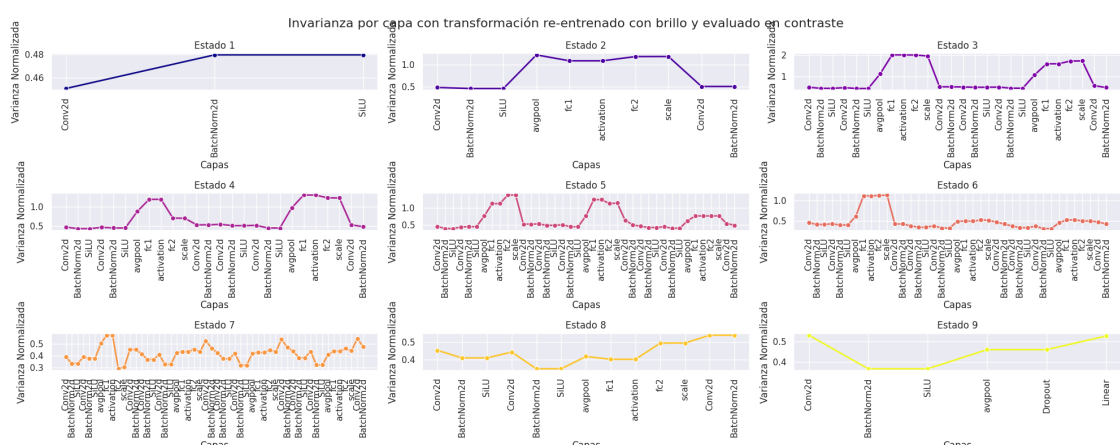


Figura 2: Arquitectura EfficientNetB0, entrenada con enfoque Fine Tuning y transformación Brillo, invarianza evaluada con Contraste

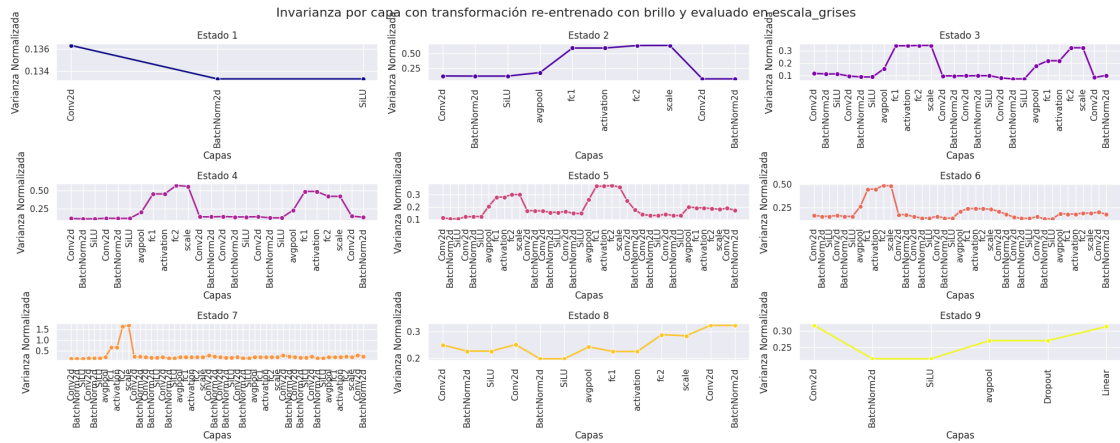


Figura 3: Arquitectura EfficientNetB0, entrenada con enfoque Fine Tuning y transformación Brillo, invarianza evaluada con escala de grises

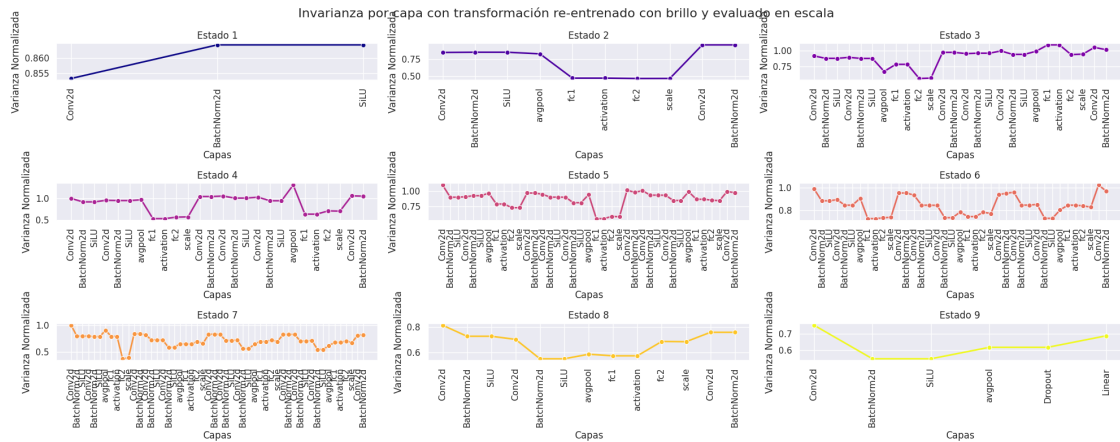


Figura 4: Arquitectura EfficientNetB0, entrenada con enfoque Fine Tuning y transformación Brillo, invarianza evaluada con Escala

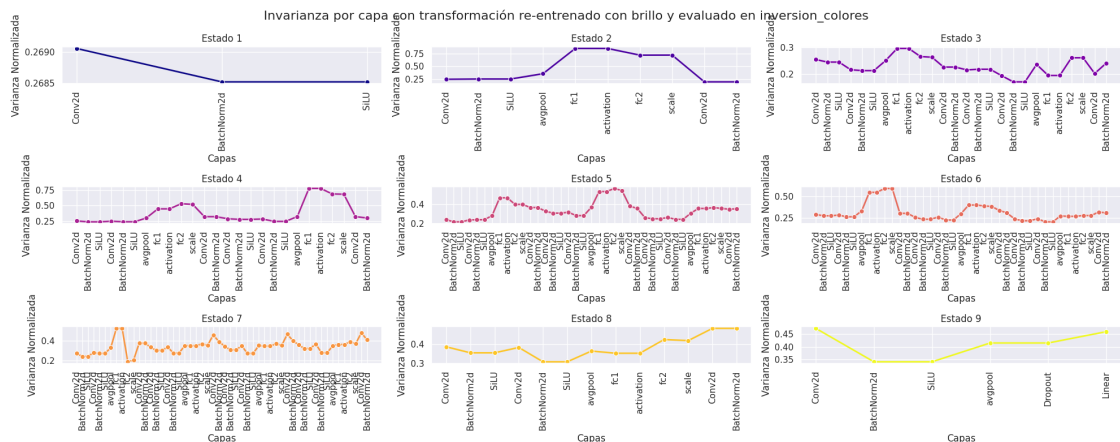


Figura 5: Arquitectura EfficientNetB0, entrenada con enfoque Fine Tuning y transformación Brillo, invarianza evaluada con inversion de colores

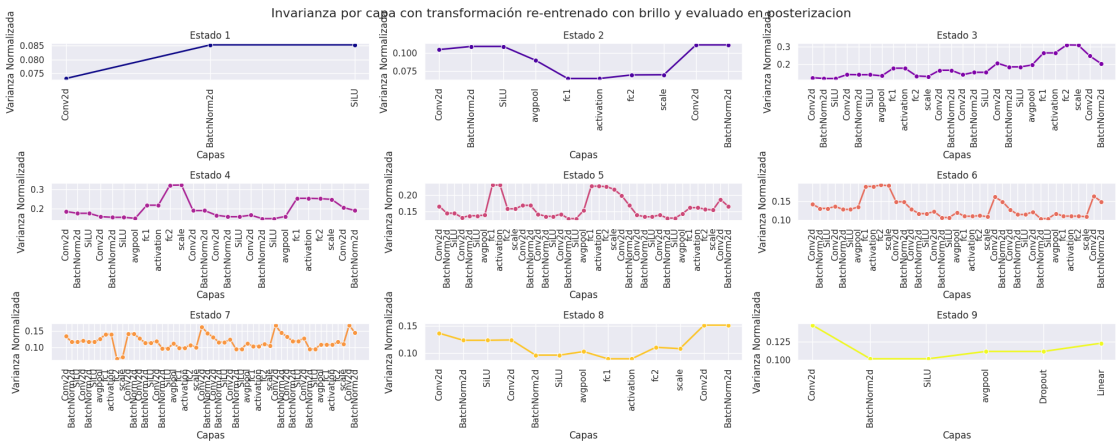


Figura 6: Arquitectura EfficientNetB0, entrenada con enfoque Fine Tuning y transformación Brillo, invarianza evaluada con Posterizacion

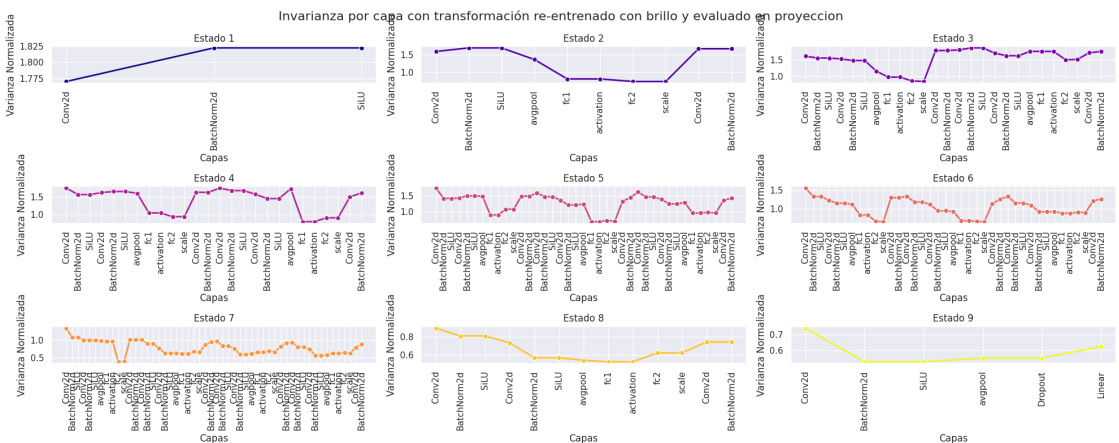


Figura 7: Arquitectura EfficientNetB0, entrenada con enfoque Fine Tuning y transformación Brillo, invarianza evaluada con Proyeccion

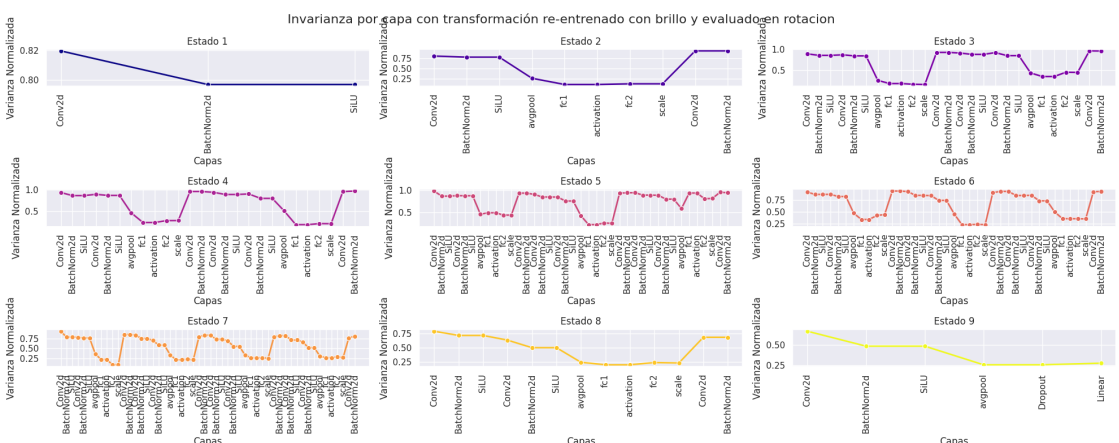


Figura 8: Arquitectura EfficientNetB0, entrenada con enfoque Fine Tuning y transformación Brillo, invarianza evaluada con Rotacion

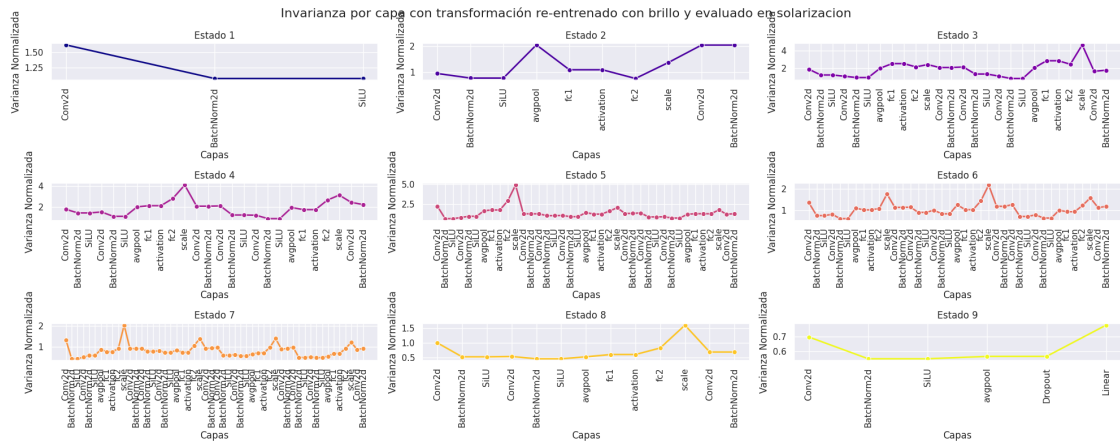


Figura 9: Arquitectura EfficientNetB0, entrenada con enfoque Fine Tuning y transformación Brillo, invarianza evaluada con Solarizacion

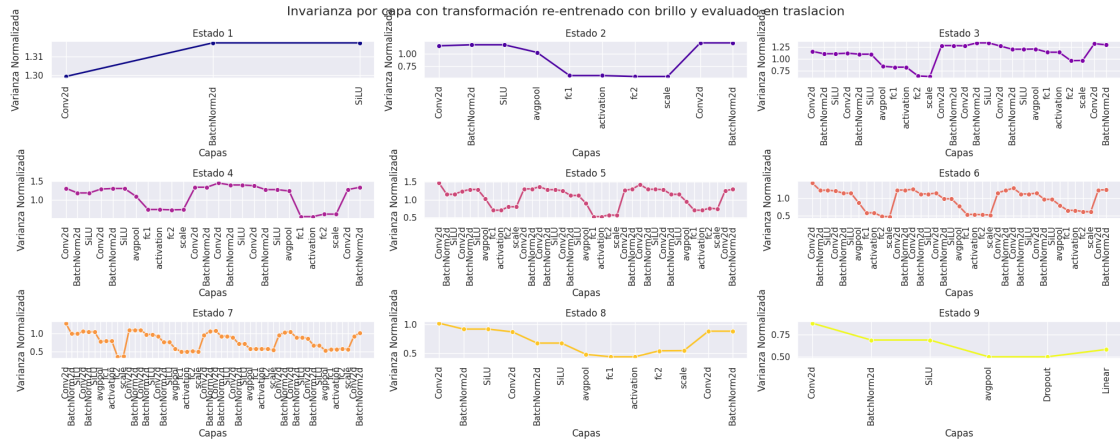


Figura 10: Arquitectura EfficientNetB0, entrenada con enfoque Fine Tuning y transformación Brillo, invarianza evaluada con Traslacion

Transformación de entrenamiento: Contraste

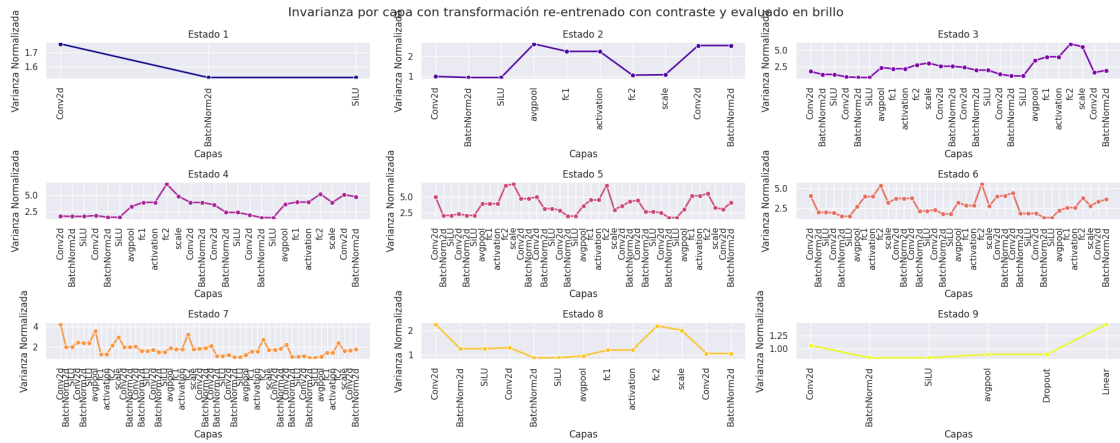


Figura 11: Arquitectura EfficientNetB0, entrenada con enfoque Fine Tuning y transformación Contraste, invarianza evaluada con Brillo

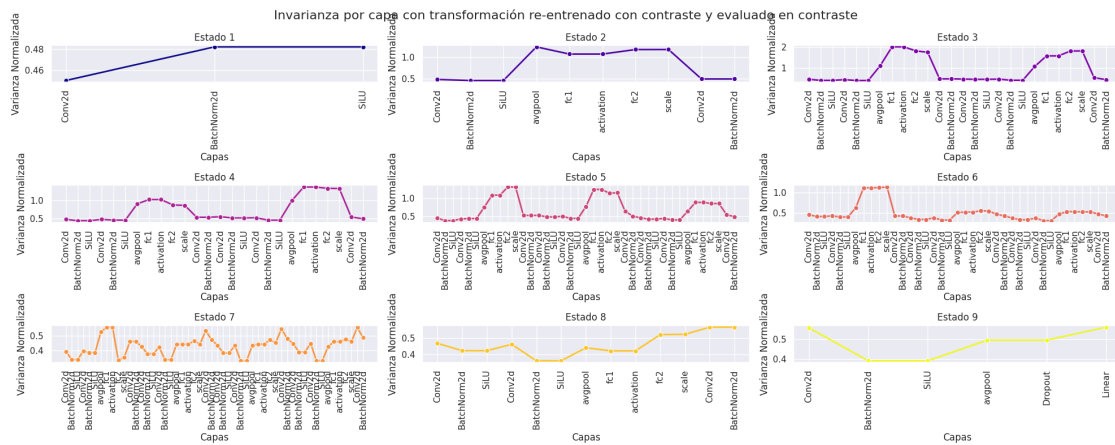


Figura 12: Arquitectura EfficientNetB0, entrenada con enfoque Fine Tuning y transformación Contraste, invarianza evaluada con Contraste

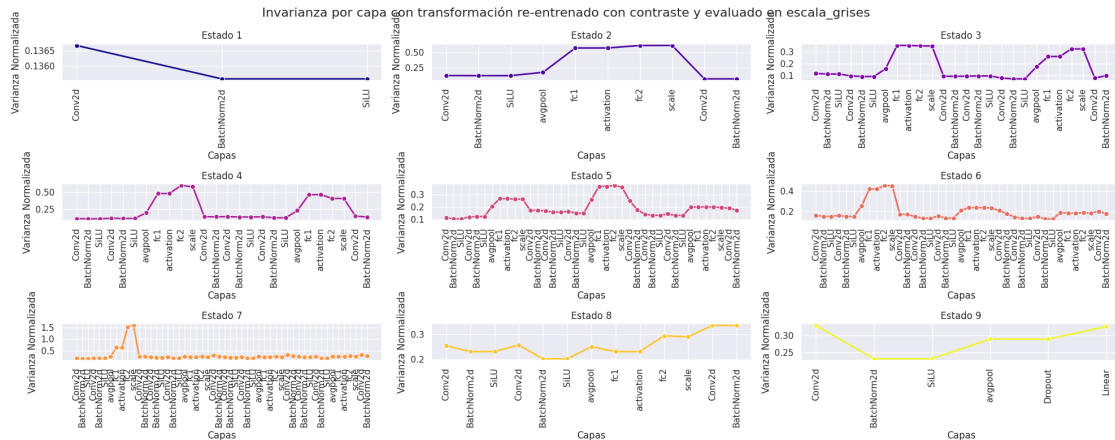


Figura 13: Arquitectura EfficientNetB0, entrenada con enfoque Fine Tuning y transformación Contraste, invarianza evaluada con escala de grises

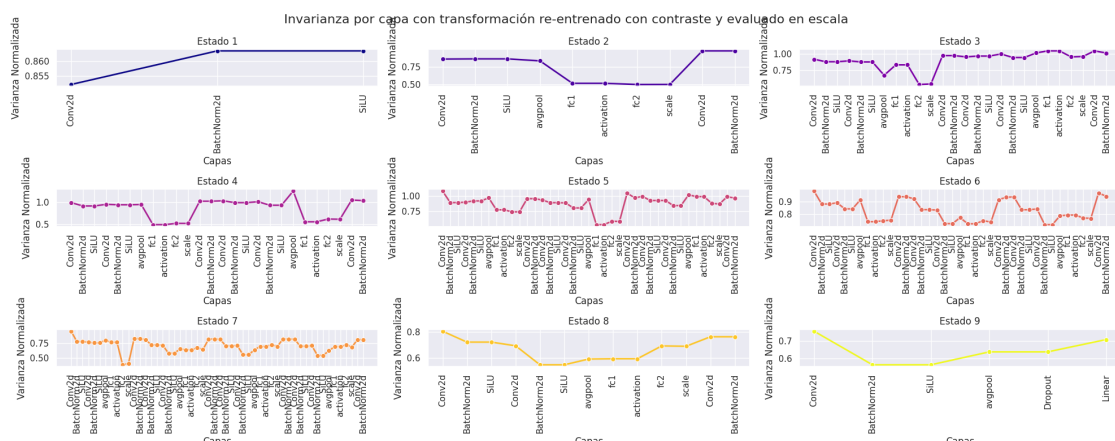


Figura 14: Arquitectura EfficientNetB0, entrenada con enfoque Fine Tuning y transformación Contraste, invarianza evaluada con Escala

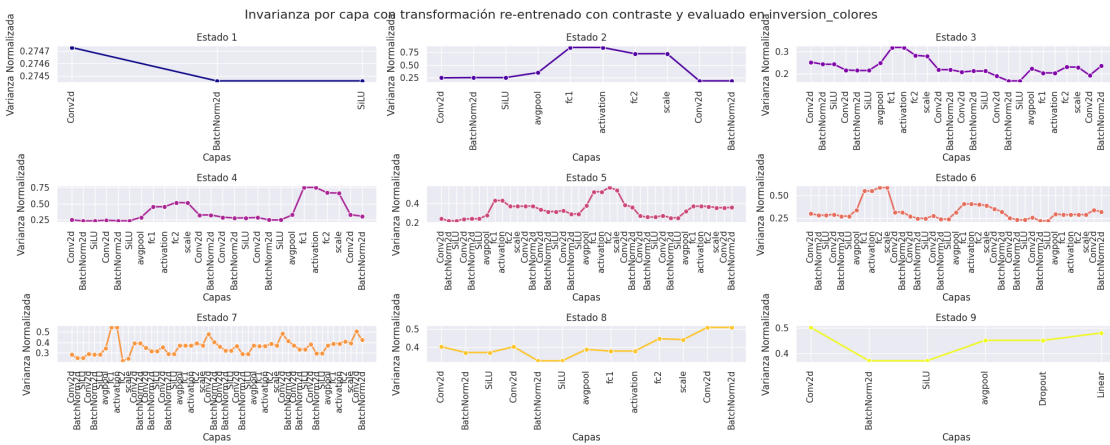


Figura 15: Arquitectura EfficientNetB0, entrenada con enfoque Fine Tuning y transformación Contraste, invarianza evaluada con inversión de colores

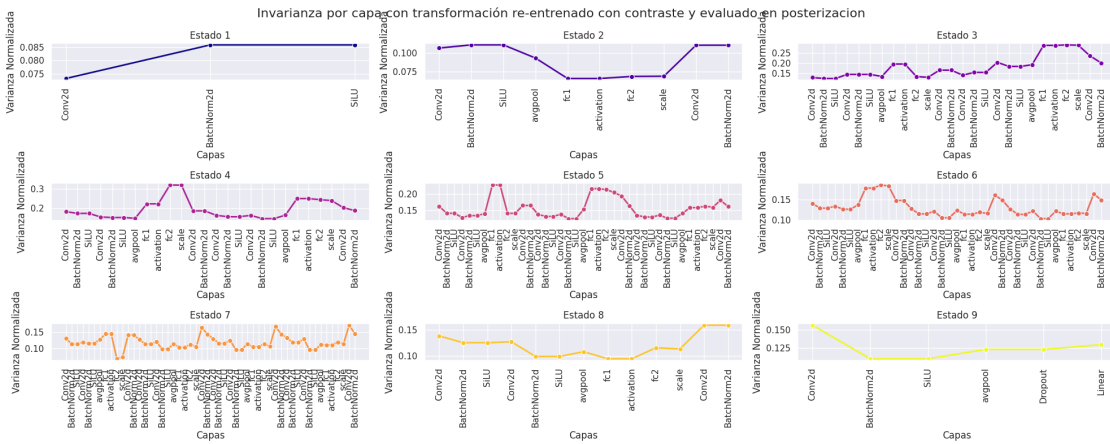


Figura 16: Arquitectura EfficientNetB0, entrenada con enfoque Fine Tuning y transformación Contraste, invarianza evaluada con Posterizacion

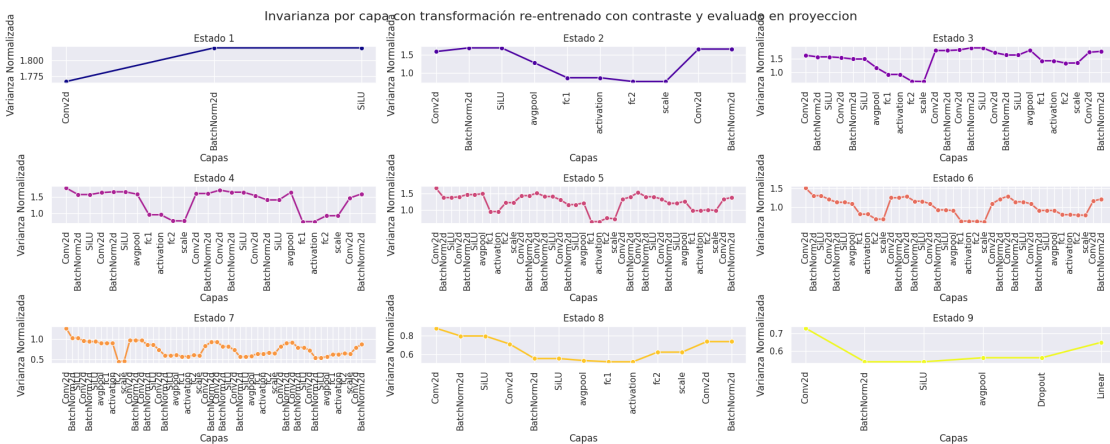


Figura 17: Arquitectura EfficientNetB0, entrenada con enfoque Fine Tuning y transformación Contraste, invarianza evaluada con Proyeccion

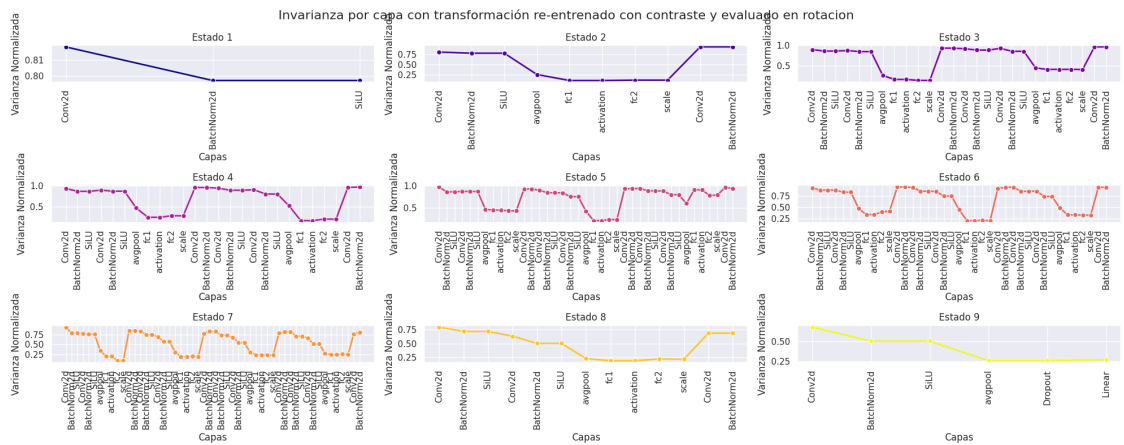


Figura 18: Arquitectura EfficientNetB0, entrenada con enfoque Fine Tuning y transformación Contraste, invarianza evaluada con Rotacion

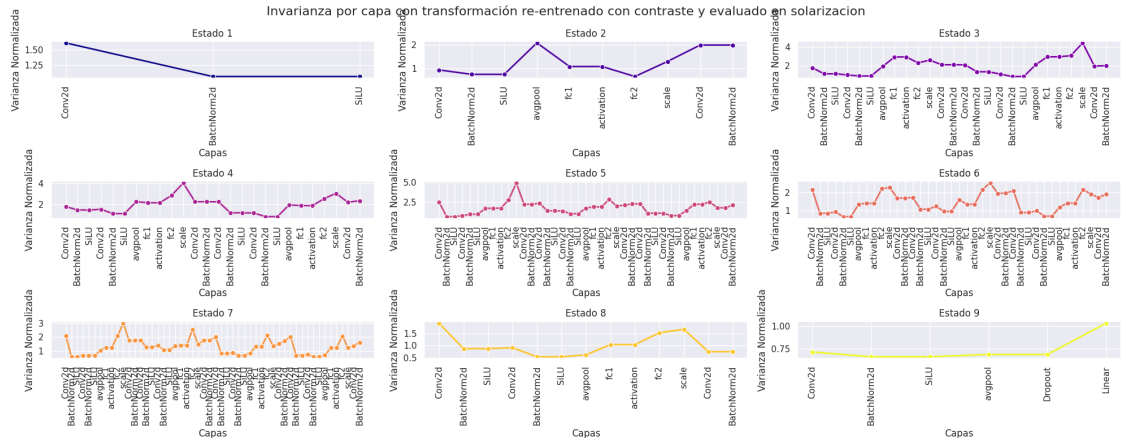


Figura 19: Arquitectura EfficientNetB0, entrenada con enfoque Fine Tuning y transformación Contraste, invarianza evaluada con Solarizacion

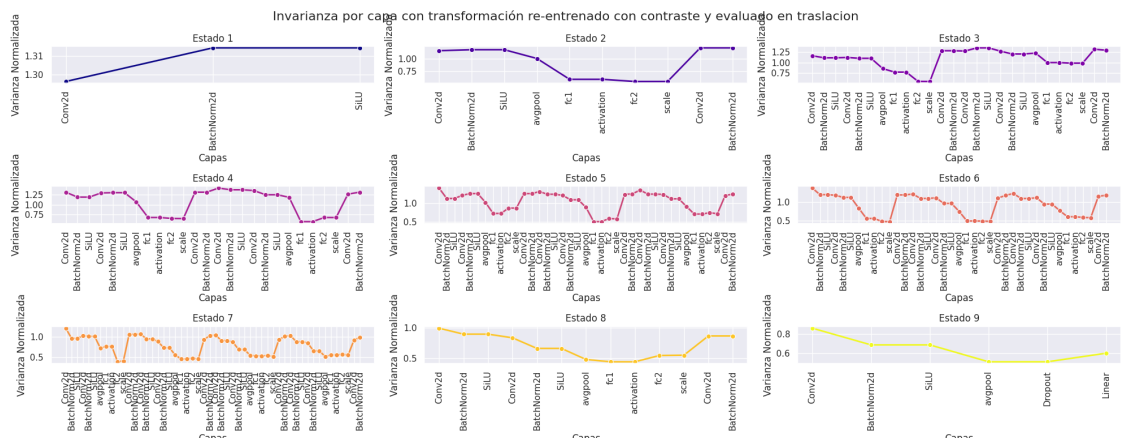


Figura 20: Arquitectura EfficientNetB0, entrenada con enfoque Fine Tuning y transformación Contraste, invarianza evaluada con Traslacion

Transformación de entrenamiento: Escala

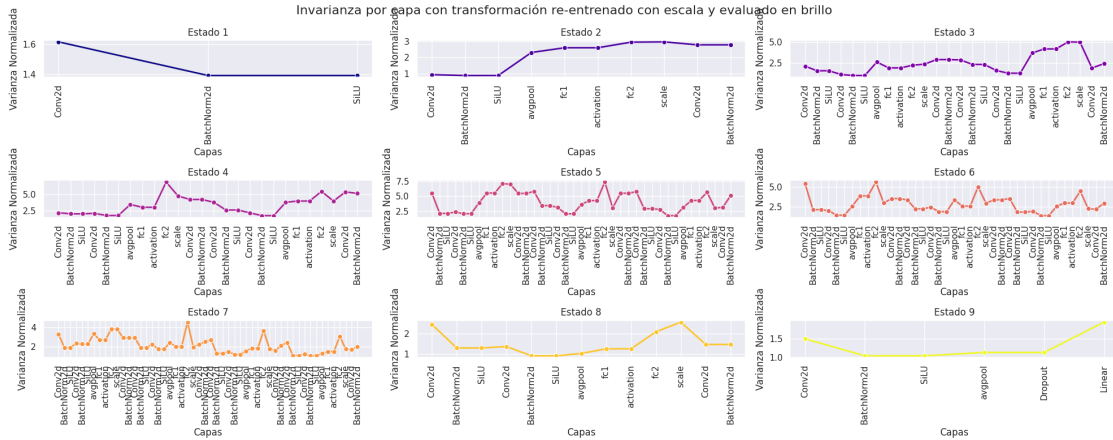


Figura 21: Arquitectura EfficientNetB0, entrenada con enfoque Fine Tuning y transformación Escala, invarianza evaluada con Brillo

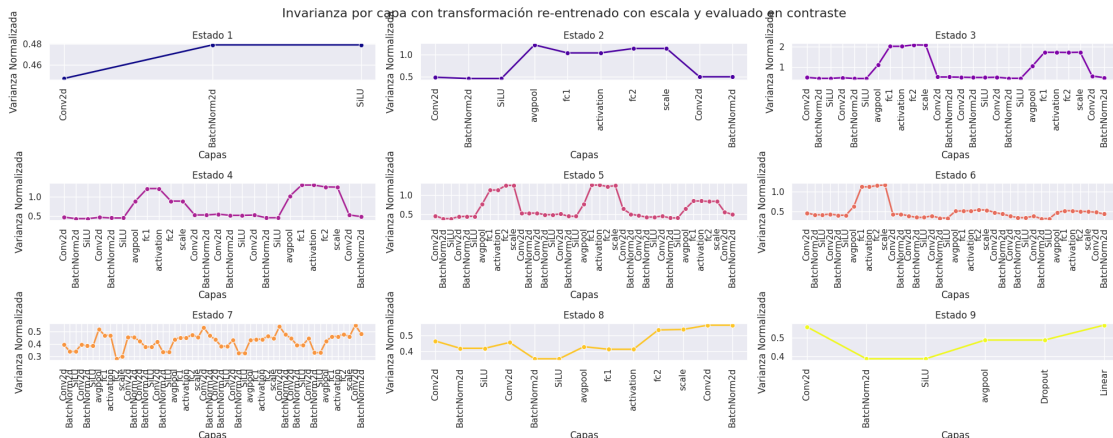


Figura 22: Arquitectura EfficientNetB0, entrenada con enfoque Fine Tuning y transformación Escala, invarianza evaluada con Contraste

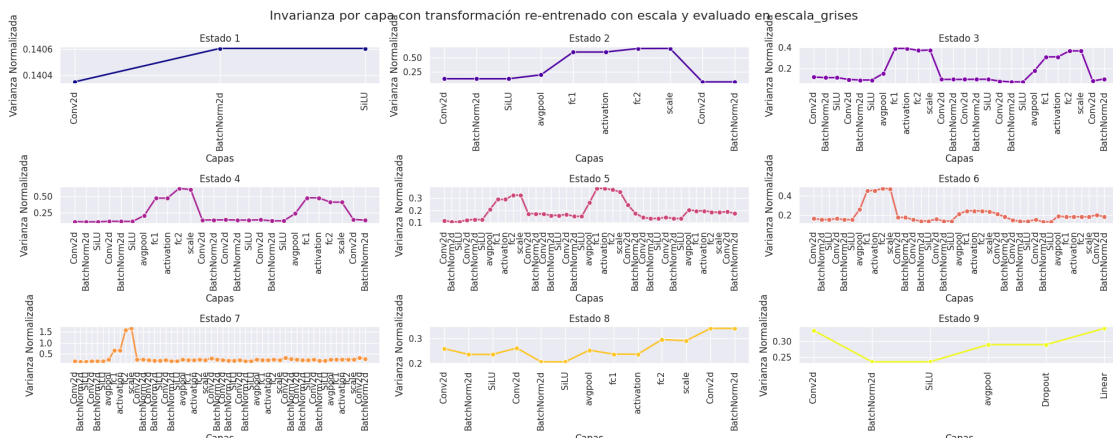


Figura 23: Arquitectura EfficientNetB0, entrenada con enfoque Fine Tuning y transformación Escala, invarianza evaluada con escala de grises

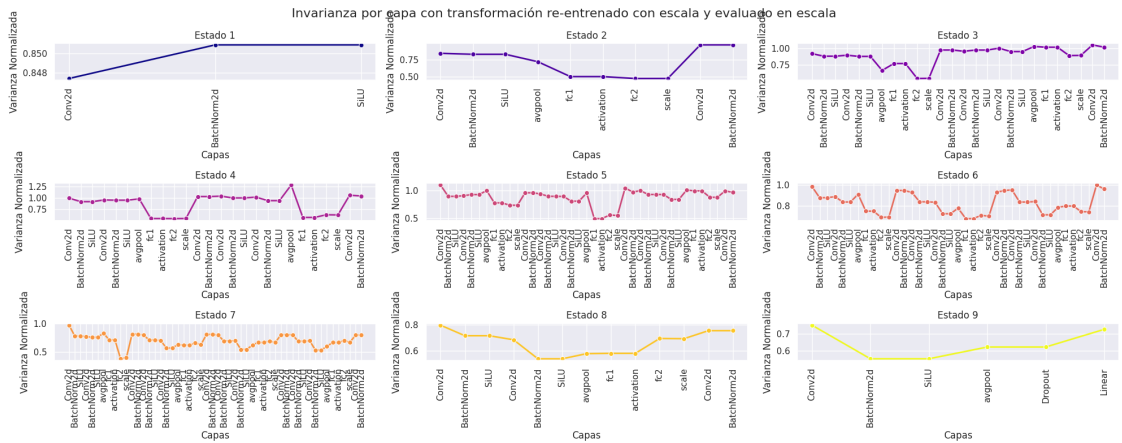


Figura 24: Arquitectura EfficientNetB0, entrenada con enfoque Fine Tuning y transformación Escala, invarianza evaluada con Escala

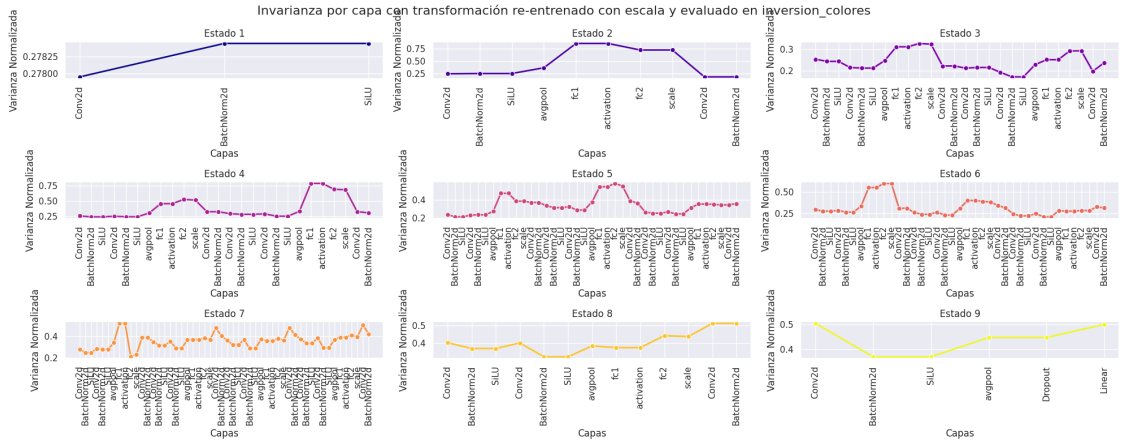


Figura 25: Arquitectura EfficientNetB0, entrenada con enfoque Fine Tuning y transformación Escala, invarianza evaluada con inversion de colores

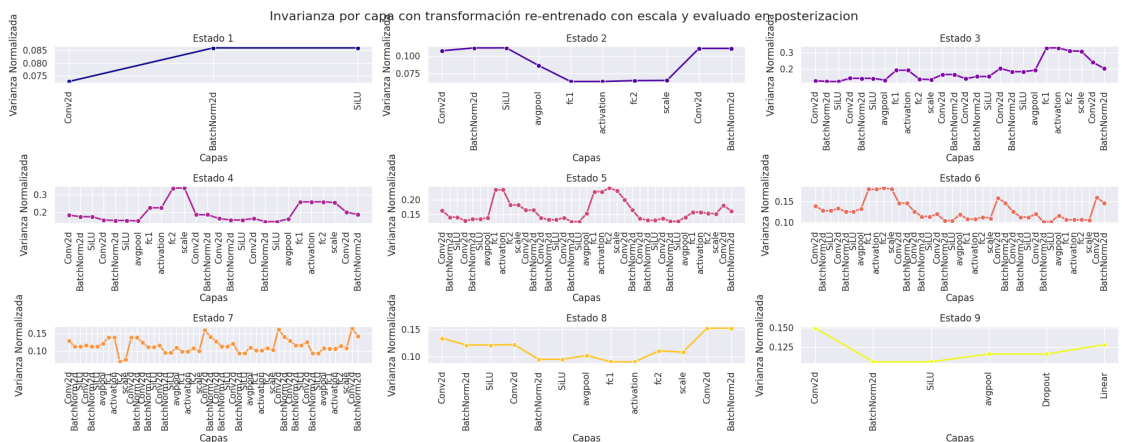


Figura 26: Arquitectura EfficientNetB0, entrenada con enfoque Fine Tuning y transformación Escala, invarianza evaluada con Posterizacion

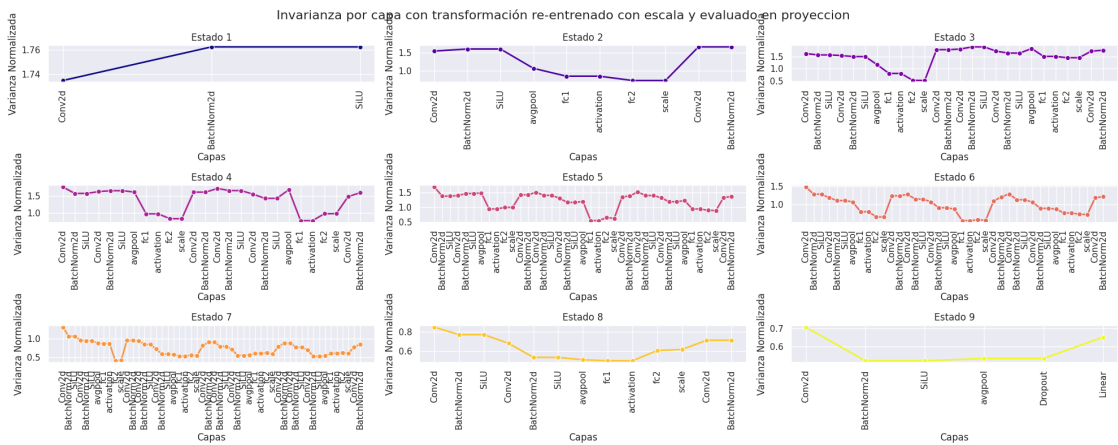


Figura 27: Arquitectura EfficientNetB0, entrenada con enfoque Fine Tuning y transformación Escala, invarianza evaluada con Proyección

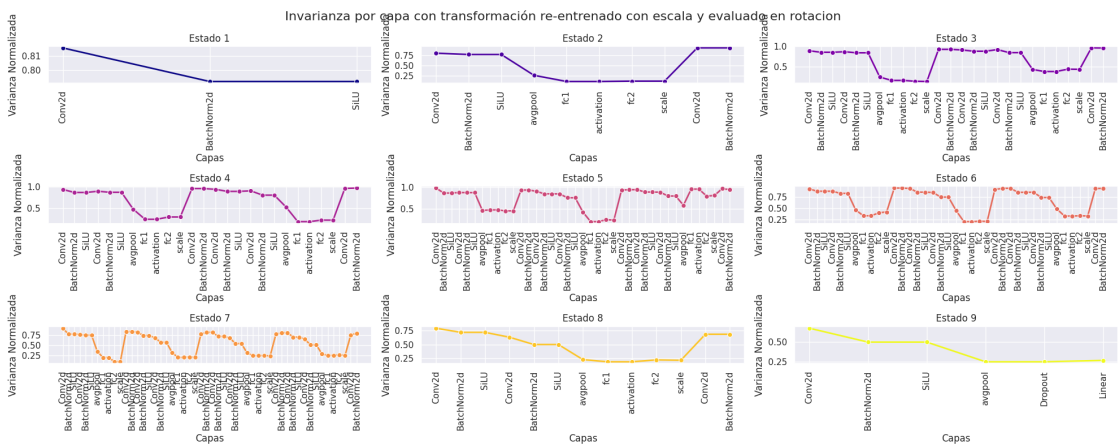


Figura 28: Arquitectura EfficientNetB0, entrenada con enfoque Fine Tuning y transformación Escala, invarianza evaluada con Rotación

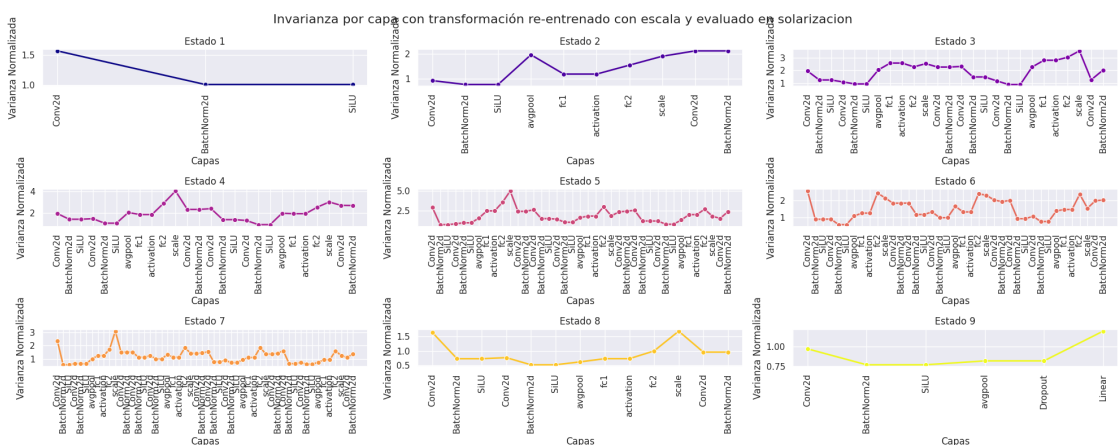


Figura 29: Arquitectura EfficientNetB0, entrenada con enfoque Fine Tuning y transformación Escala, invarianza evaluada con Solarización

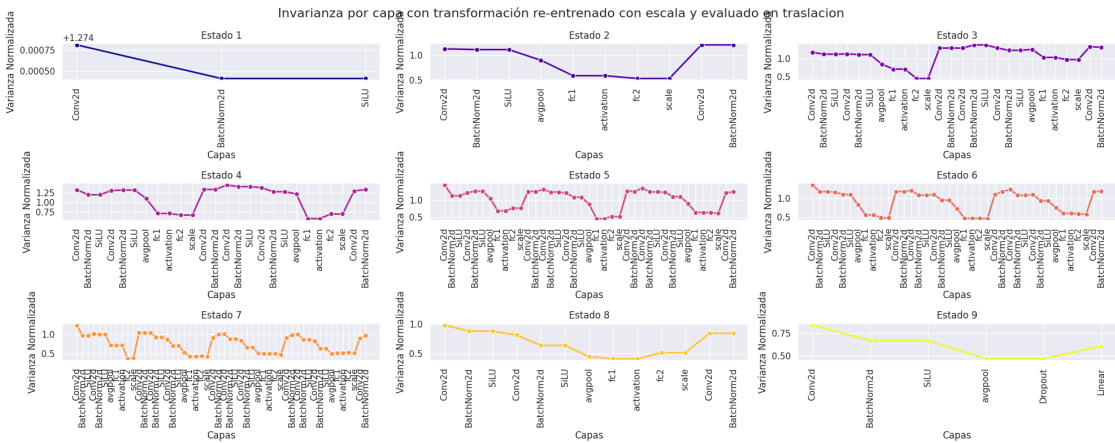


Figura 30: Arquitectura EfficientNetB0, entrenada con enfoque Fine Tuning y transformación Escala, invarianza evaluada con Traslacion

Transformación de entrenamiento: escala de grises

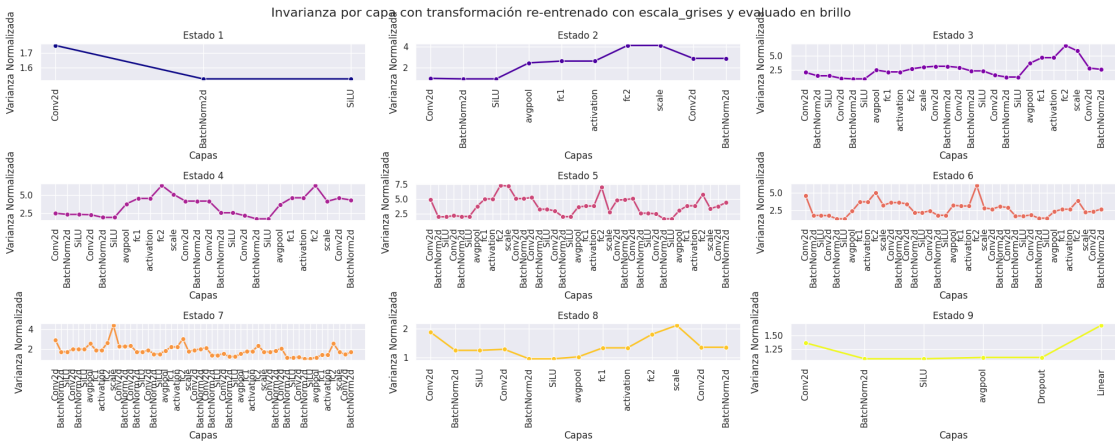


Figura 31: Arquitectura EfficientNetB0, entrenada con enfoque Fine Tuning y transformación escala de grises, invarianza evaluada con Brillo

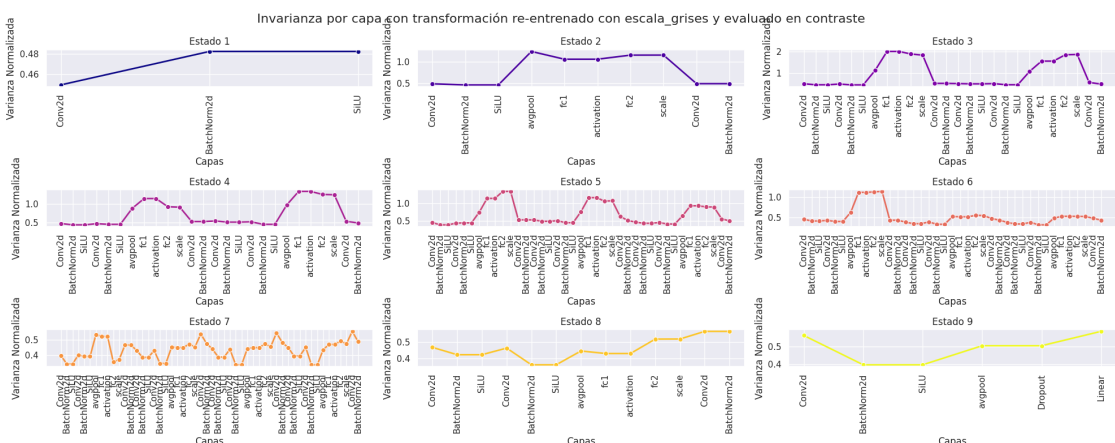


Figura 32: Arquitectura EfficientNetB0, entrenada con enfoque Fine Tuning y transformación escala de grises, invarianza evaluada con Contraste

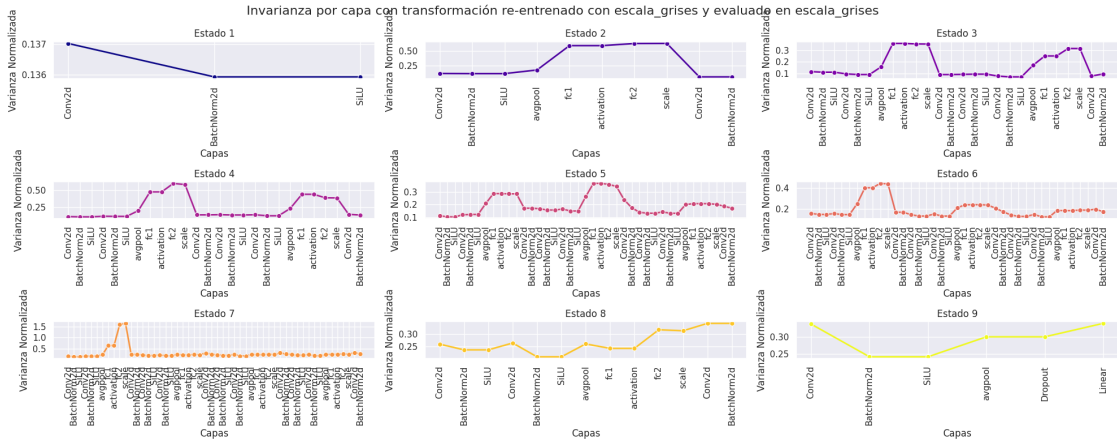


Figura 33: Arquitectura EfficientNetB0, entrenada con enfoque Fine Tuning y transformación escala de grises, invarianza evaluada con escala de grises

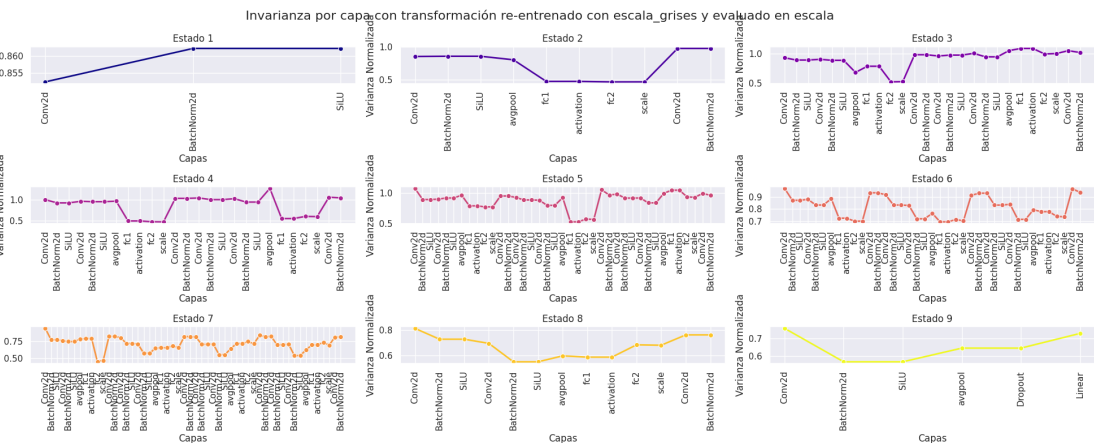


Figura 34: Arquitectura EfficientNetB0, entrenada con enfoque Fine Tuning y transformación escala de grises, invarianza evaluada con Escala

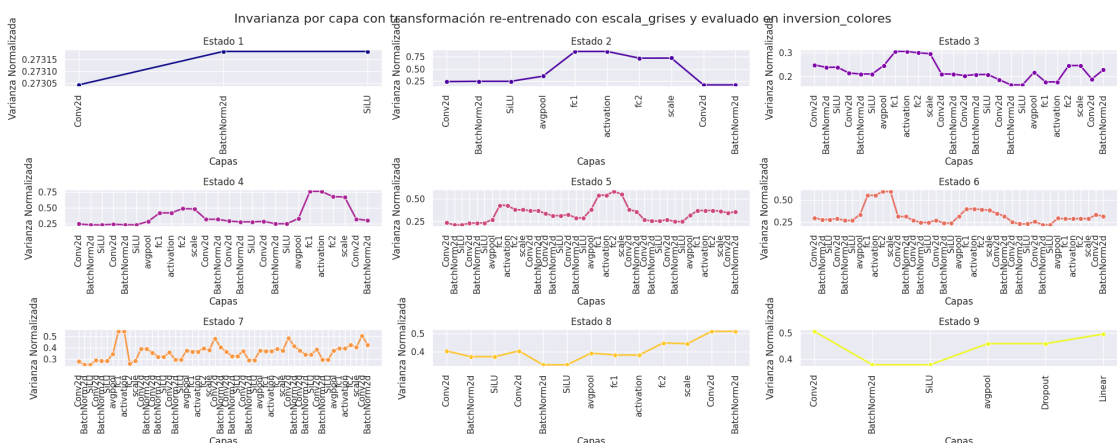


Figura 35: Arquitectura EfficientNetB0, entrenada con enfoque Fine Tuning y transformación escala de grises, invarianza evaluada con inversión de colores

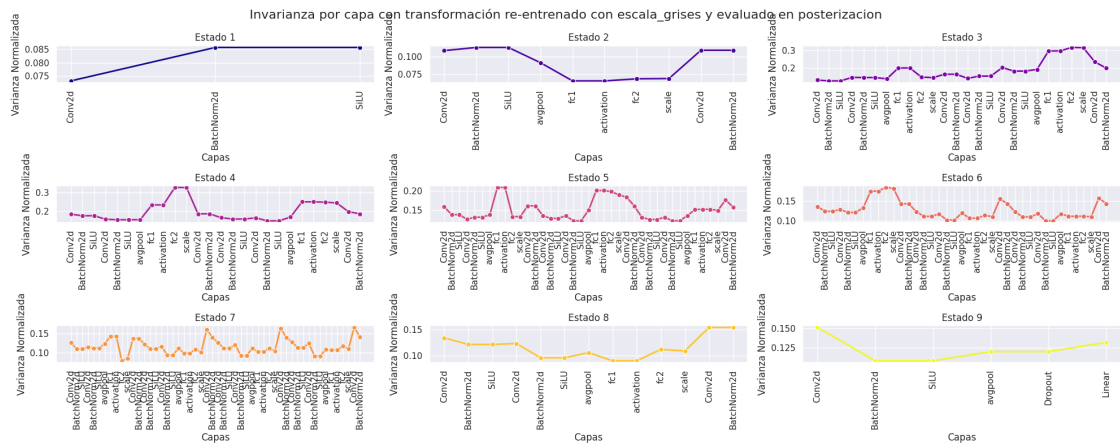


Figura 36: Arquitectura EfficientNetB0, entrenada con enfoque Fine Tuning y transformación escala de grises, invarianza evaluada con Posterizacion

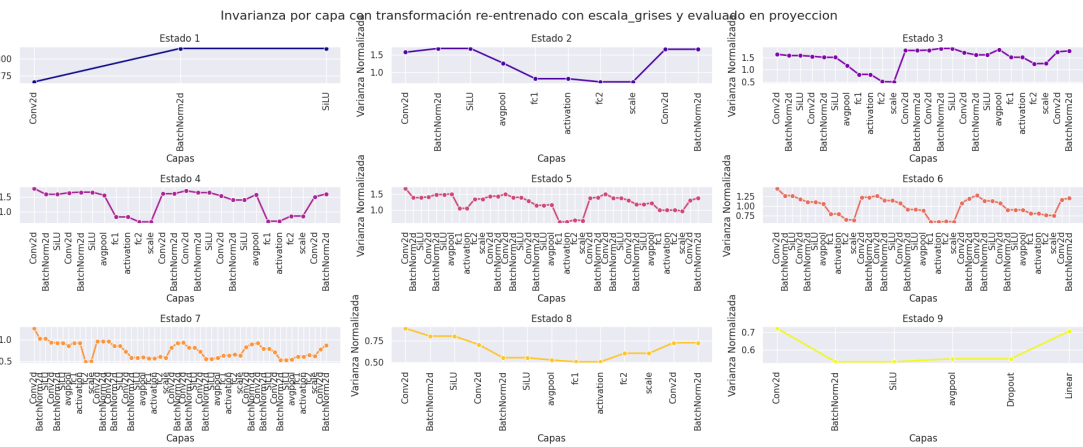


Figura 37: Arquitectura EfficientNetB0, entrenada con enfoque Fine Tuning y transformación escala de grises, invarianza evaluada con Proyeccion

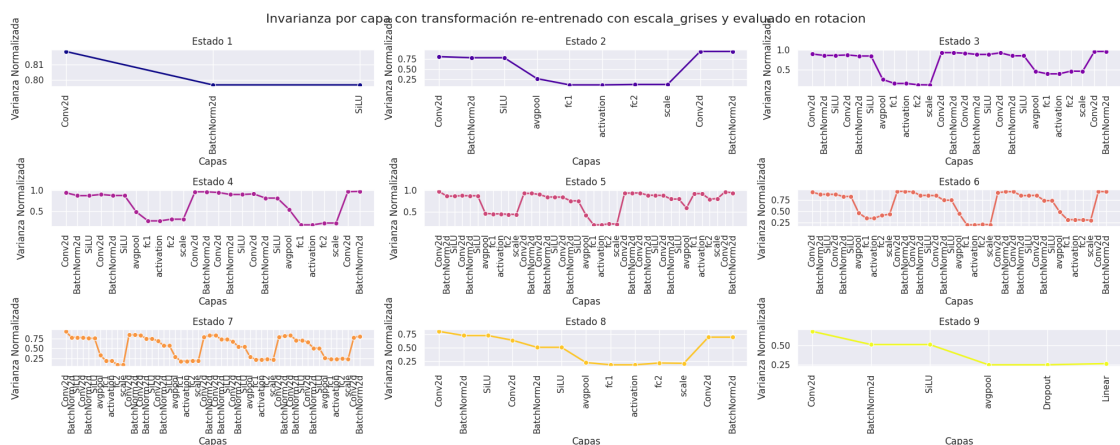


Figura 38: Arquitectura EfficientNetB0, entrenada con enfoque Fine Tuning y transformación escala de grises, invarianza evaluada con Rotacion

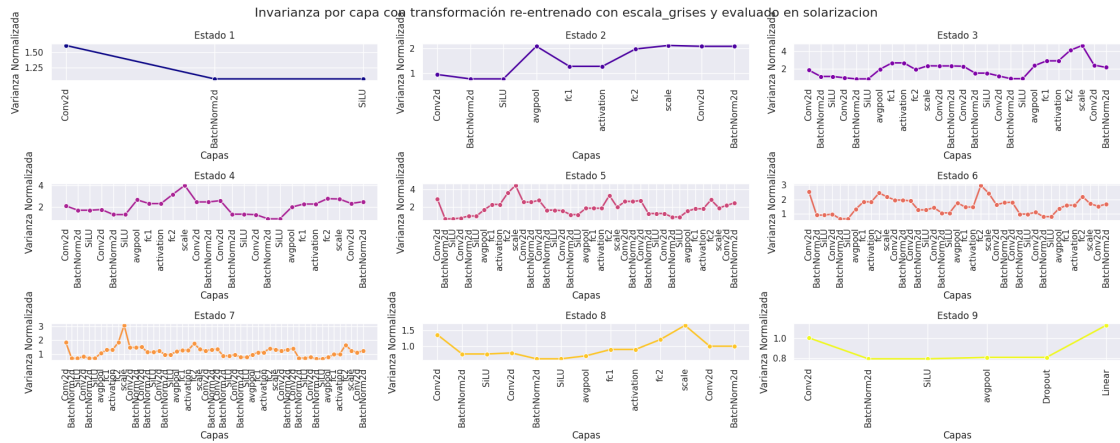


Figura 39: Arquitectura EfficientNetB0, entrenada con enfoque Fine Tuning y transformación escala de grises, invarianza evaluada con Solarizacion

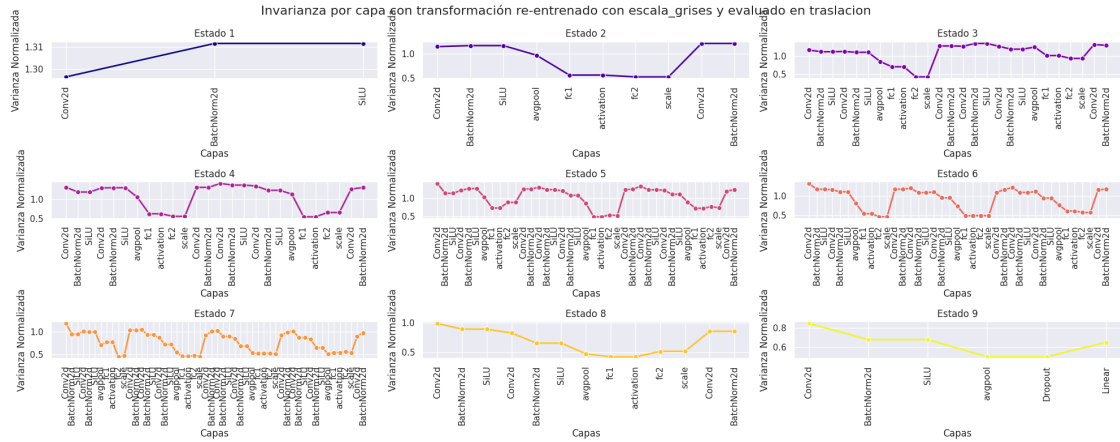


Figura 40: Arquitectura EfficientNetB0, entrenada con enfoque Fine Tuning y transformación escala de grises, invarianza evaluada con Traslacion

Transformación de entrenamiento: inversión de colores

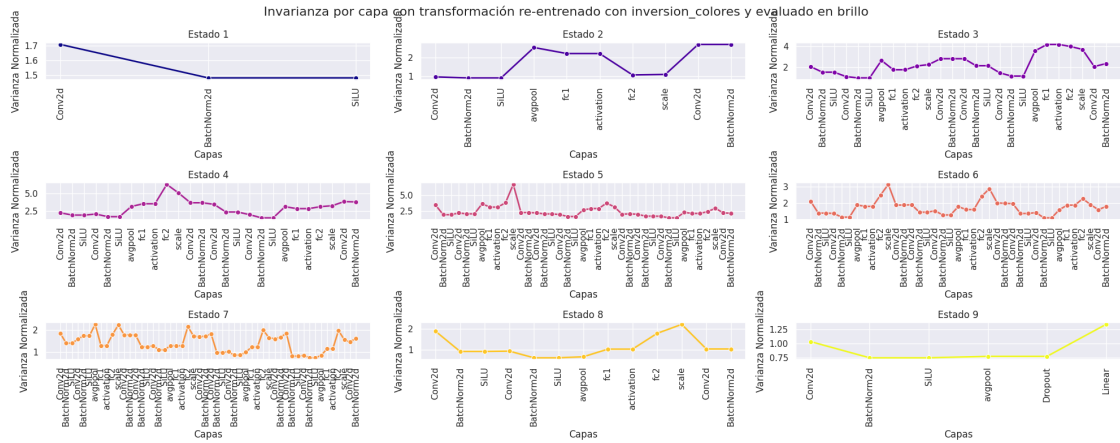


Figura 41: Arquitectura EfficientNetB0, entrenada con enfoque Fine Tuning y transformación inversion de colores, invarianza evaluada con Brillo

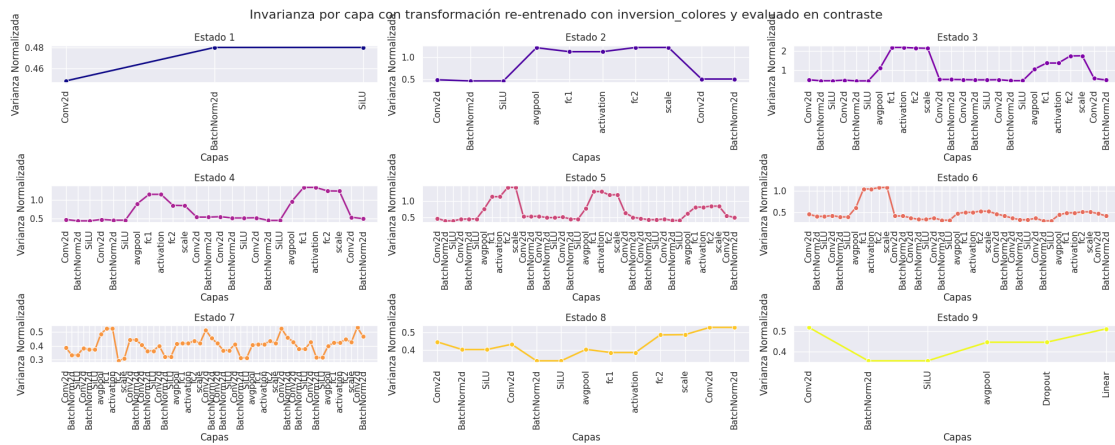


Figura 42: Arquitectura EfficientNetB0, entrenada con enfoque Fine Tuning y transformación *inversion de colores*, invarianza evaluada con Contraste

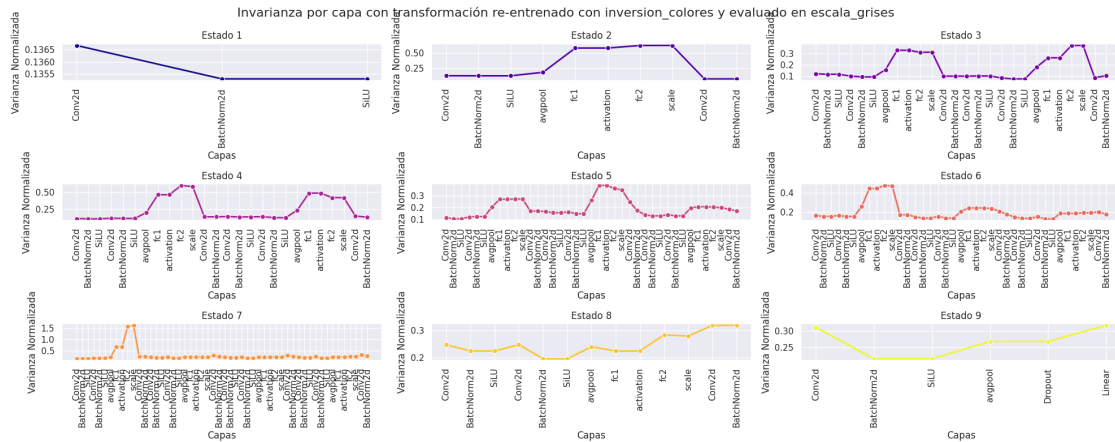


Figura 43: Arquitectura EfficientNetB0, entrenada con enfoque Fine Tuning y transformación *inversion de colores*, invarianza evaluada con escala de grises

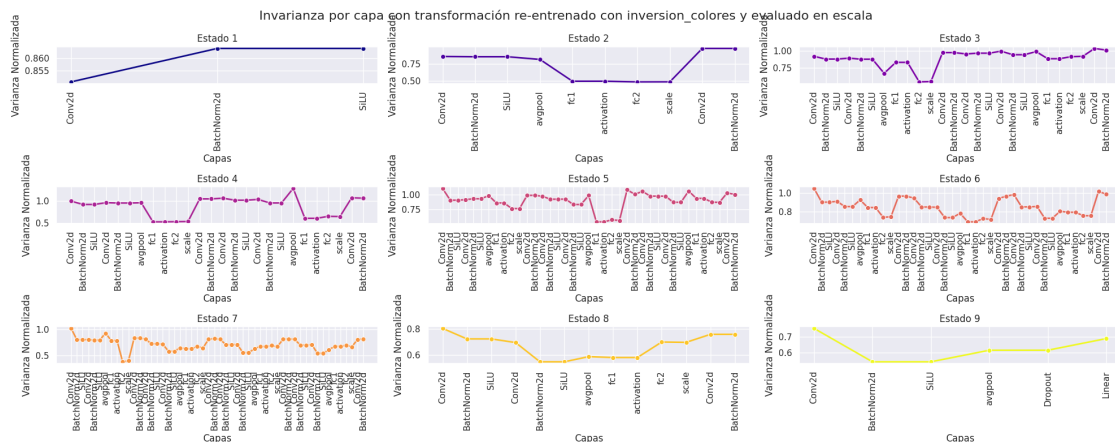


Figura 44: Arquitectura EfficientNetB0, entrenada con enfoque Fine Tuning y transformación *inversion de colores*, invarianza evaluada con Escala

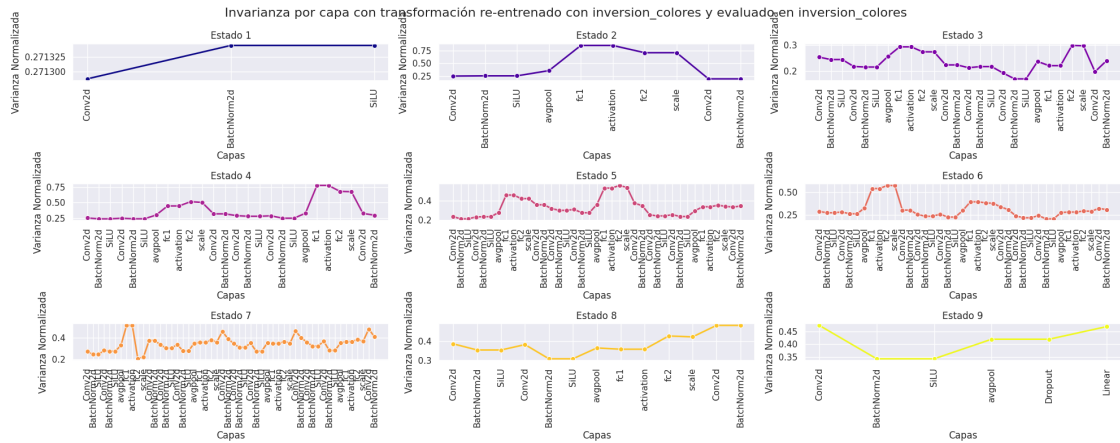


Figura 45: Arquitectura EfficientNetB0, entrenada con enfoque Fine Tuning y transformación inversion de colores, invarianza evaluada con inversion de colores

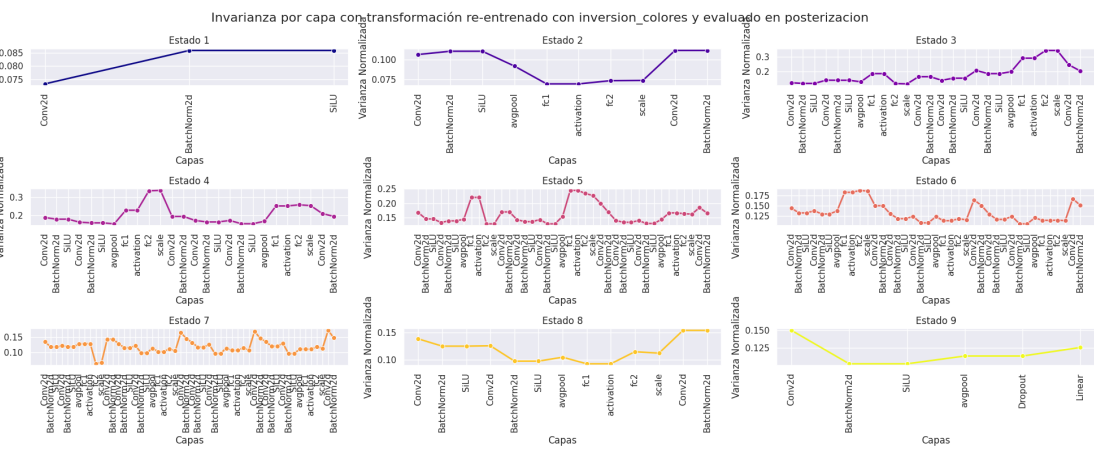


Figura 46: Arquitectura EfficientNetB0, entrenada con enfoque Fine Tuning y transformación inversion de colores, invarianza evaluada con Posterizacion

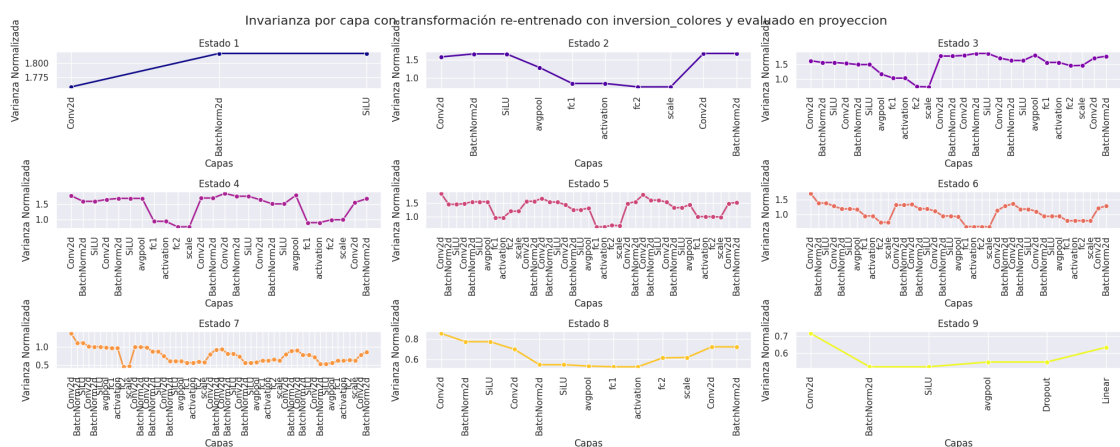


Figura 47: Arquitectura EfficientNetB0, entrenada con enfoque Fine Tuning y transformación inversion de colores, invarianza evaluada con Proyeccion

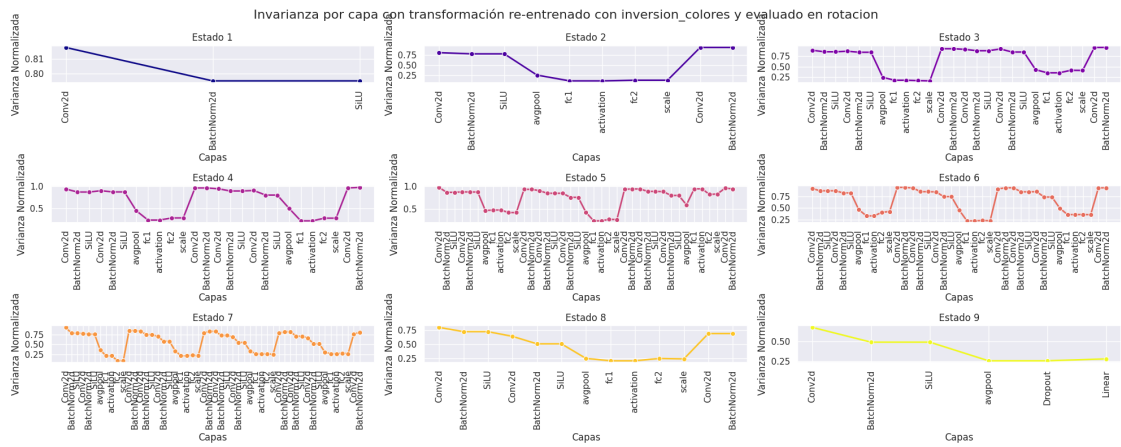


Figura 48: Arquitectura EfficientNetB0, entrenada con enfoque Fine Tuning y transformación *inversion de colores*, invarianza evaluada con Rotacion

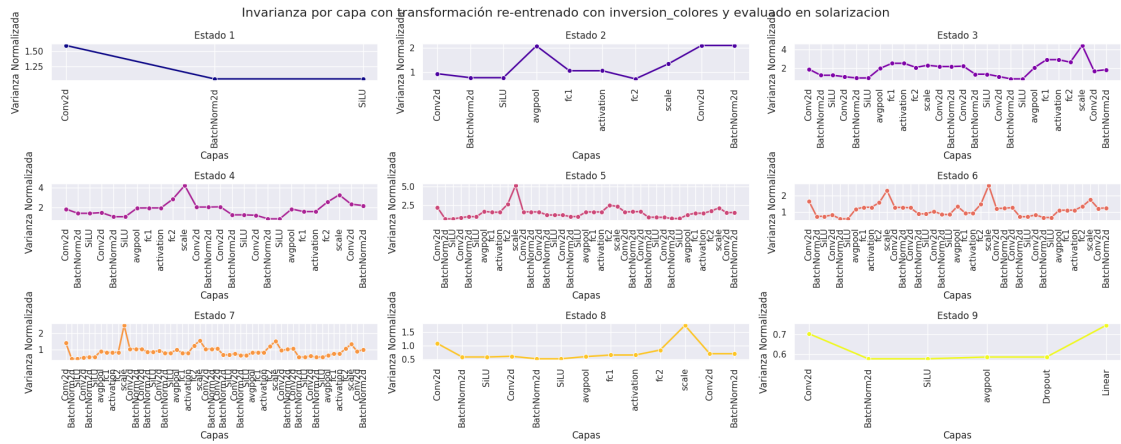


Figura 49: Arquitectura EfficientNetB0, entrenada con enfoque Fine Tuning y transformación *inversion de colores*, invarianza evaluada con Solarizacion

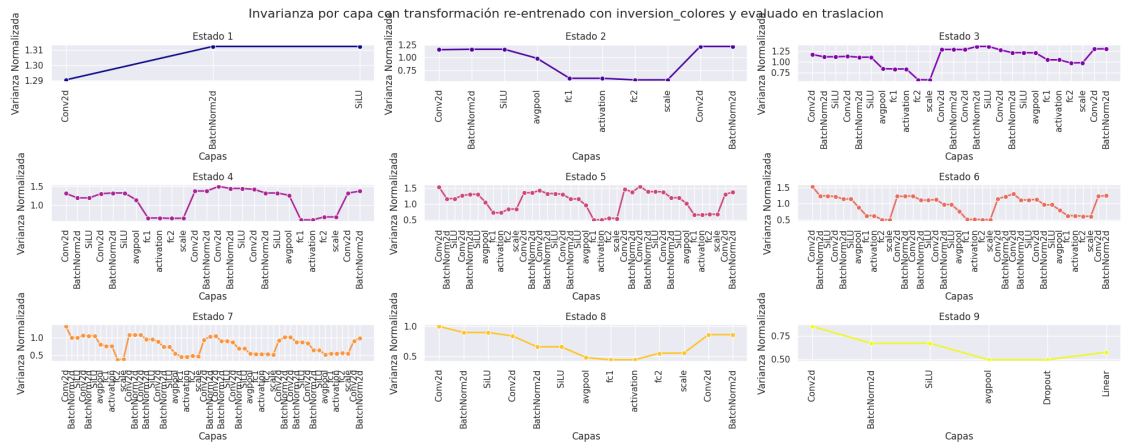


Figura 50: Arquitectura EfficientNetB0, entrenada con enfoque Fine Tuning y transformación *inversion de colores*, invarianza evaluada con Traslacion

Transformación de entrenamiento: Posterización

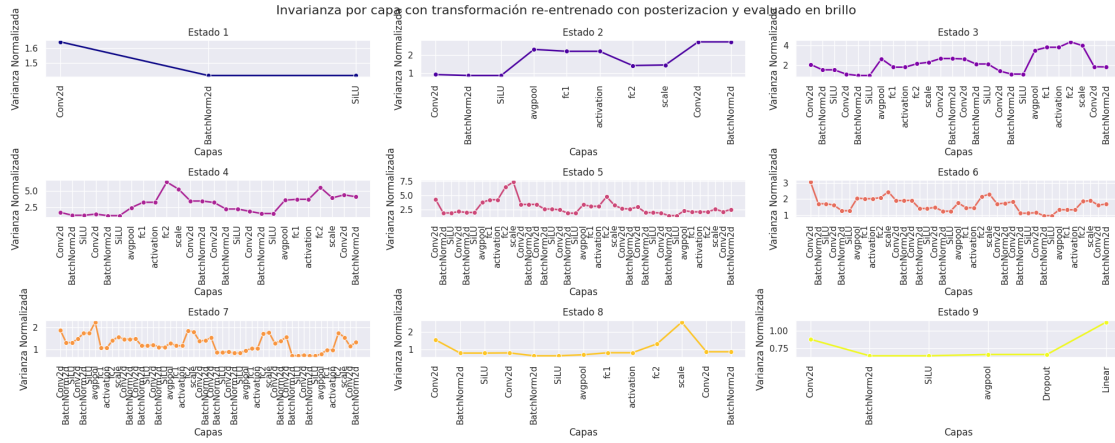


Figura 51: Arquitectura EfficientNetB0, entrenada con enfoque Fine Tuning y transformación Posterizacion, invarianza evaluada con Brillo

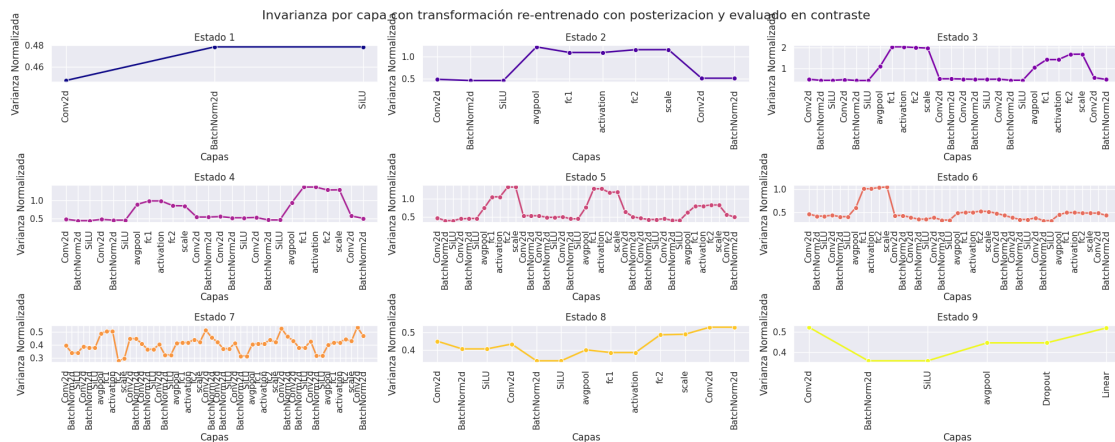


Figura 52: Arquitectura EfficientNetB0, entrenada con enfoque Fine Tuning y transformación Posterizacion, invarianza evaluada con Contraste

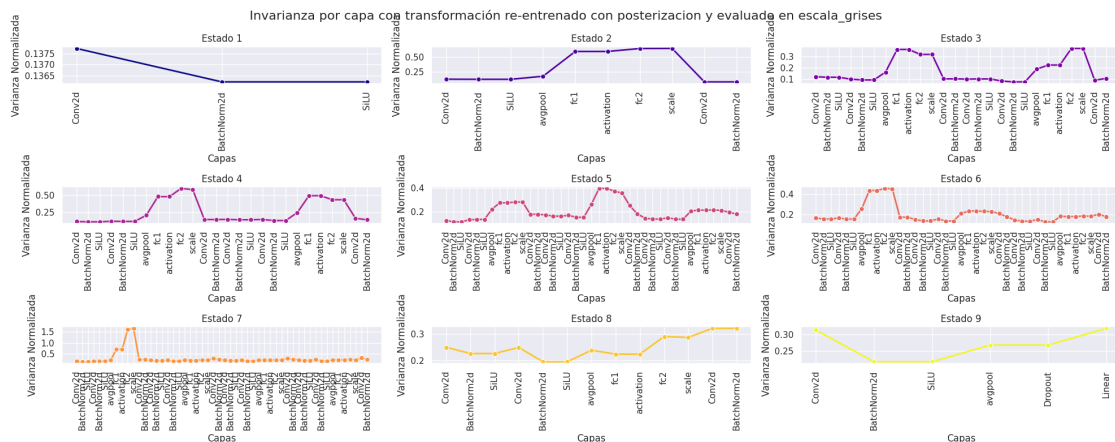


Figura 53: Arquitectura EfficientNetB0, entrenada con enfoque Fine Tuning y transformación Posterizacion, invarianza evaluada con escala de grises

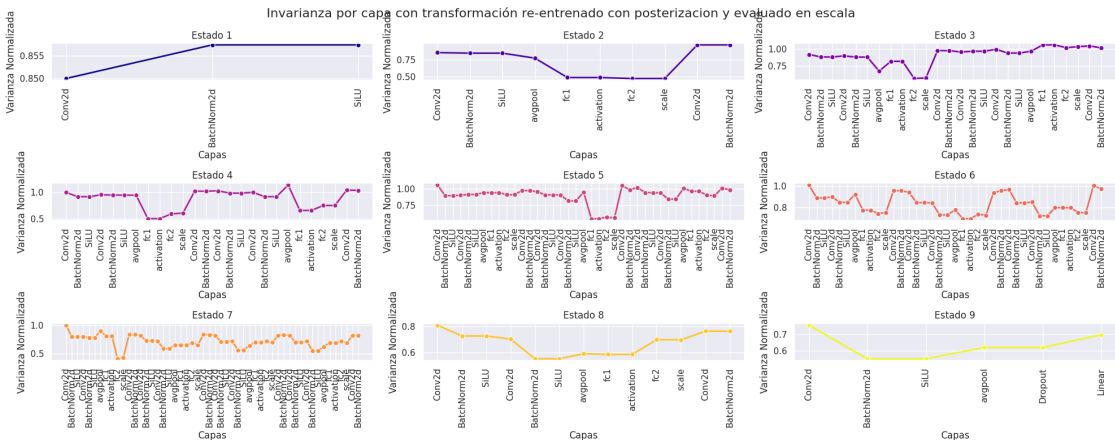


Figura 54: Arquitectura EfficientNetB0, entrenada con enfoque Fine Tuning y transformación Posterizacion, invarianza evaluada con Escala

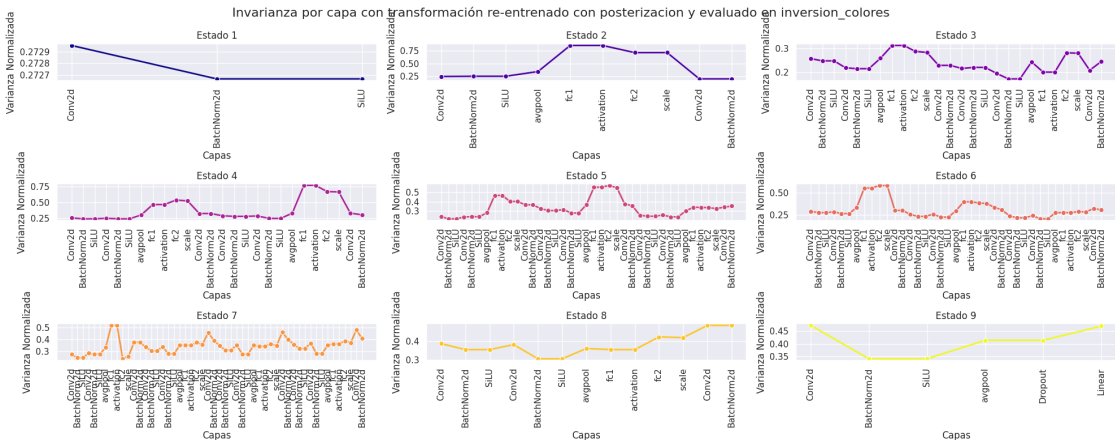


Figura 55: Arquitectura EfficientNetB0, entrenada con enfoque Fine Tuning y transformación Posterizacion, invarianza evaluada con inversion de colores

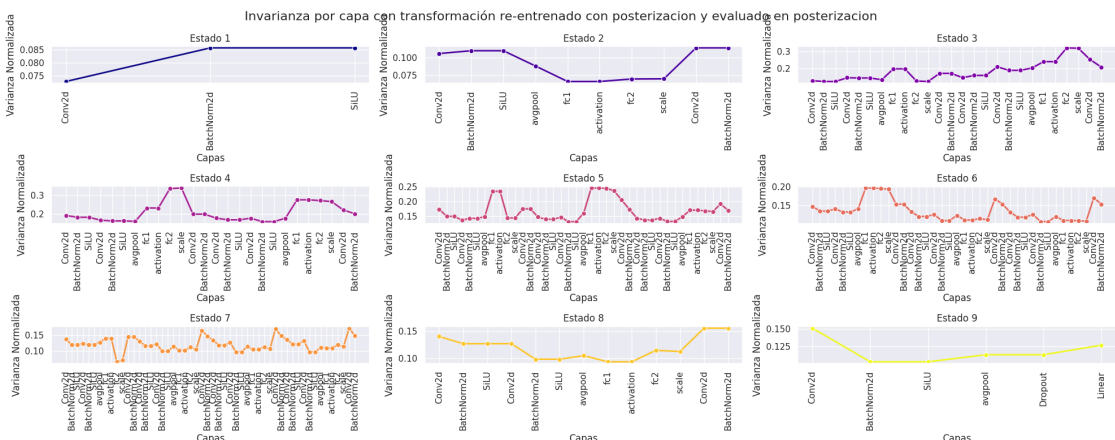


Figura 56: Arquitectura EfficientNetB0, entrenada con enfoque Fine Tuning y transformación Posterizacion, invarianza evaluada con Posterizacion

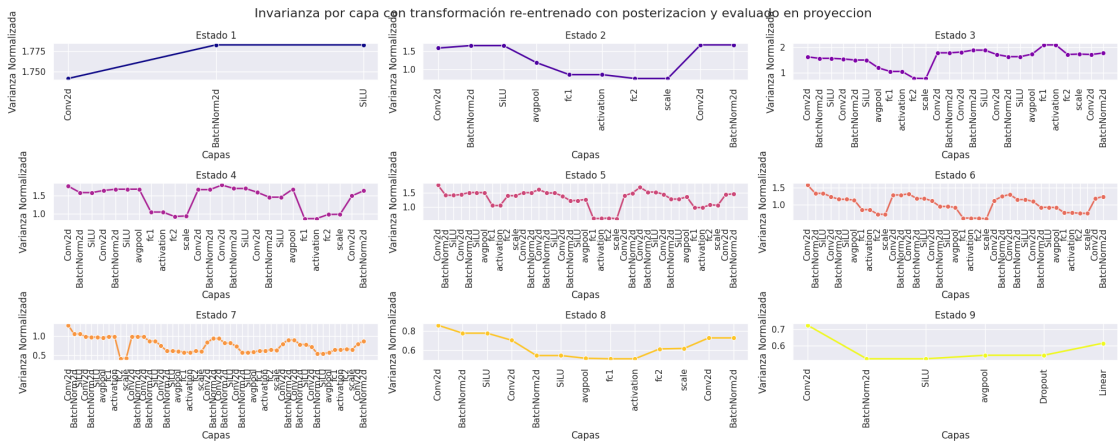


Figura 57: Arquitectura EfficientNetB0, entrenada con enfoque Fine Tuning y transformación Posterizacion, invarianza evaluada con Proyeccion

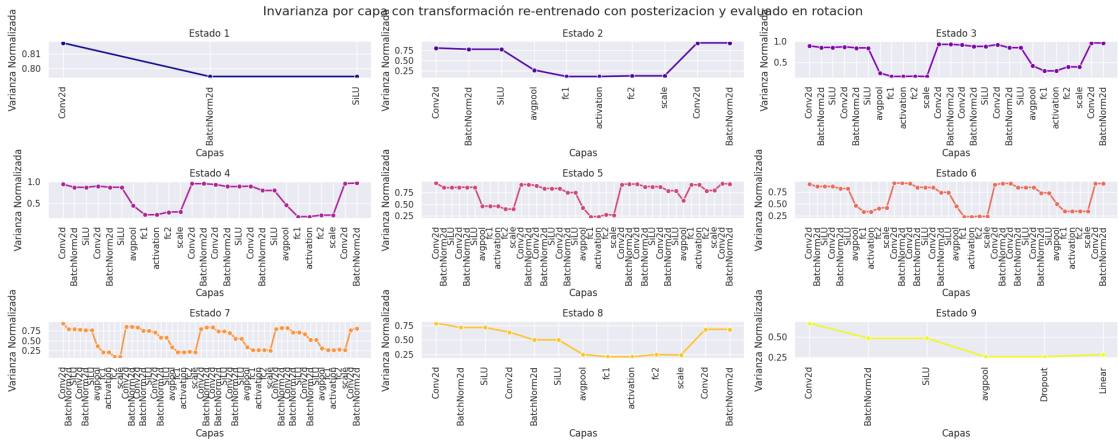


Figura 58: Arquitectura EfficientNetB0, entrenada con enfoque Fine Tuning y transformación Posterizacion, invarianza evaluada con Rotacion

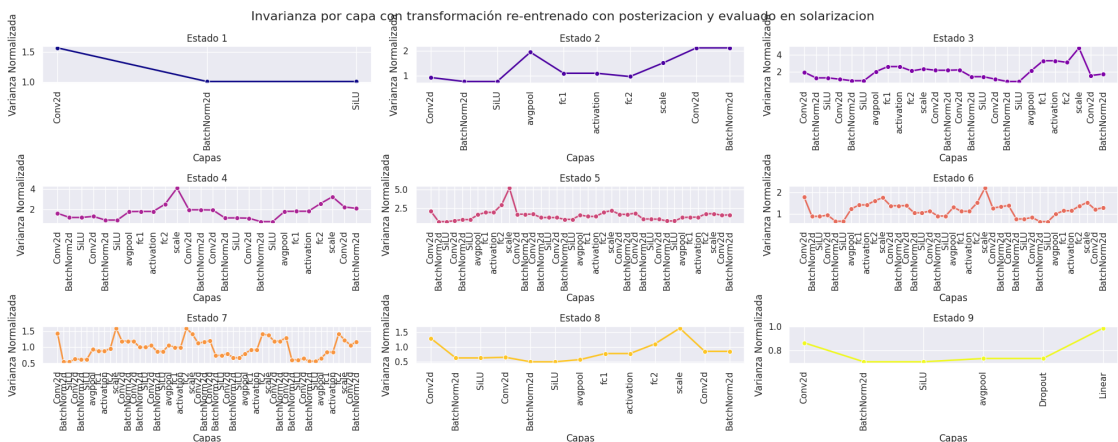


Figura 59: Arquitectura EfficientNetB0, entrenada con enfoque Fine Tuning y transformación Posterizacion, invarianza evaluada con Solarizacion

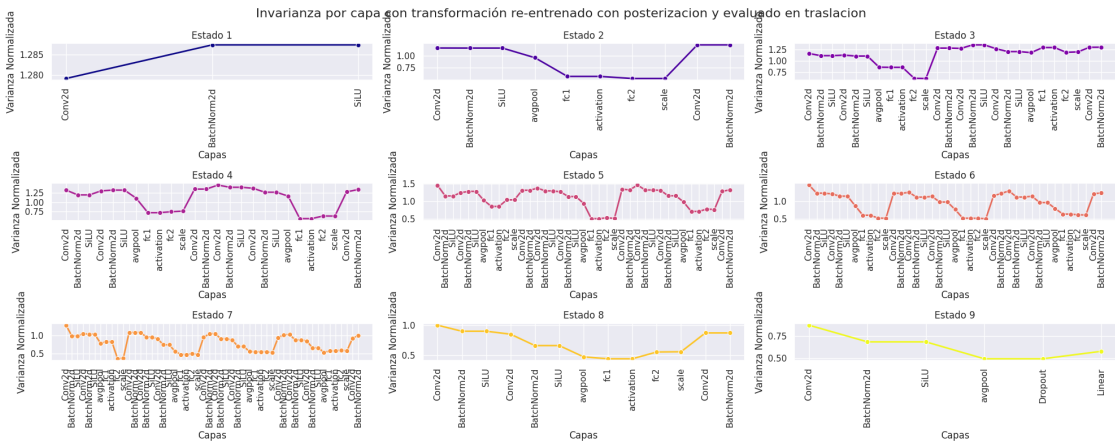


Figura 60: Arquitectura EfficientNetB0, entrenada con enfoque Fine Tuning y transformación Posterizacion, invarianza evaluada con Traslacion

Transformación de entrenamiento: Proyección

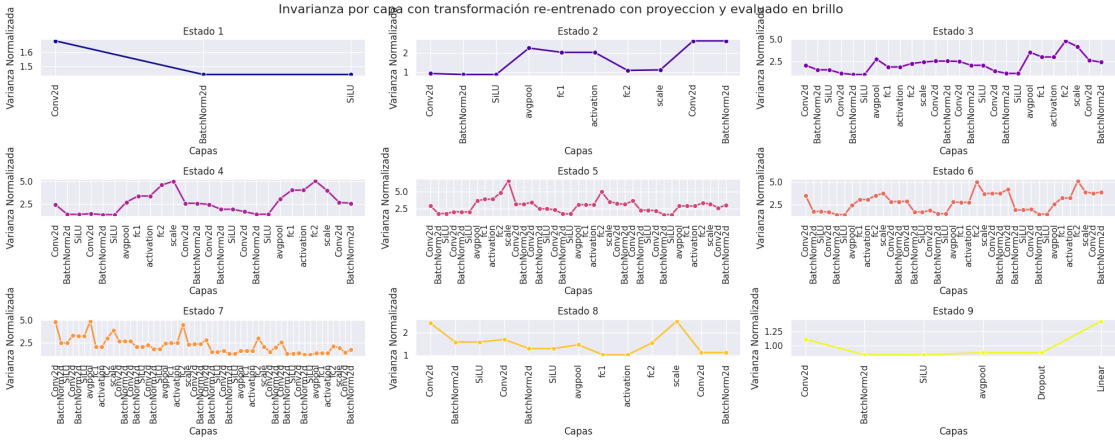


Figura 61: Arquitectura EfficientNetB0, entrenada con enfoque Fine Tuning y transformación Proyeccion, invarianza evaluada con Brillo

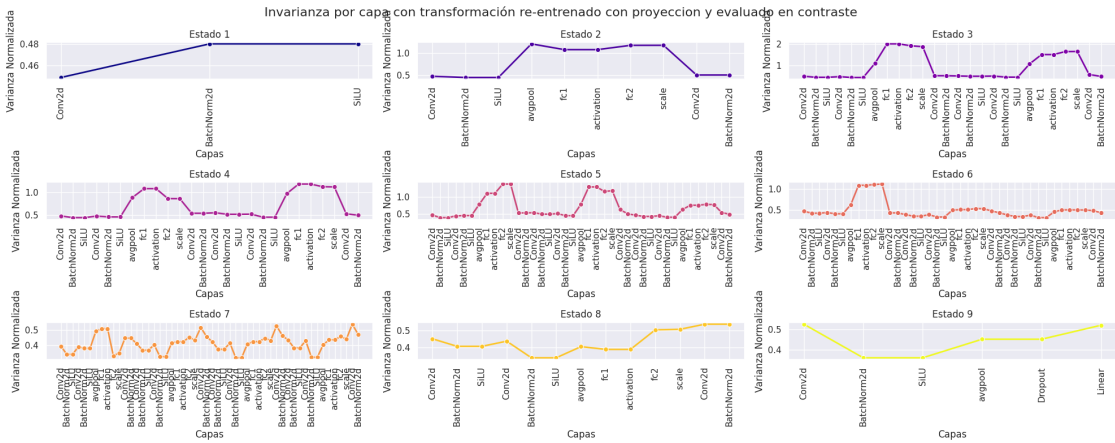


Figura 62: Arquitectura EfficientNetB0, entrenada con enfoque Fine Tuning y transformación Proyeccion, invarianza evaluada con Contraste

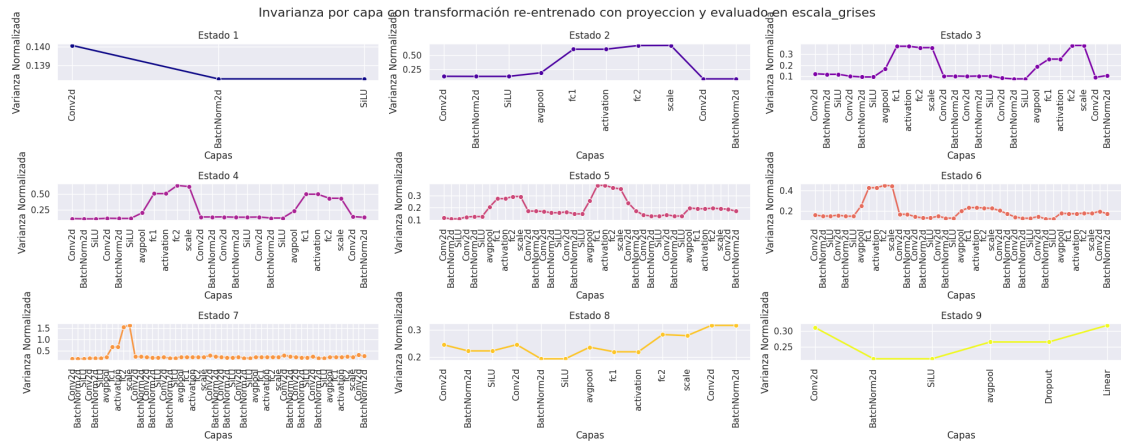


Figura 63: Arquitectura EfficientNetB0, entrenada con enfoque Fine Tuning y transformación Proyección, invarianza evaluada con escala de grises

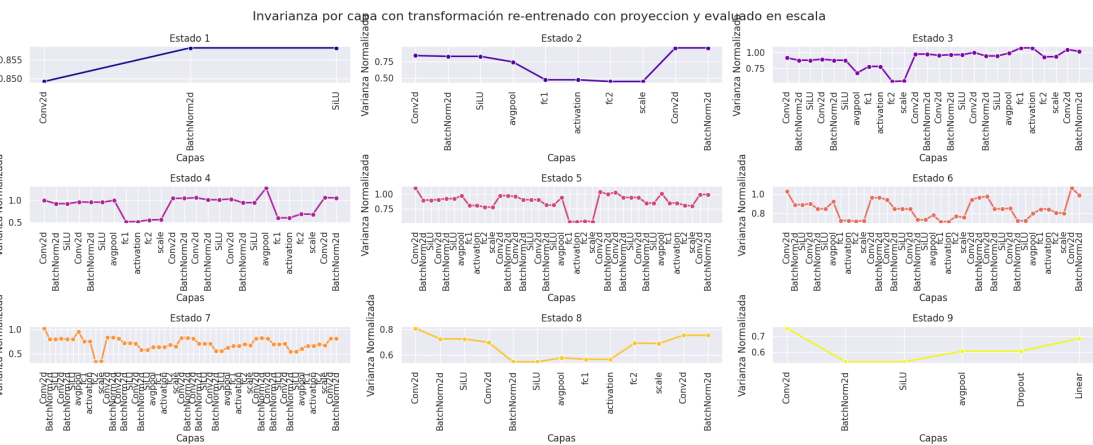


Figura 64: Arquitectura EfficientNetB0, entrenada con enfoque Fine Tuning y transformación Proyección, invarianza evaluada con Escala

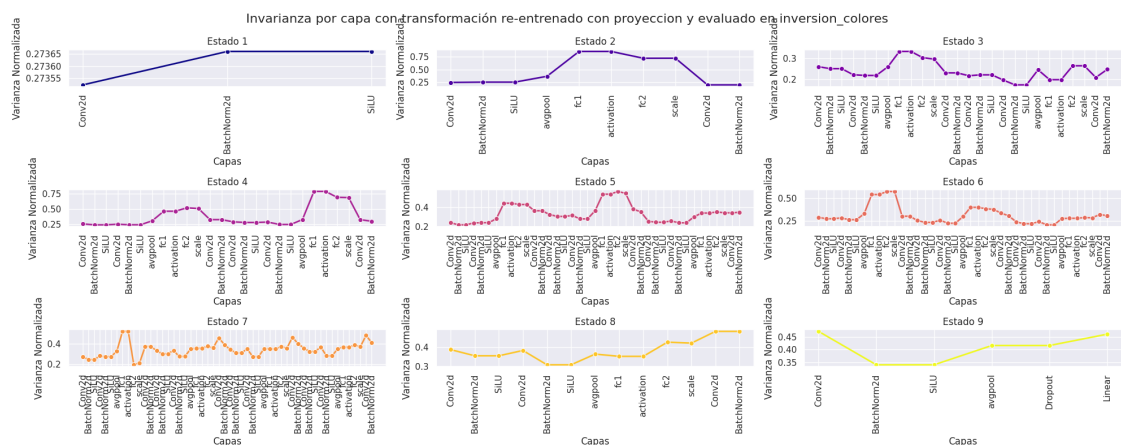


Figura 65: Arquitectura EfficientNetB0, entrenada con enfoque Fine Tuning y transformación Proyección, invarianta evaluada con inversión de colores

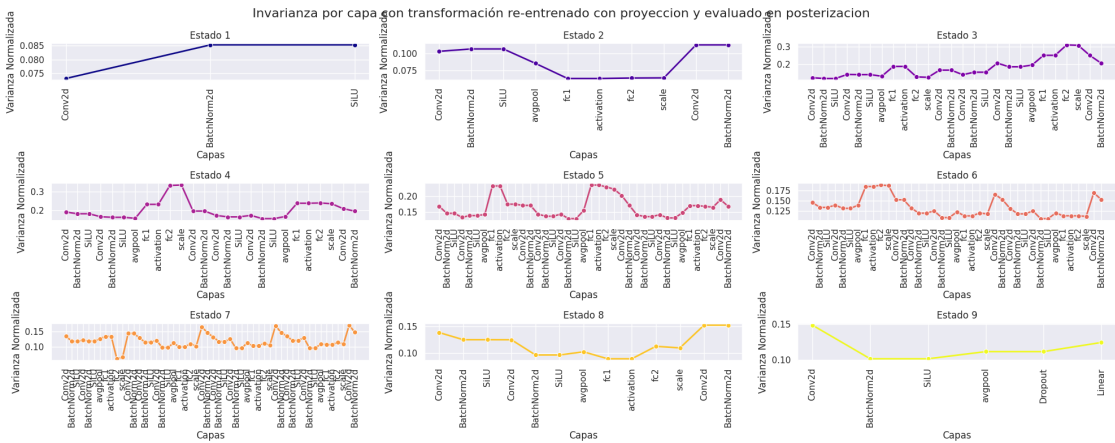


Figura 66: Arquitectura EfficientNetB0, entrenada con enfoque Fine Tuning y transformación Proyección, invarianza evaluada con Posterizacion

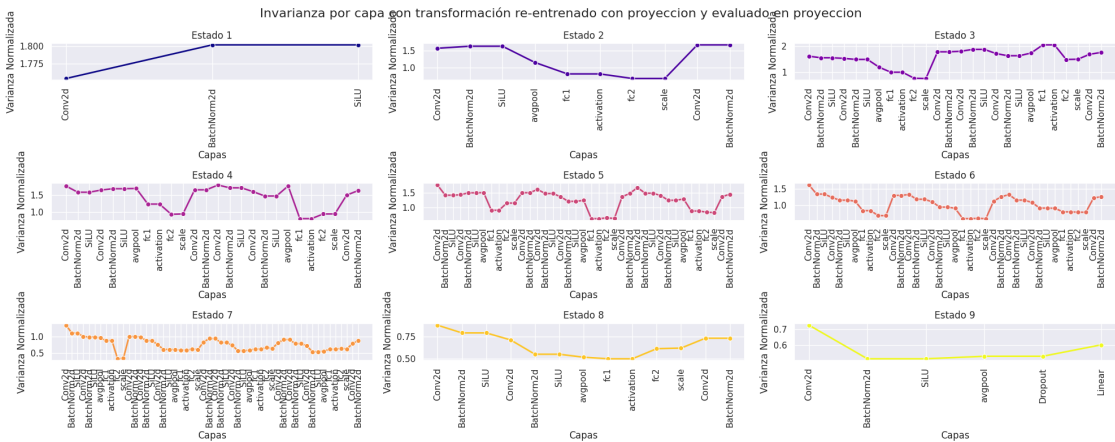


Figura 67: Arquitectura EfficientNetB0, entrenada con enfoque Fine Tuning y transformación Proyección, invarianza evaluada con Proyección

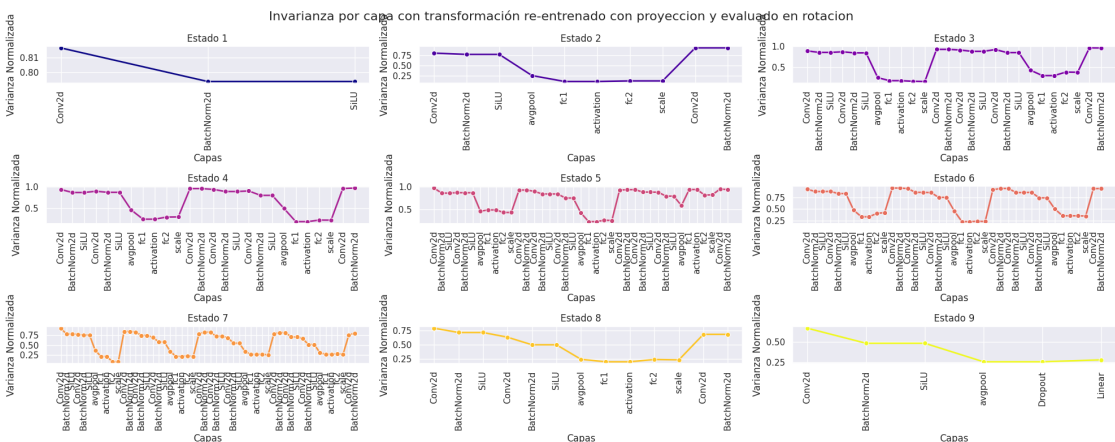


Figura 68: Arquitectura EfficientNetB0, entrenada con enfoque Fine Tuning y transformación Proyección, invarianza evaluada con Rotacion

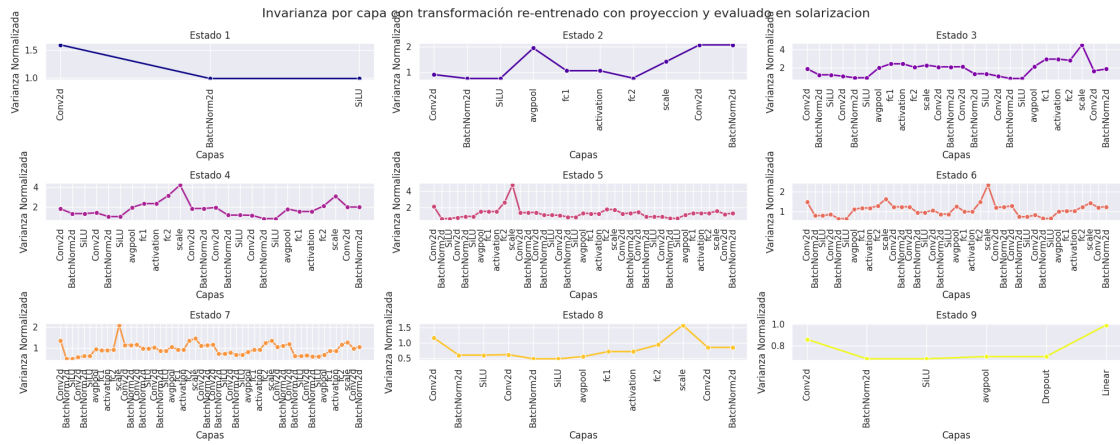


Figura 69: Arquitectura EfficientNetB0, entrenada con enfoque Fine Tuning y transformación Proyección, invarianza evaluada con Solarización

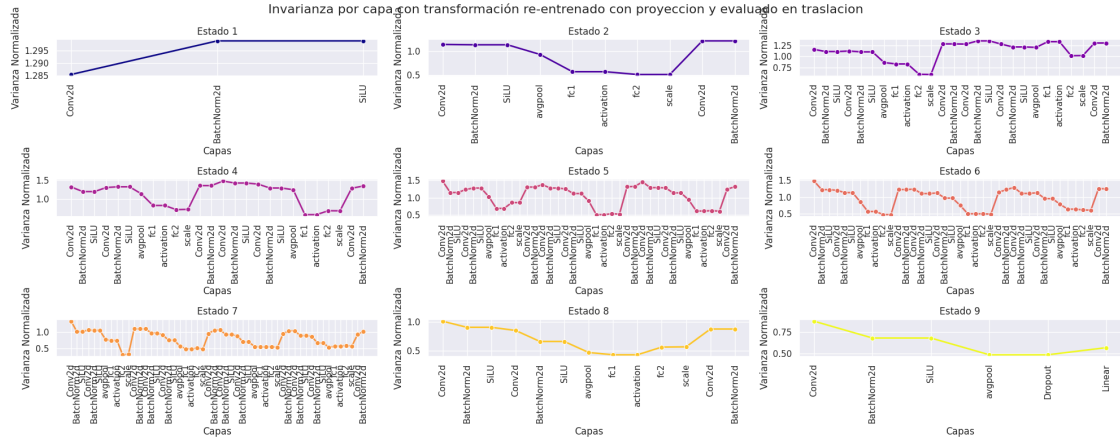


Figura 70: Arquitectura EfficientNetB0, entrenada con enfoque Fine Tuning y transformación Proyección, invarianza evaluada con Traslación

Transformación de entrenamiento: Rotacion

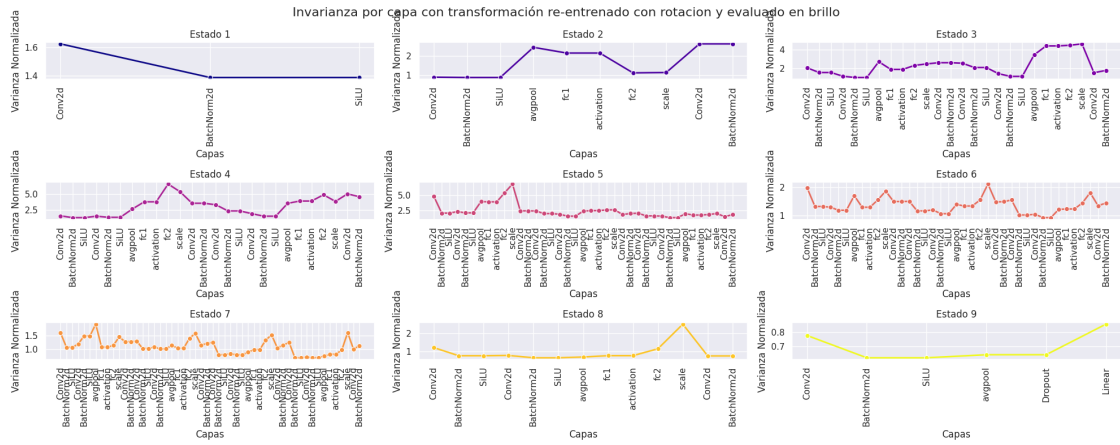


Figura 71: Arquitectura EfficientNetB0, entrenada con enfoque Fine Tuning y transformación Rotación, invarianza evaluada con Brillo

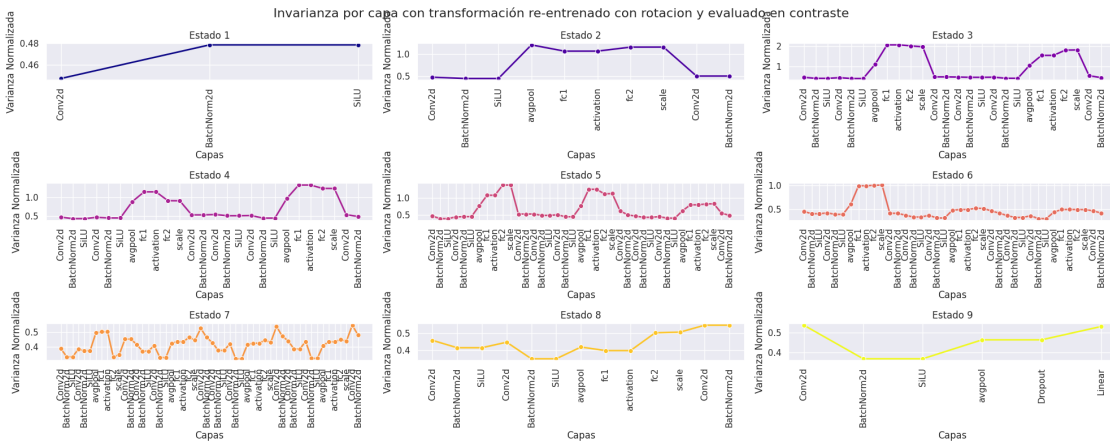


Figura 72: Arquitectura EfficientNetB0, entrenada con enfoque Fine Tuning y transformación Rotacion, invarianza evaluada con Contraste

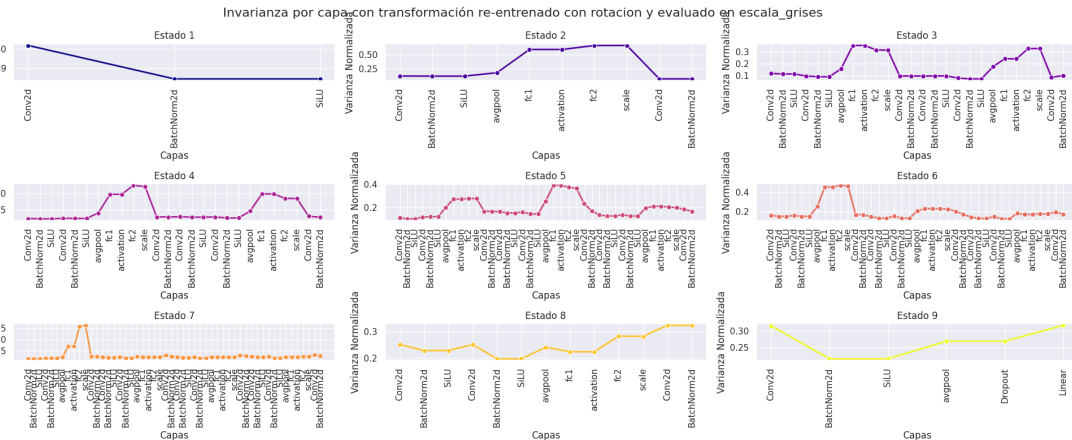


Figura 73: Arquitectura EfficientNetB0, entrenada con enfoque Fine Tuning y transformación Rotacion, invarianza evaluada con escala_grises

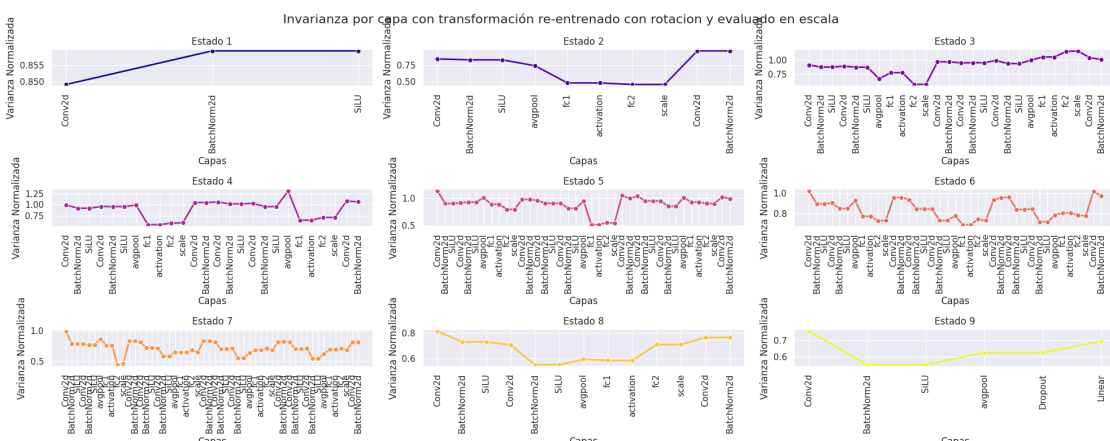


Figura 74: Arquitectura EfficientNetB0, entrenada con enfoque Fine Tuning y transformación Rotacion, invarianza evaluada con Escala

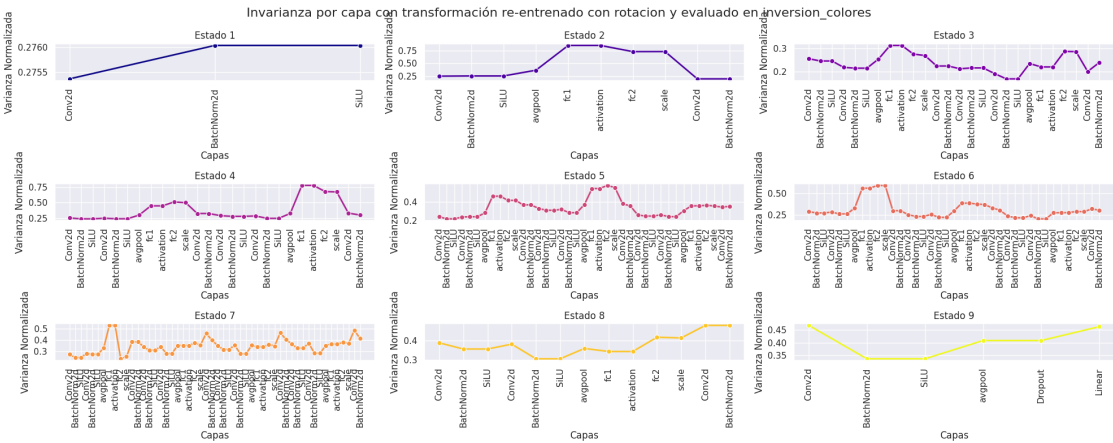


Figura 75: Arquitectura EfficientNetB0, entrenada con enfoque Fine Tuning y transformación Rotacion, invarianza evaluada con inversion de colores

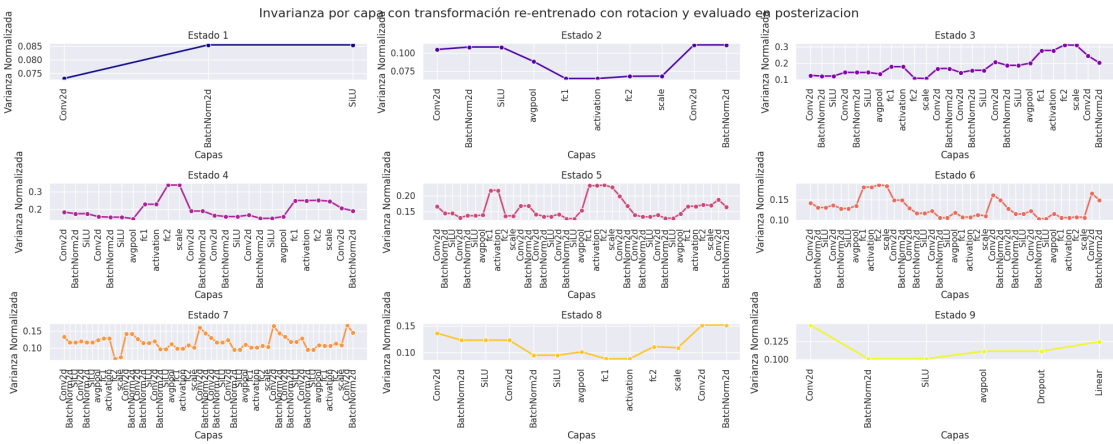


Figura 76: Arquitectura EfficientNetB0, entrenada con enfoque Fine Tuning y transformación Rotacion, invarianza evaluada con Posterizacion

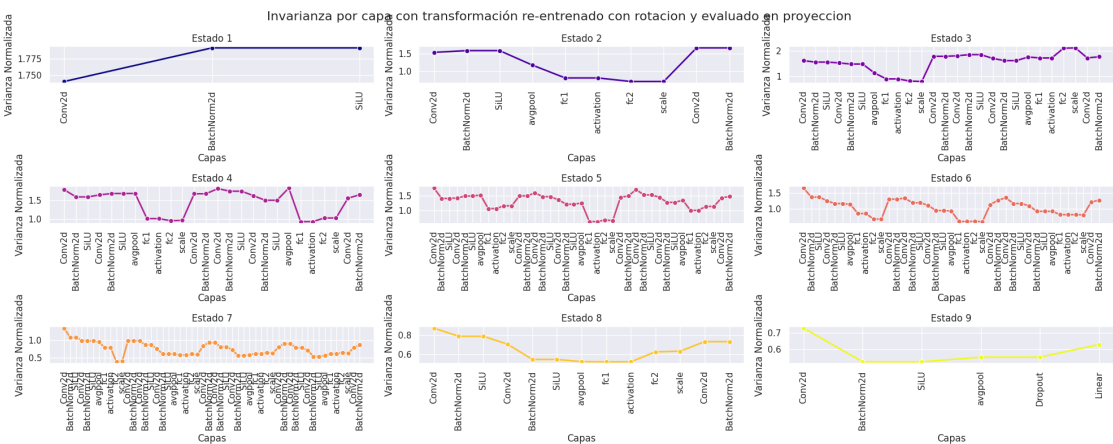


Figura 77: Arquitectura EfficientNetB0, entrenada con enfoque Fine Tuning y transformación Rotacion, invarianza evaluada con Proyeccion

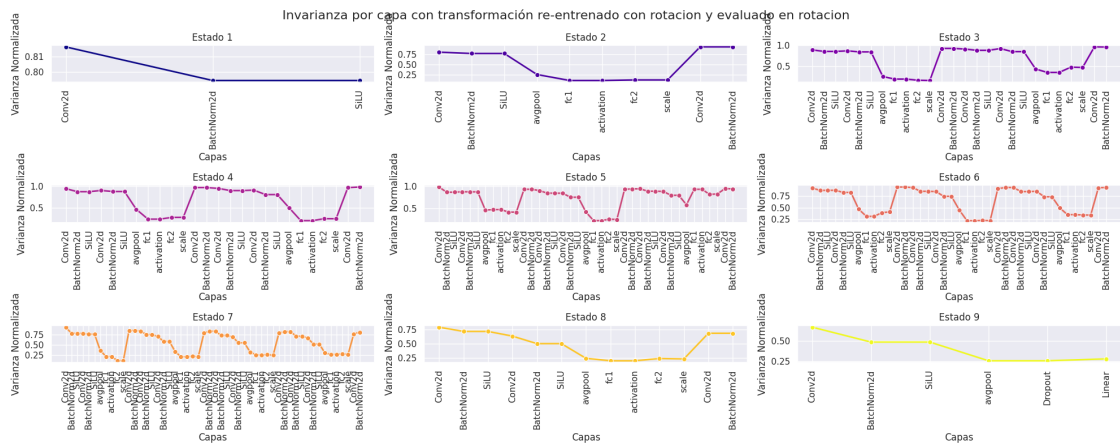


Figura 78: Arquitectura EfficientNetB0, entrenada con enfoque Fine Tuning y transformación Rotacion, invarianza evaluada con Rotacion

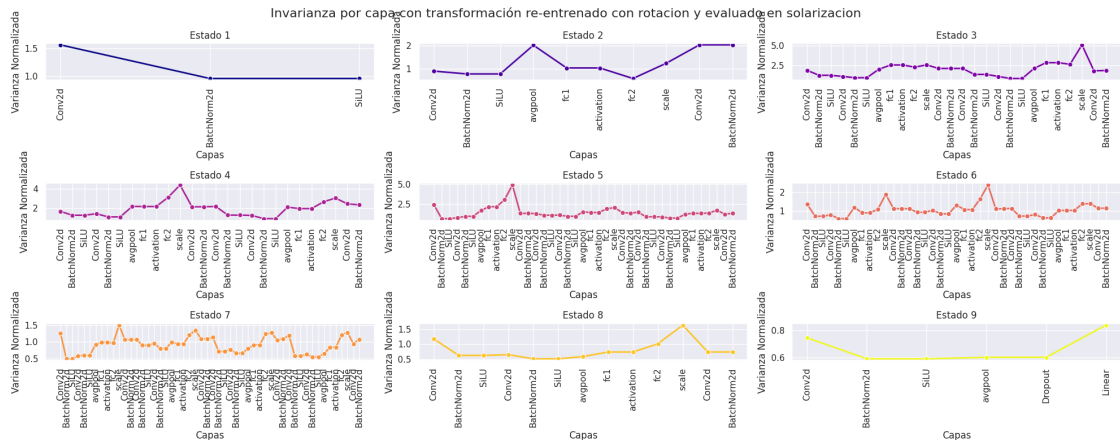


Figura 79: Arquitectura EfficientNetB0, entrenada con enfoque Fine Tuning y transformación Rotacion, invarianza evaluada con Solarizacion

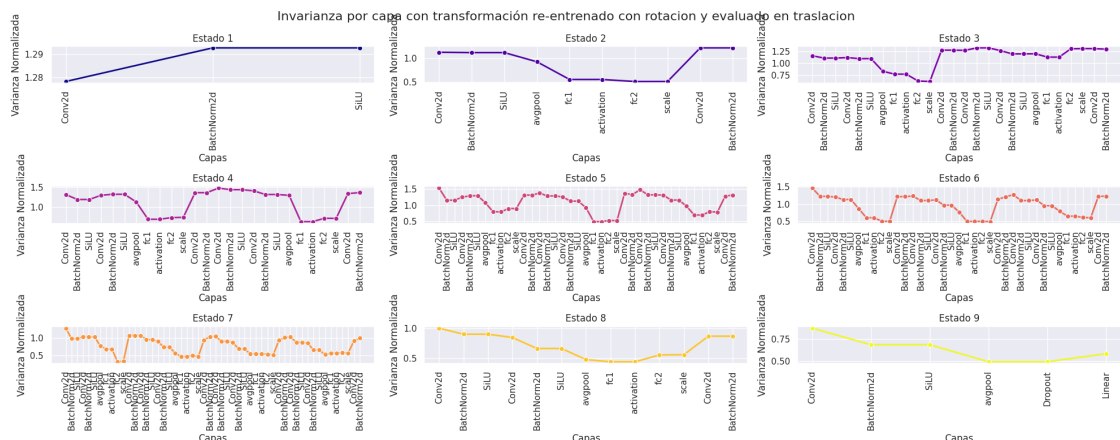


Figura 80: Arquitectura EfficientNetB0, entrenada con enfoque Fine Tuning y transformación Rotacion, invarianza evaluada con Traslacion

Transformación de entrenamiento: Solarización

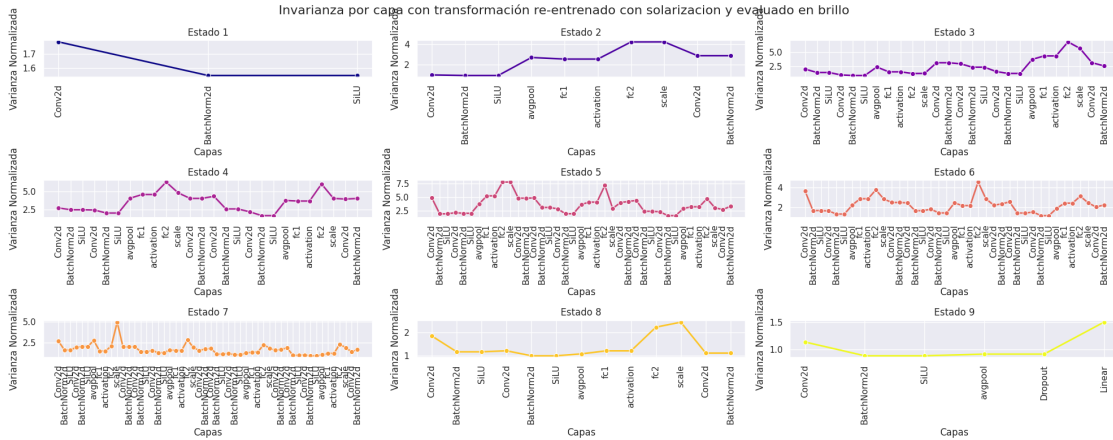


Figura 81: Arquitectura EfficientNetB0, entrenada con enfoque Fine Tuning y transformación Solarizacion, invarianza evaluada con Brillo

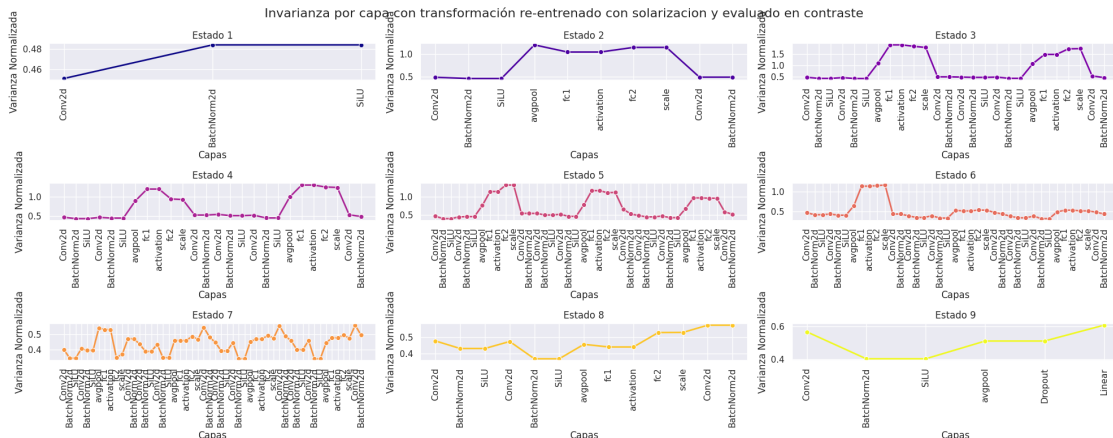


Figura 82: Arquitectura EfficientNetB0, entrenada con enfoque Fine Tuning y transformación Solarizacion, invarianza evaluada con Contraste

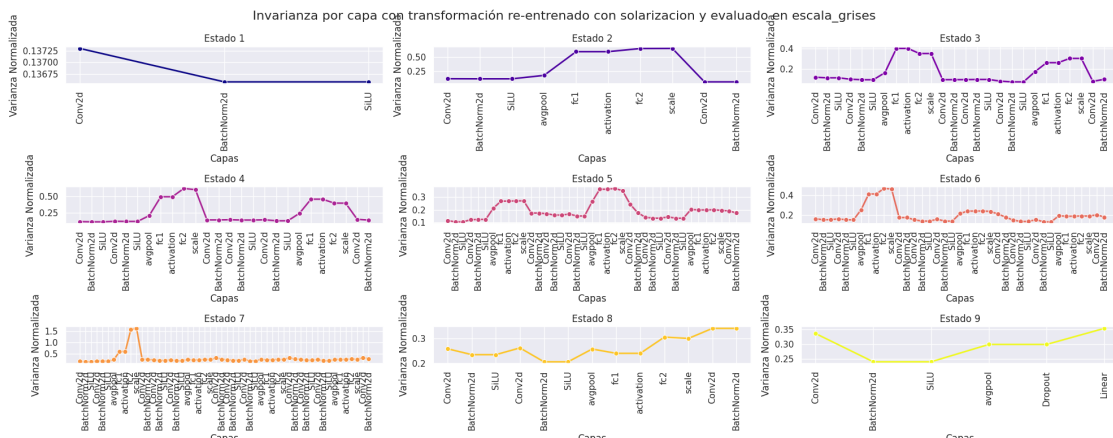


Figura 83: Arquitectura EfficientNetB0, entrenada con enfoque Fine Tuning y transformación Solarizacion, invarianza evaluada con escala de grises

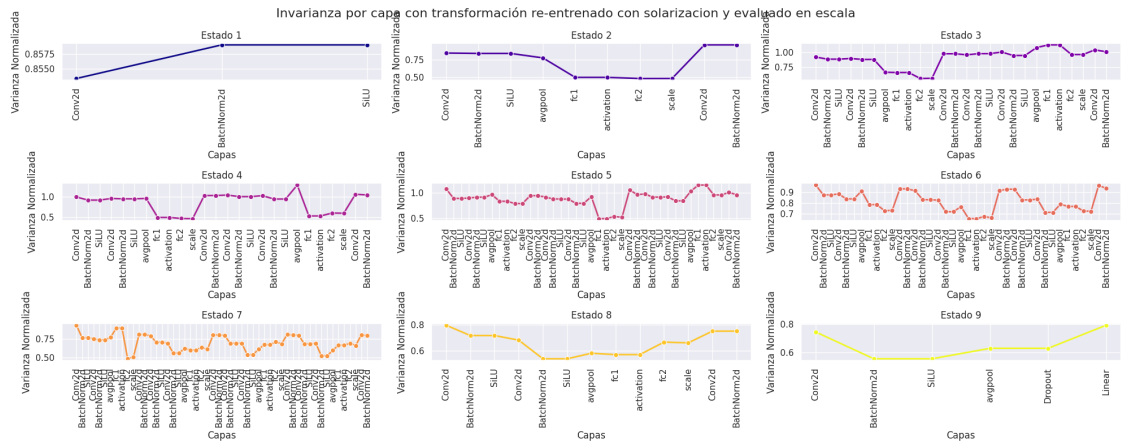


Figura 84: Arquitectura EfficientNetB0, entrenada con enfoque Fine Tuning y transformación Solarizacion, invarianza evaluada con Escala

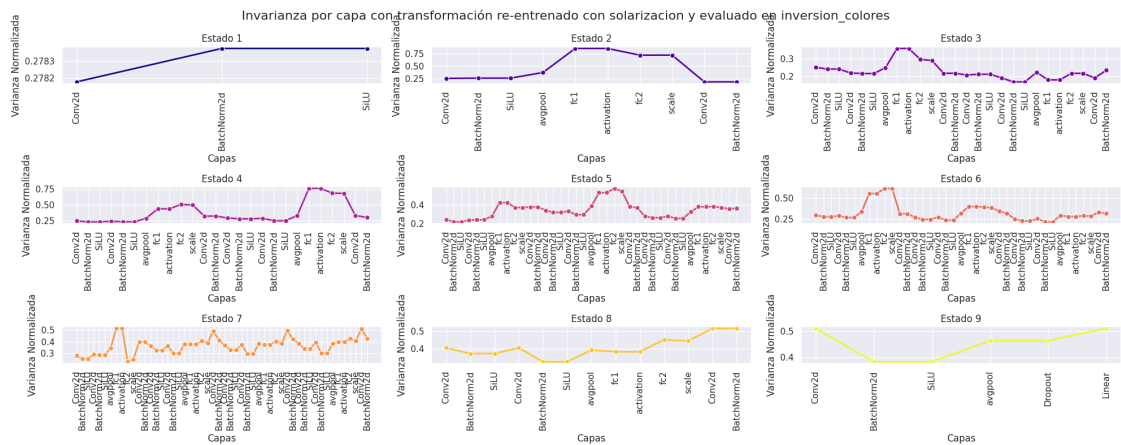


Figura 85: Arquitectura EfficientNetB0, entrenada con enfoque Fine Tuning y transformación Solarizacion, invarianza evaluada con inversion_colores

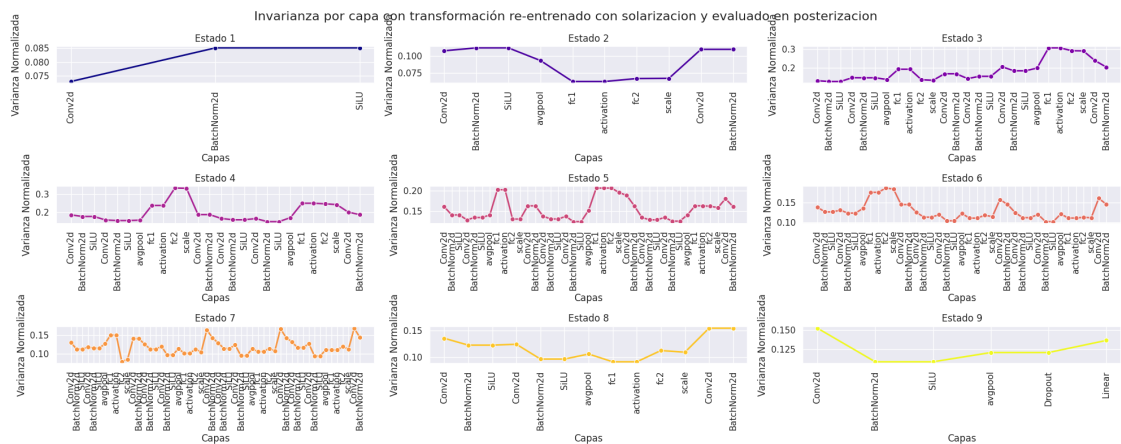


Figura 86: Arquitectura EfficientNetB0, entrenada con enfoque Fine Tuning y transformación Solarizacion, invarianza evaluada con Posterizacion

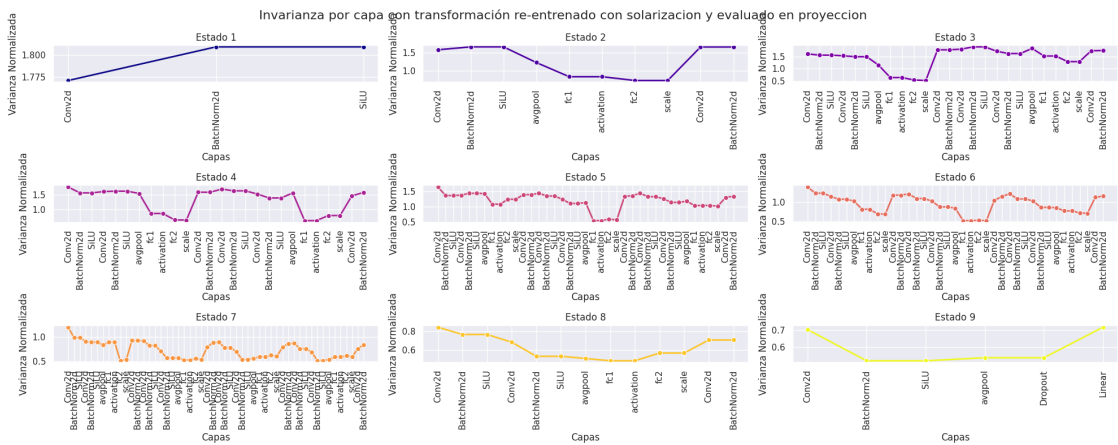


Figura 87: Arquitectura EfficientNetB0, entrenada con enfoque Fine Tuning y transformación Solarización, invarianza evaluada con Proyección

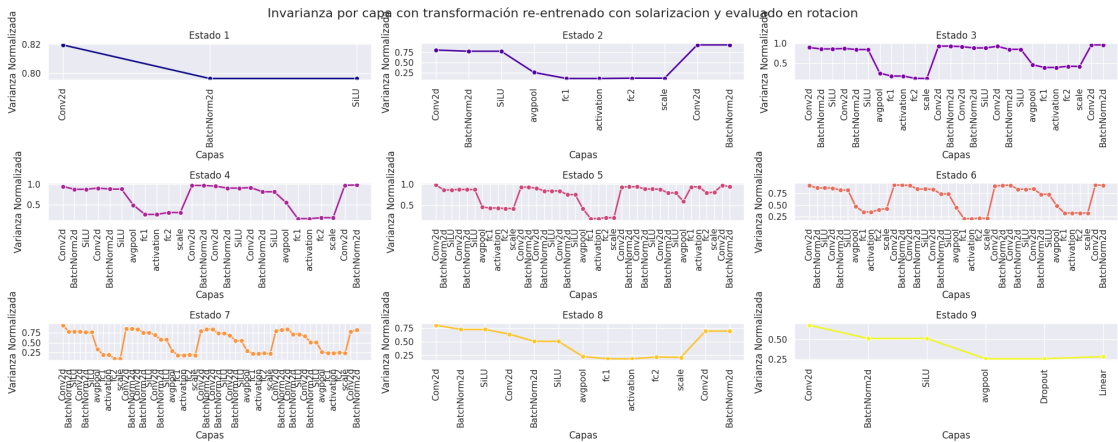


Figura 88: Arquitectura EfficientNetB0, entrenada con enfoque Fine Tuning y transformación Solarización, invarianza evaluada con Rotación

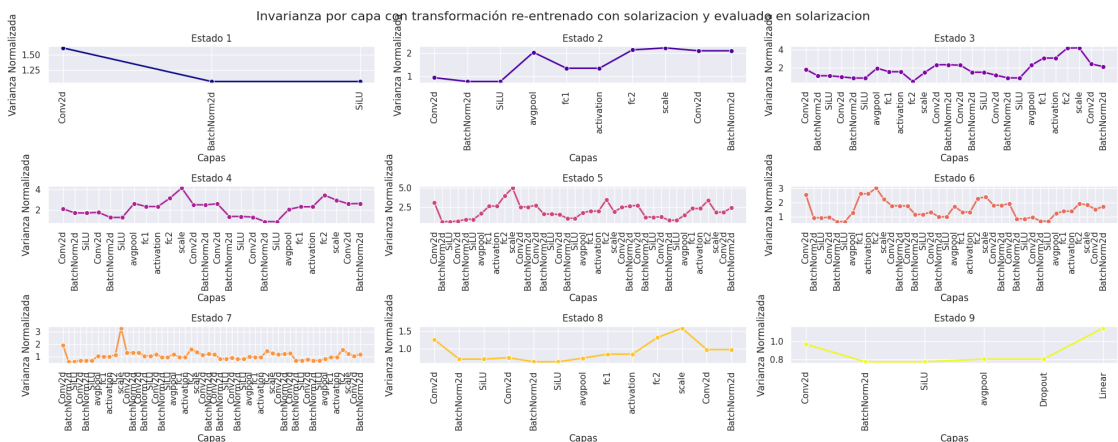


Figura 89: Arquitectura EfficientNetB0, entrenada con enfoque Fine Tuning y transformación Solarización, invarianza evaluada con Solarización

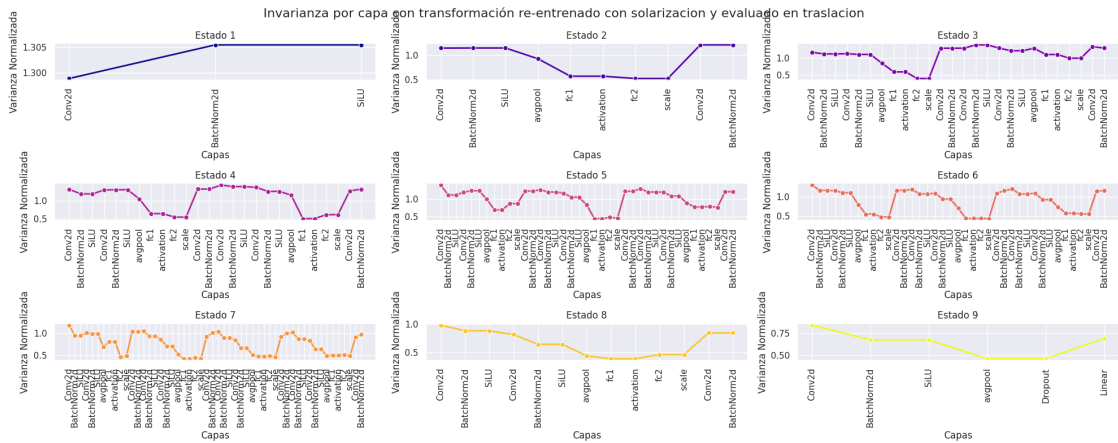


Figura 90: Arquitectura EfficientNetB0, entrenada con enfoque Fine Tuning y transformación Solarizacion, invarianza evaluada con Traslacion

Transformación de entrenamiento: Traslacion

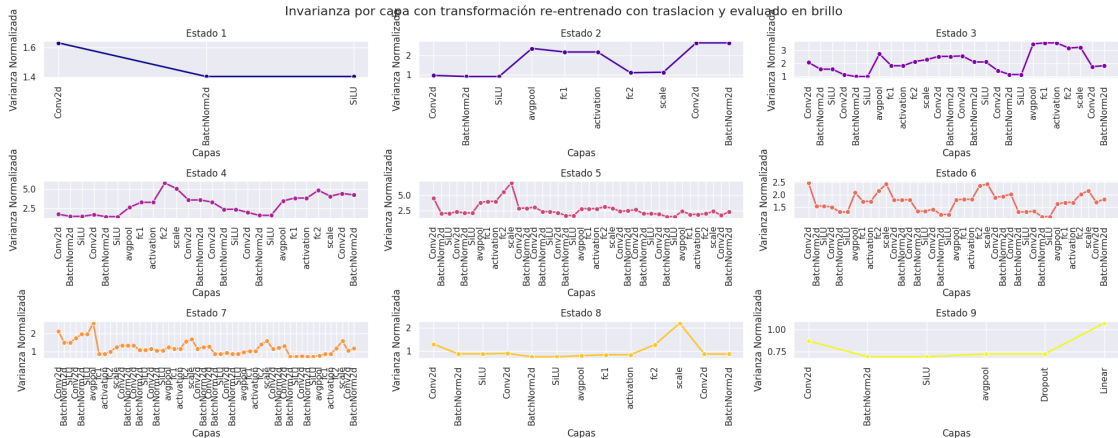


Figura 91: Arquitectura EfficientNetB0, entrenada con enfoque Fine Tuning y transformación Traslacion, invarianza evaluada con Brillo

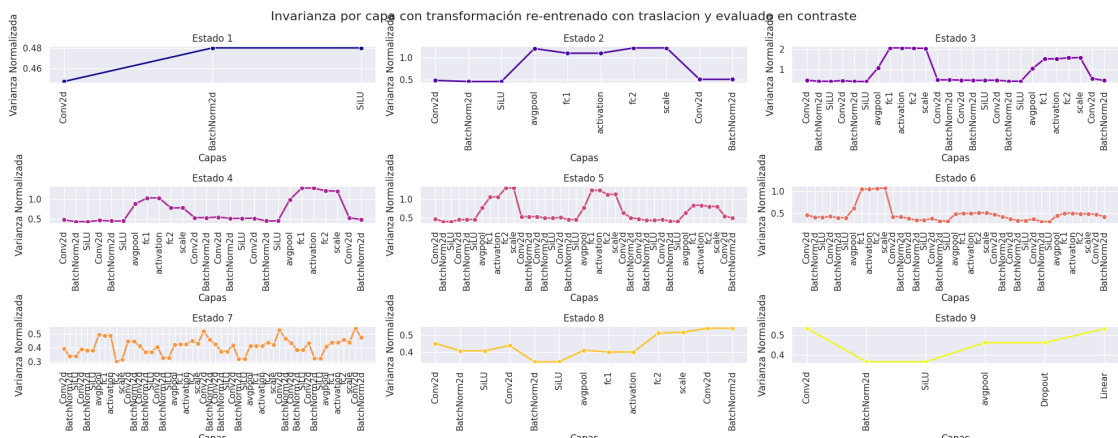


Figura 92: Arquitectura EfficientNetB0, entrenada con enfoque Fine Tuning y transformación Traslacion, invarianza evaluada con Contraste

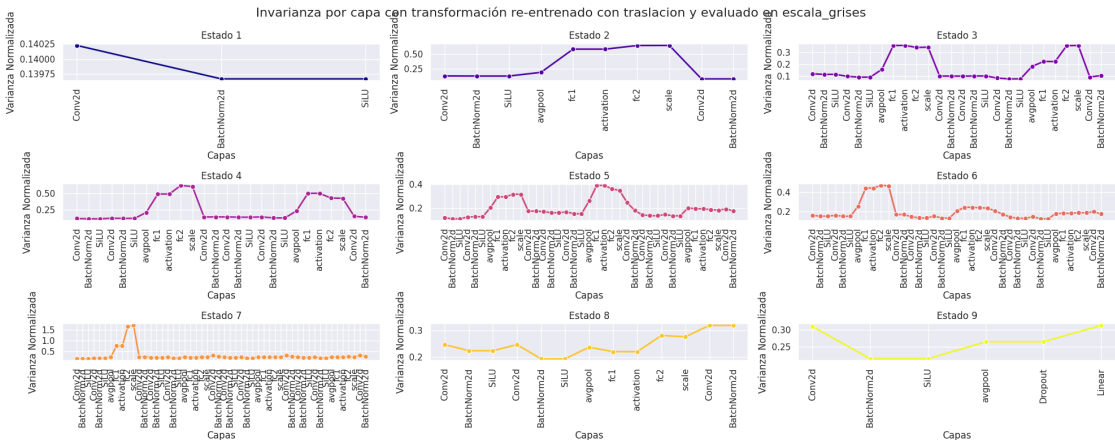


Figura 93: Arquitectura EfficientNetB0, entrenada con enfoque Fine Tuning y transformación Traslacion, invarianza evaluada con escala de grises

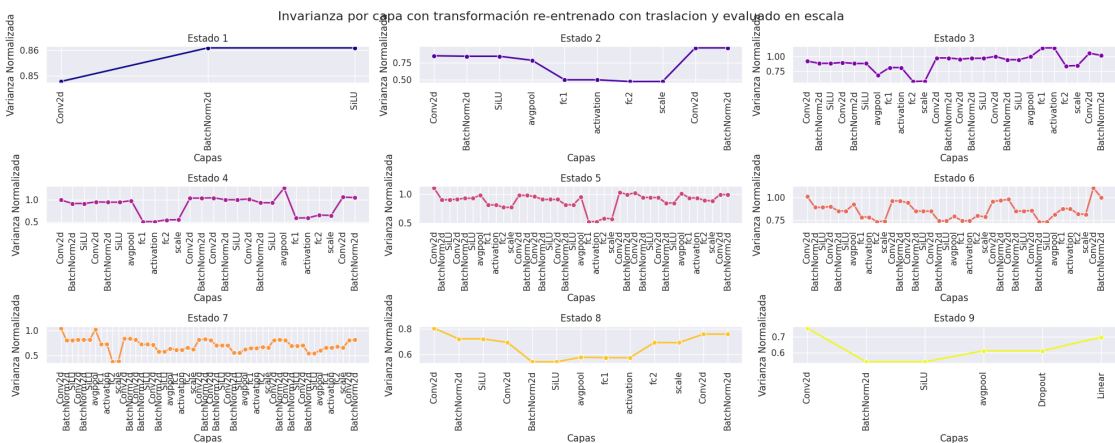


Figura 94: Arquitectura EfficientNetB0, entrenada con enfoque Fine Tuning y transformación Traslacion, invarianza evaluada con Escala

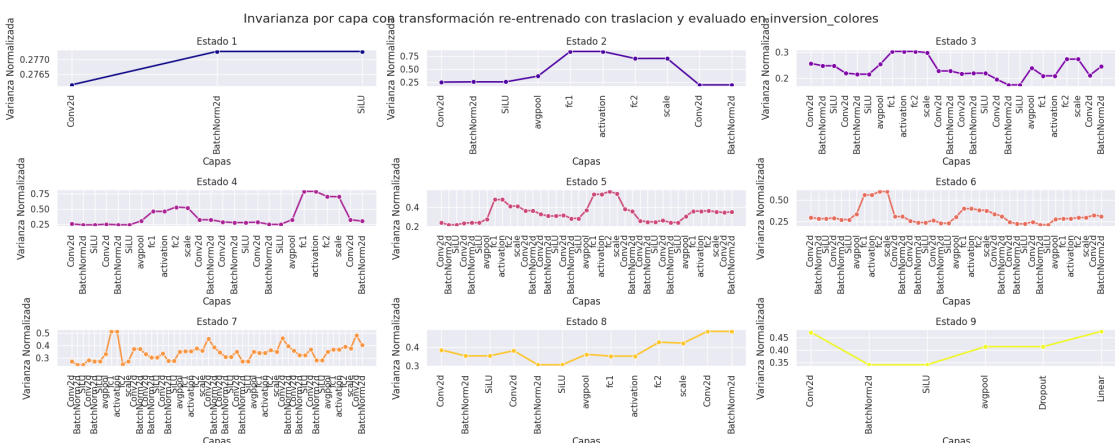


Figura 95: Arquitectura EfficientNetB0, entrenada con enfoque Fine Tuning y transformación Traslacion, invarianza evaluada con inversion de colores

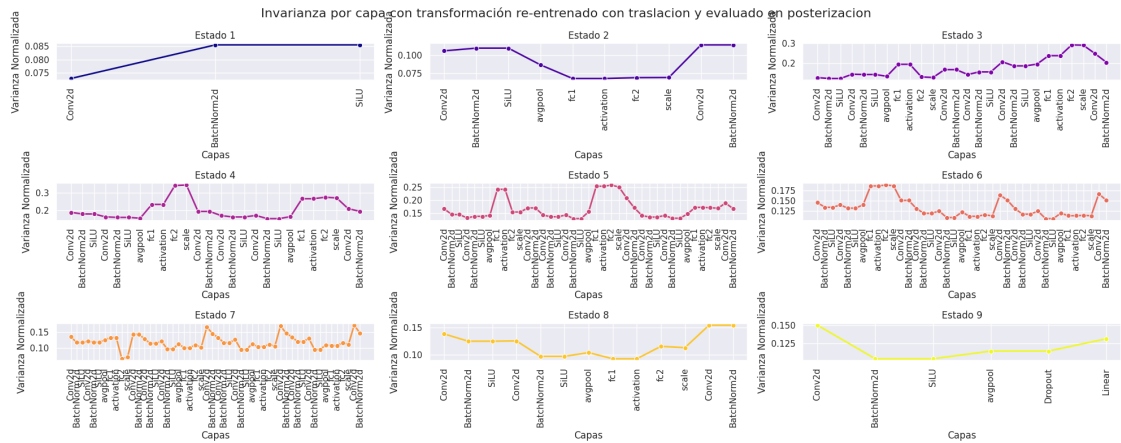


Figura 96: Arquitectura EfficientNetB0, entrenada con enfoque Fine Tuning y transformación Traslacion, invarianza evaluada con Posterizacion

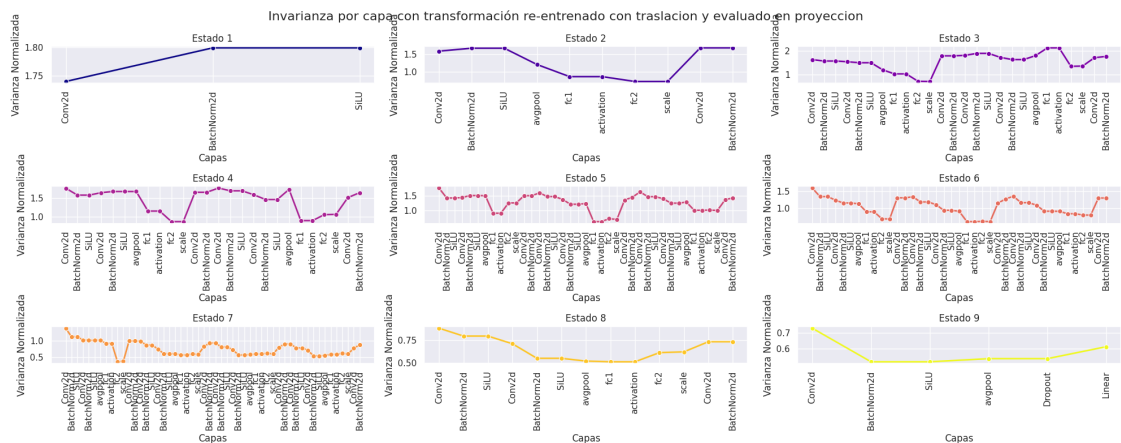


Figura 97: Arquitectura EfficientNetB0, entrenada con enfoque Fine Tuning y transformación Traslacion, invarianza evaluada con Proyeccion

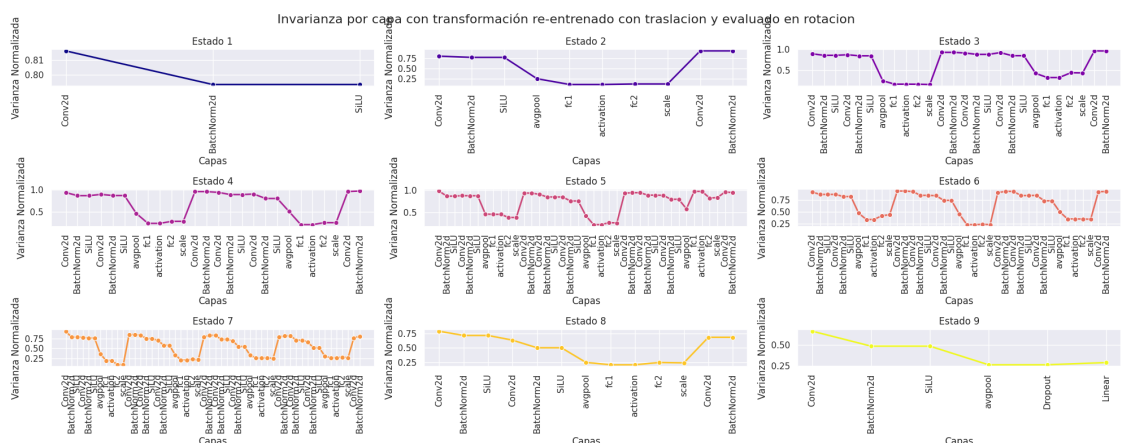


Figura 98: Arquitectura EfficientNetB0, entrenada con enfoque Fine Tuning y transformación Traslacion, invarianza evaluada con Rotacion

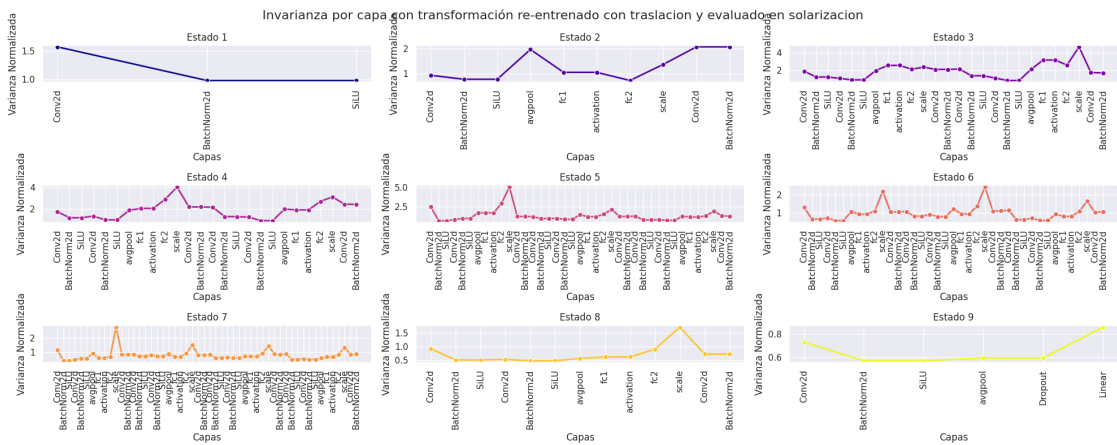


Figura 99: Arquitectura EfficientNetB0, entrenada con enfoque Fine Tuning y transformación Traslacion, invarianza evaluada con Solarizacion

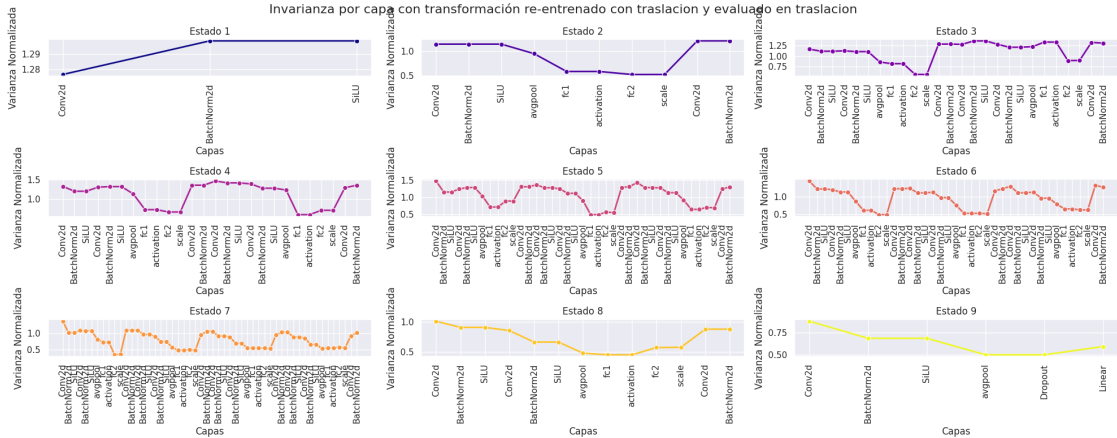


Figura 100: Arquitectura EfficientNetB0, entrenada con enfoque Fine Tuning y transformación Traslacion, invarianza evaluada con Traslacion

Modelo Identidad

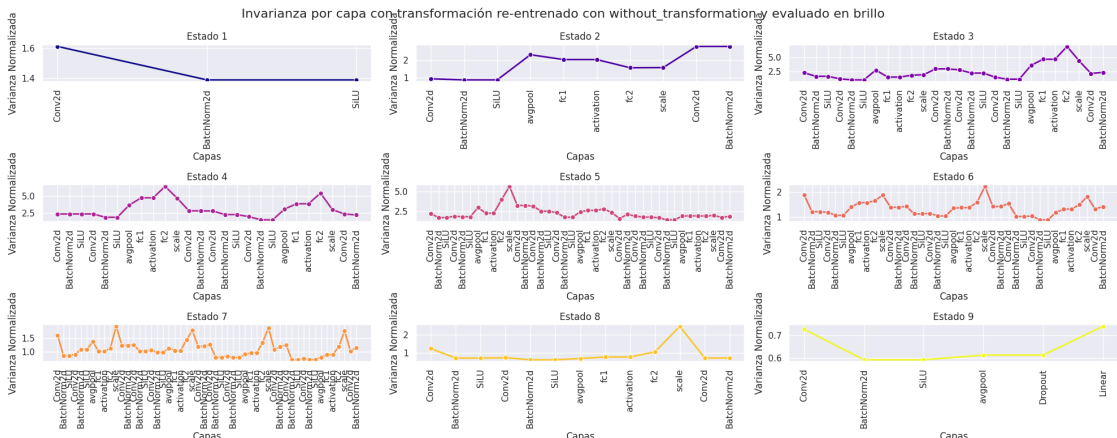


Figura 101: Arquitectura EfficientNetB0, entrenada con enfoque Fine Tuning y modelo Identidad, invarianza evaluada con Brillo

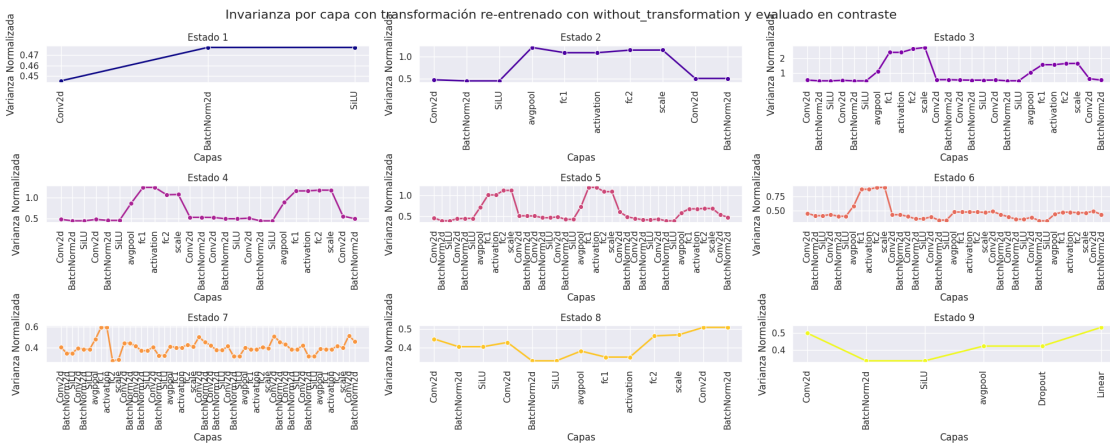


Figura 102: Arquitectura EfficientNetB0, entrenada con enfoque Fine Tuning y modelo Identidad, invarianza evaluada con Contraste

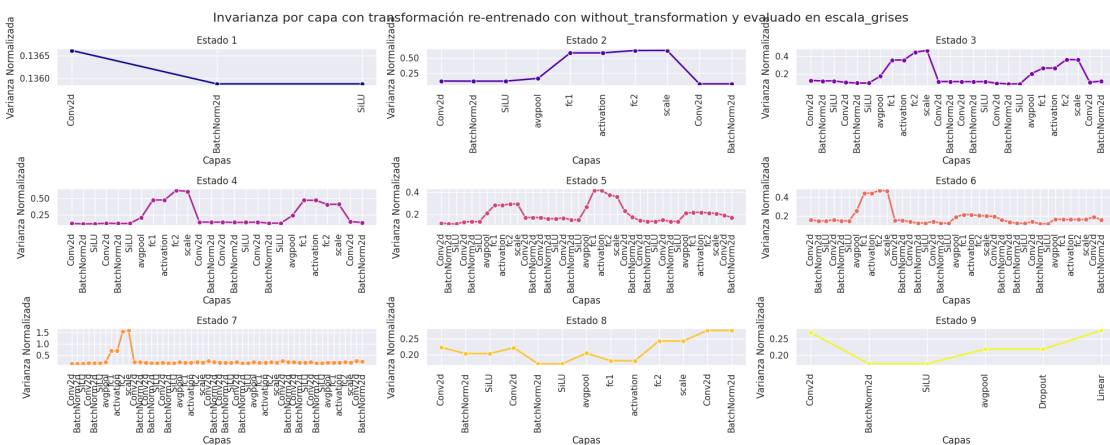


Figura 103: Arquitectura EfficientNetB0, entrenada con enfoque Fine Tuning y modelo Identidad, invarianza evaluada con escala de grises

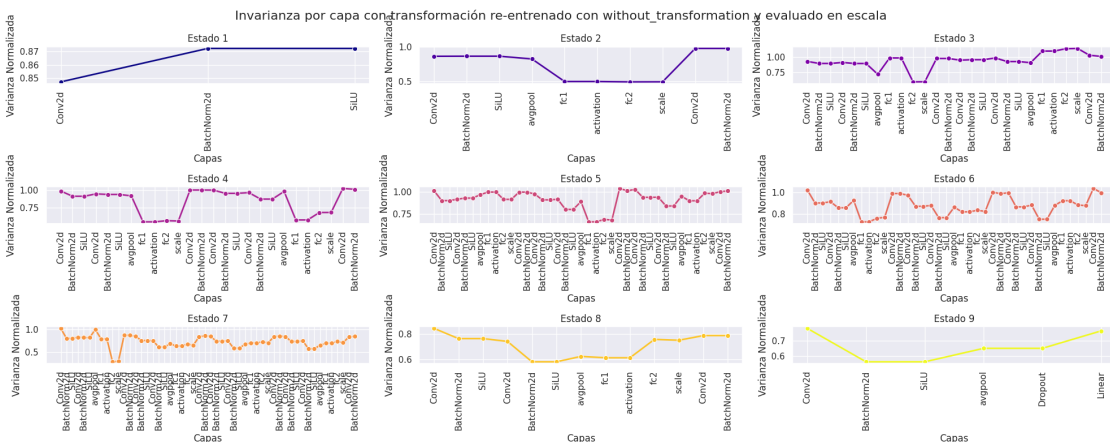


Figura 104: Arquitectura EfficientNetB0, entrenada con enfoque Fine Tuning y modelo Identidad, invarianza evaluada con Escala

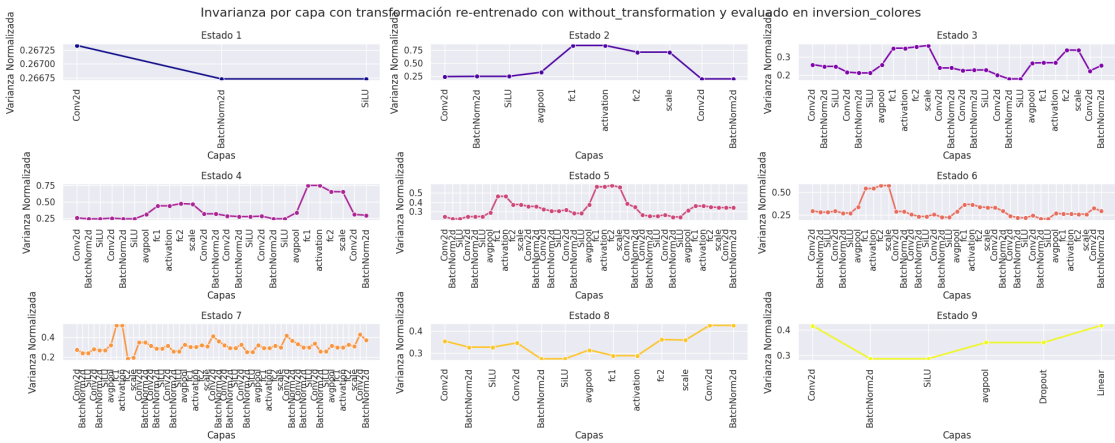


Figura 105: Arquitectura EfficientNetB0, entrenada con enfoque Fine Tuning y modelo Identidad, invarianza evaluada con inversión de colores

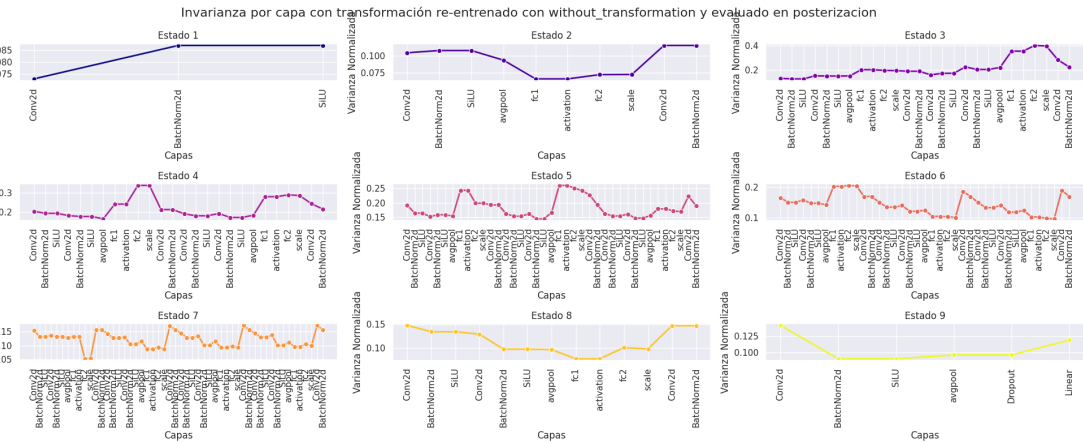


Figura 106: Arquitectura EfficientNetB0, entrenada con enfoque Fine Tuning y modelo Identidad, invarianza evaluada con Posterización

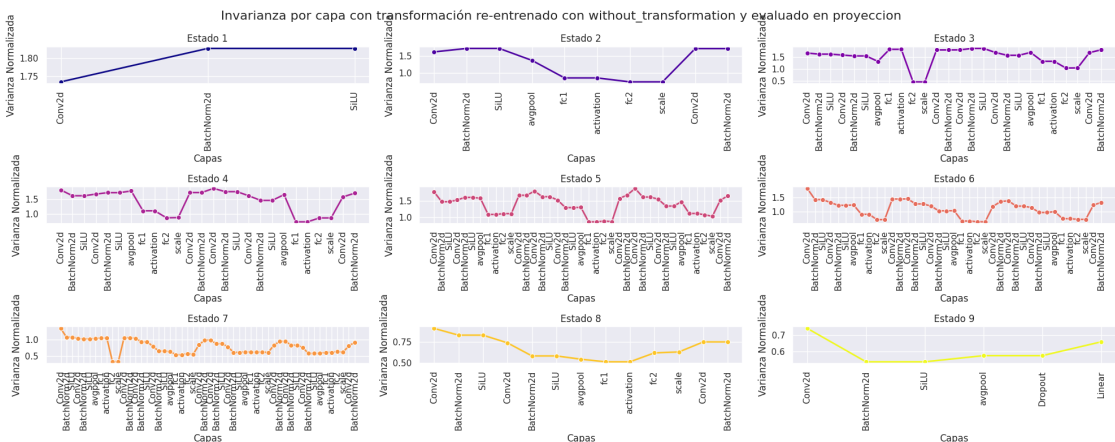


Figura 107: Arquitectura EfficientNetB0, entrenada con enfoque Fine Tuning y modelo Identidad, invarianza evaluada con Proyección

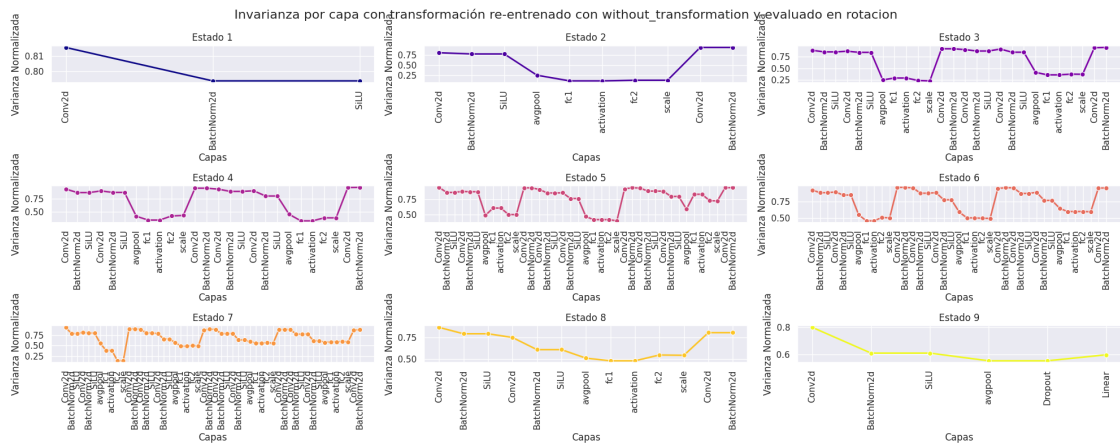


Figura 108: Arquitectura EfficientNetB0, entrenada con enfoque Fine Tuning y modelo Identidad, invarianza evaluada con Rotacion

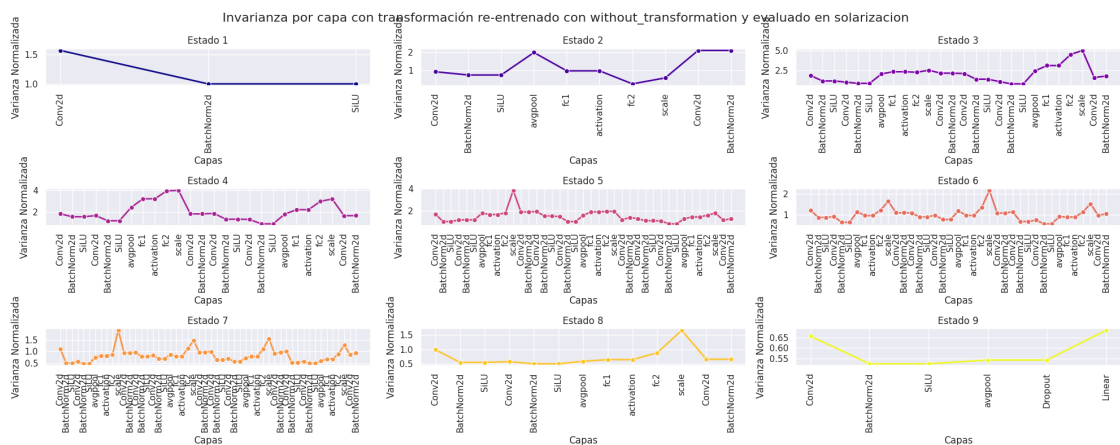


Figura 109: Arquitectura EfficientNetB0, entrenada con enfoque Fine Tuning y modelo Identidad, invarianza evaluada con Solarizacion

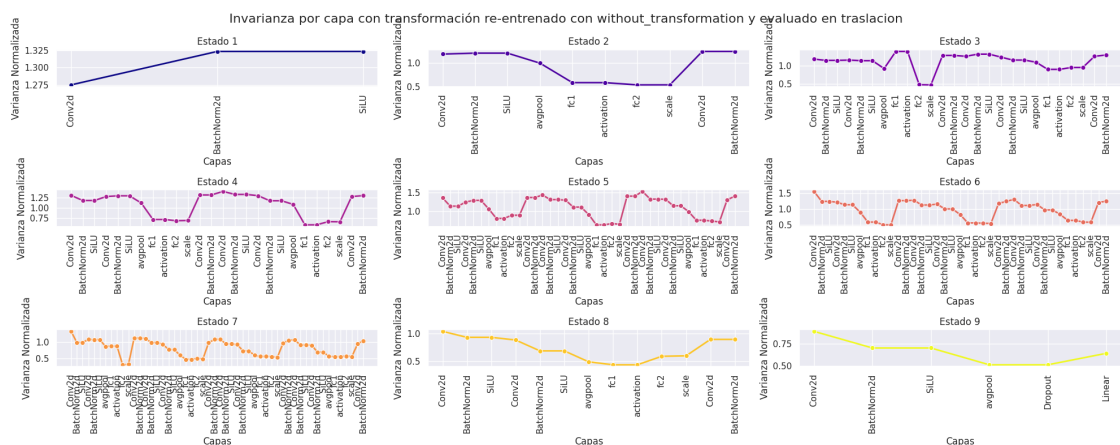


Figura 110: Arquitectura EfficientNetB0, entrenada con enfoque Fine Tuning y modelo Identidad, invarianza evaluada con Traslacion

Entrenamiento: Full

Transformación de entrenamiento: Brillo

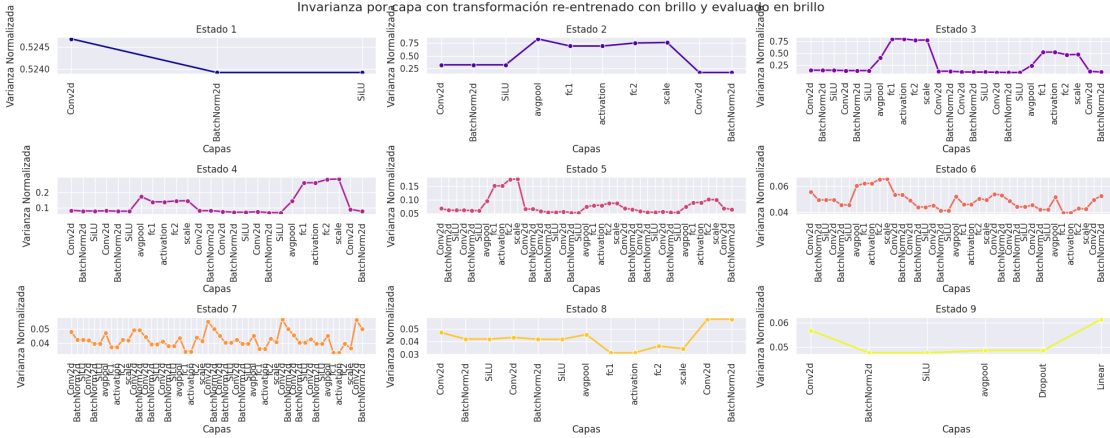


Figura 111: Arquitectura EfficientNetB0, entrenada con enfoque Full y transformación Brillo, invarianza evaluada con Brillo

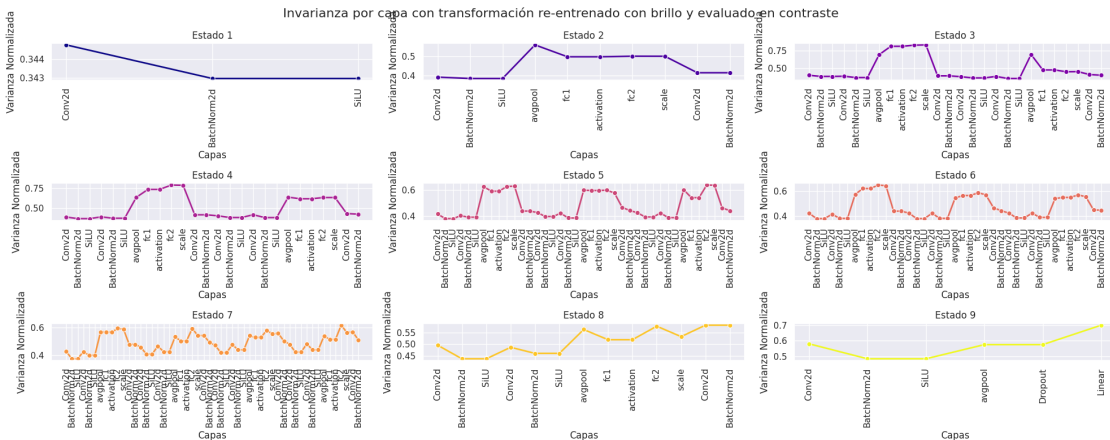


Figura 112: Arquitectura EfficientNetB0, entrenada con enfoque Full y transformación Brillo, invarianza evaluada con Contraste

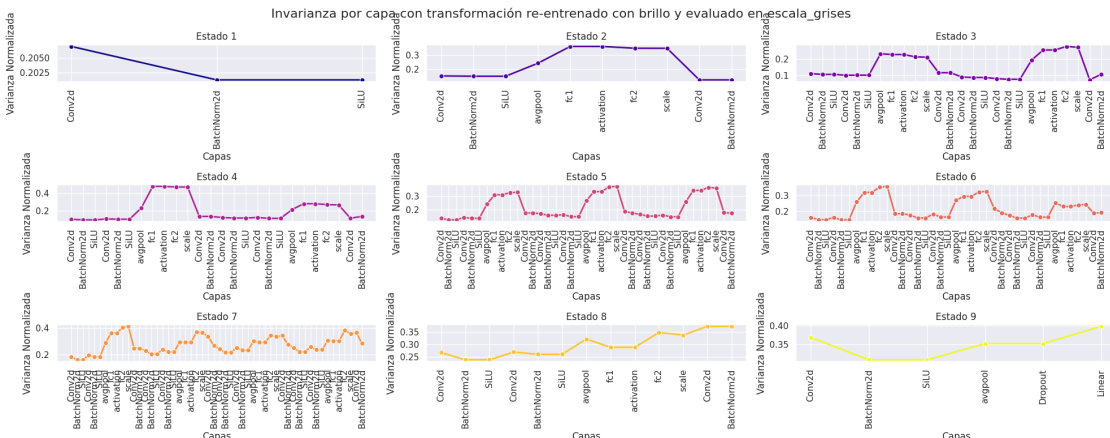


Figura 113: Arquitectura EfficientNetB0, entrenada con enfoque Full y transformación Brillo, invarianza evaluada con escala de grises

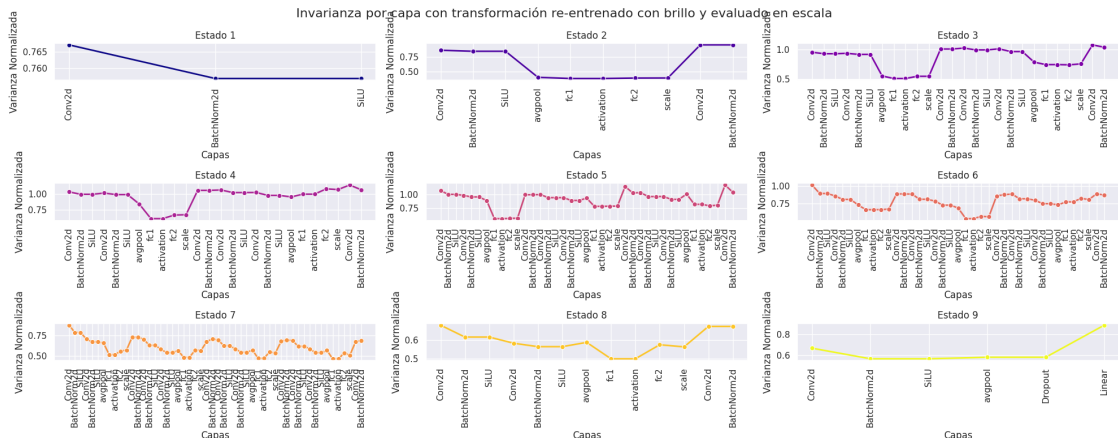


Figura 114: Arquitectura EfficientNetB0, entrenada con enfoque Full y transformación Brillo, invarianza evaluada con Escala

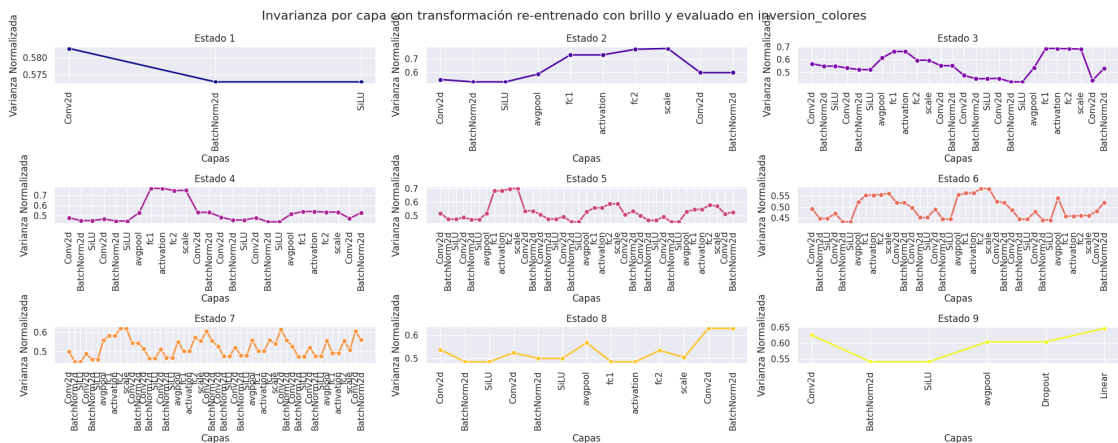


Figura 115: Arquitectura EfficientNetB0, entrenada con enfoque Full y transformación Brillo, invarianza evaluada con inversion de colores

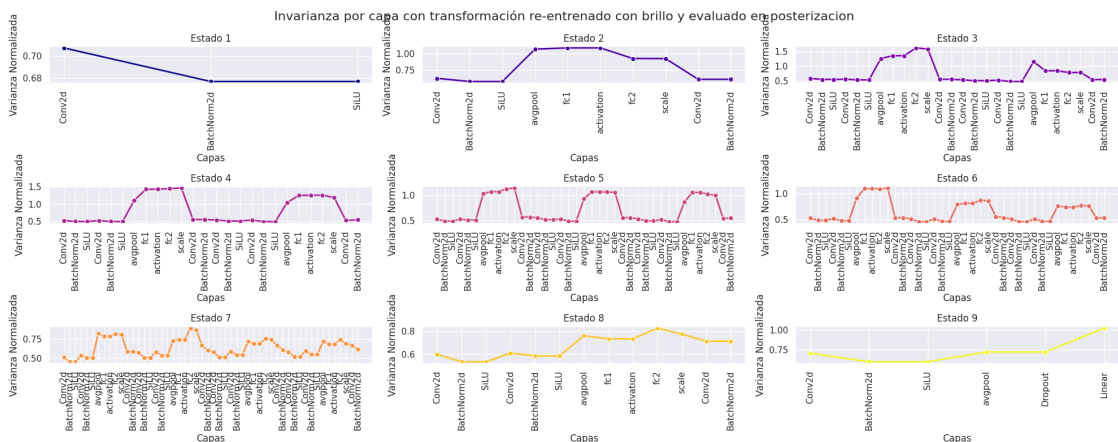


Figura 116: Arquitectura EfficientNetB0, entrenada con enfoque Full y transformación Brillo, invarianza evaluada con Posterizacion

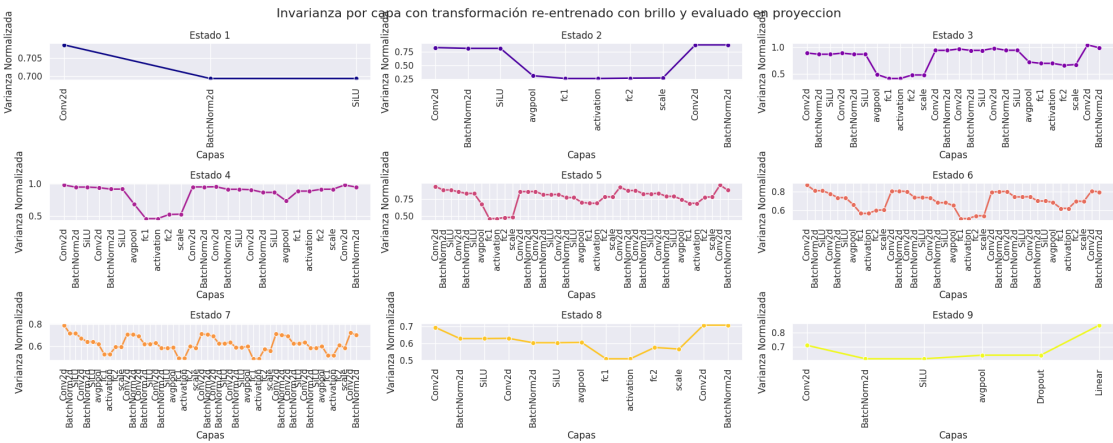


Figura 117: Arquitectura EfficientNetB0, entrenada con enfoque Full y transformación Brillo, invarianza evaluada con Proyección

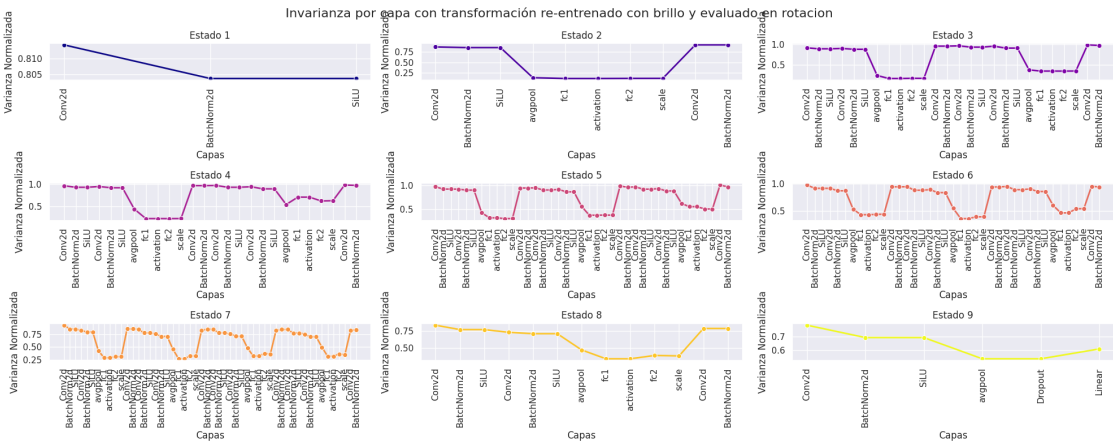


Figura 118: Arquitectura EfficientNetB0, entrenada con enfoque Full y transformación Brillo, invarianza evaluada con Rotación

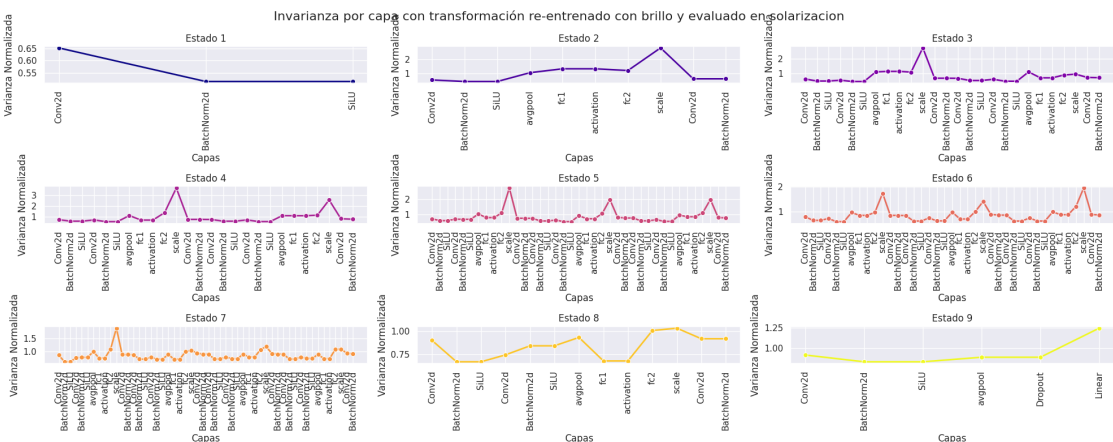


Figura 119: Arquitectura EfficientNetB0, entrenada con enfoque Full y transformación Brillo, invarianza evaluada con Solarización

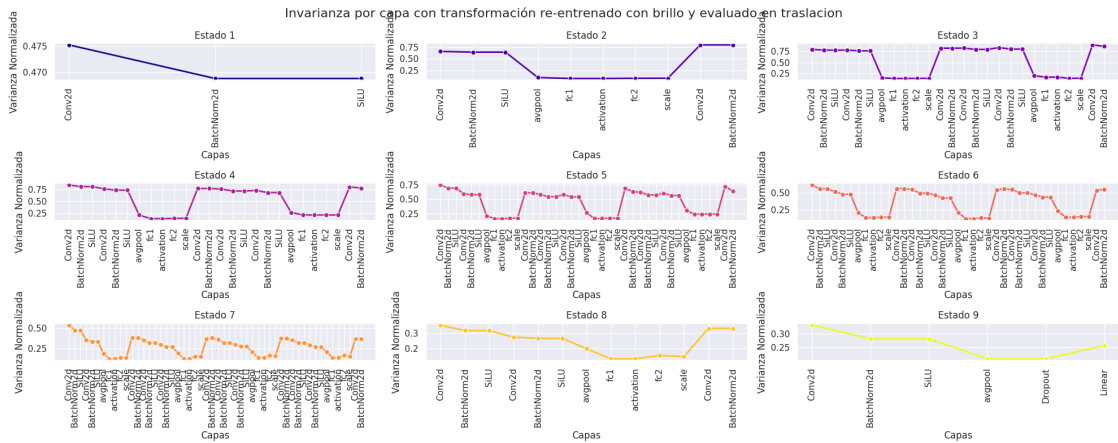


Figura 120: Arquitectura EfficientNetB0, entrenada con enfoque Full y transformación Brillo, invarianza evaluada con Traslacion

Transformación de entrenamiento: Contraste

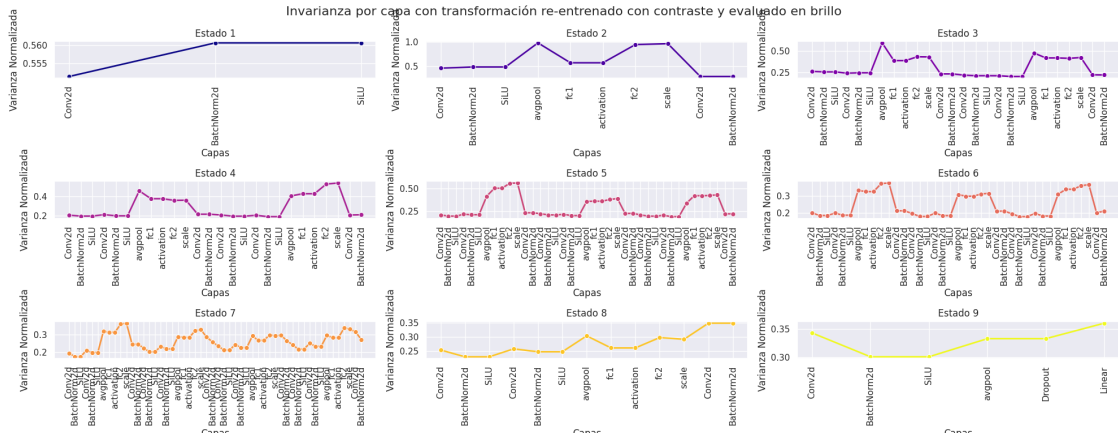


Figura 121: Arquitectura EfficientNetB0, entrenada con enfoque Full y transformación Contraste, invarianza evaluada con Brillo

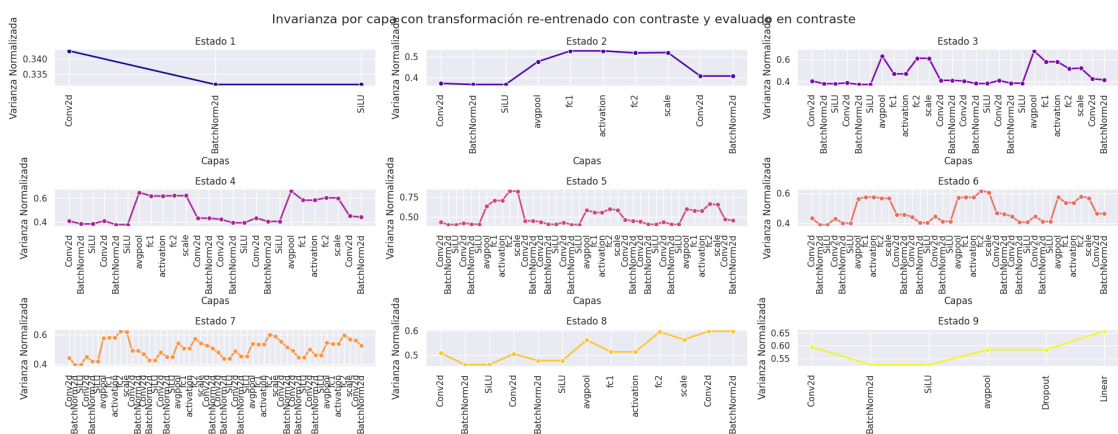


Figura 122: Arquitectura EfficientNetB0, entrenada con enfoque Full y transformación Contraste, invarianza evaluada con Contraste

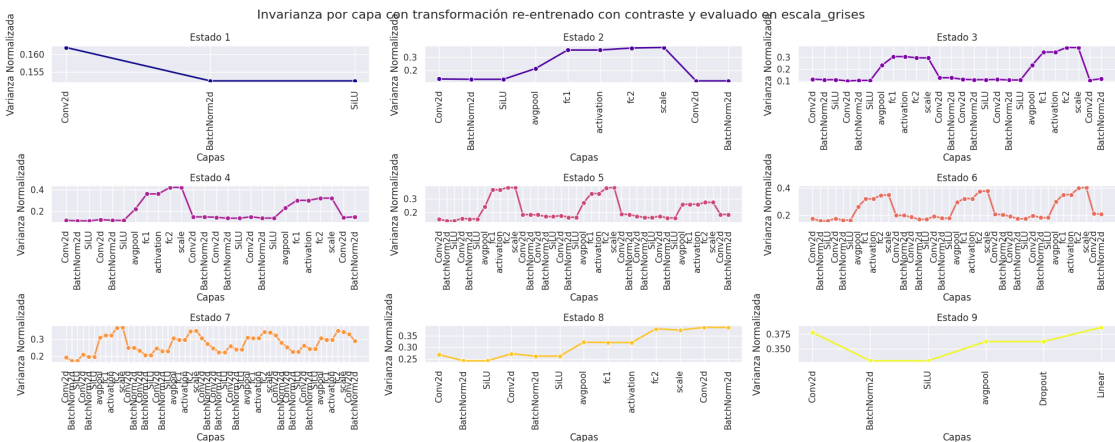


Figura 123: Arquitectura EfficientNetB0, entrenada con enfoque Full y transformación Contraste, invarianza evaluada con escala de grises

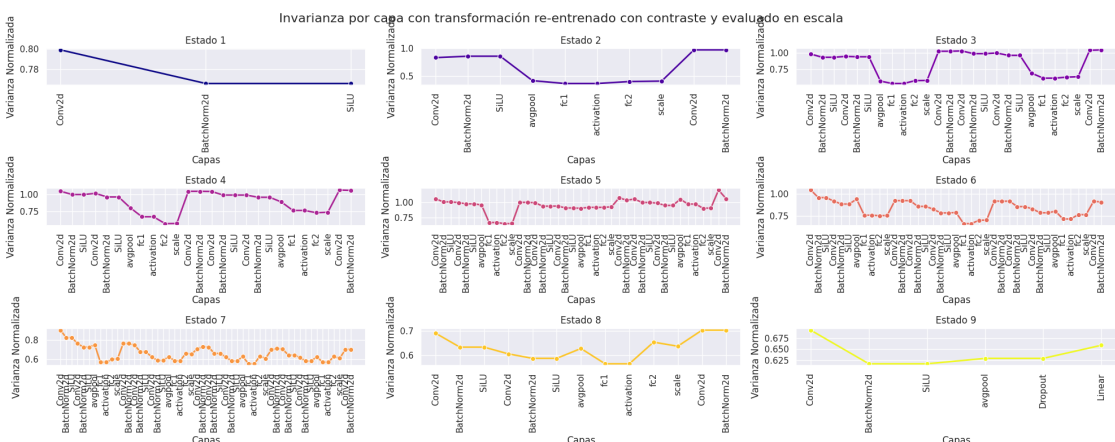


Figura 124: Arquitectura EfficientNetB0, entrenada con enfoque Full y transformación Contraste, invarianza evaluada con Escala

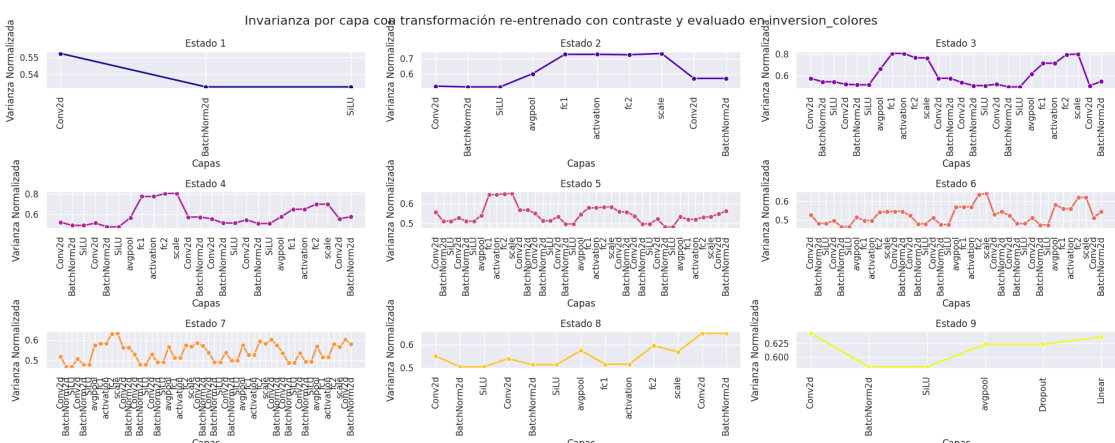


Figura 125: Arquitectura EfficientNetB0, entrenada con enfoque Full y transformación Contraste, invarianza evaluada con inversion de colores

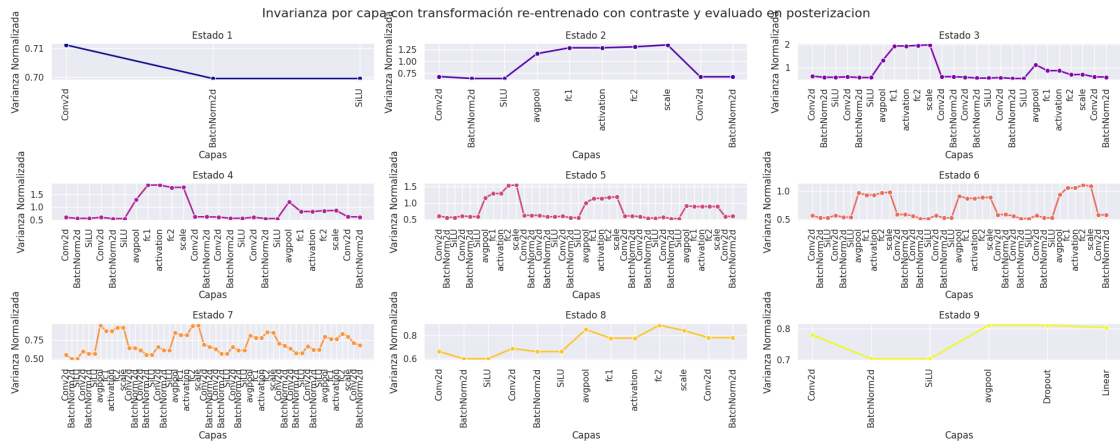


Figura 126: Arquitectura EfficientNetB0, entrenada con enfoque Full y transformación Contraste, invarianza evaluada con Posterizacion

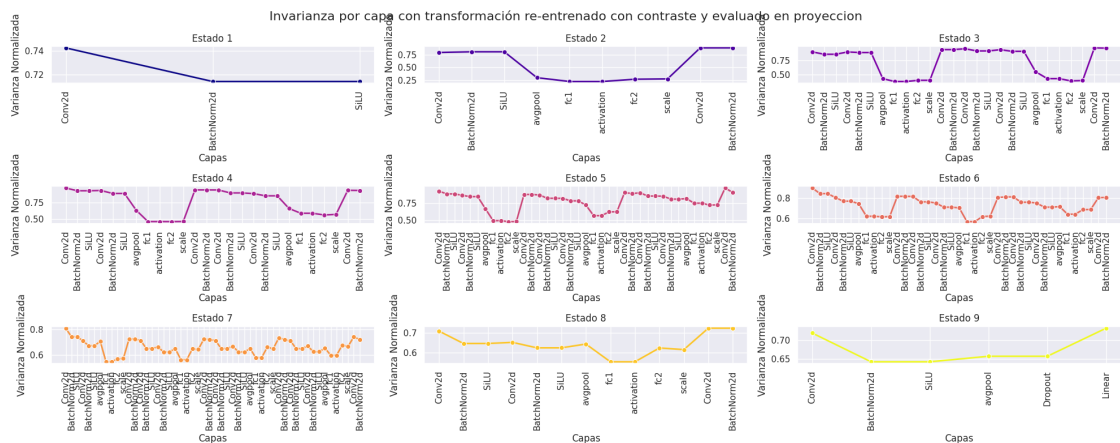


Figura 127: Arquitectura EfficientNetB0, entrenada con enfoque Full y transformación Contraste, invarianza evaluada con Proyección

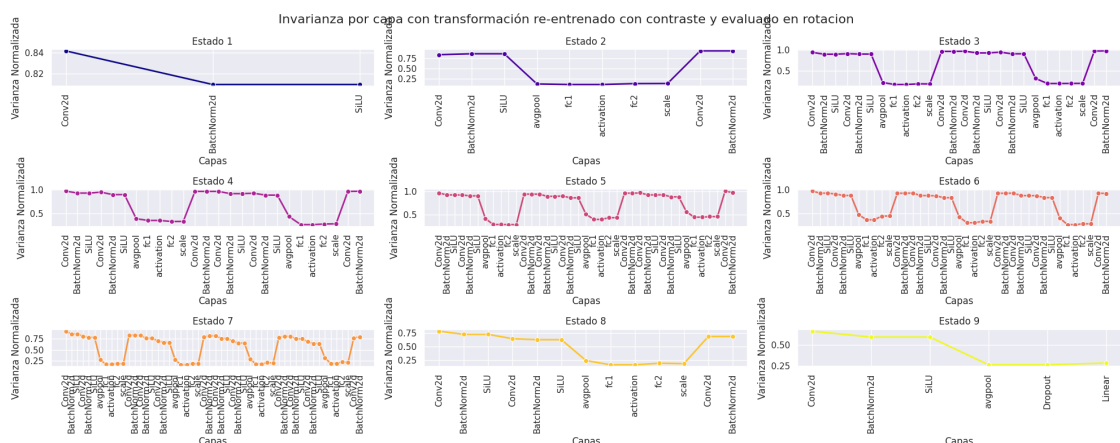


Figura 128: Arquitectura EfficientNetB0, entrenada con enfoque Full y transformación Contraste, invarianza evaluada con Rotacion

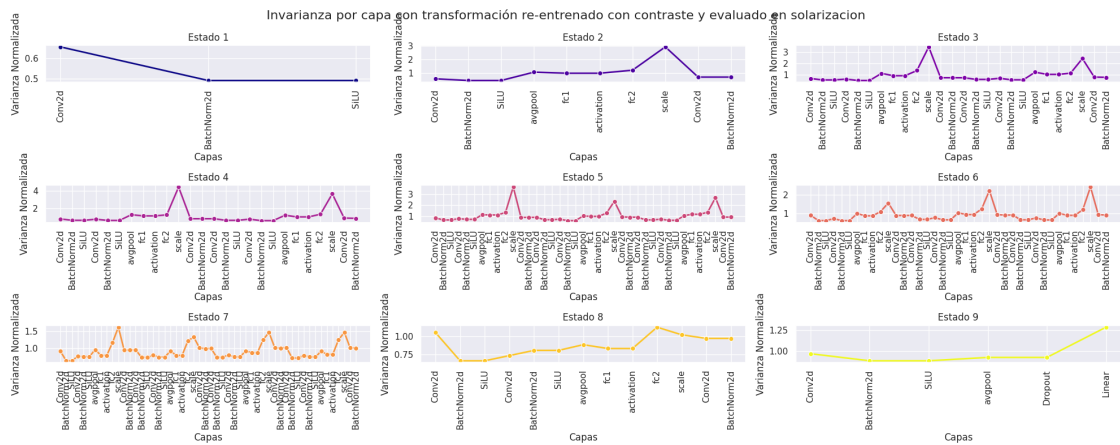


Figura 129: Arquitectura EfficientNetB0, entrenada con enfoque Full y transformación Contraste, invarianza evaluada con Solarización

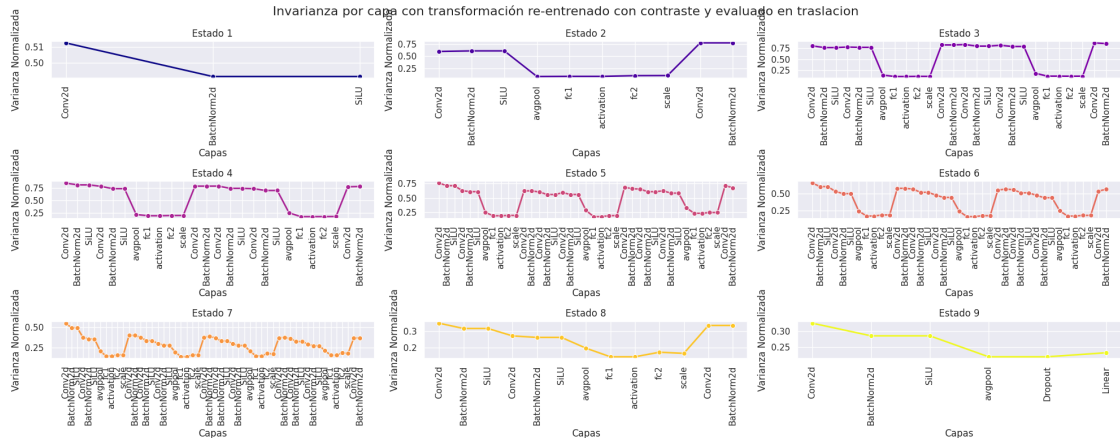


Figura 130: Arquitectura EfficientNetB0, entrenada con enfoque Full y transformación Contraste, invarianza evaluada con Traslación

Transformación de entrenamiento: Escala

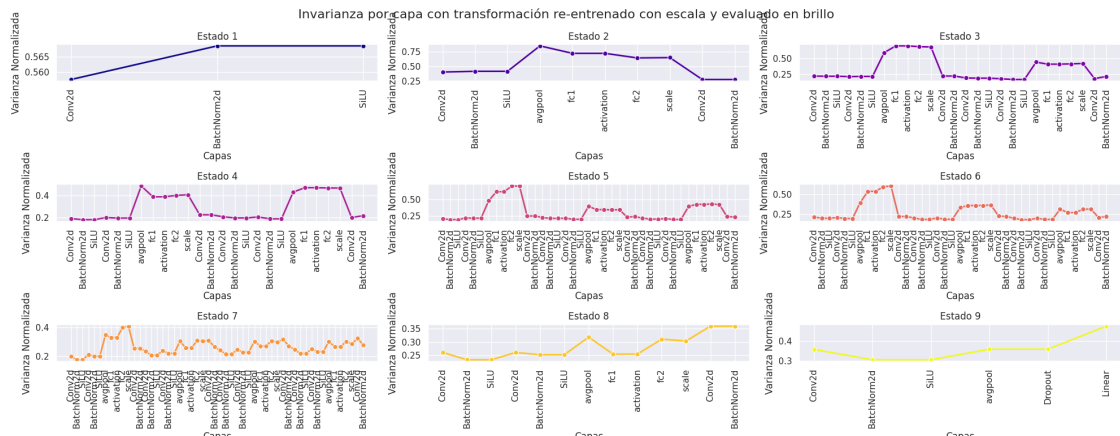


Figura 131: Arquitectura EfficientNetB0, entrenada con enfoque Full y transformación Escala, invarianza evaluada con Brillo

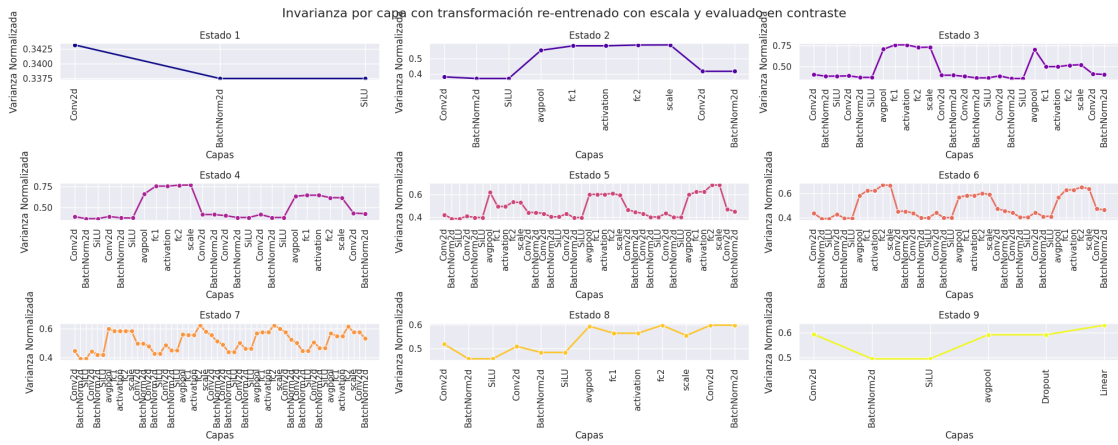


Figura 132: Arquitectura EfficientNetB0, entrenada con enfoque Full y transformación Escala, invarianza evaluada con Contraste

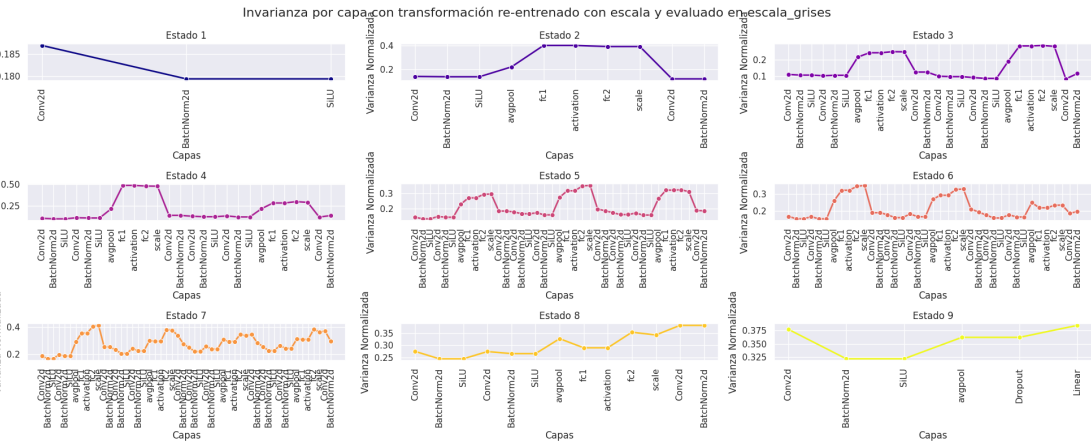


Figura 133: Arquitectura EfficientNetB0, entrenada con enfoque Full y transformación Escala, invarianza evaluada con escala de grises

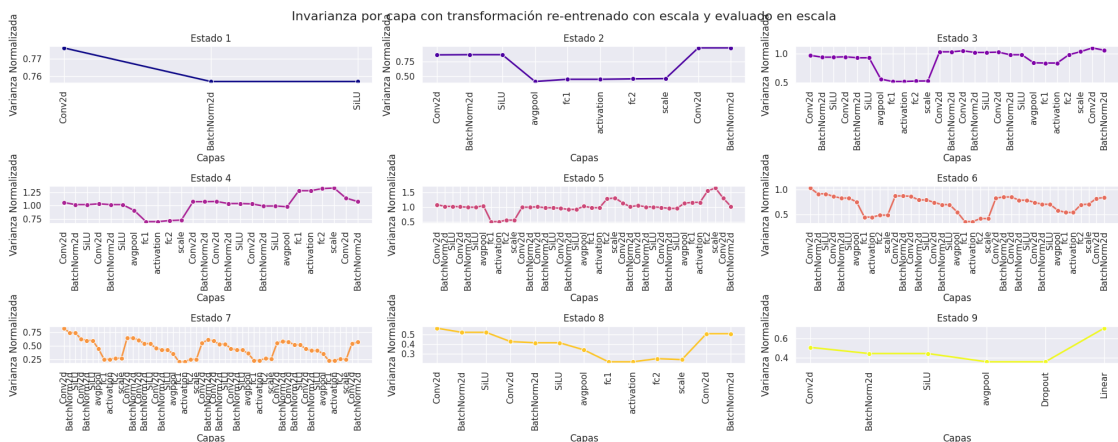


Figura 134: Arquitectura EfficientNetB0, entrenada con enfoque Full y transformación Escala, invarianza evaluada con Escala

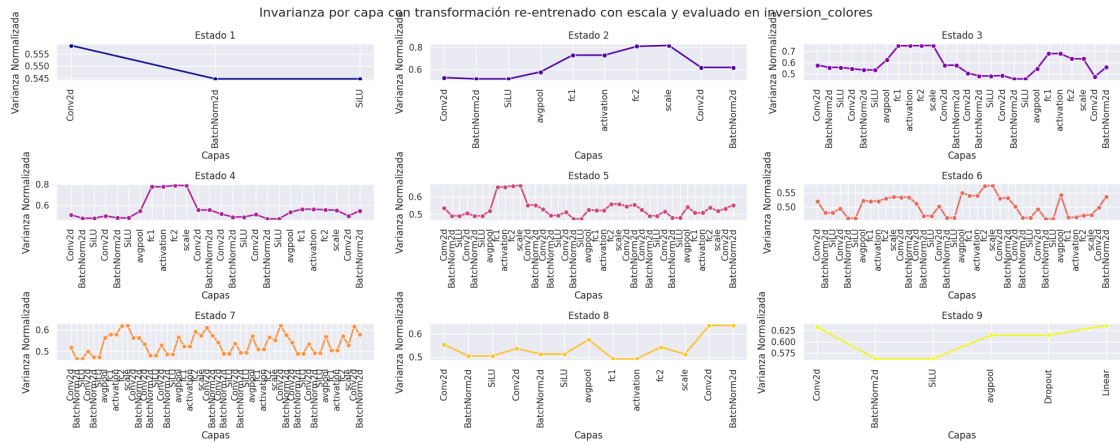


Figura 135: Arquitectura EfficientNetB0, entrenada con enfoque Full y transformación Escala, invarianza evaluada con inversión de colores

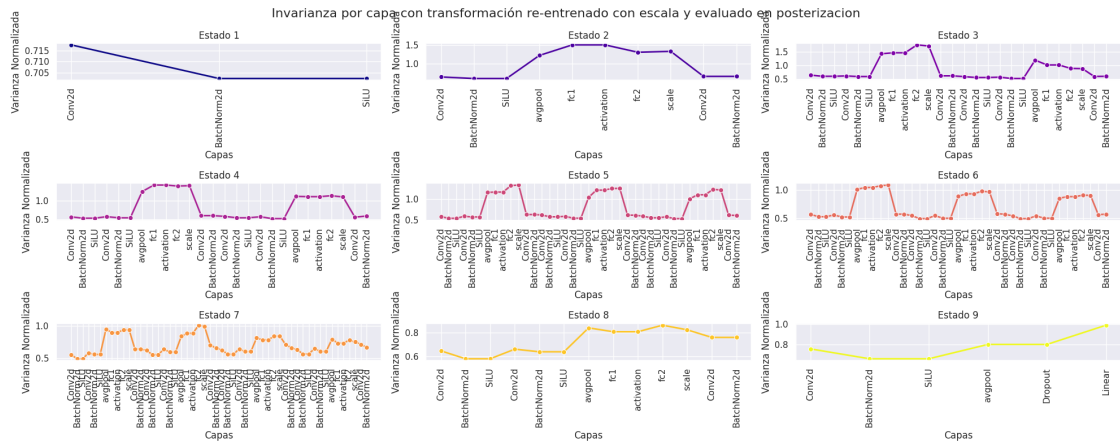


Figura 136: Arquitectura EfficientNetB0, entrenada con enfoque Full y transformación Escala, invarianza evaluada con Posterización

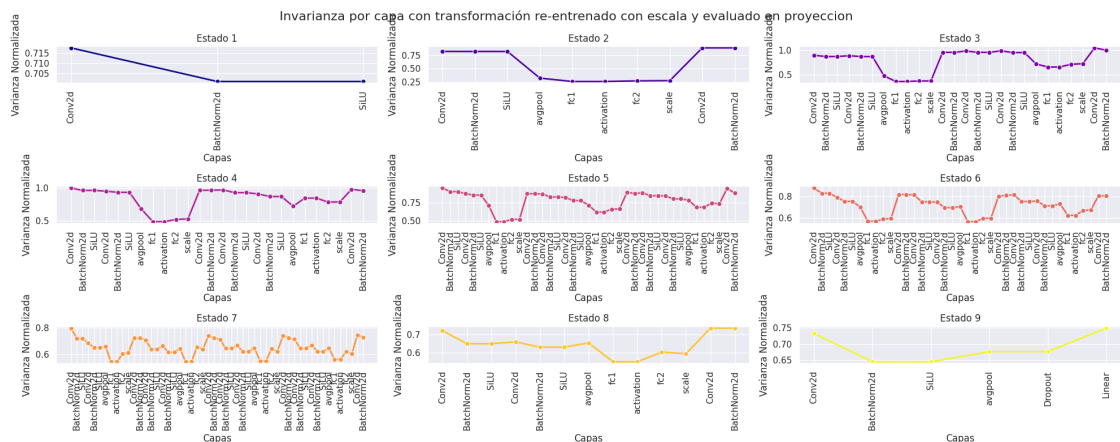


Figura 137: Arquitectura EfficientNetB0, entrenada con enfoque Full y transformación Escala, invarianza evaluada con Proyección

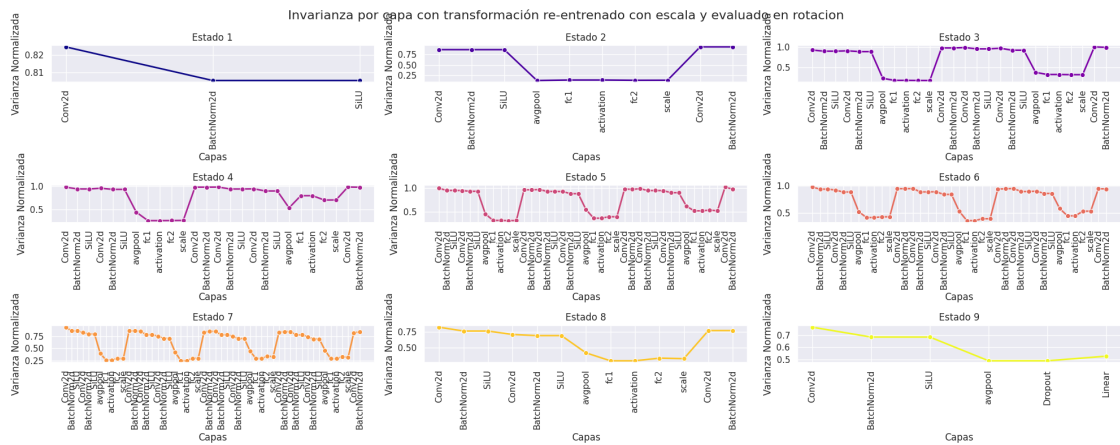


Figura 138: Arquitectura EfficientNetB0, entrenada con enfoque Full y transformación Escala, invarianza evaluada con Rotacion

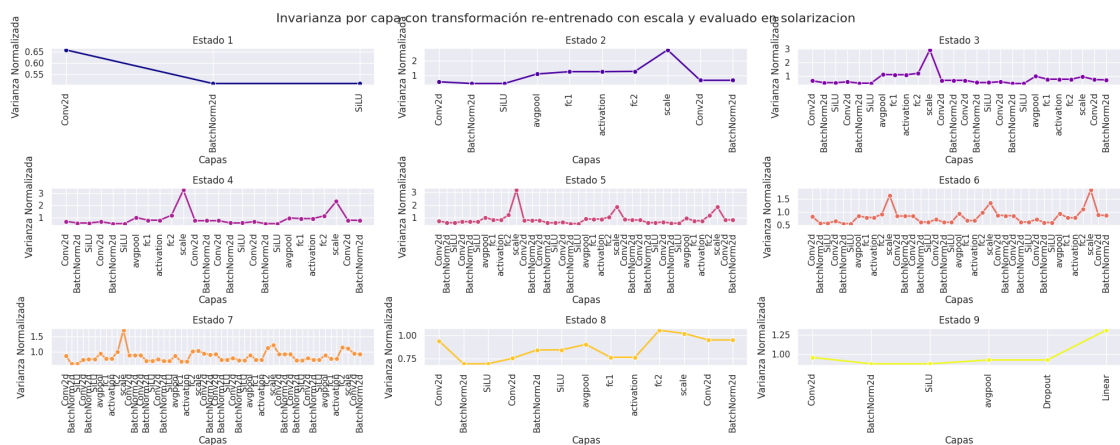


Figura 139: Arquitectura EfficientNetB0, entrenada con enfoque Full y transformación Escala, invarianza evaluada con Solarizacion

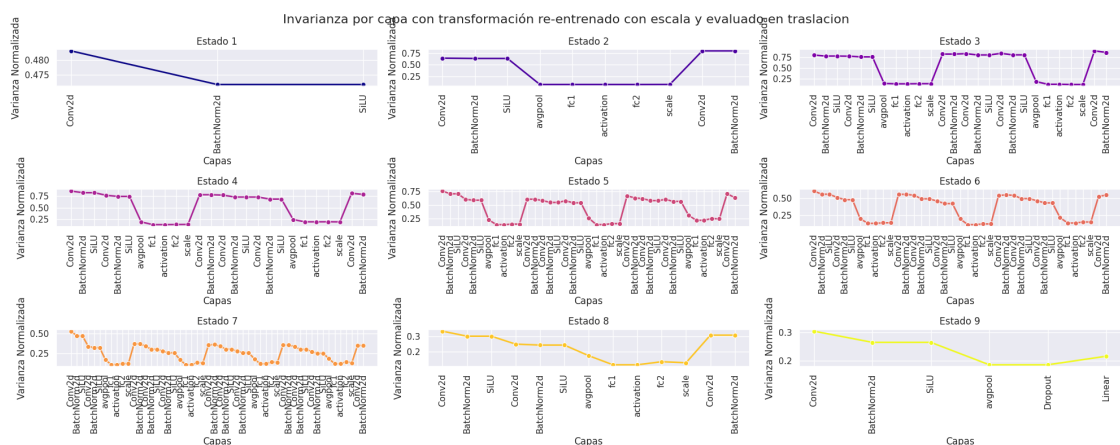


Figura 140: Arquitectura EfficientNetB0, entrenada con enfoque Full y transformación Escala, invarianza evaluada con Traslacion

Transformación de entrenamiento: escala de grises

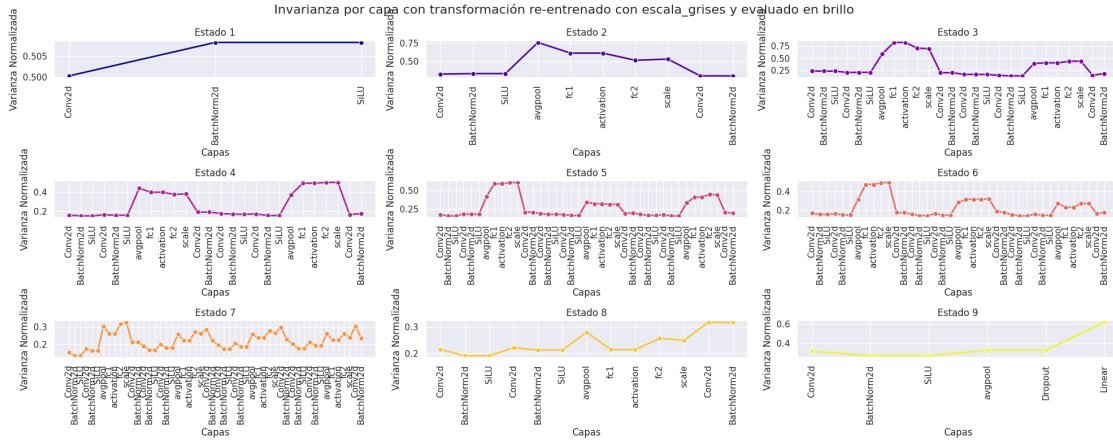


Figura 141: Arquitectura EfficientNetB0, entrenada con enfoque Full y transformación escala de grises, invarianza evaluada con Brillo

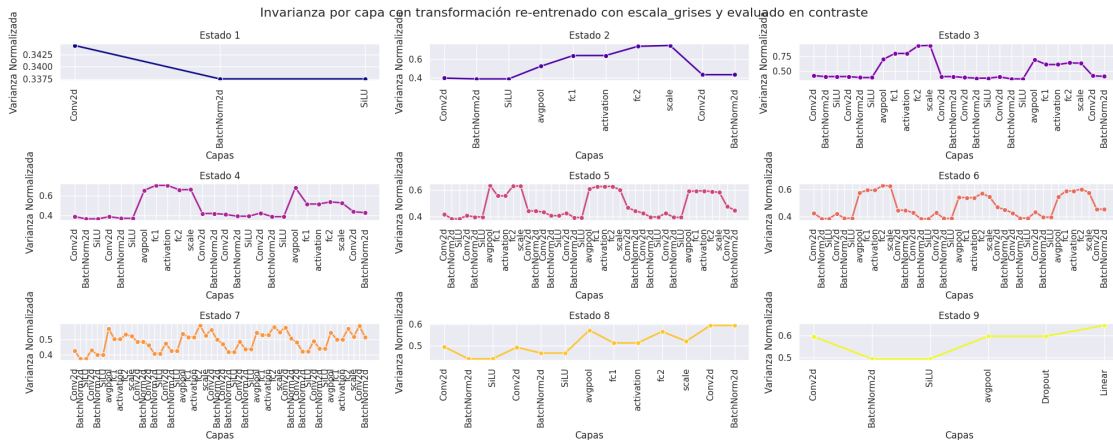


Figura 142: Arquitectura EfficientNetB0, entrenada con enfoque Full y transformación escala de grises, invarianza evaluada con Contraste

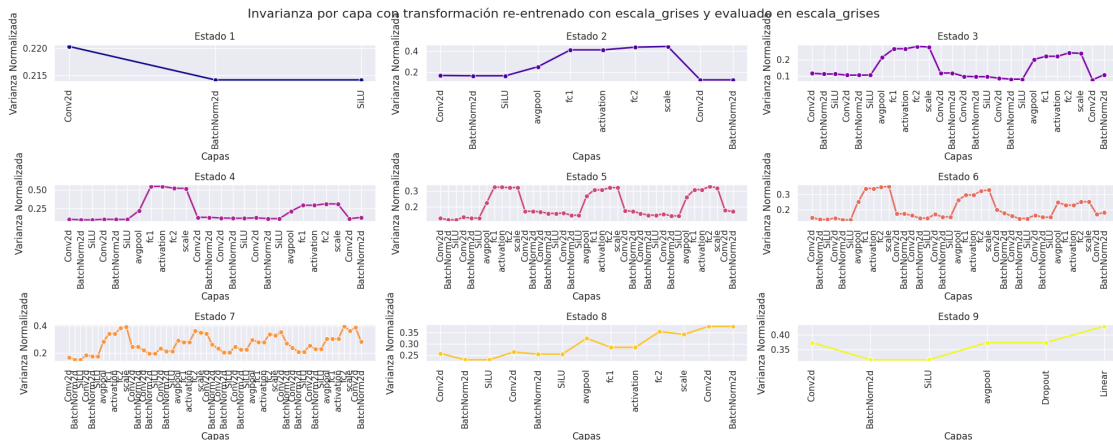


Figura 143: Arquitectura EfficientNetB0, entrenada con enfoque Full y transformación escala de grises, invarianza evaluada con escala de grises

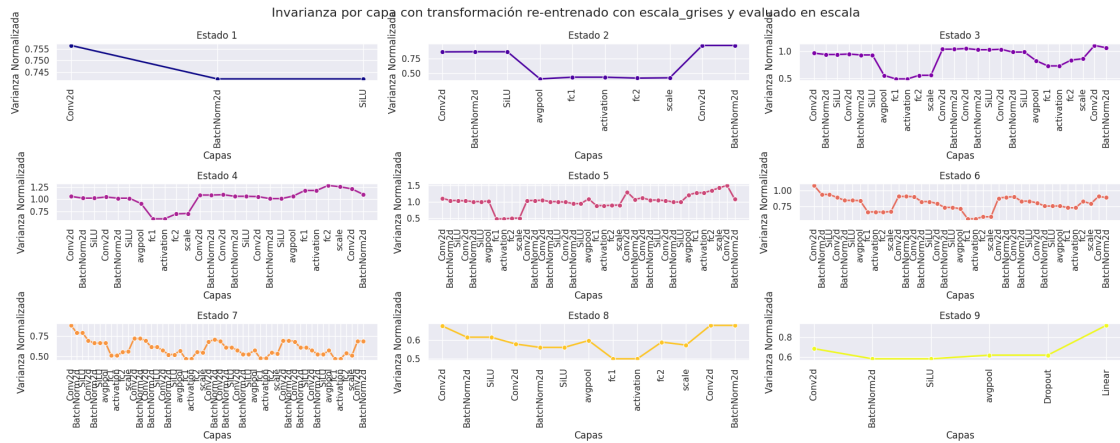


Figura 144: Arquitectura EfficientNetB0, entrenada con enfoque Full y transformación escala de grises, invarianza evaluada con Escala

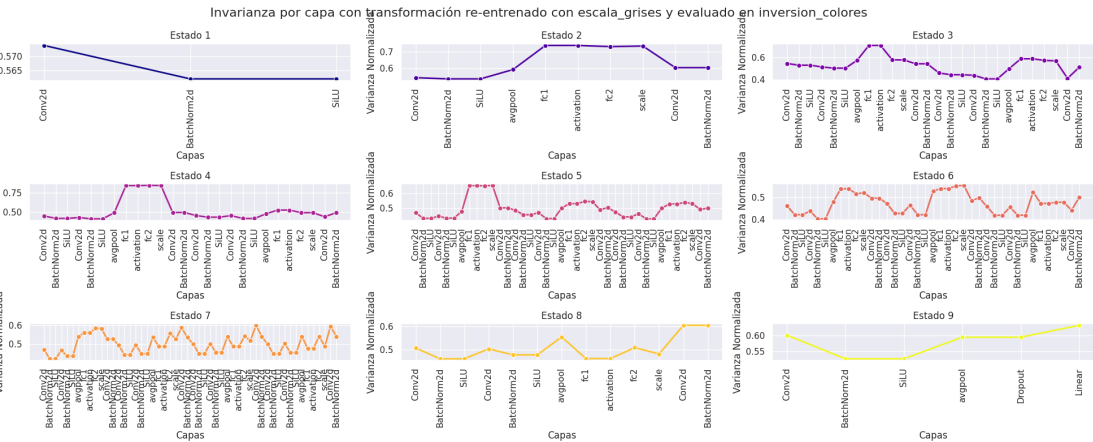


Figura 145: Arquitectura EfficientNetB0, entrenada con enfoque Full y transformación escala de grises, invarianza evaluada con inversion de colores

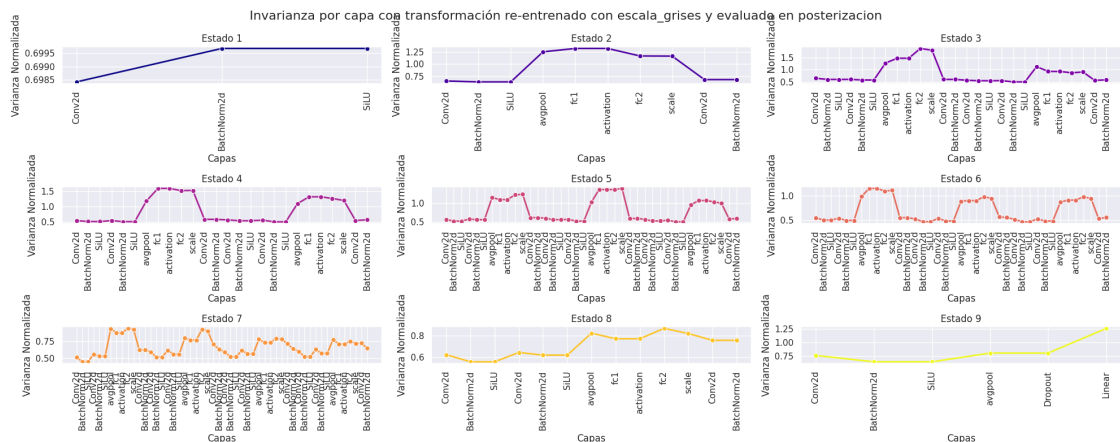


Figura 146: Arquitectura EfficientNetB0, entrenada con enfoque Full y transformación escala de grises, invarianza evaluada con Posterizacion

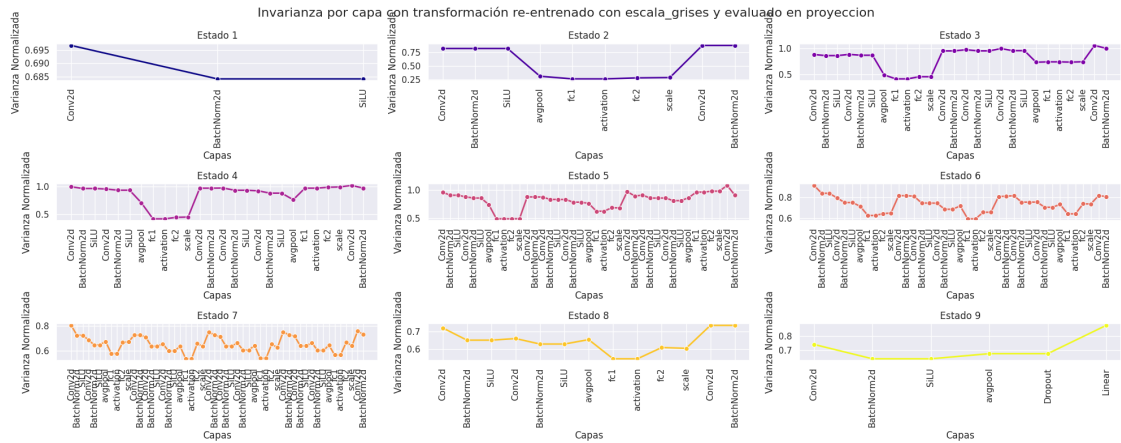


Figura 147: Arquitectura EfficientNetB0, entrenada con enfoque Full y transformación escala de grises, invarianza evaluada con Proyección

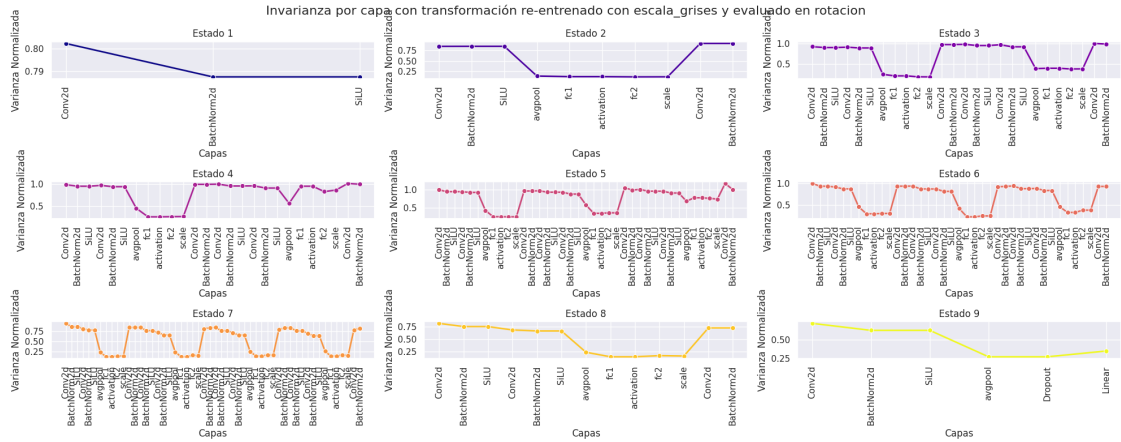


Figura 148: Arquitectura EfficientNetB0, entrenada con enfoque Full y transformación escala de grises, invarianza evaluada con Rotacion

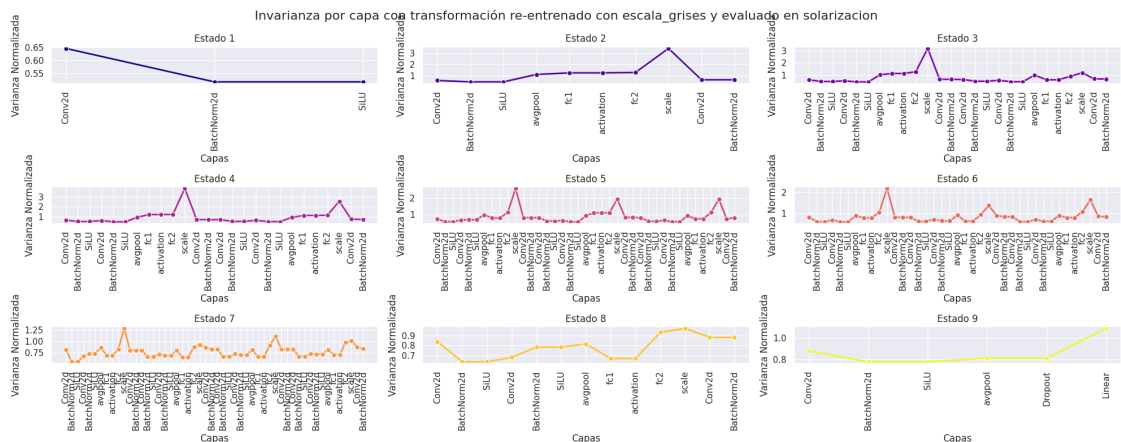


Figura 149: Arquitectura EfficientNetB0, entrenada con enfoque Full y transformación escala de grises, invarianza evaluada con Solarizacion

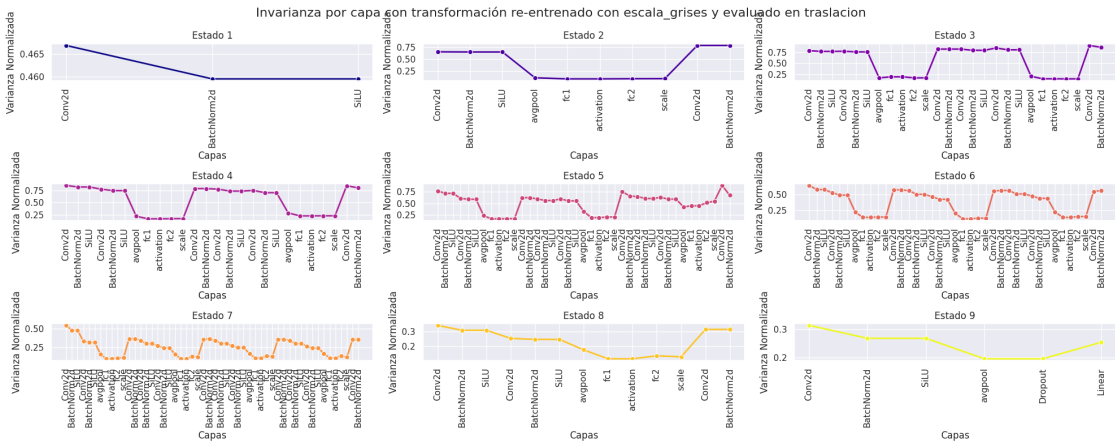


Figura 150: Arquitectura EfficientNetB0, entrenada con enfoque Full y transformación escala de grises, invarianza evaluada con Traslacion

Transformación de entrenamiento: inversión de colores

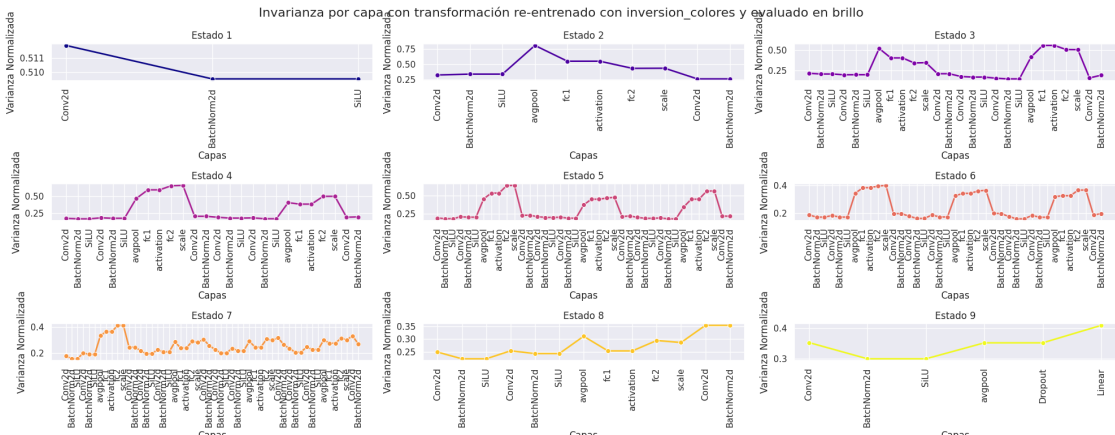


Figura 151: Arquitectura EfficientNetB0, entrenada con enfoque Full y transformación inversión de colores, invarianza evaluada con Brillo

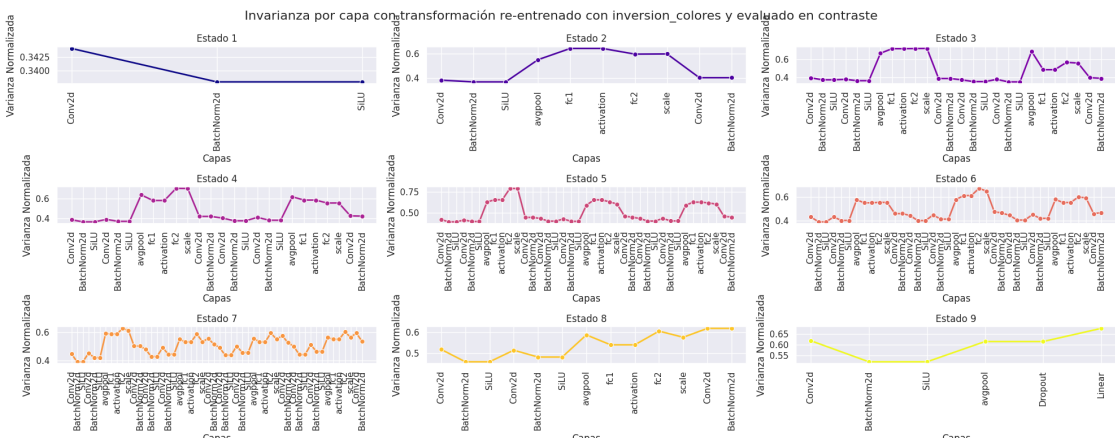


Figura 152: Arquitectura EfficientNetB0, entrenada con enfoque Full y transformación inversión de colores, invarianza evaluada con Contraste

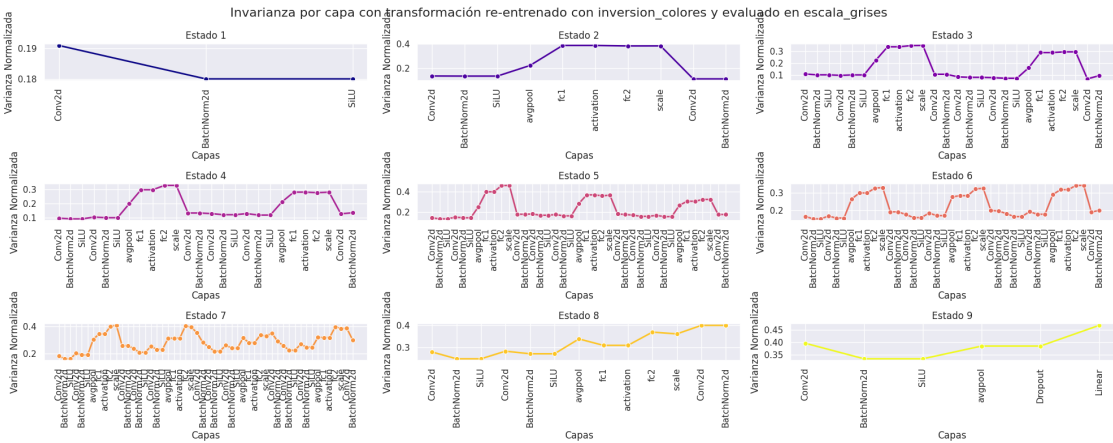


Figura 153: Arquitectura EfficientNetB0, entrenada con enfoque Full y transformación inversion de colores, invarianza evaluada con escala de grises

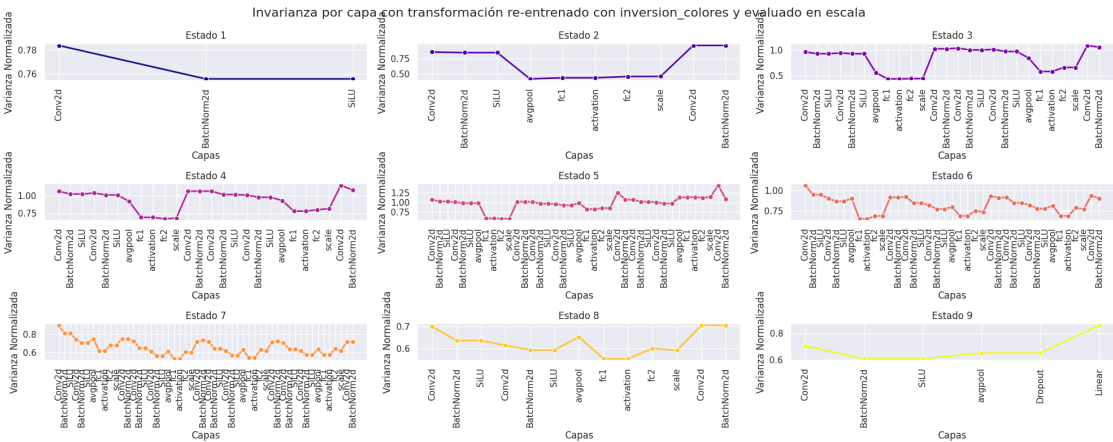


Figura 154: Arquitectura EfficientNetB0, entrenada con enfoque Full y transformación inversion de colores, invarianza evaluada con Escala

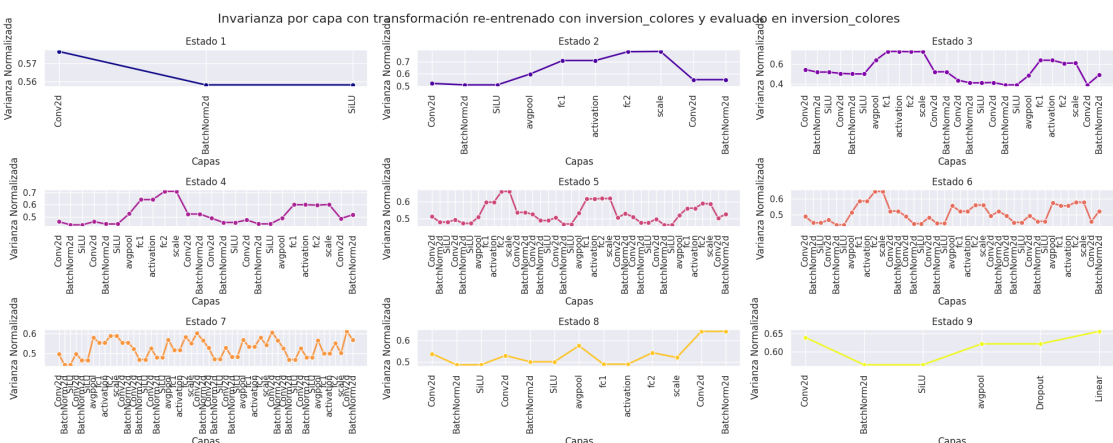


Figura 155: Arquitectura EfficientNetB0, entrenada con enfoque Full y transformación inversion de colores, invarianza evaluada con inversion de colores

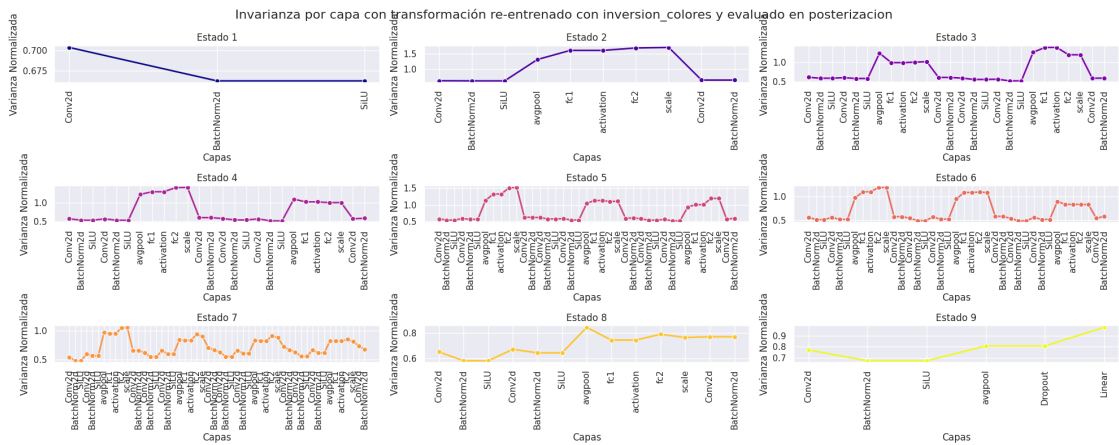


Figura 156: Arquitectura EfficientNetB0, entrenada con enfoque Full y transformación inversion de colores, invarianza evaluada con Posterizacion

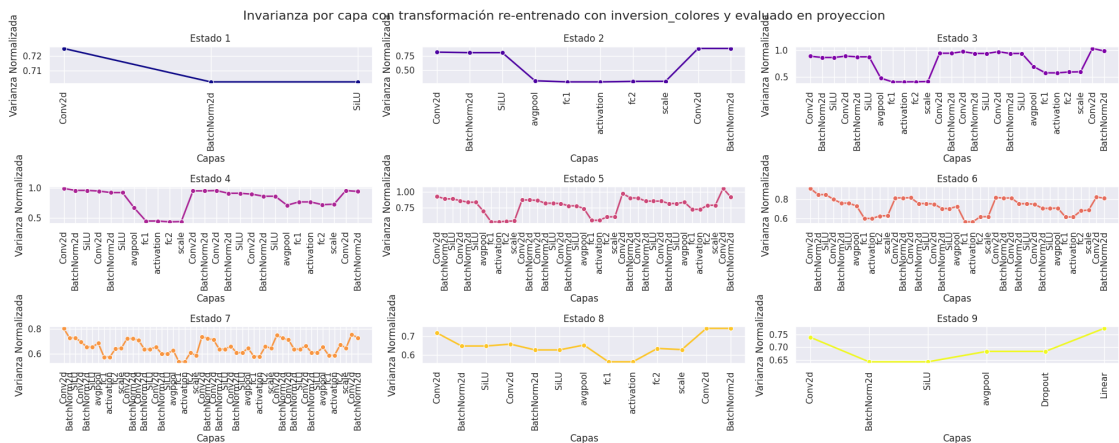


Figura 157: Arquitectura EfficientNetB0, entrenada con enfoque Full y transformación inversion de colores, invarianza evaluada con Proyeccion

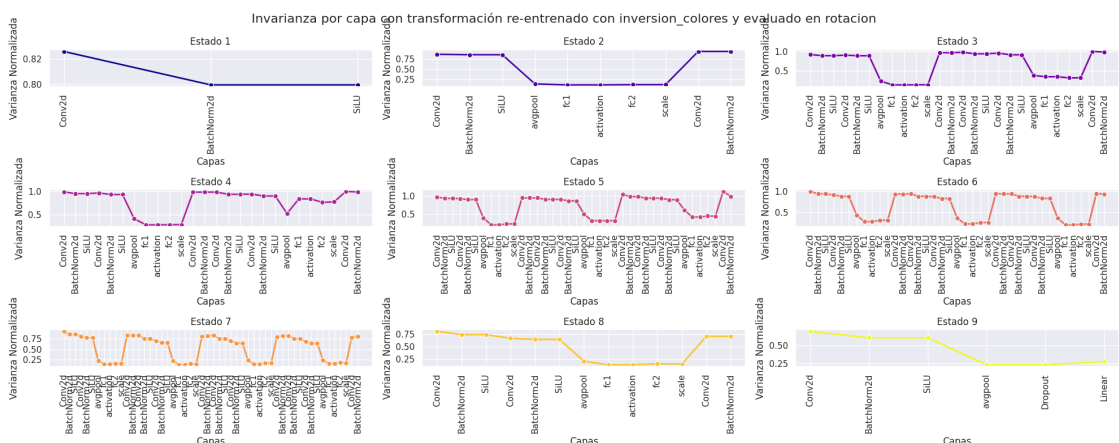


Figura 158: Arquitectura EfficientNetB0, entrenada con enfoque Full y transformación inversion de colores, invarianza evaluada con Rotacion

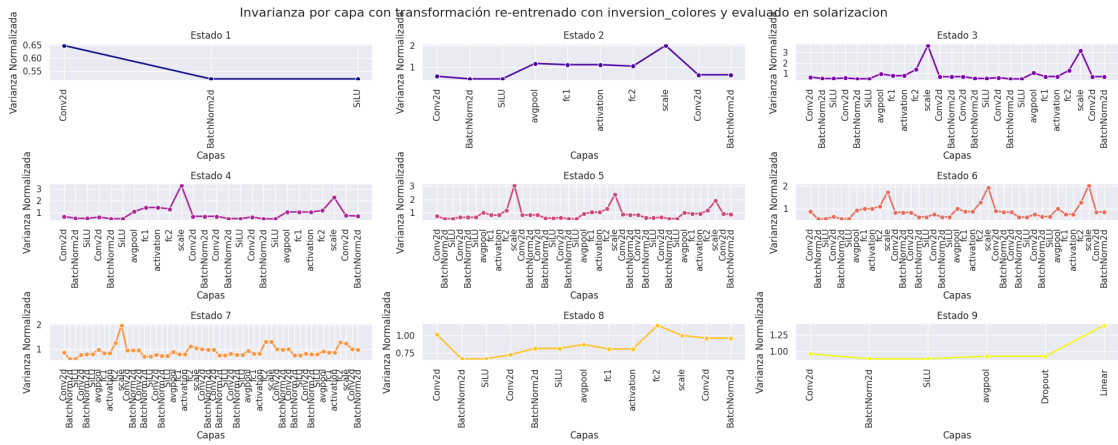


Figura 159: Arquitectura EfficientNetB0, entrenada con enfoque Full y transformación *inversion de colores*, invarianza evaluada con Solarizacion

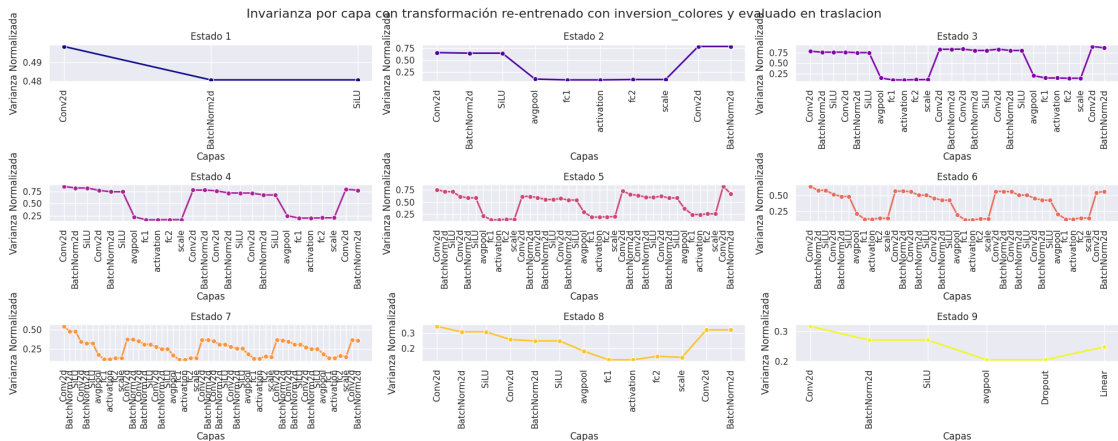


Figura 160: Arquitectura EfficientNetB0, entrenada con enfoque Full y transformación *inversion de colores*, invarianza evaluada con Traslacion

Transformación de entrenamiento: Posterizacion

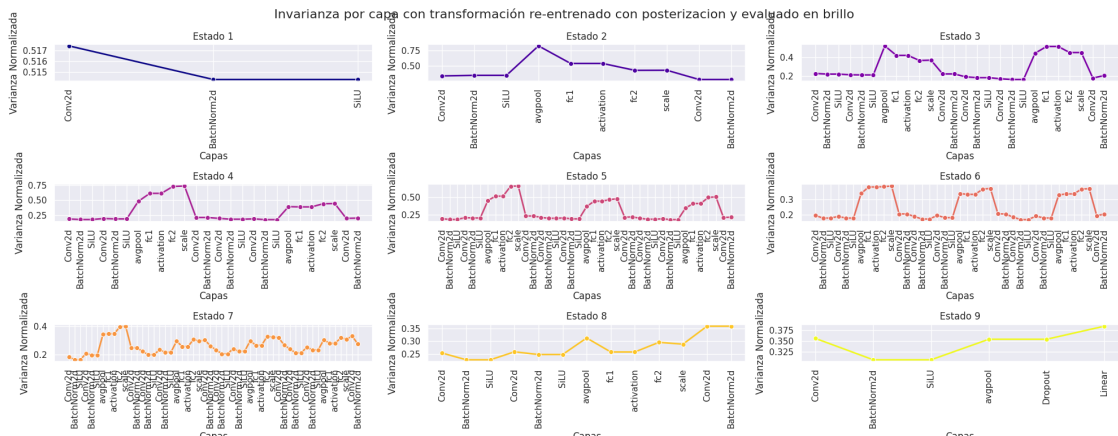


Figura 161: Arquitectura EfficientNetB0, entrenada con enfoque Full y transformación *Posterizacion*, invarianza evaluada con Brillo

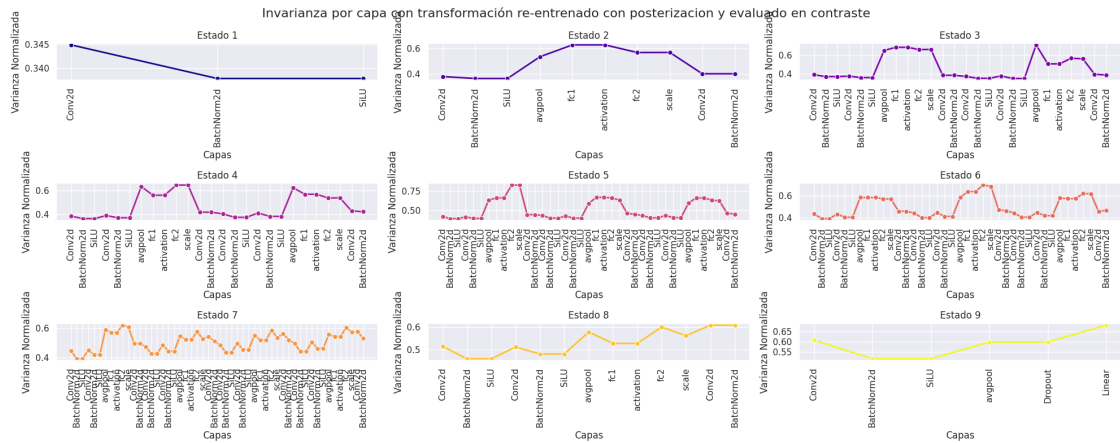


Figura 162: Arquitectura EfficientNetB0, entrenada con enfoque Full y transformación Posterizacion, invarianza evaluada con Contraste

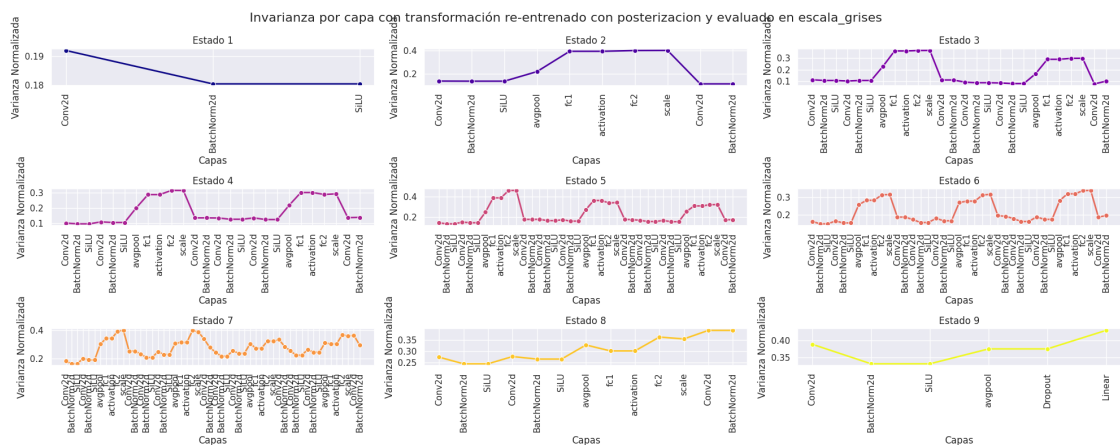


Figura 163: Arquitectura EfficientNetB0, entrenada con enfoque Full y transformación Posterizacion, invarianza evaluada con escala de grises

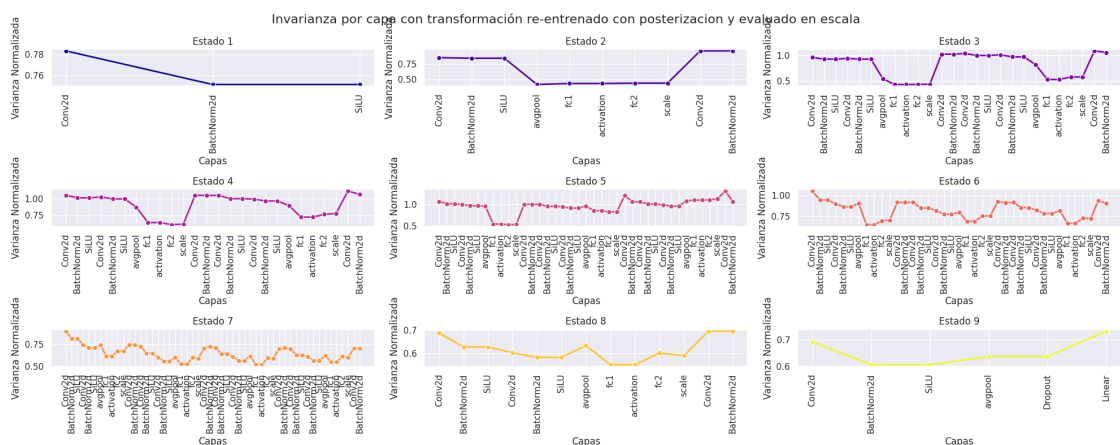


Figura 164: Arquitectura EfficientNetB0, entrenada con enfoque Full y transformación Posterizacion, invarianza evaluada con Escala

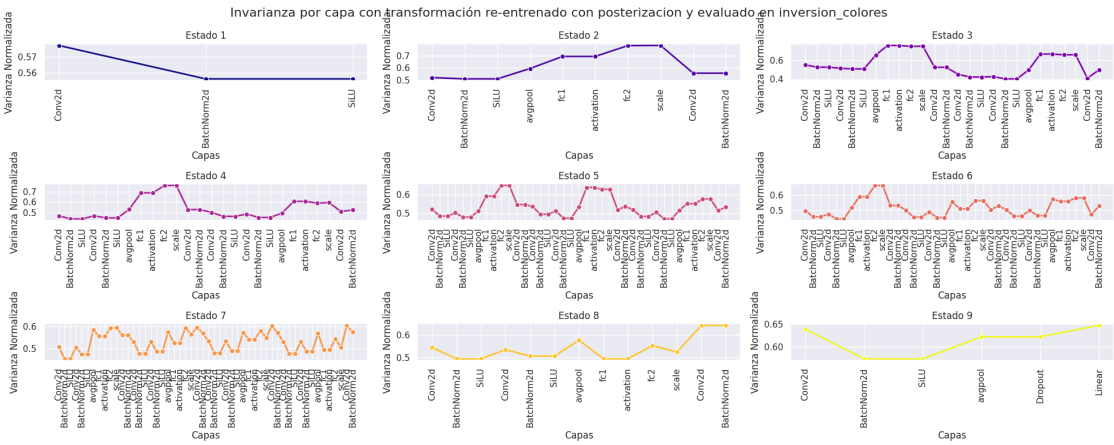


Figura 165: Arquitectura EfficientNetB0, entrenada con enfoque Full y transformación Posterizacion, invarianza evaluada con inversion_colores

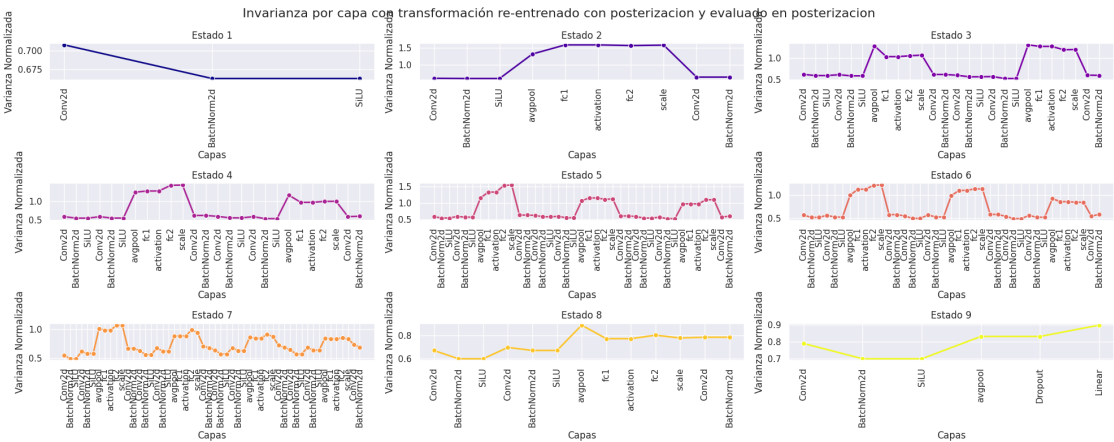


Figura 166: Arquitectura EfficientNetB0, entrenada con enfoque Full y transformación Posterizacion, invarianza evaluada con Posterizacion

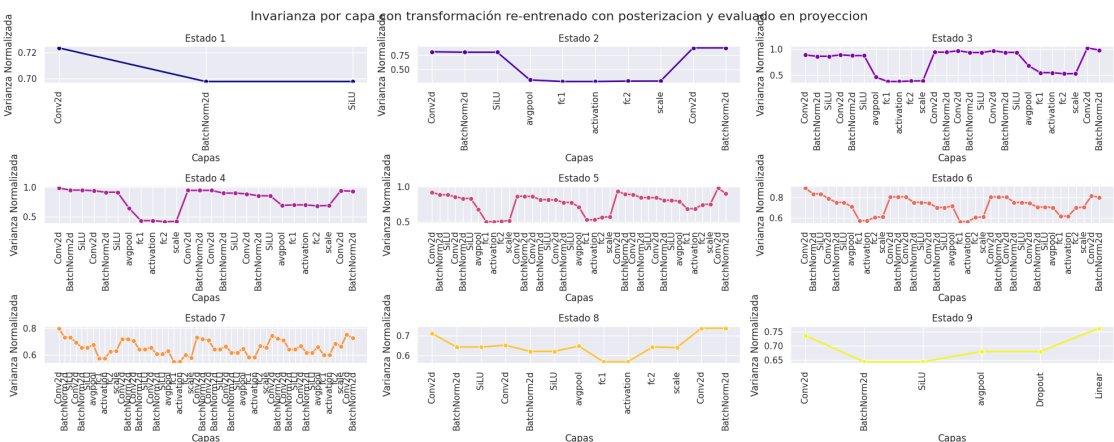


Figura 167: Arquitectura EfficientNetB0, entrenada con enfoque Full y transformación Posterizacion, invarianza evaluada con Proyeccion

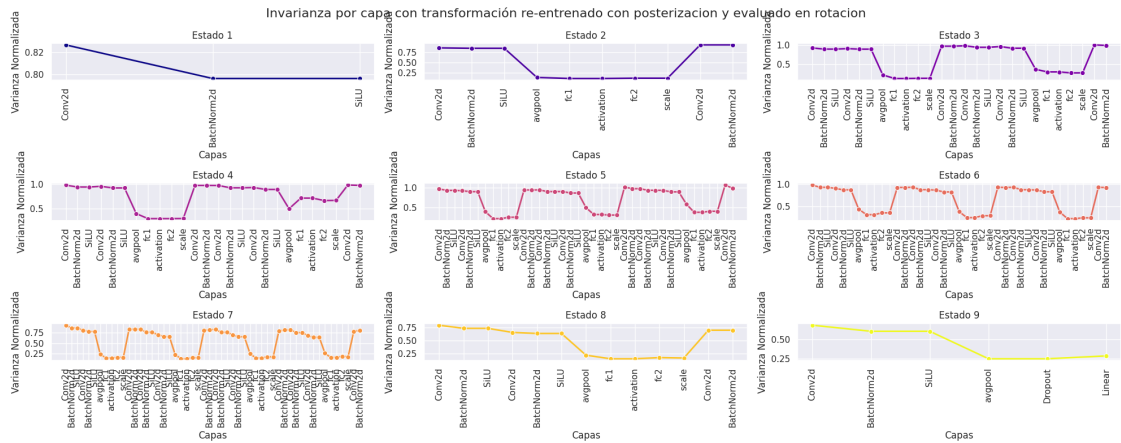


Figura 168: Arquitectura EfficientNetB0, entrenada con enfoque Full y transformación Posterizacion, invarianza evaluada con Rotacion

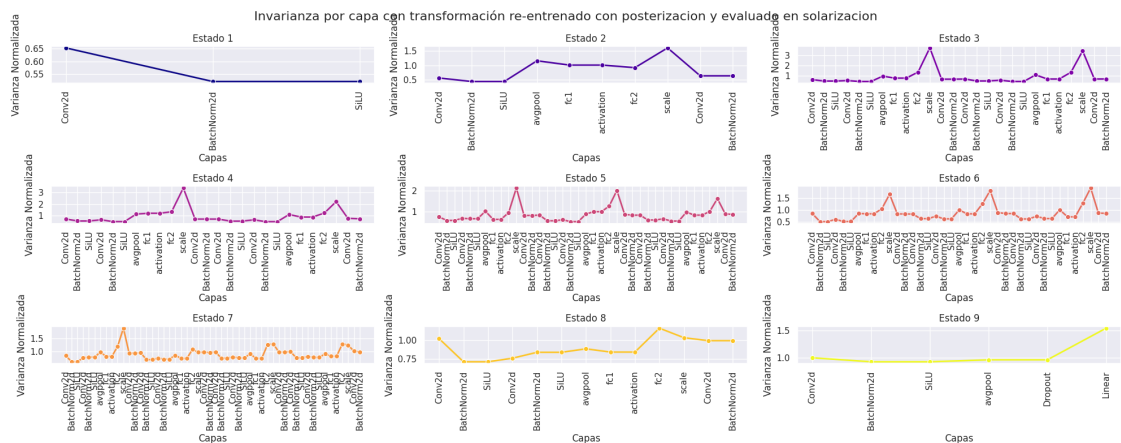


Figura 169: Arquitectura EfficientNetB0, entrenada con enfoque Full y transformación Posterizacion, invarianza evaluada con Solarizacion

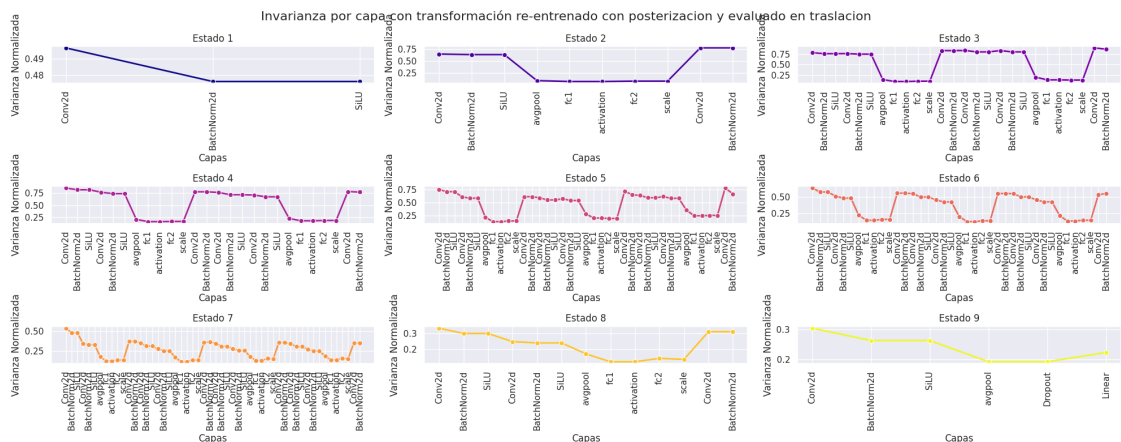


Figura 170: Arquitectura EfficientNetB0, entrenada con enfoque Full y transformación Posterizacion, invarianza evaluada con Traslacion

Transformación de entrenamiento: Proyección

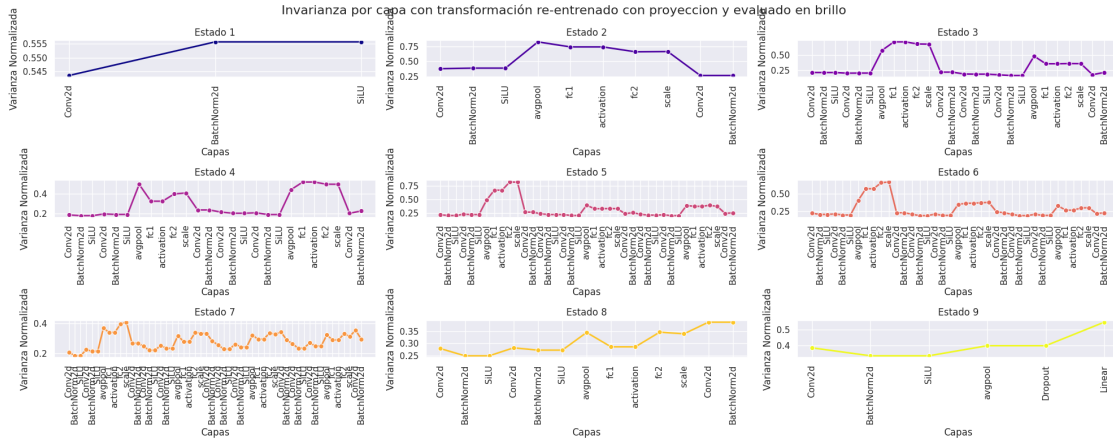


Figura 171: Arquitectura EfficientNetB0, entrenada con enfoque Full y transformación Proyección, invarianza evaluada con Brillo

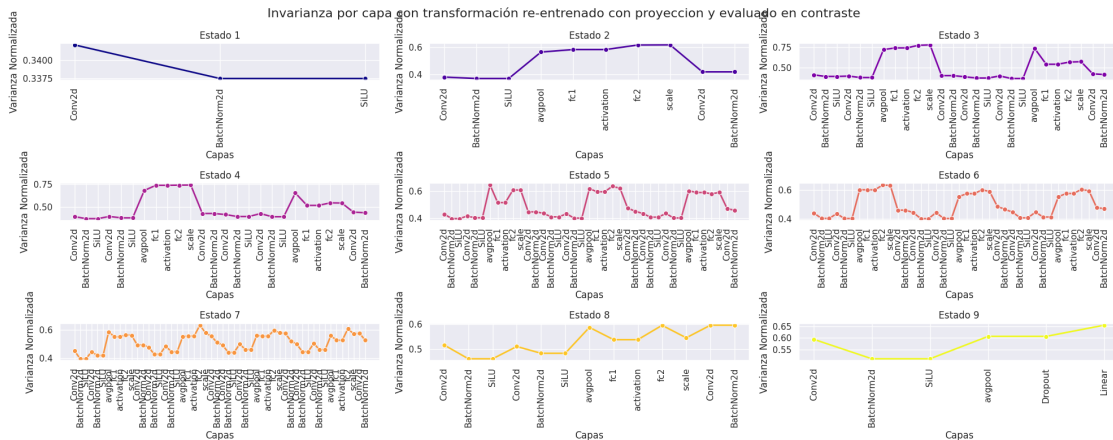


Figura 172: Arquitectura EfficientNetB0, entrenada con enfoque Full y transformación Proyección, invarianza evaluada con Contraste

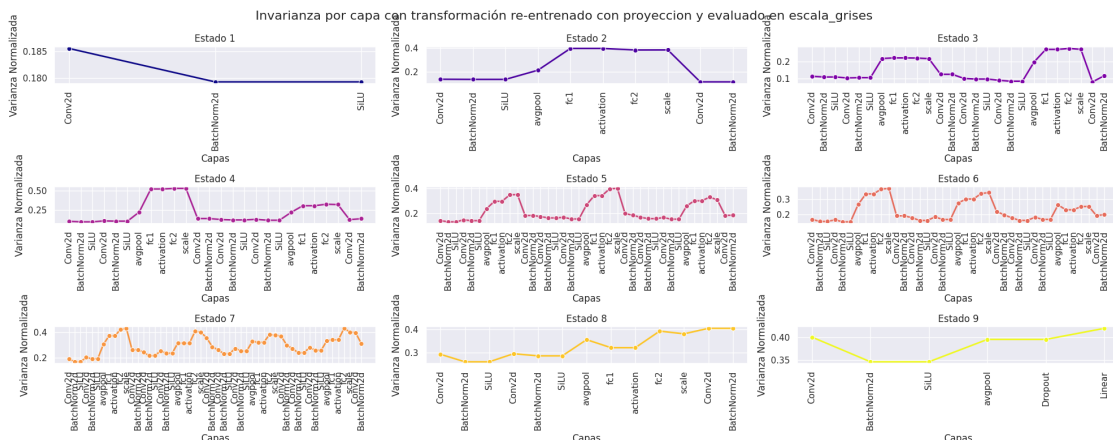


Figura 173: Arquitectura EfficientNetB0, entrenada con enfoque Full y transformación Proyección, invarianza evaluada con escala de grises

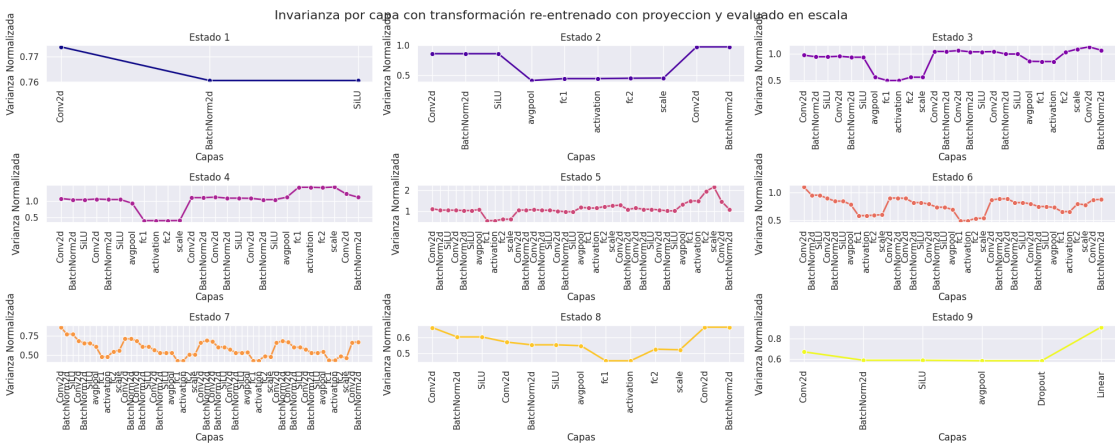


Figura 174: Arquitectura EfficientNetB0, entrenada con enfoque Full y transformación Proyección, invarianza evaluada con Escala

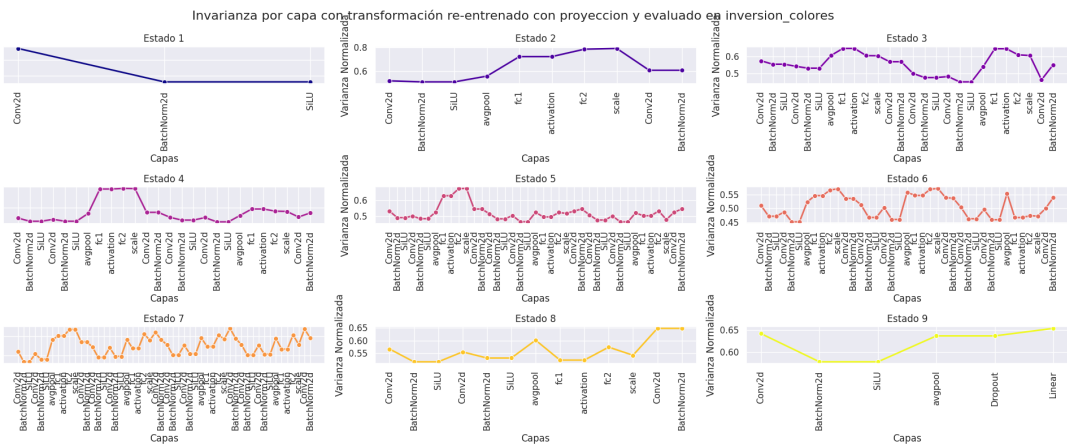


Figura 175: Arquitectura EfficientNetB0, entrenada con enfoque Full y transformación Proyección, invarianza evaluada con inversión de colores

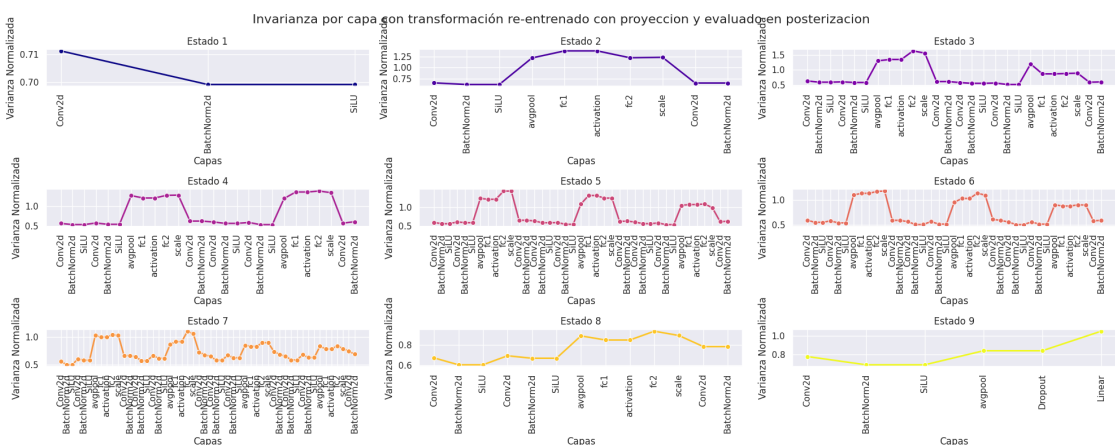


Figura 176: Arquitectura EfficientNetB0, entrenada con enfoque Full y transformación Proyección, invarianza evaluada con Posterización

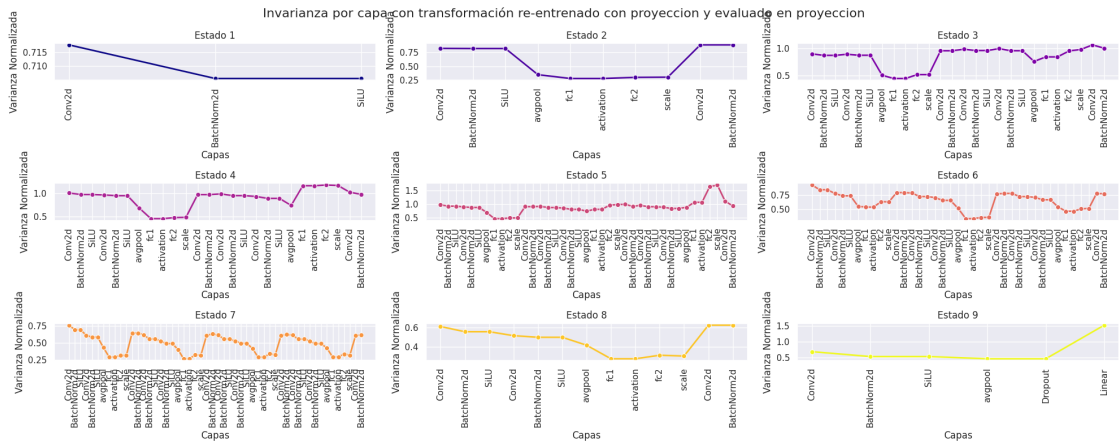


Figura 177: Arquitectura EfficientNetB0, entrenada con enfoque Full y transformación Proyección, invarianza evaluada con Proyección

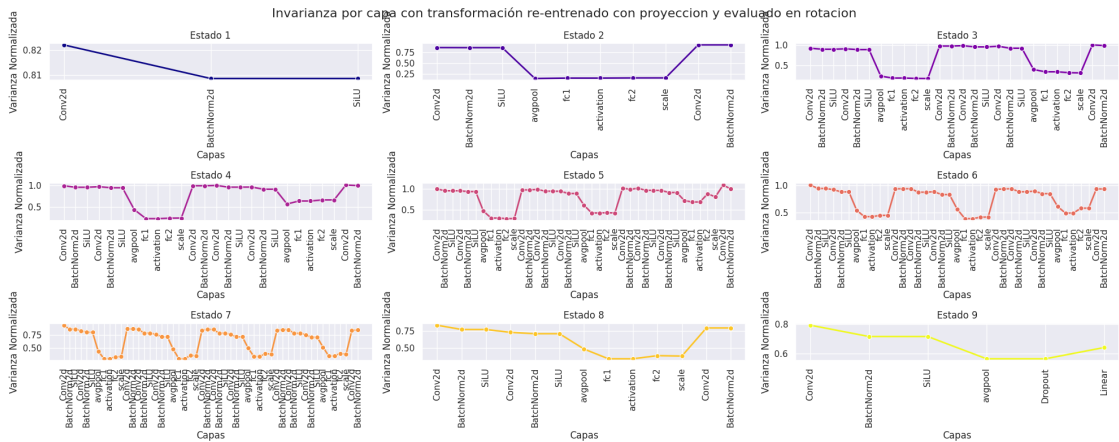


Figura 178: Arquitectura EfficientNetB0, entrenada con enfoque Full y transformación Proyección, invarianza evaluada con Rotación

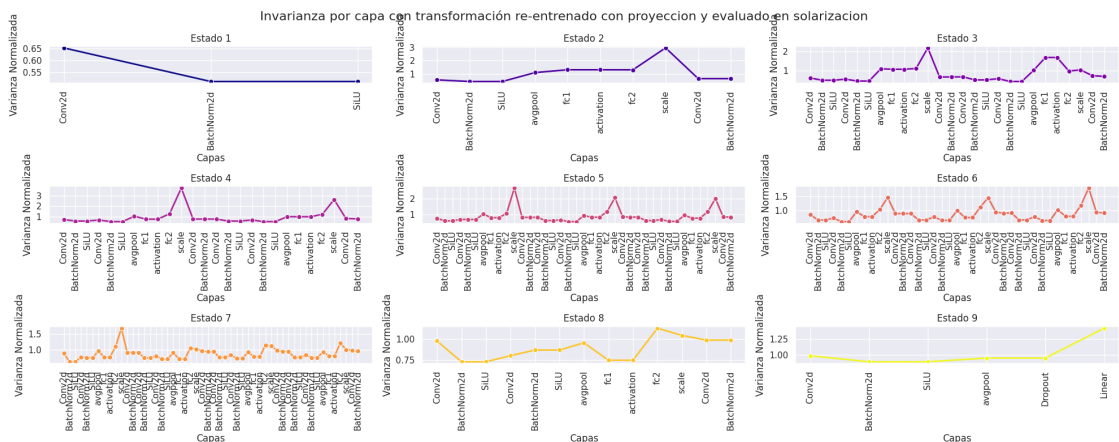


Figura 179: Arquitectura EfficientNetB0, entrenada con enfoque Full y transformación Proyección, invarianza evaluada con Solarización

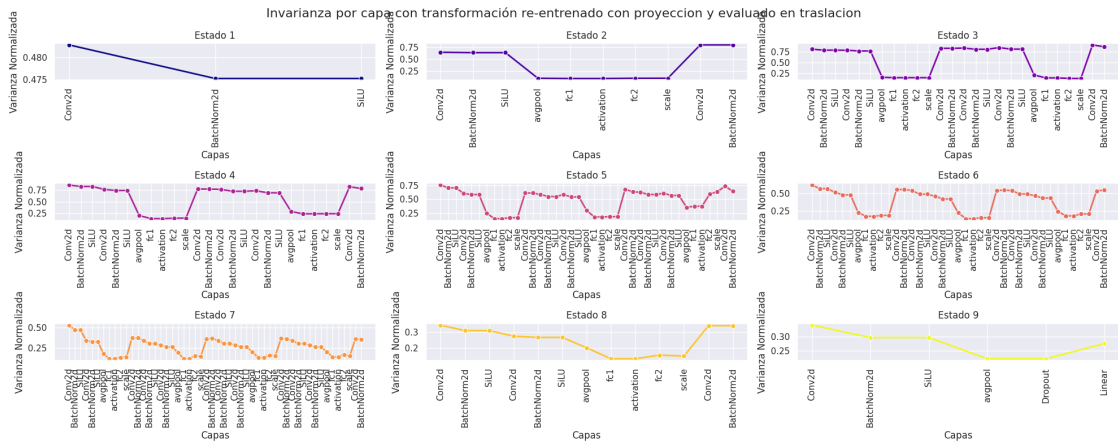


Figura 180: Arquitectura EfficientNetB0, entrenada con enfoque Full y transformación Proyección, invarianza evaluada con Traslacion

Transformación de entrenamiento: Rotacion

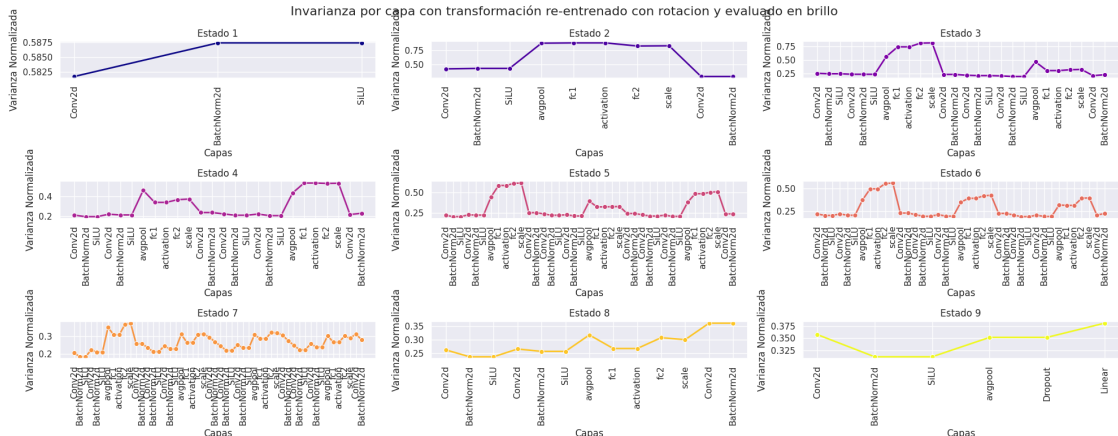


Figura 181: Arquitectura EfficientNetB0, entrenada con enfoque Full y transformación Rotacion, invarianza evaluada con Brillo

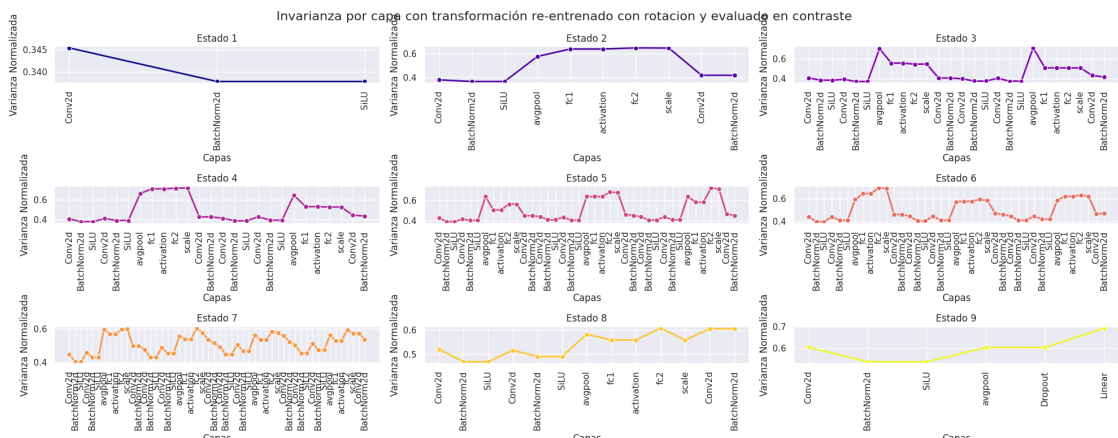


Figura 182: Arquitectura EfficientNetB0, entrenada con enfoque Full y transformación Rotacion, invarianza evaluada con Contraste

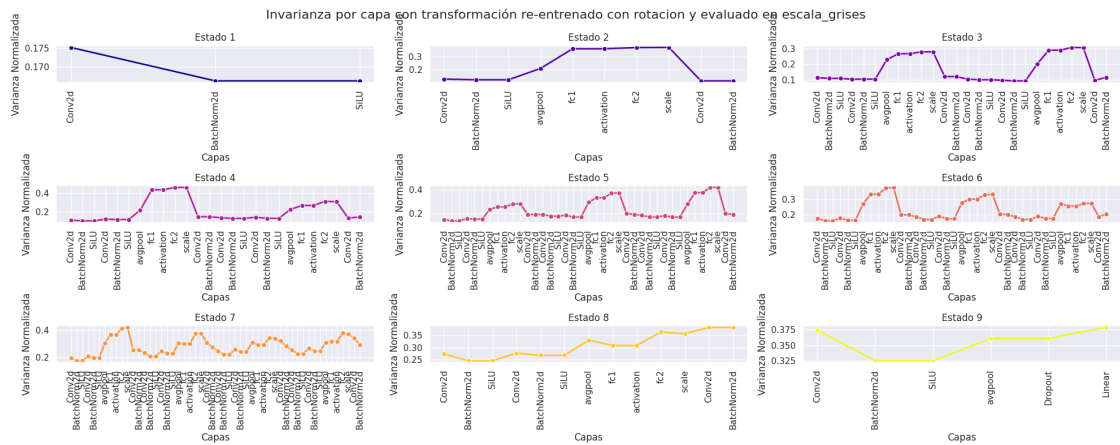


Figura 183: Arquitectura EfficientNetB0, entrenada con enfoque Full y transformación Rotacion, invarianza evaluada con escala de grises

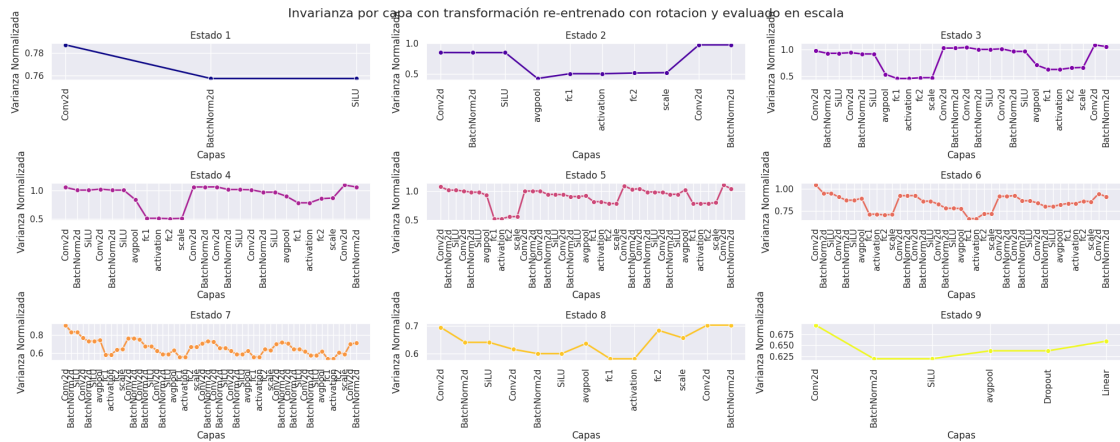


Figura 184: Arquitectura EfficientNetB0, entrenada con enfoque Full y transformación Rotacion, invarianza evaluada con Escala

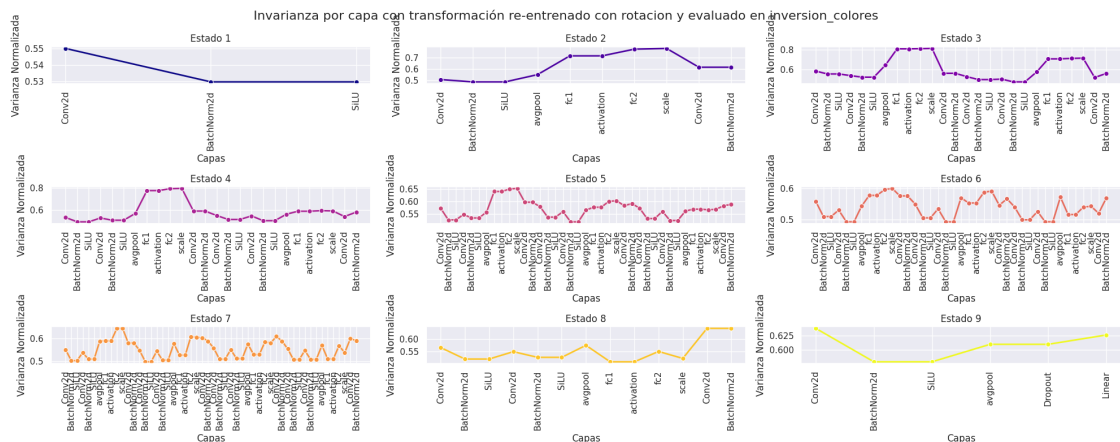


Figura 185: Arquitectura EfficientNetB0, entrenada con enfoque Full y transformación Rotacion, invarianza evaluada con inversion de colores

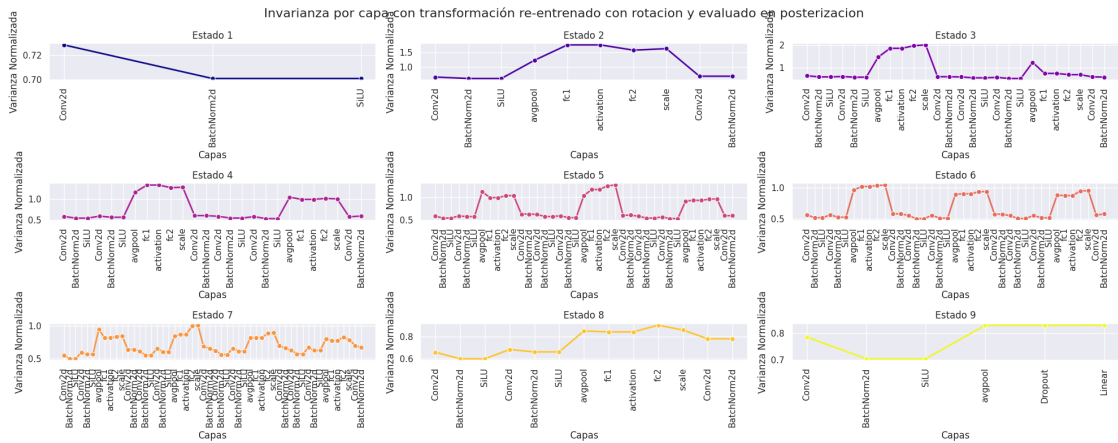


Figura 186: Arquitectura EfficientNetB0, entrenada con enfoque Full y transformación Rotacion, invarianza evaluada con Posterizacion

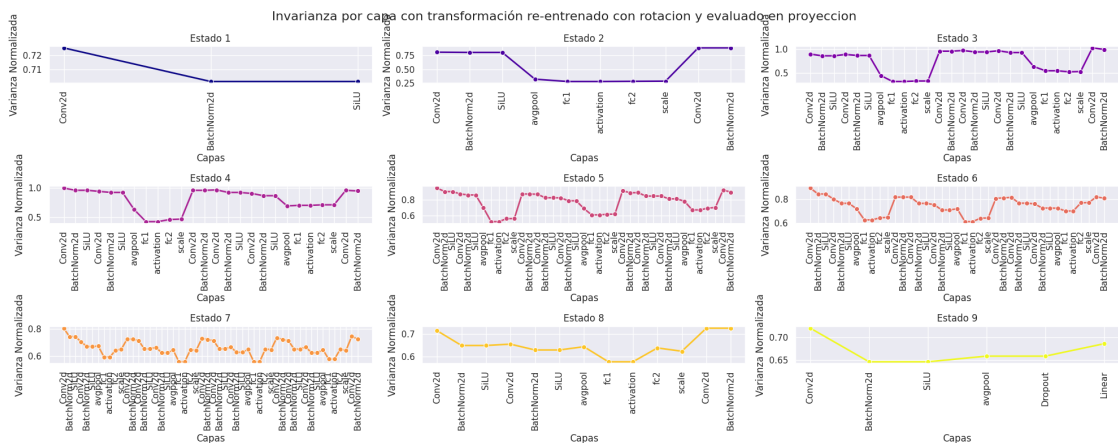


Figura 187: Arquitectura EfficientNetB0, entrenada con enfoque Full y transformación Rotacion, invarianza evaluada con Proyeccion

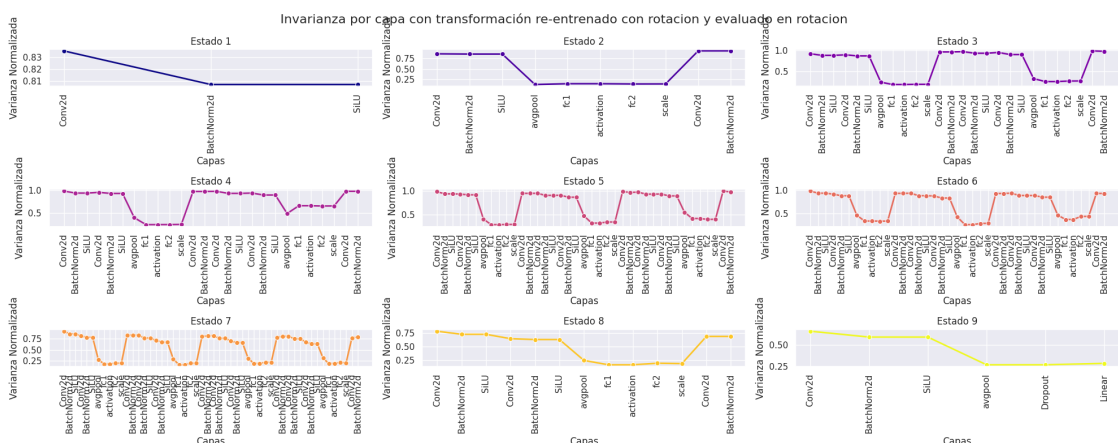


Figura 188: Arquitectura EfficientNetB0, entrenada con enfoque Full y transformación Rotacion, invarianza evaluada con Rotacion

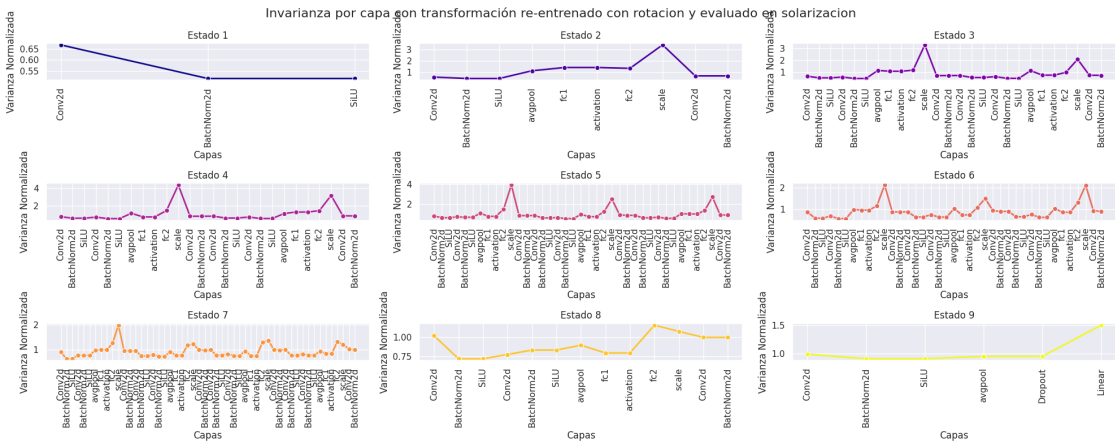


Figura 189: Arquitectura EfficientNetB0, entrenada con enfoque Full y transformación Rotacion, invarianza evaluada con Solarizacion

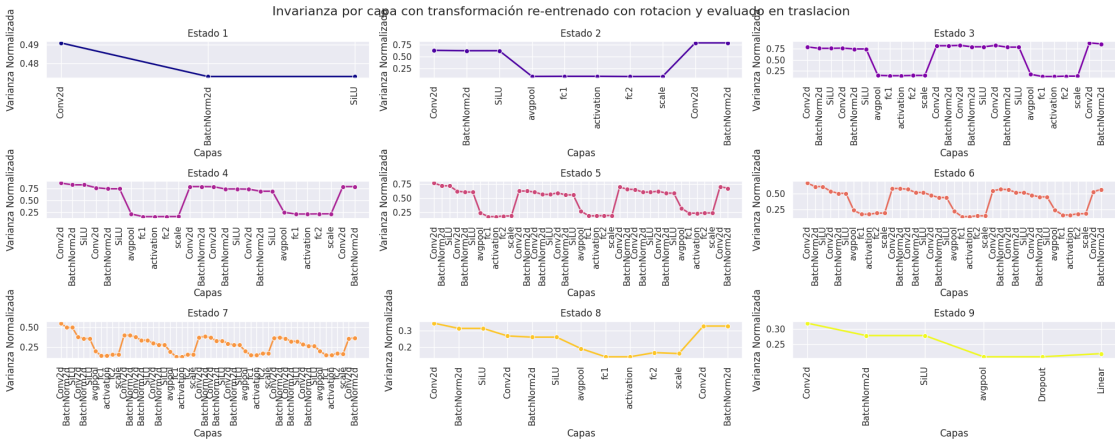


Figura 190: Arquitectura EfficientNetB0, entrenada con enfoque Full y transformación Rotacion, invarianza evaluada con Traslacion

Transformación de entrenamiento: Solarizacion

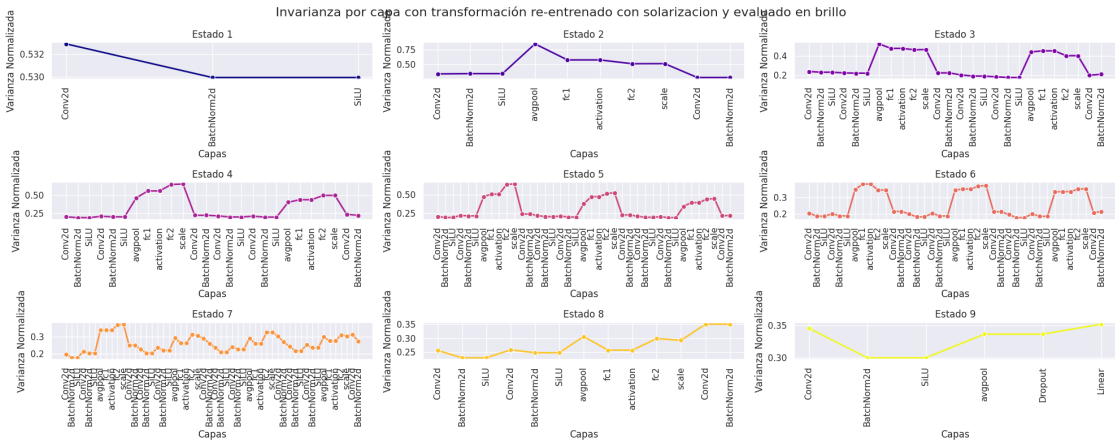


Figura 191: Arquitectura EfficientNetB0, entrenada con enfoque Full y transformación Solarizacion, invarianza evaluada con Brillo

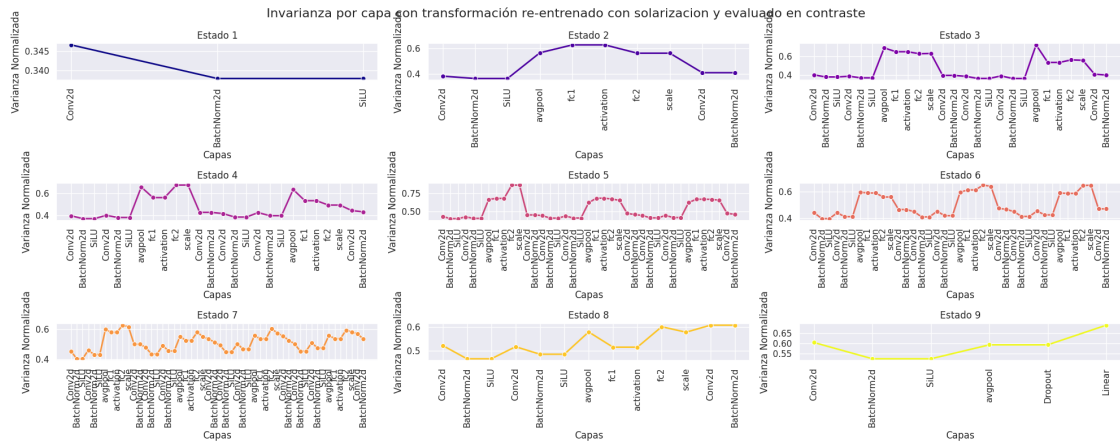


Figura 192: Arquitectura EfficientNetB0, entrenada con enfoque Full y transformación Solarizacion, invarianza evaluada con Contraste

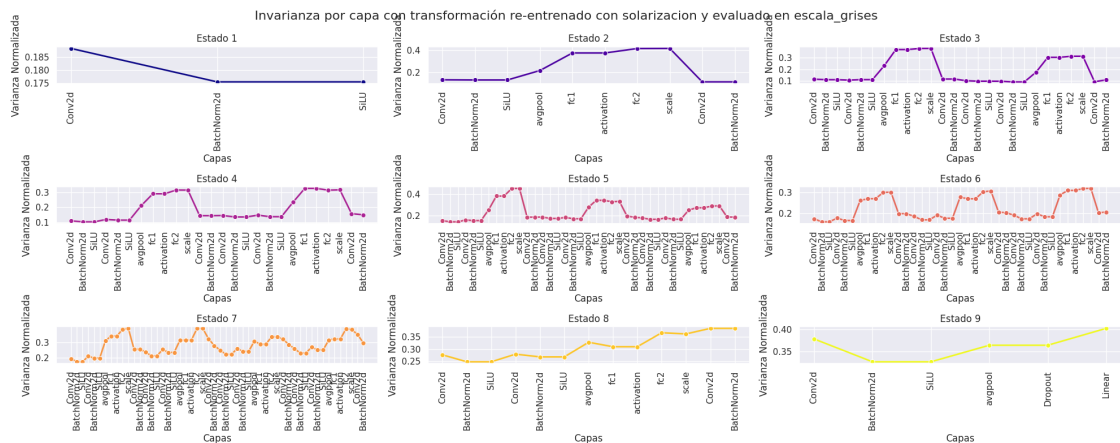


Figura 193: Arquitectura EfficientNetB0, entrenada con enfoque Full y transformación Solarizacion, invarianza evaluada con escala_grises

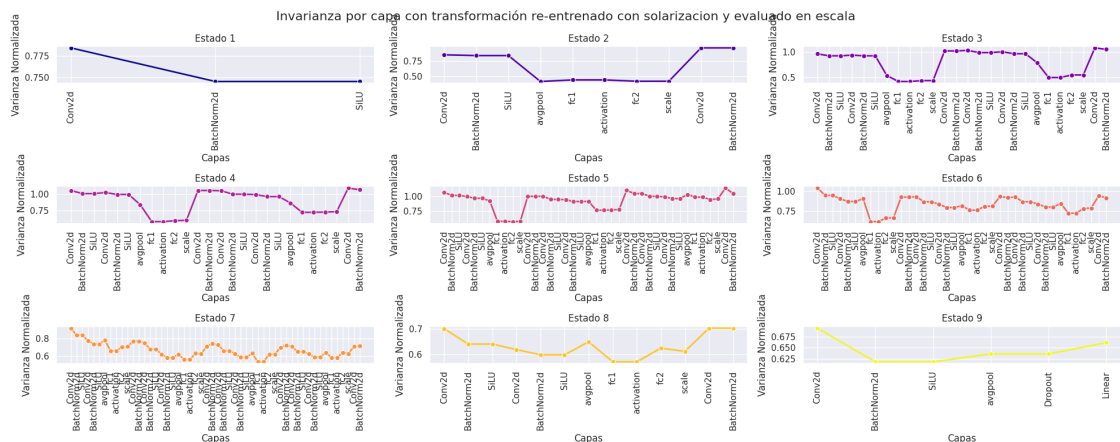


Figura 194: Arquitectura EfficientNetB0, entrenada con enfoque Full y transformación Solarizacion, invarianza evaluada con Escala

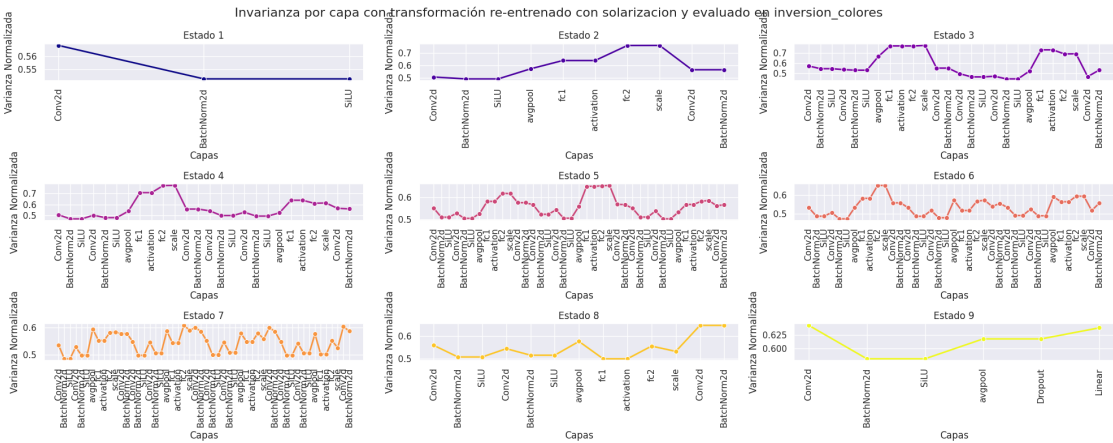


Figura 195: Arquitectura EfficientNetB0, entrenada con enfoque Full y transformación Solarizacion, invarianza evaluada con inversion de colores

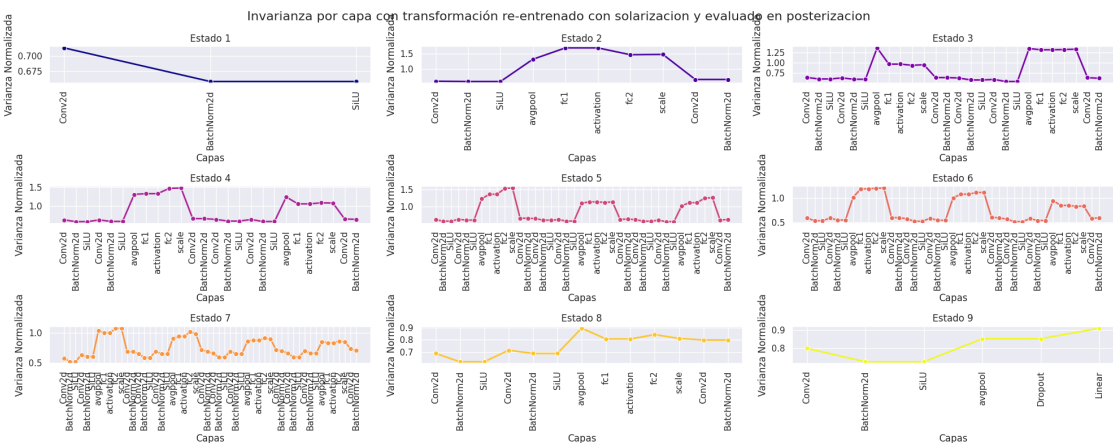


Figura 196: Arquitectura EfficientNetB0, entrenada con enfoque Full y transformación Solarizacion, invarianza evaluada con Posterizacion

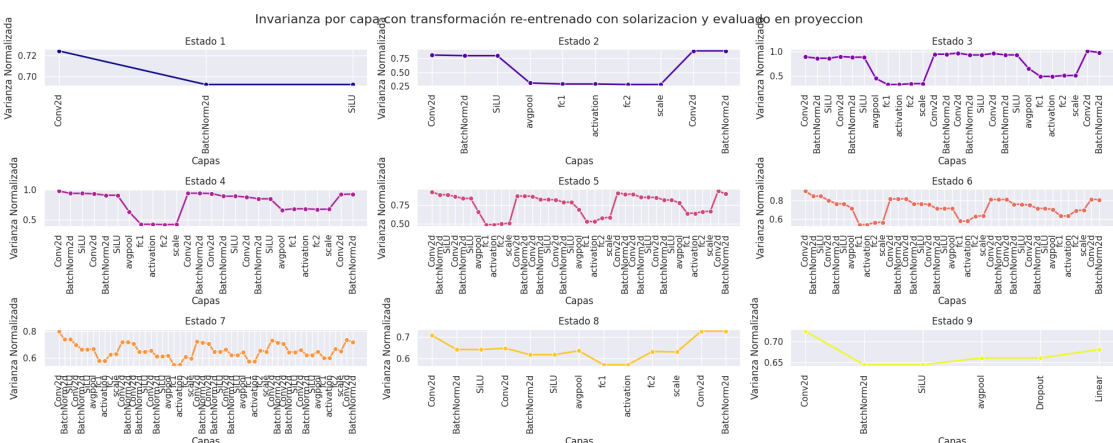


Figura 197: Arquitectura EfficientNetB0, entrenada con enfoque Full y transformación Solarizacion, invarianza evaluada con Proyeccion

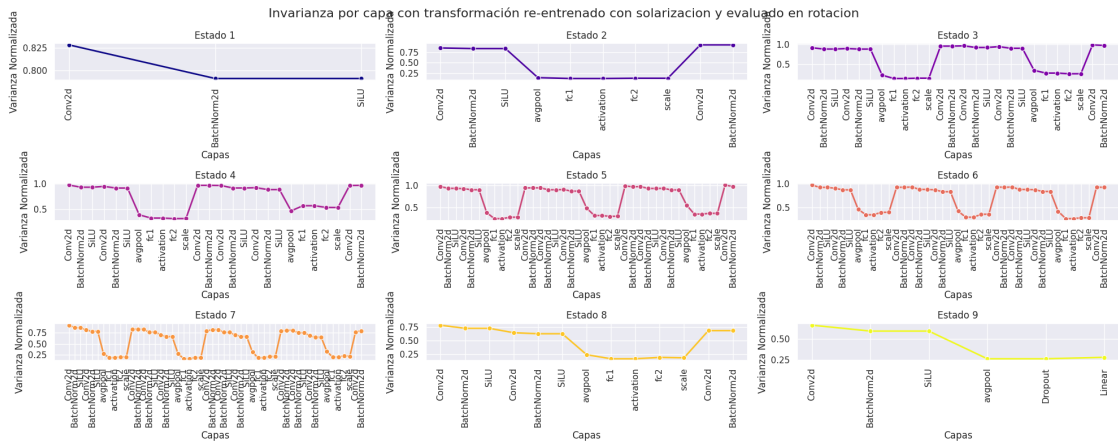


Figura 198: Arquitectura EfficientNetB0, entrenada con enfoque Full y transformación Solarización, invarianza evaluada con Rotación

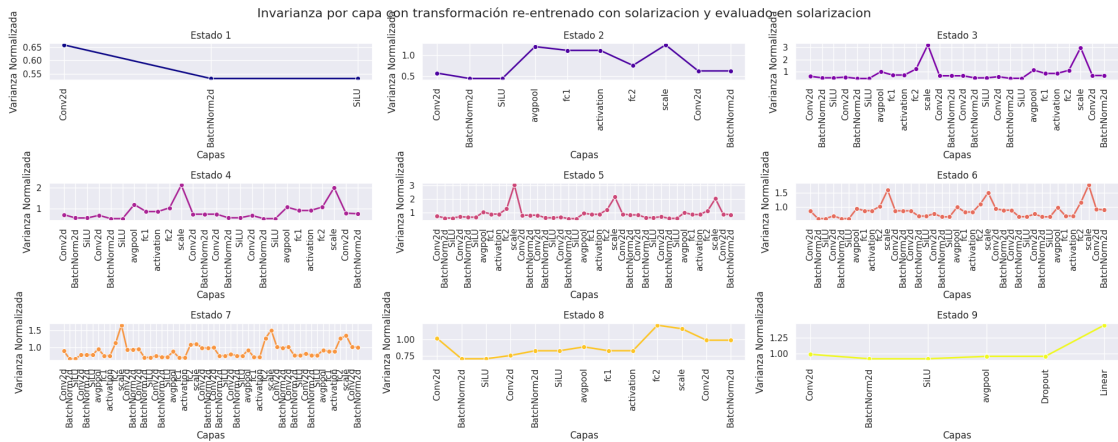


Figura 199: Arquitectura EfficientNetB0, entrenada con enfoque Full y transformación Solarización, invarianza evaluada con Solarización

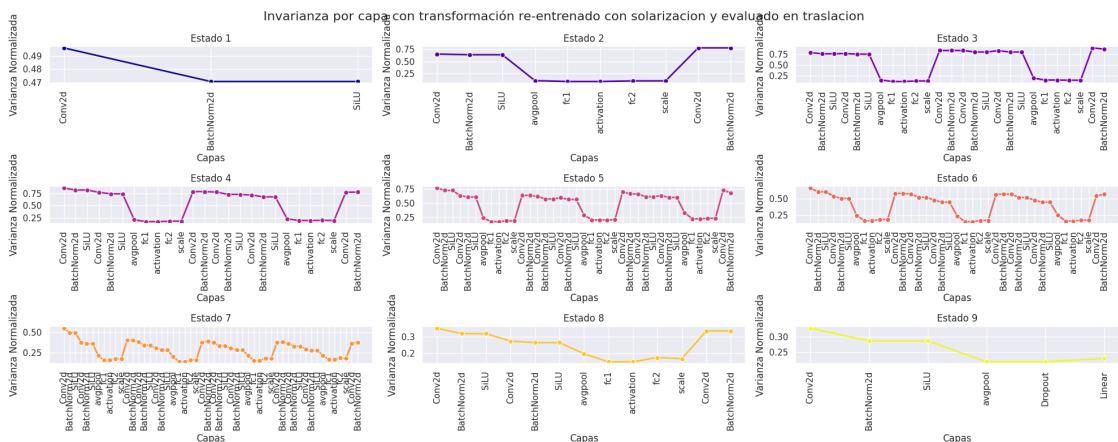


Figura 200: Arquitectura EfficientNetB0, entrenada con enfoque Full y transformación Solarización, invarianza evaluada con Traslación

Transformación de entrenamiento: Traslacion

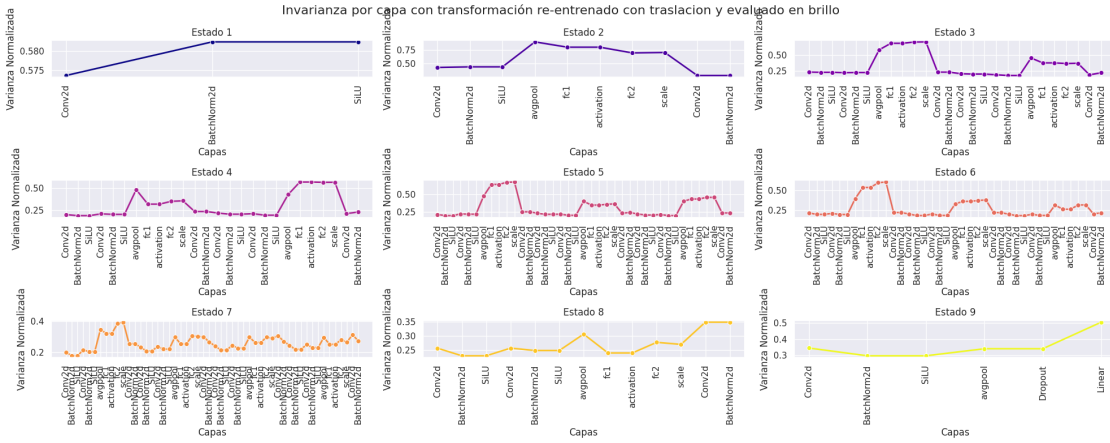


Figura 201: Arquitectura EfficientNetB0, entrenada con enfoque Full y transformación Traslacion, invarianza evaluada con Brillo

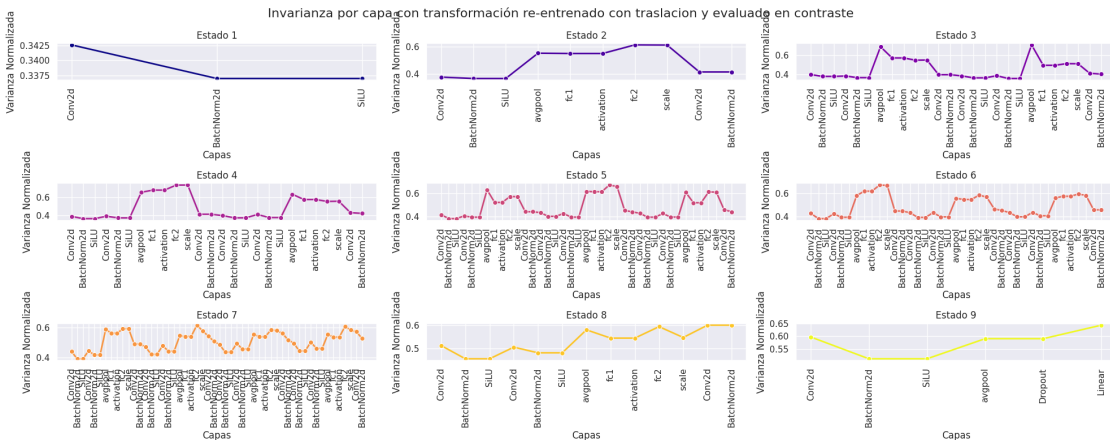


Figura 202: Arquitectura EfficientNetB0, entrenada con enfoque Full y transformación Traslacion, invarianza evaluada con Contraste

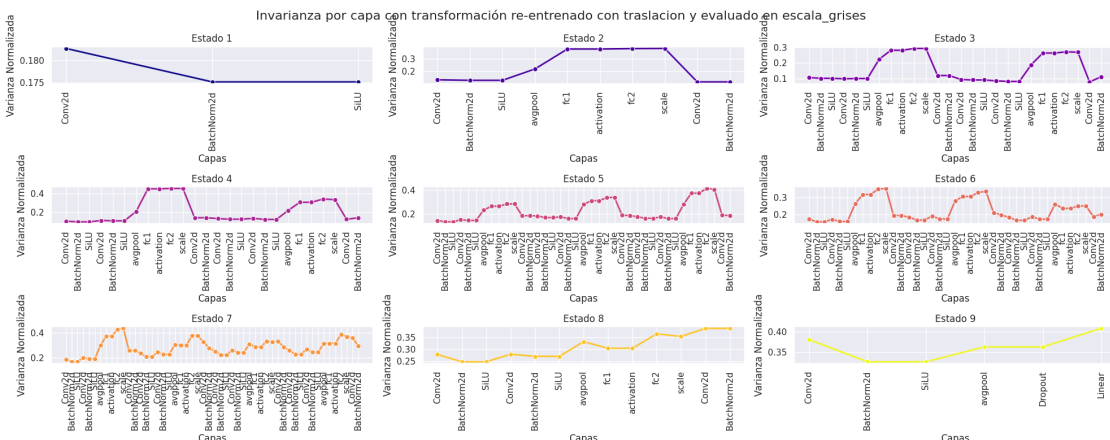


Figura 203: Arquitectura EfficientNetB0, entrenada con enfoque Full y transformación Traslacion, invarianza evaluada con escala de grises

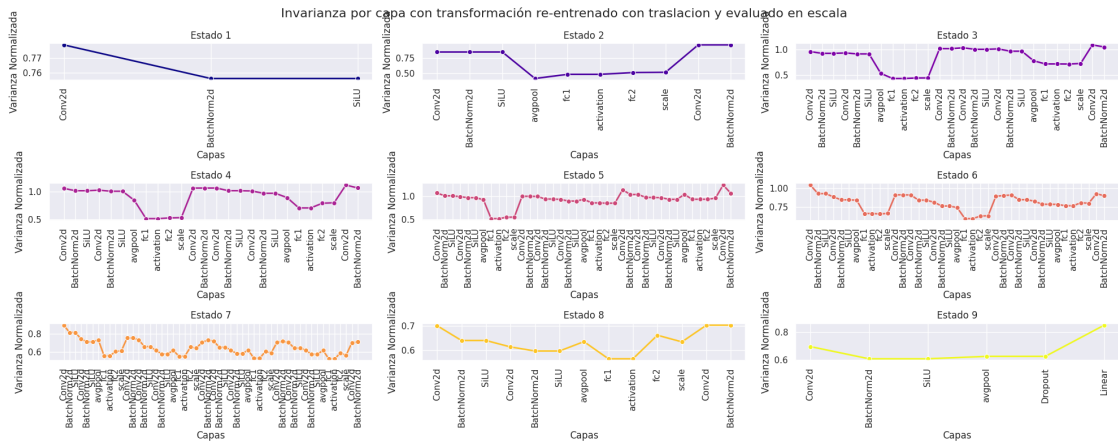


Figura 204: Arquitectura EfficientNetB0, entrenada con enfoque Full y transformación Traslacion, invarianza evaluada con Escala

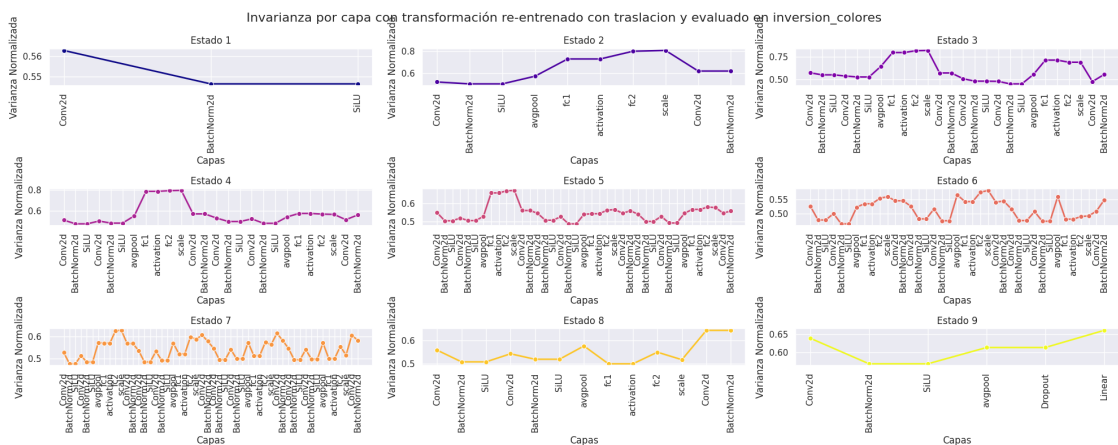


Figura 205: Arquitectura EfficientNetB0, entrenada con enfoque Full y transformación Traslacion, invarianza evaluada con inversion de colores

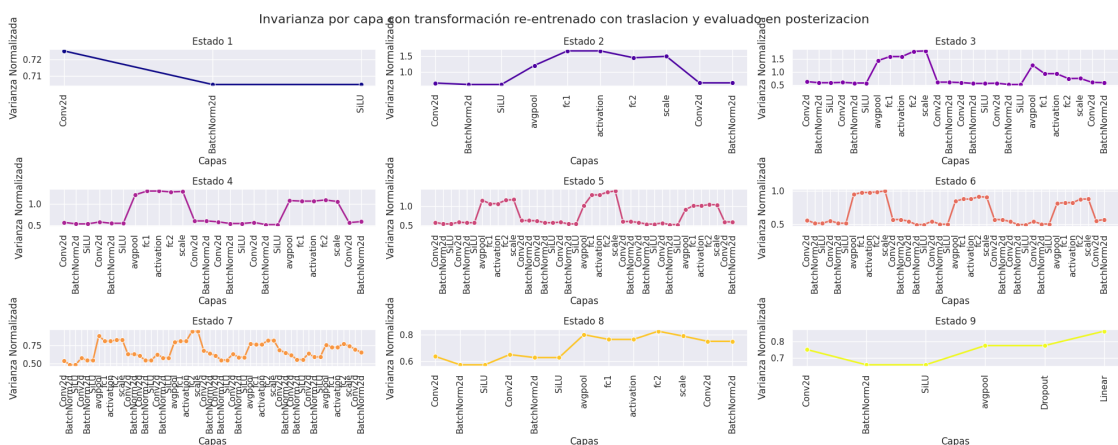


Figura 206: Arquitectura EfficientNetB0, entrenada con enfoque Full y transformación Traslacion, invarianza evaluada con Posterizacion

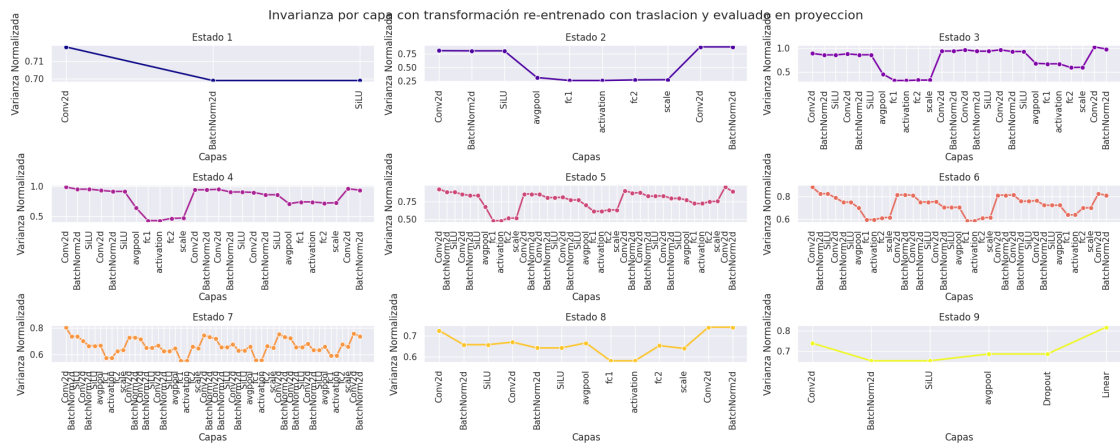


Figura 207: Arquitectura EfficientNetB0, entrenada con enfoque Full y transformación Traslacion, invarianza evaluada con Proyeccion

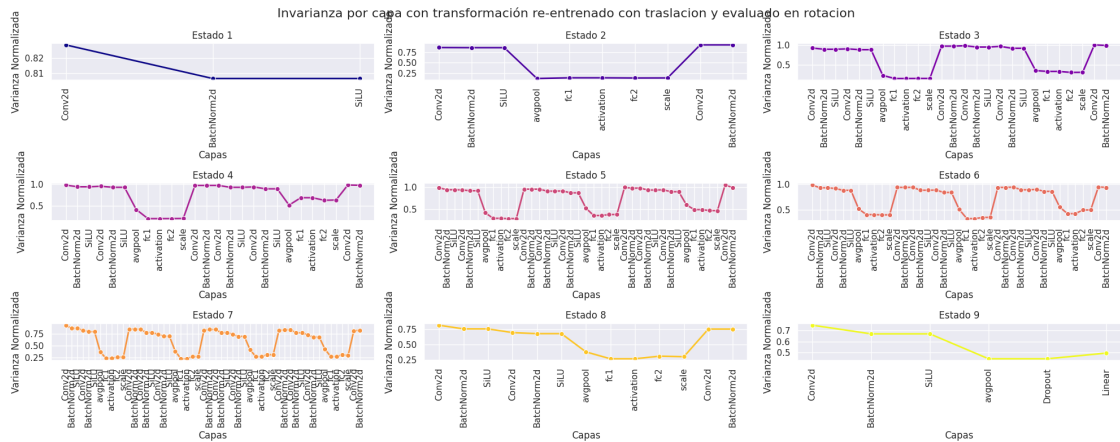


Figura 208: Arquitectura EfficientNetB0, entrenada con enfoque Full y transformación Traslacion, invarianza evaluada con Rotacion

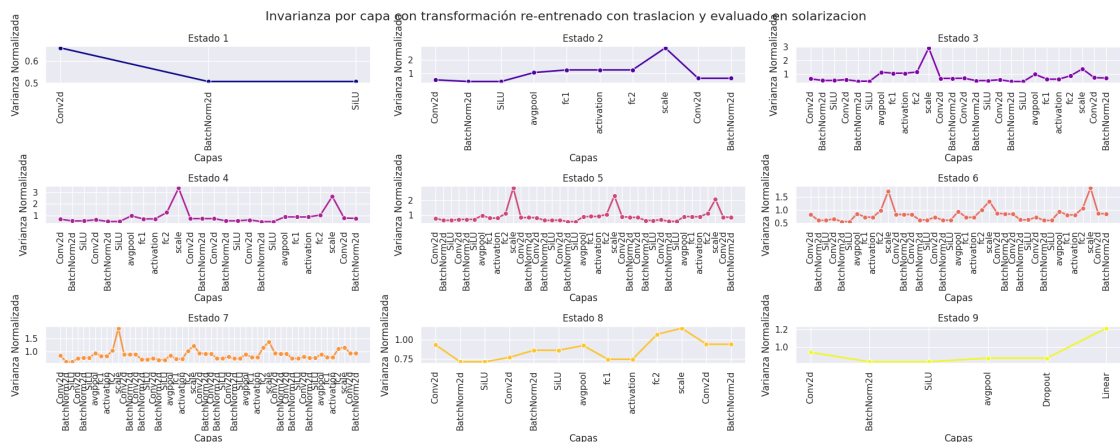


Figura 209: Arquitectura EfficientNetB0, entrenada con enfoque Full y transformación Traslacion, invarianza evaluada con Solarizacion

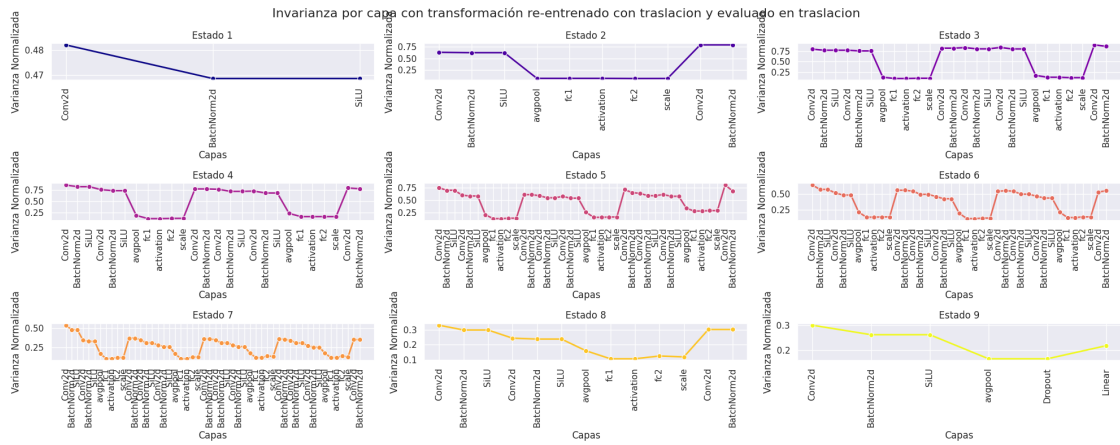


Figura 210: Arquitectura EfficientNetB0, entrenada con enfoque Full y transformación Traslacion, invarianza evaluada con Traslacion

Modelo Identidad

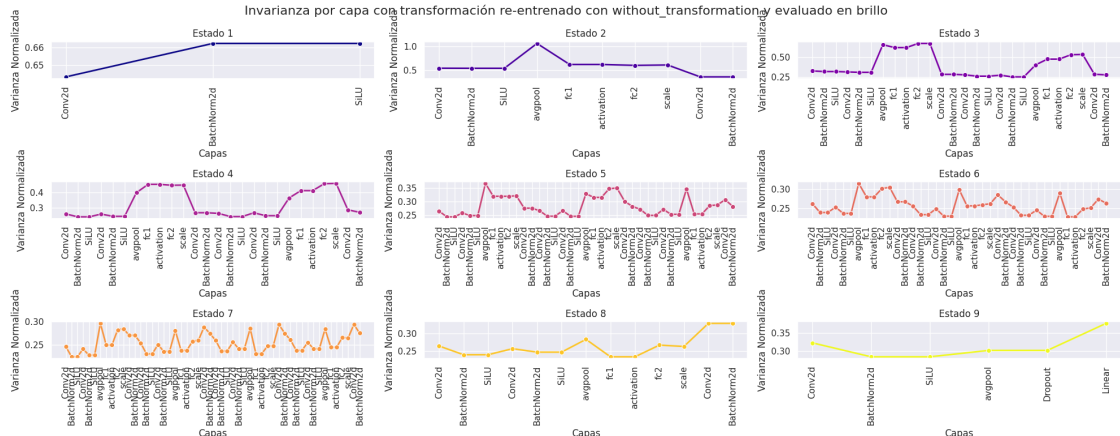


Figura 211: Arquitectura EfficientNetB0, entrenada con enfoque Full y modelo Identidad, invarianza evaluada con Brillo

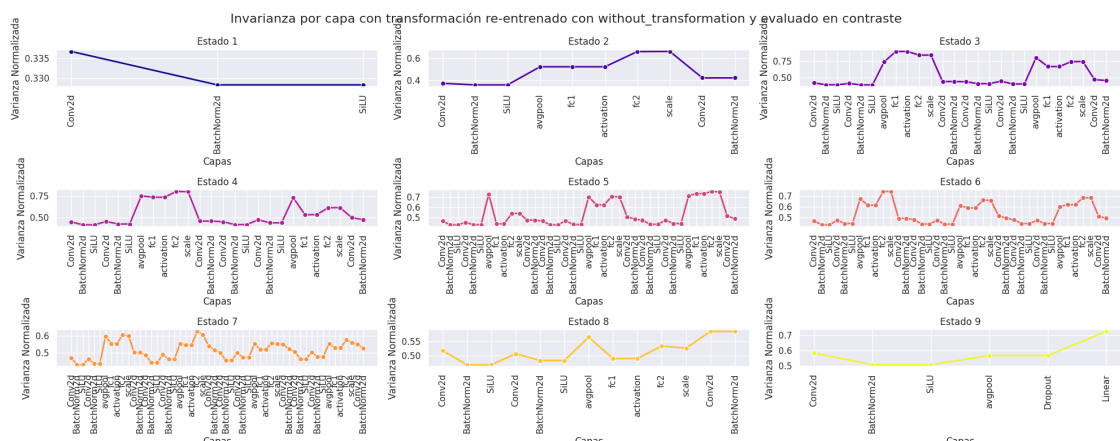


Figura 212: Arquitectura EfficientNetB0, entrenada con enfoque Full y modelo Identidad, invarianza evaluada con Contraste

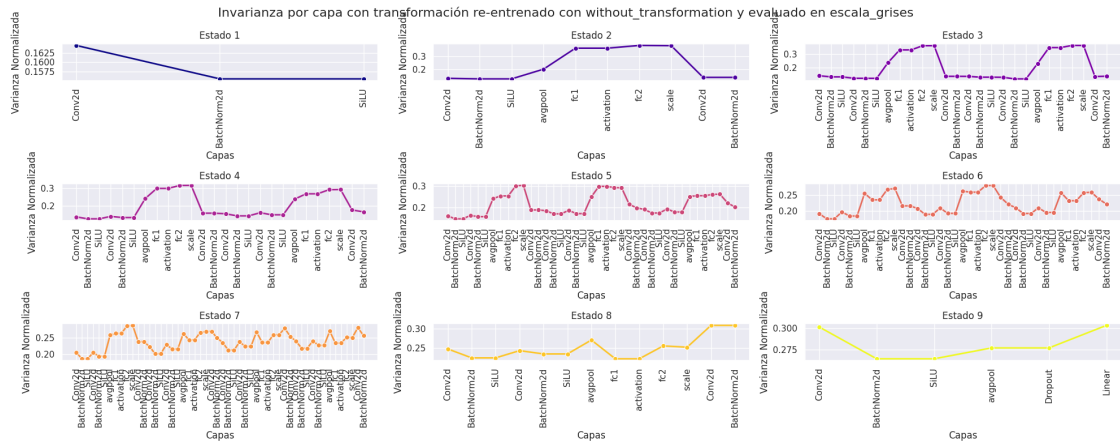


Figura 213: Arquitectura EfficientNetB0, entrenada con enfoque Full y modelo Identidad, invarianza evaluada con escala de grises

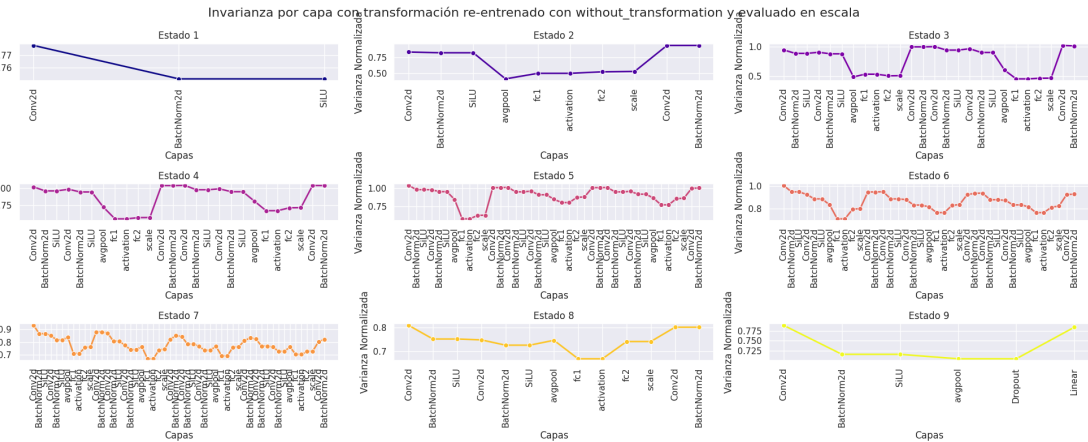


Figura 214: Arquitectura EfficientNetB0, entrenada con enfoque Full y modelo Identidad, invarianza evaluada con Escala

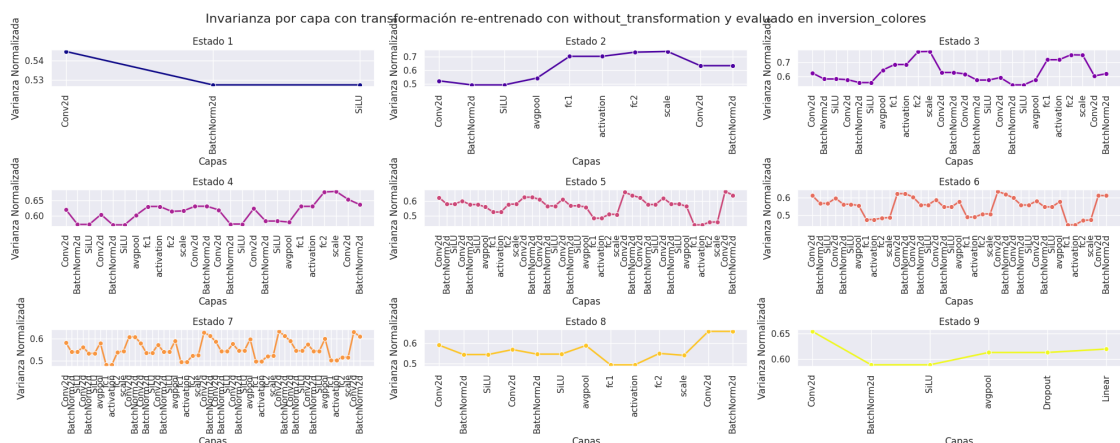


Figura 215: Arquitectura EfficientNetB0, entrenada con enfoque Full y modelo Identidad, invarianza evaluada con inversion de colores

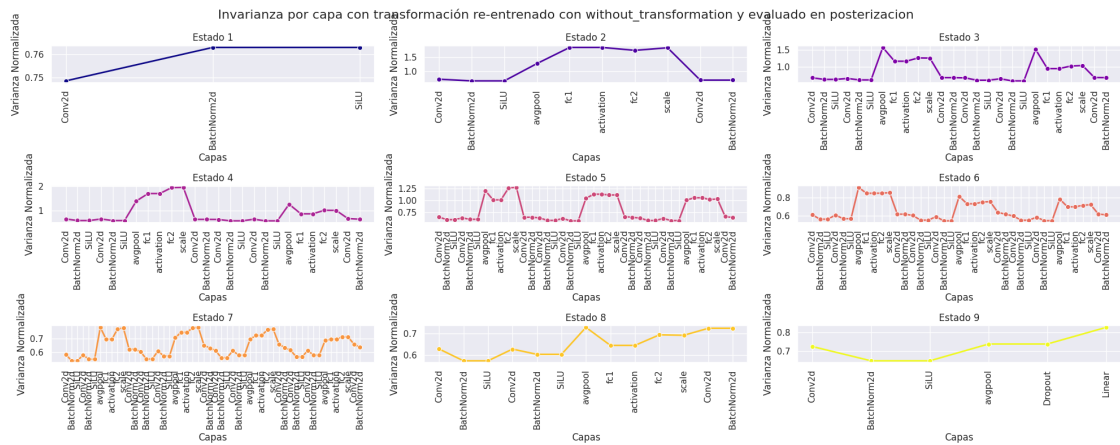


Figura 216: Arquitectura EfficientNetB0, entrenada con enfoque Full y modelo Identidad, invarianza evaluada con Posterizacion

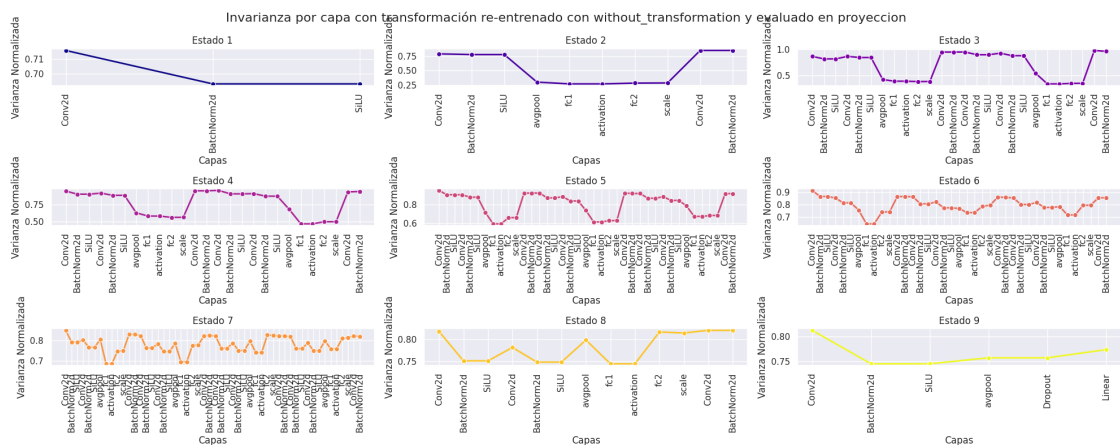


Figura 217: Arquitectura EfficientNetB0, entrenada con enfoque Full y modelo Identidad, invarianza evaluada con Proyeccion

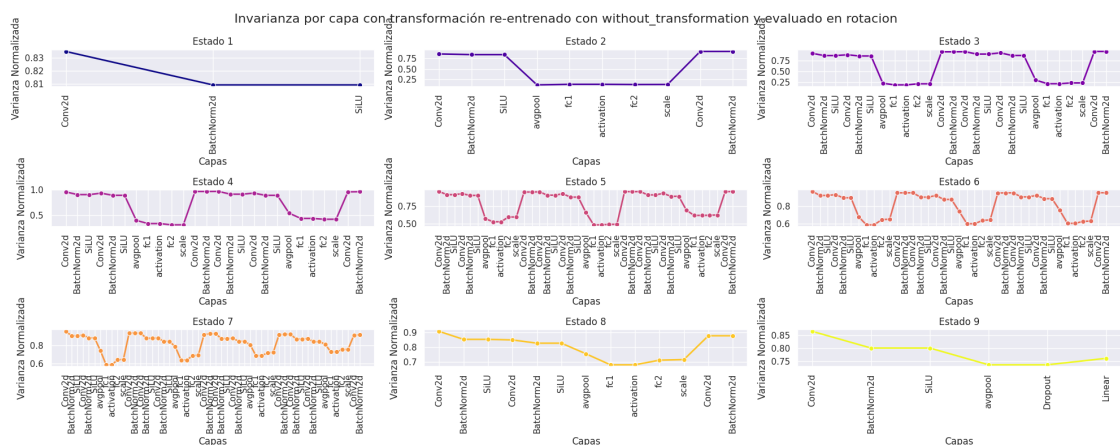


Figura 218: Arquitectura EfficientNetB0, entrenada con enfoque Full y modelo Identidad, invarianza evaluada con Rotacion

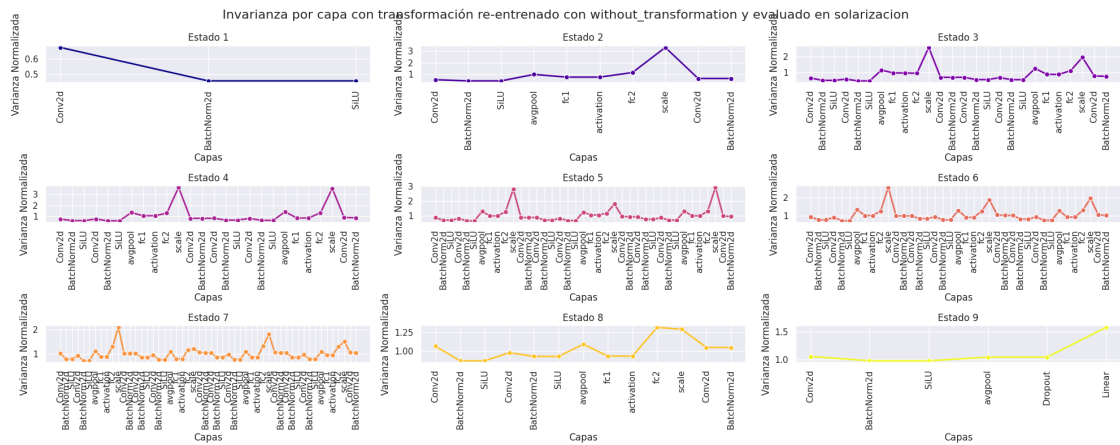


Figura 219: Arquitectura EfficientNetB0, entrenada con enfoque Full y modelo Identidad, invarianza evaluada con Solarizacion

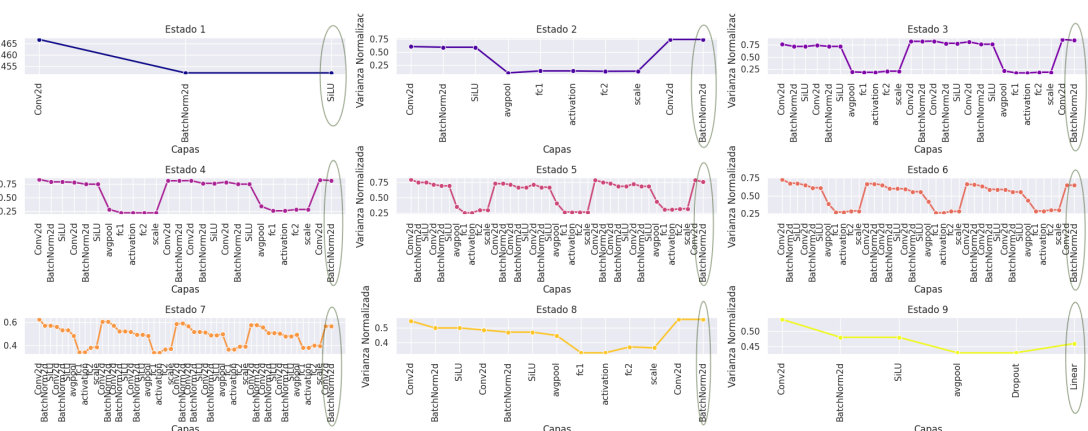


Figura 220: Arquitectura EfficientNetB0, entrenada con enfoque Full y modelo Identidad, invarianza evaluada con Traslacion

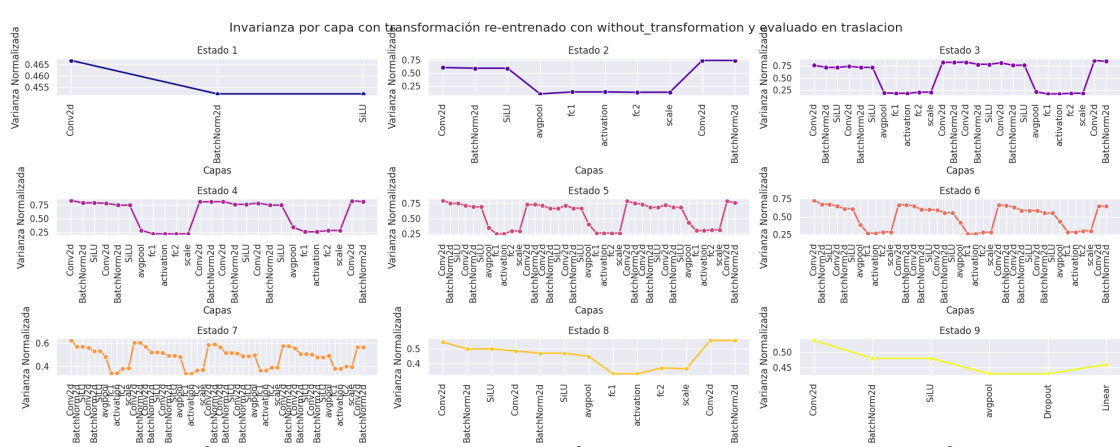


Figura 221: Arquitectura EfficientNetB0, entrenada con enfoque Full y modelo Identidad, invarianza evaluada con Traslacion

Entrenamiento: Transfer Learning

Modelo Identidad

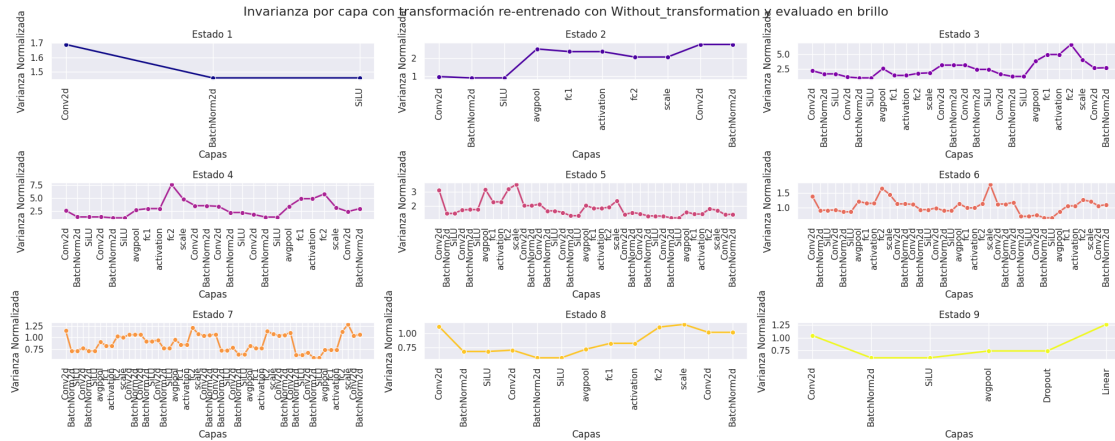


Figura 222: Arquitectura EfficientNetB0, entrenada con enfoque Transfer Learning y modelo Identidad, invarianza evaluada con Brillo

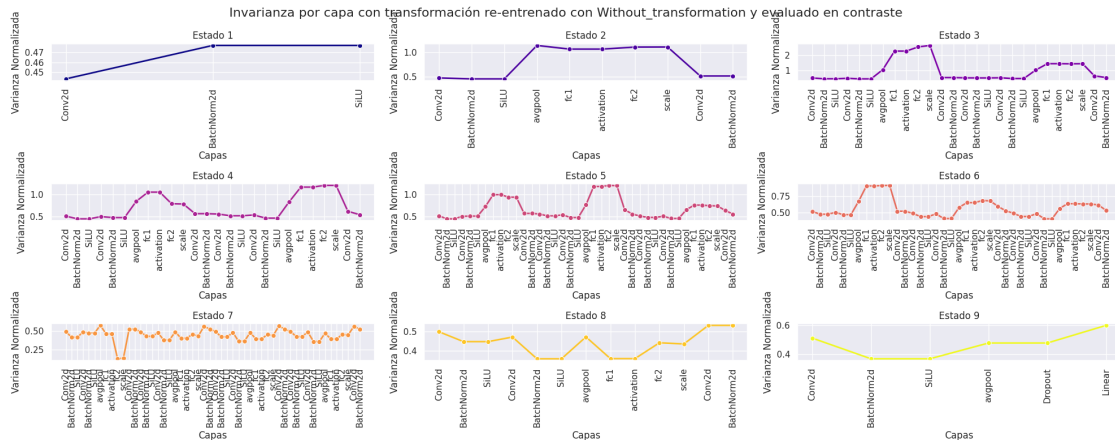


Figura 223: Arquitectura EfficientNetB0, entrenada con enfoque Transfer Learning y modelo Identidad, invarianza evaluada con Contraste

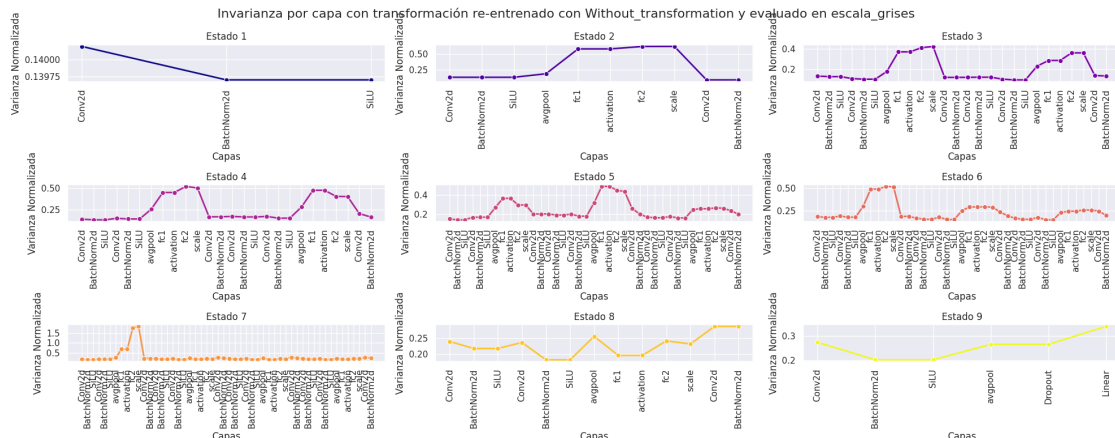


Figura 224: Arquitectura EfficientNetB0, entrenada con enfoque Transfer Learning y modelo Identidad, invarianza evaluada con escala de grises

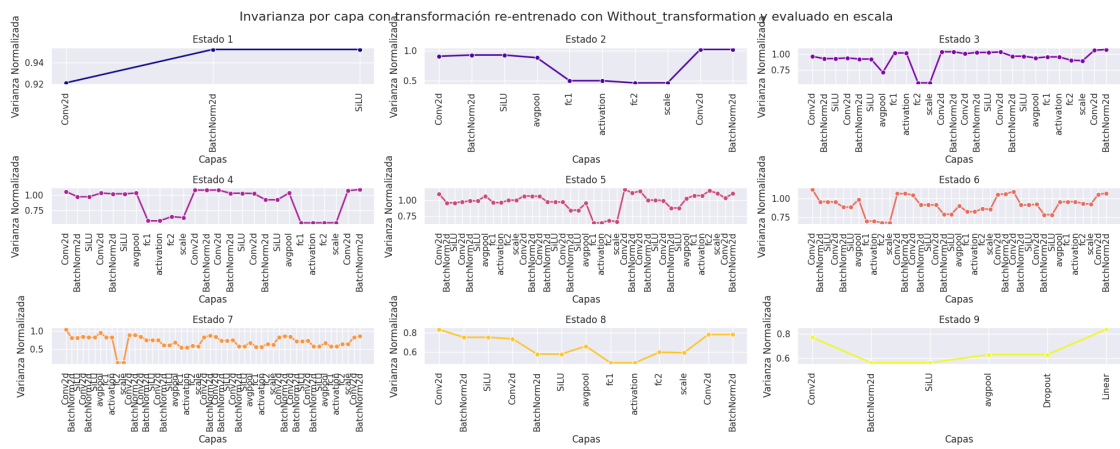


Figura 225: Arquitectura EfficientNetB0, entrenada con enfoque Transfer Learning y modelo Identidad, invarianza evaluada con Escala

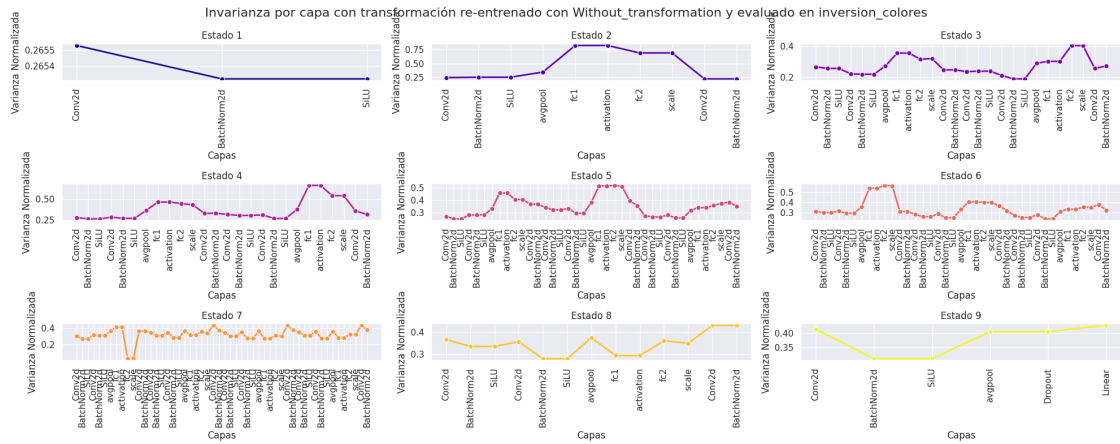


Figura 226: Arquitectura EfficientNetB0, entrenada con enfoque Transfer Learning y modelo Identidad, invarianza evaluada con inversion de colores

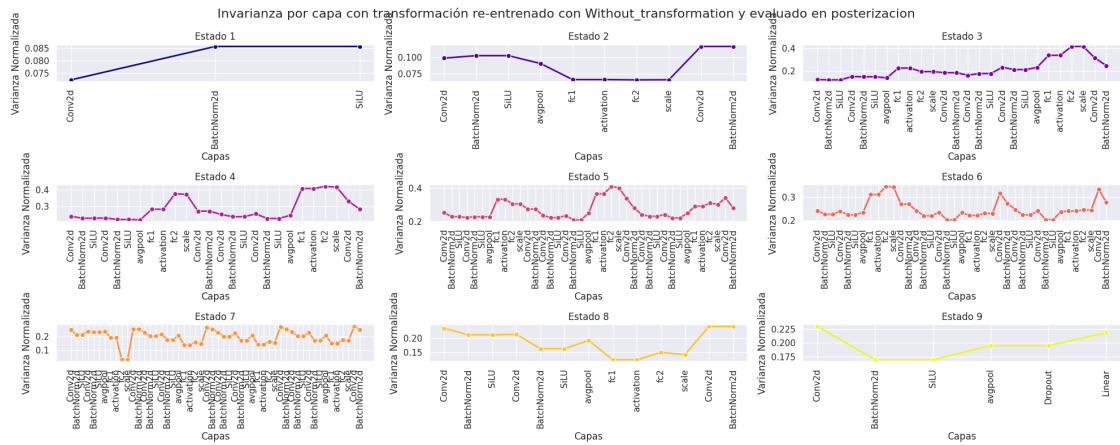


Figura 227: Arquitectura EfficientNetB0, entrenada con enfoque Transfer Learning y modelo Identidad, invarianza evaluada con Posterizacion

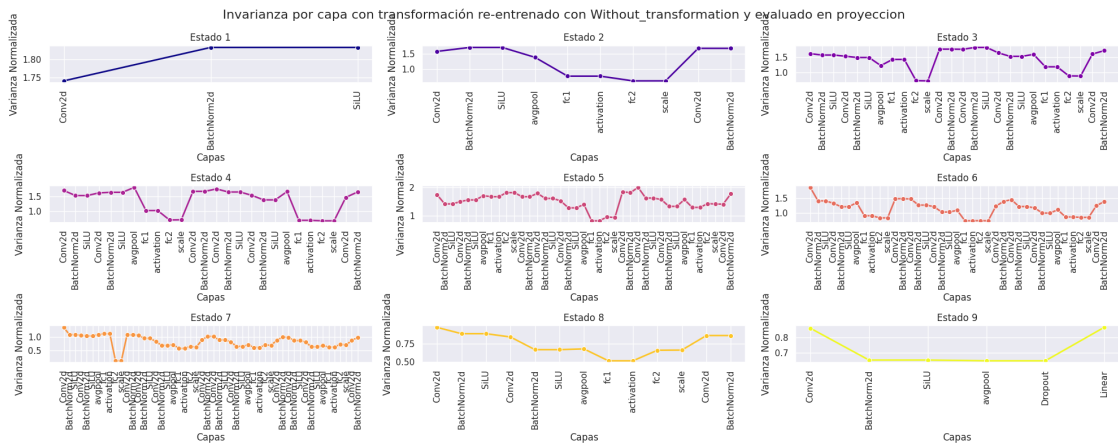


Figura 228: Arquitectura EfficientNetB0, entrenada con enfoque Transfer Learning y modelo Identidad, invarianza evaluada con Proyección

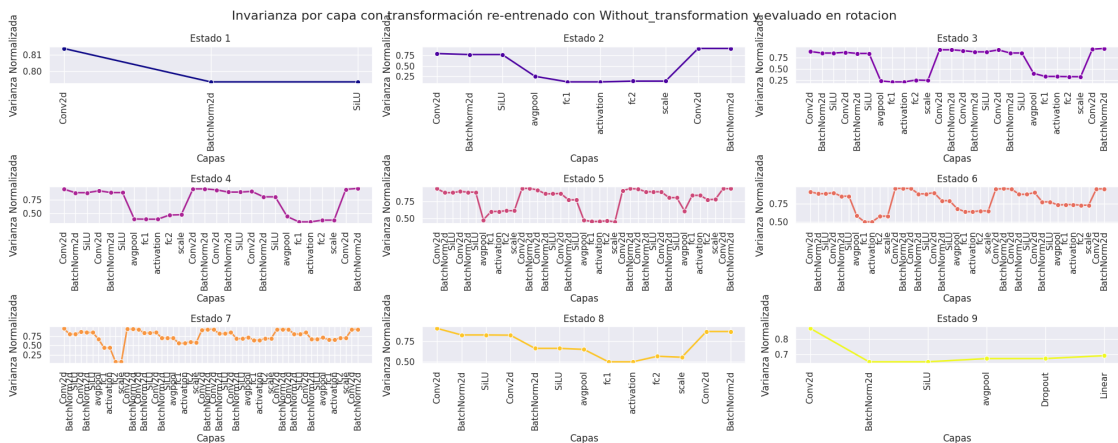


Figura 229: Arquitectura EfficientNetB0, entrenada con enfoque Transfer Learning y modelo Identidad, invarianza evaluada con Rotación

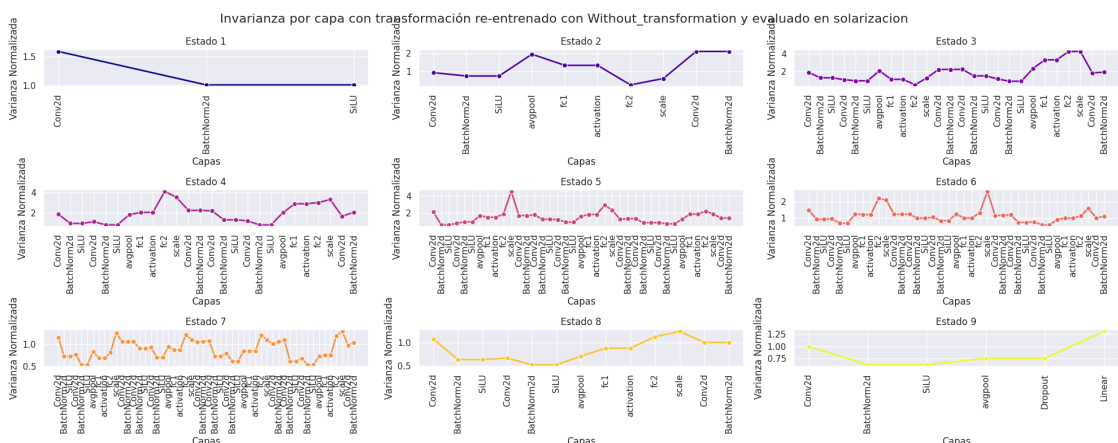


Figura 230: Arquitectura EfficientNetB0, entrenada con enfoque Transfer Learning y modelo Identidad, invarianza evaluada con Solarización

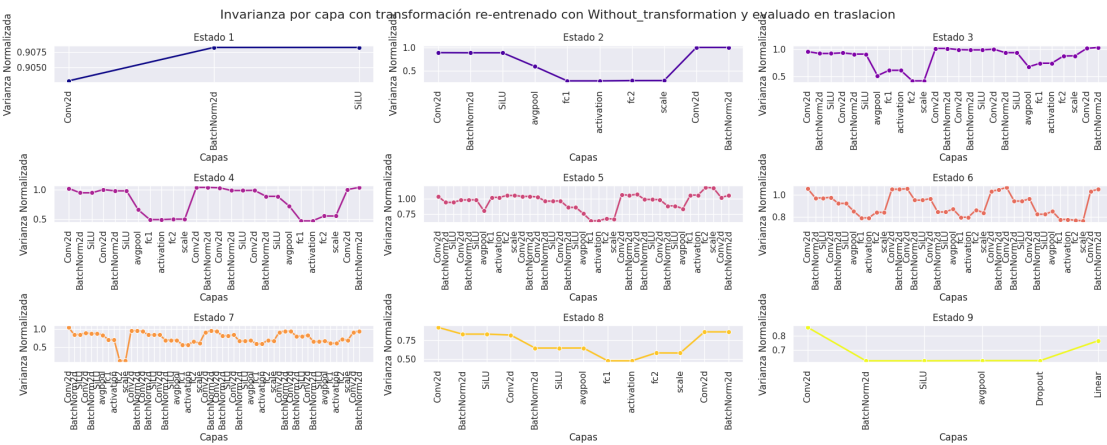


Figura 231: Arquitectura EfficientNetB0, entrenada con enfoque Transfer Learning y modelo Identidad, invarianza evaluada con Traslacion

Transformación de entrenamiento: Brillo

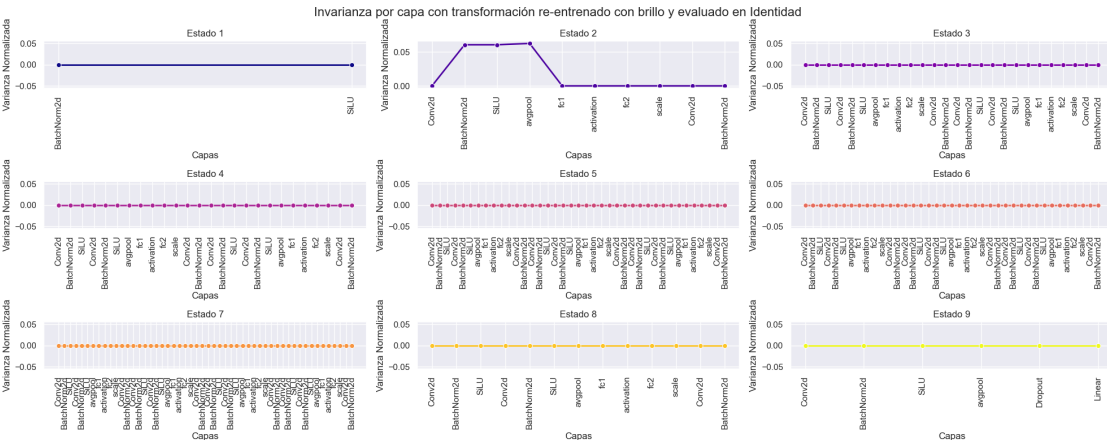


Figura 232: Arquitectura EfficientNetB0, entrenada con enfoque Transfer Learning y transformación Brillo, invarianza evaluada con Identidad

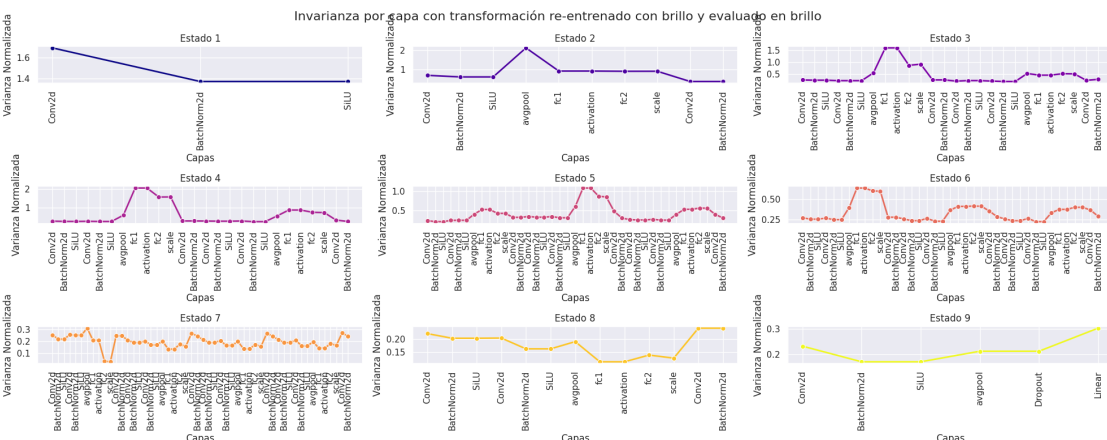


Figura 233: Arquitectura EfficientNetB0, entrenada con enfoque Transfer Learning y transformación Brillo, invarianza evaluada con Brillo

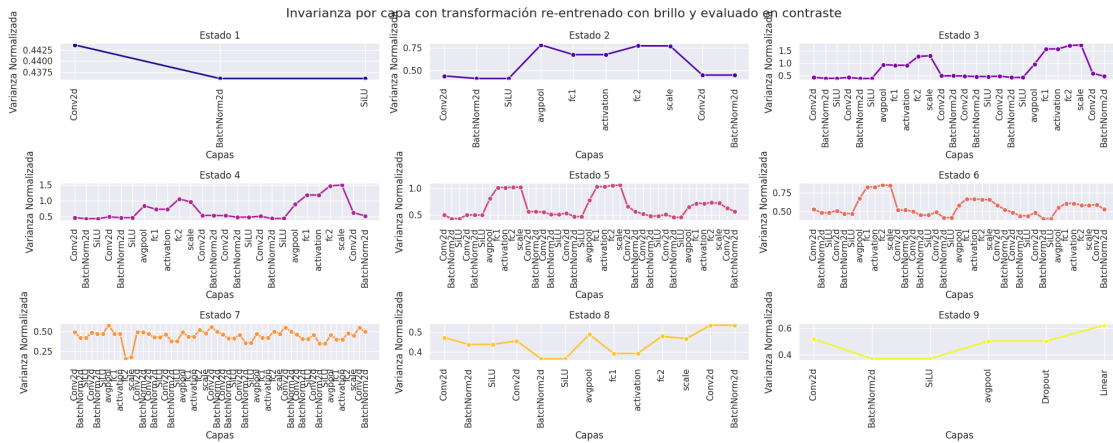


Figura 234: Arquitectura EfficientNetB0, entrenada con enfoque Transfer Learning y transformación Brillo, invarianza evaluada con Contraste

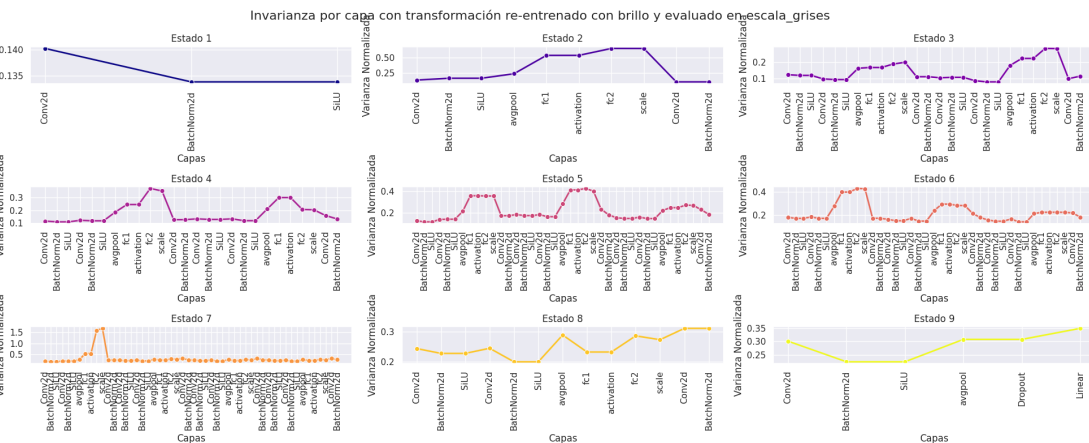


Figura 235: Arquitectura EfficientNetB0, entrenada con enfoque Transfer Learning y transformación Brillo, invarianza evaluada con escala de grises

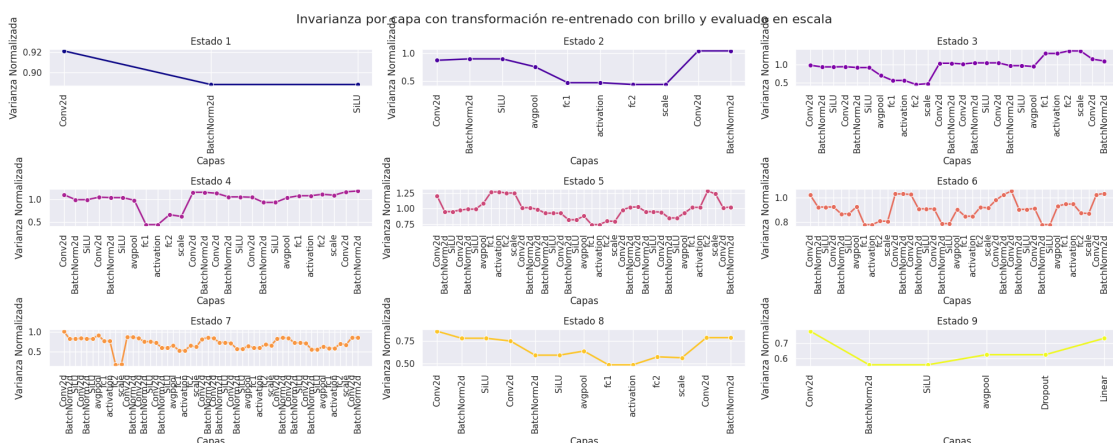


Figura 236: Arquitectura EfficientNetB0, entrenada con enfoque Transfer Learning y transformación Brillo, invarianza evaluada con Escala

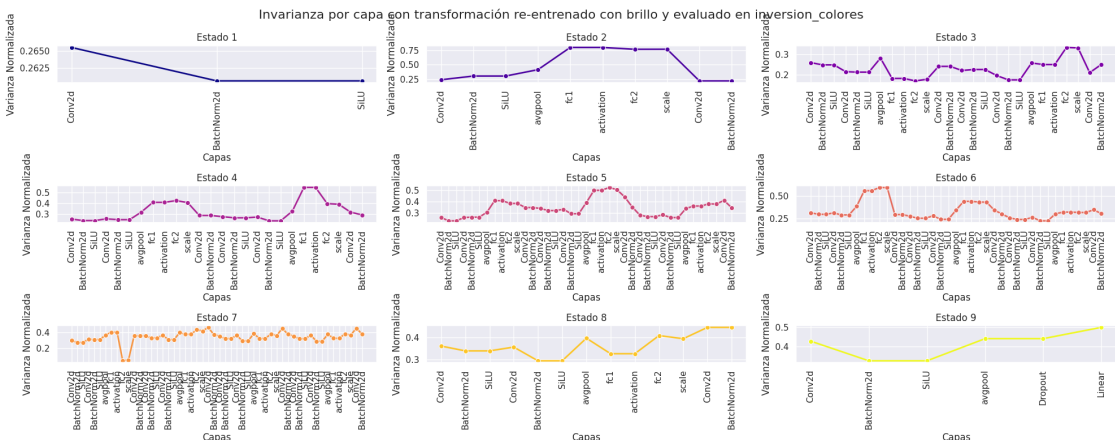


Figura 237: Arquitectura EfficientNetB0, entrenada con enfoque Transfer Learning y transformación Brillo, invarianza evaluada con inversión de colores

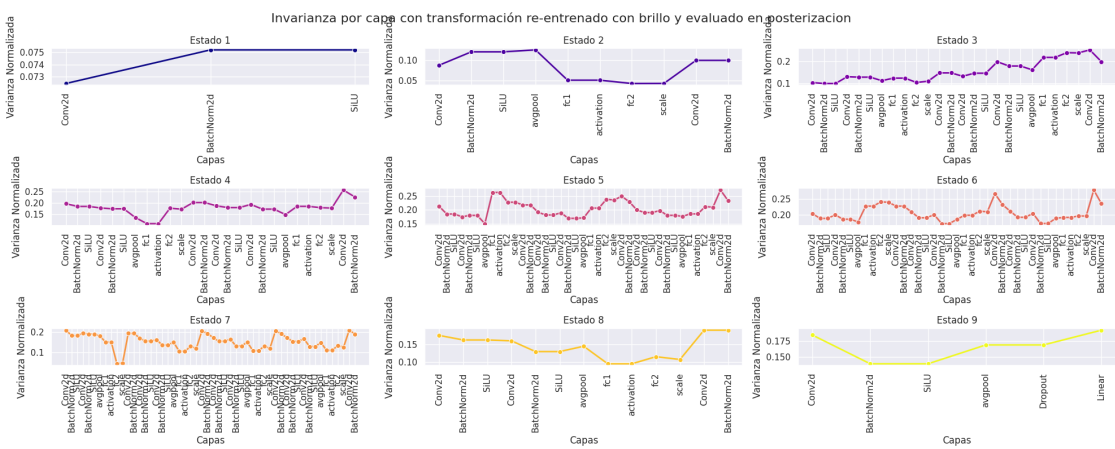


Figura 238: Arquitectura EfficientNetB0, entrenada con enfoque Transfer Learning y transformación Brillo, invarianza evaluada con Posterizacion

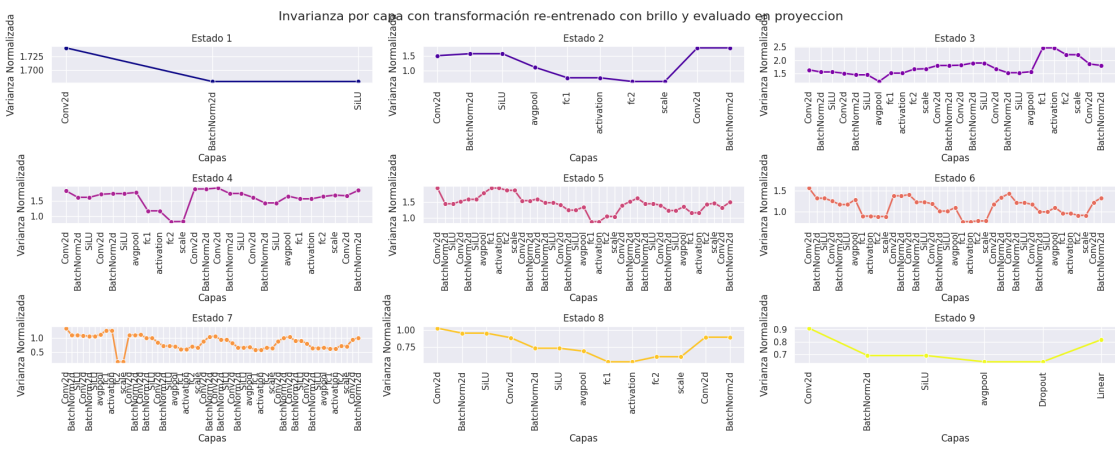


Figura 239: Arquitectura EfficientNetB0, entrenada con enfoque Transfer Learning y transformación Brillo, invarianza evaluada con Proyeccion

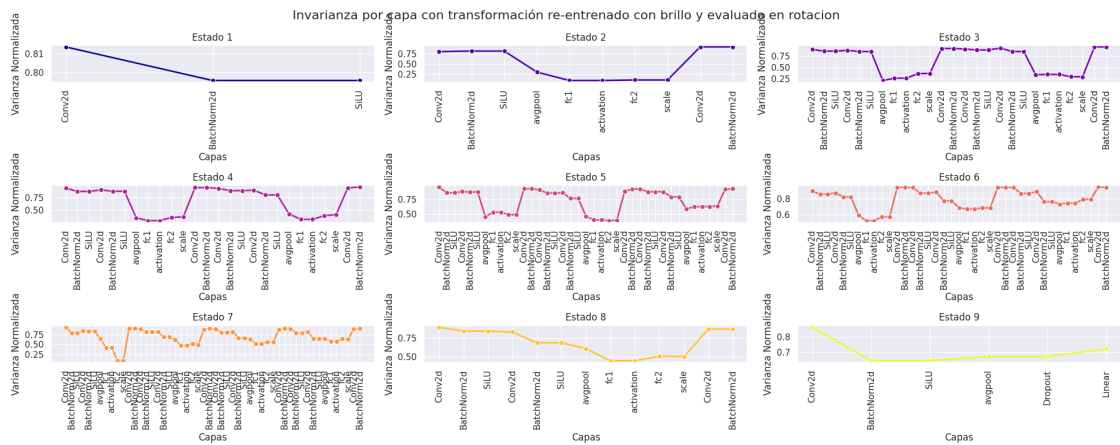


Figura 240: Arquitectura EfficientNetB0, entrenada con enfoque Transfer Learning y transformación Brillo, invarianza evaluada con Rotacion

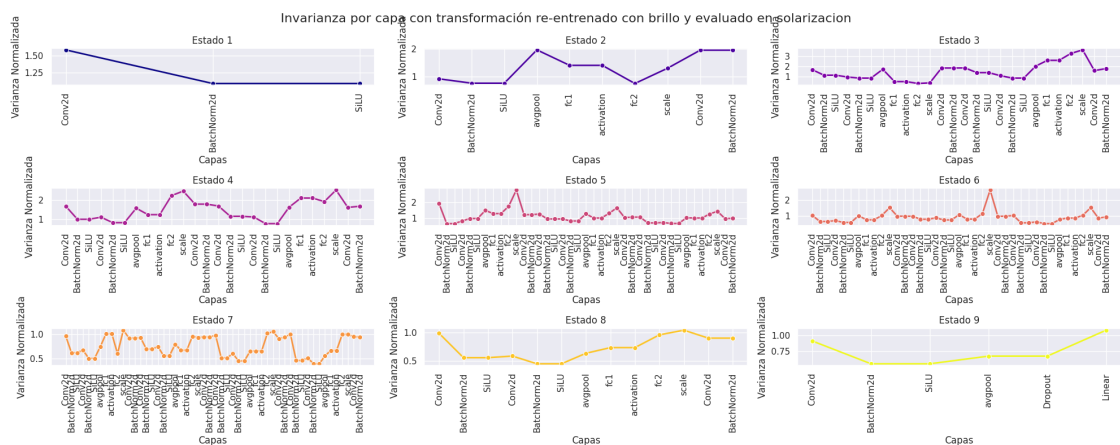


Figura 241: Arquitectura EfficientNetB0, entrenada con enfoque Transfer Learning y transformación Brillo, invarianza evaluada con Solarizacion

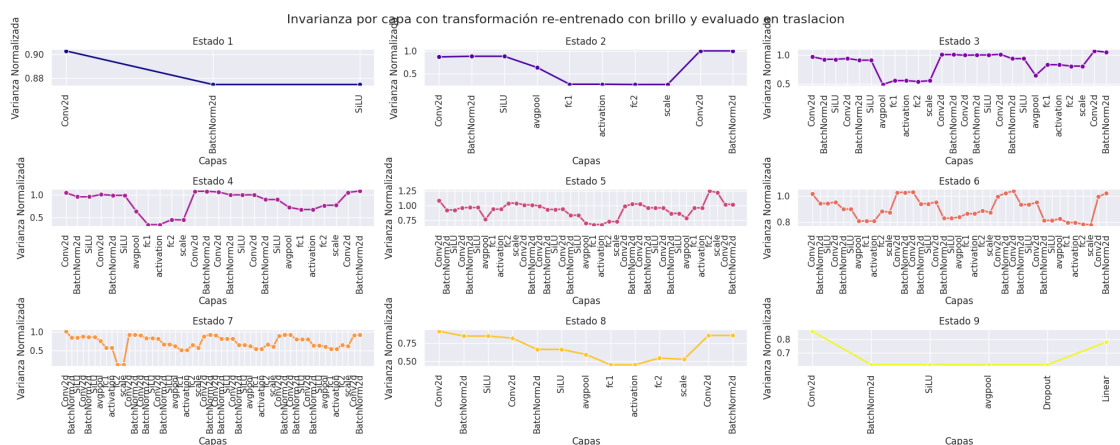


Figura 242: Arquitectura EfficientNetB0, entrenada con enfoque Transfer Learning y transformación Brillo, invarianza evaluada con Traslacion

Transformación de entrenamiento: Contraste

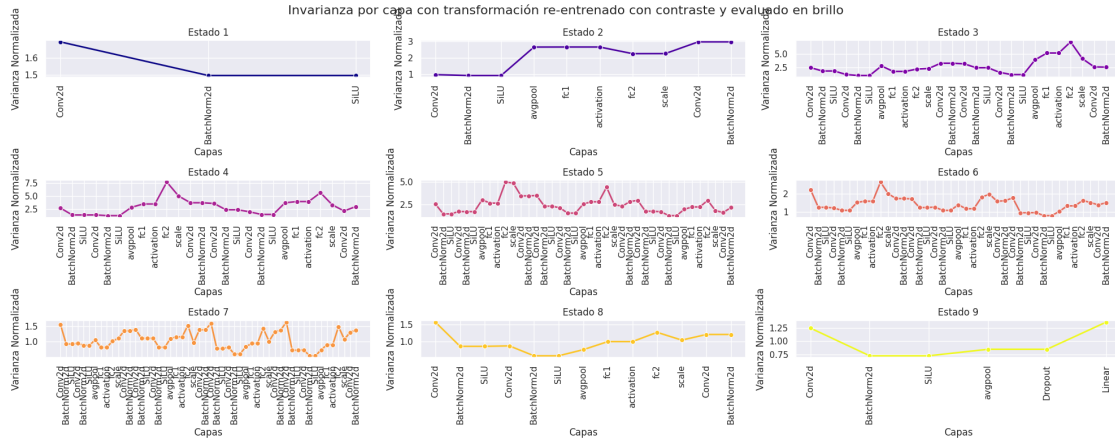


Figura 243: Arquitectura EfficientNetB0, entrenada con enfoque Transfer Learning y transformación Contraste, invarianza evaluada con Brillo

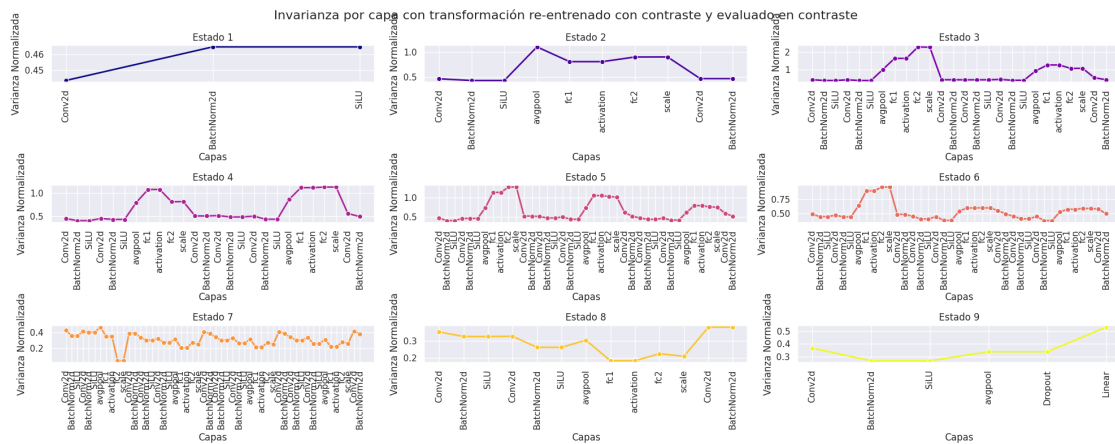


Figura 244: Arquitectura EfficientNetB0, entrenada con enfoque Transfer Learning y transformación Contraste, invarianza evaluada con Contraste

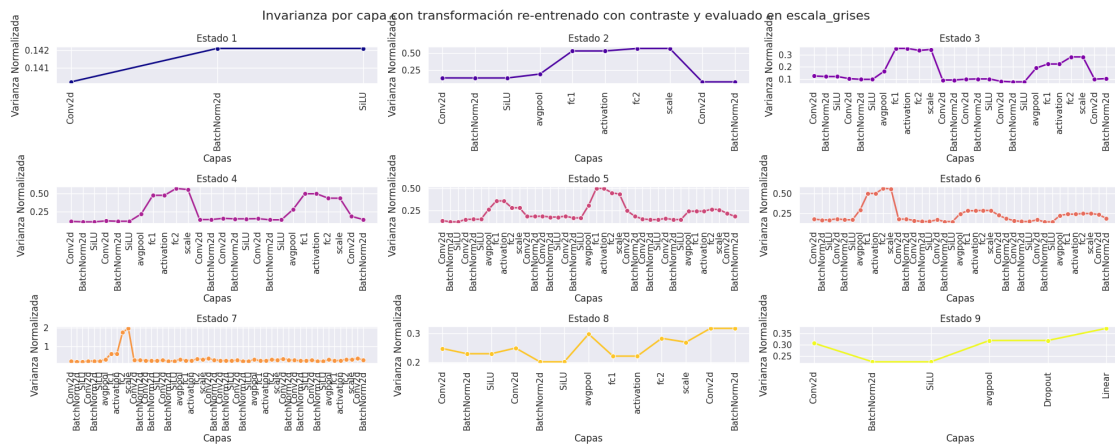


Figura 245: Arquitectura EfficientNetB0, entrenada con enfoque Transfer Learning y transformación Contraste, invarianza evaluada con escala de grises

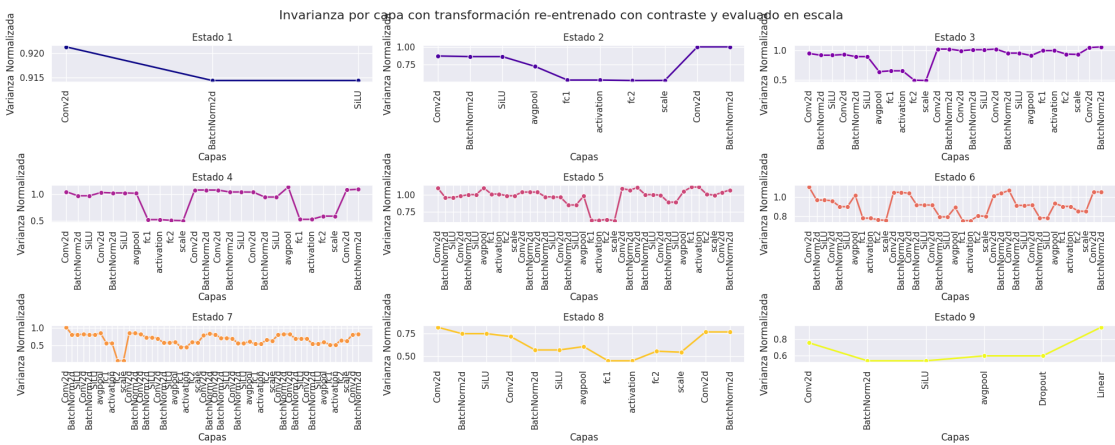


Figura 246: Arquitectura EfficientNetB0, entrenada con enfoque Transfer Learning y transformación Contraste, invarianza evaluada con Escala

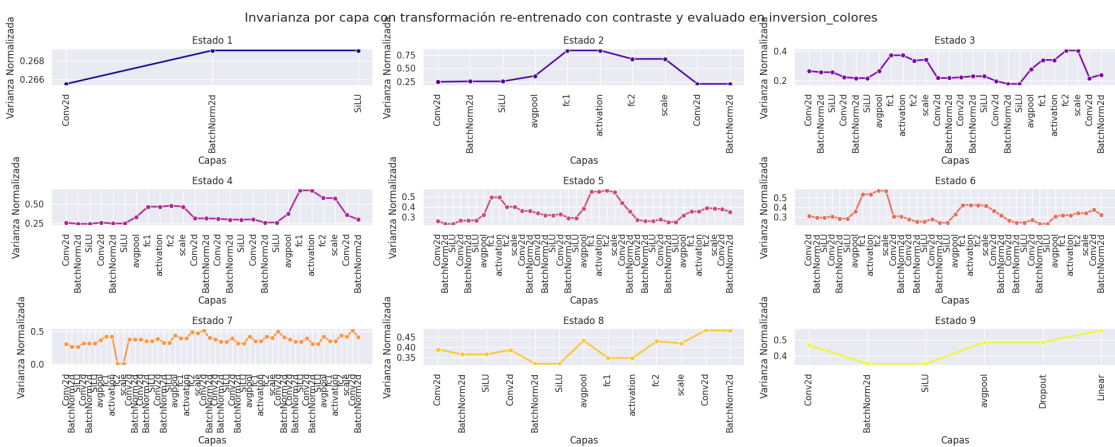


Figura 247: Arquitectura EfficientNetB0, entrenada con enfoque Transfer Learning y transformación Contraste, invarianza evaluada con inversion de colores

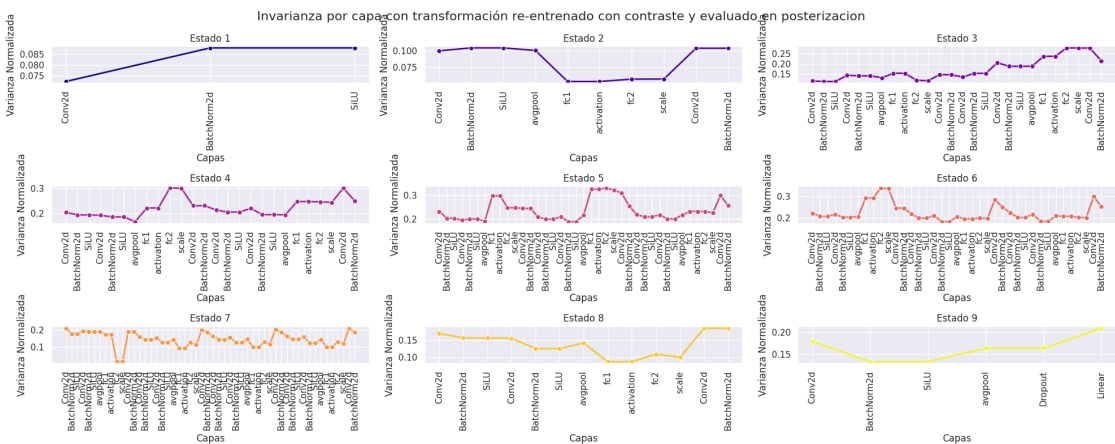


Figura 248: Arquitectura EfficientNetB0, entrenada con enfoque Transfer Learning y transformación Contraste, invarianza evaluada con Posterizacion

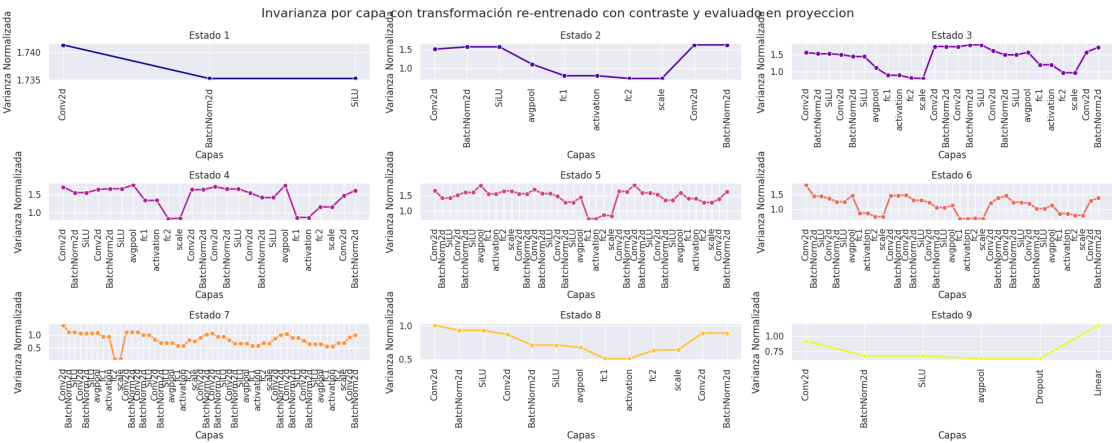


Figura 249: Arquitectura EfficientNetB0, entrenada con enfoque Transfer Learning y transformación Contraste, invarianza evaluada con Proyección

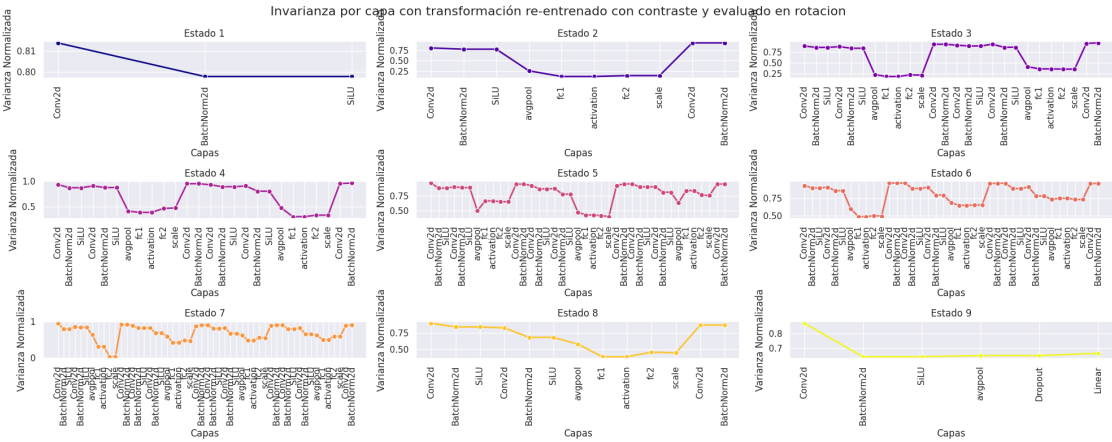


Figura 250: Arquitectura EfficientNetB0, entrenada con enfoque Transfer Learning y transformación Contraste, invarianza evaluada con Rotación

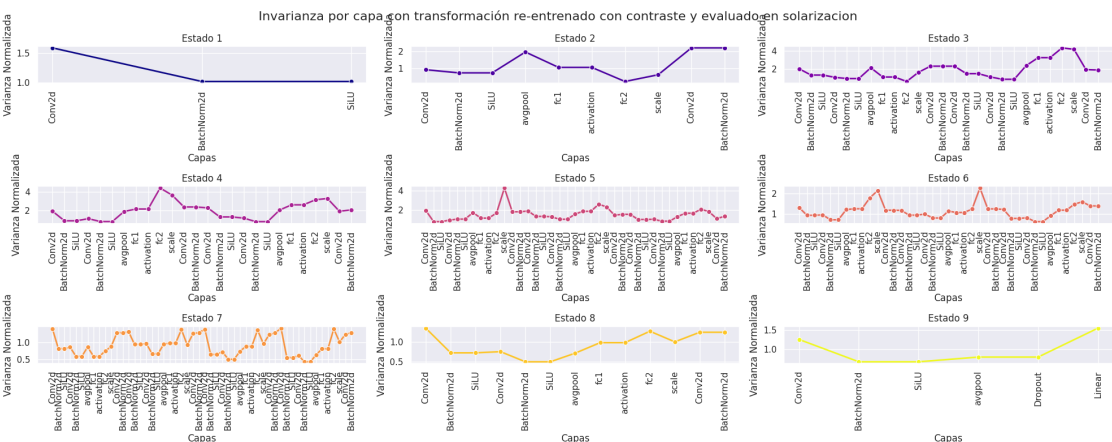


Figura 251: Arquitectura EfficientNetB0, entrenada con enfoque Transfer Learning y transformación Contraste, invarianza evaluada con Solarización

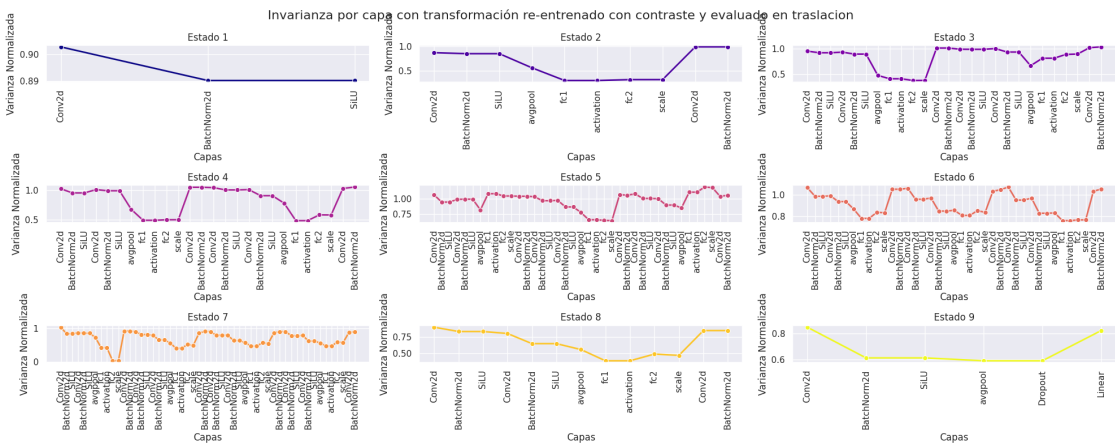


Figura 252: Arquitectura EfficientNetB0, entrenada con enfoque Transfer Learning y transformación Contraste, invarianza evaluada con Traslacion

Transformación de entrenamiento: Escala

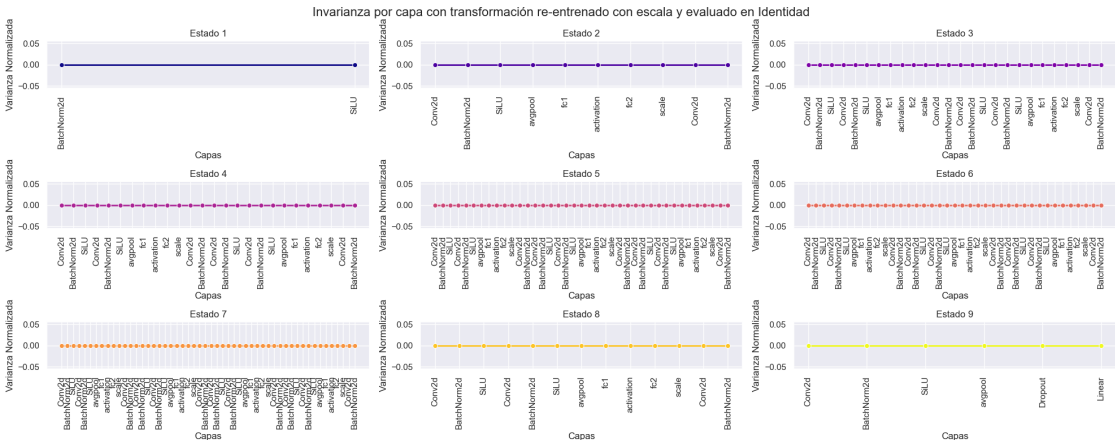


Figura 253: Arquitectura EfficientNetB0, entrenada con enfoque Transfer Learning y transformación Escala, invarianza evaluada con Identidad

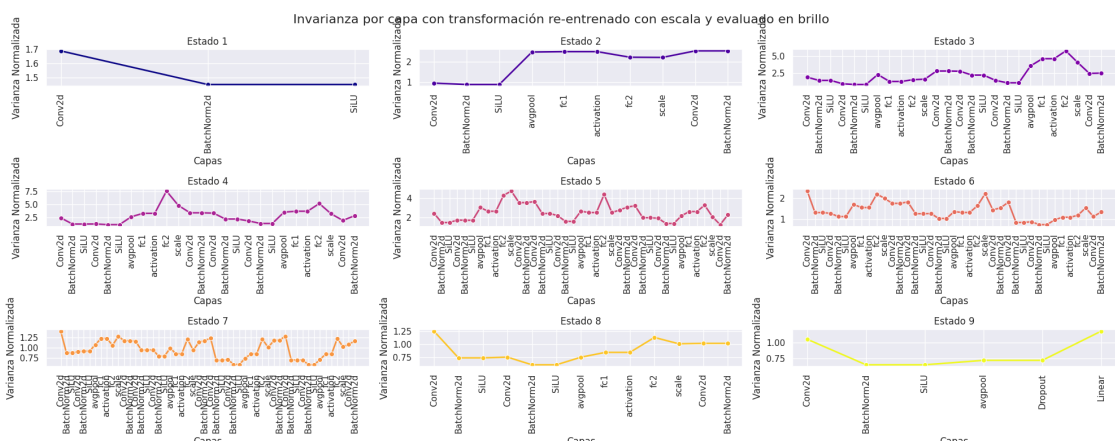


Figura 254: Arquitectura EfficientNetB0, entrenada con enfoque Transfer Learning y transformación Escala, invarianza evaluada con Brillo

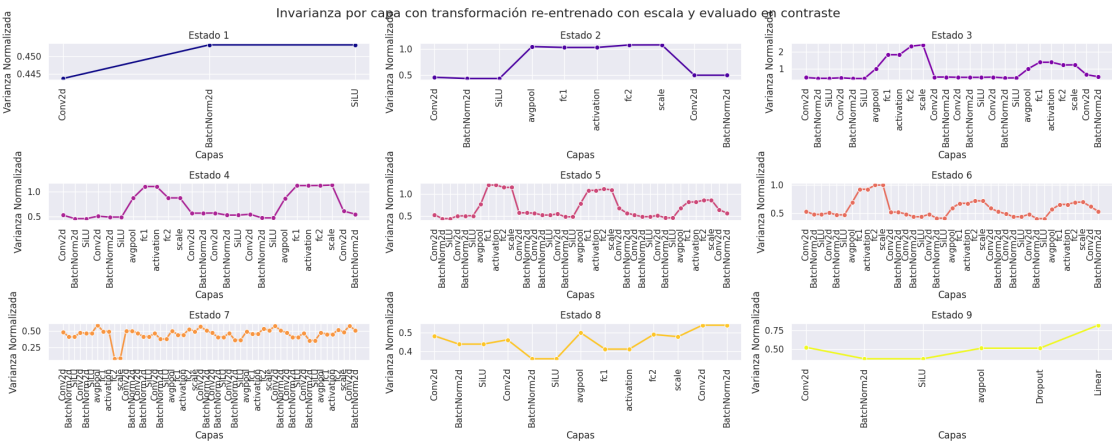


Figura 255: Arquitectura EfficientNetB0, entrenada con enfoque Transfer Learning y transformación Escala, invarianza evaluada con Contraste

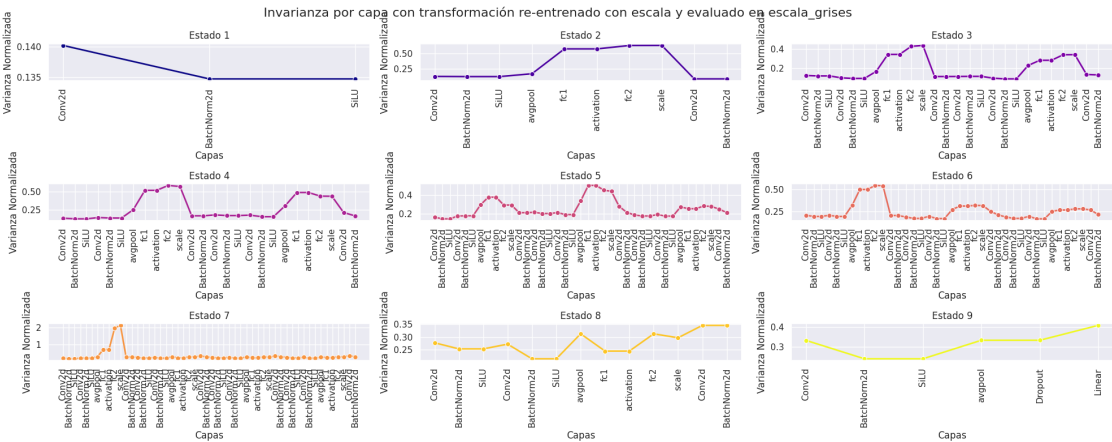


Figura 256: Arquitectura EfficientNetB0, entrenada con enfoque Transfer Learning y transformación Escala, invarianza evaluada con escala de grises

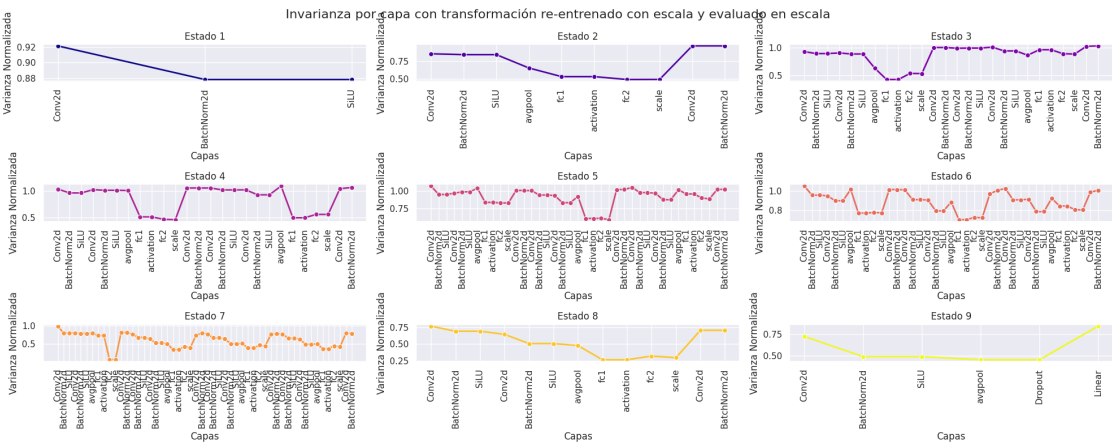


Figura 257: Arquitectura EfficientNetB0, entrenada con enfoque Transfer Learning y transformación Escala, invarianza evaluada con Escala

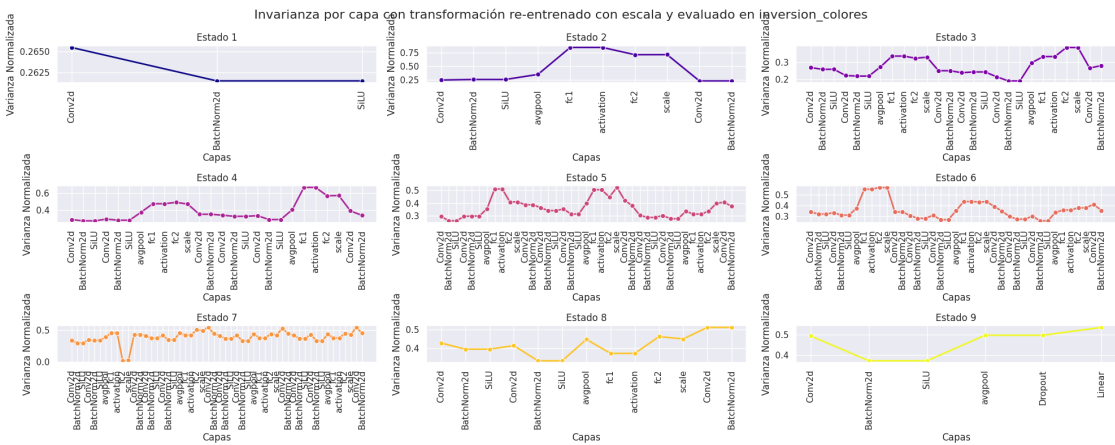


Figura 258: Arquitectura EfficientNetB0, entrenada con enfoque Transfer Learning y transformación Escala, invarianza evaluada con inversión de colores

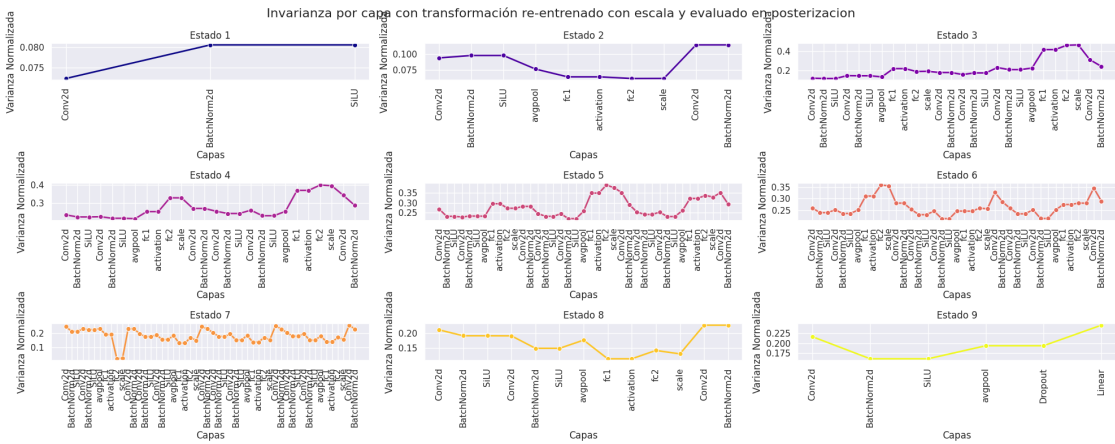


Figura 259: Arquitectura EfficientNetB0, entrenada con enfoque Transfer Learning y transformación Escala, invarianza evaluada con Posterizacion

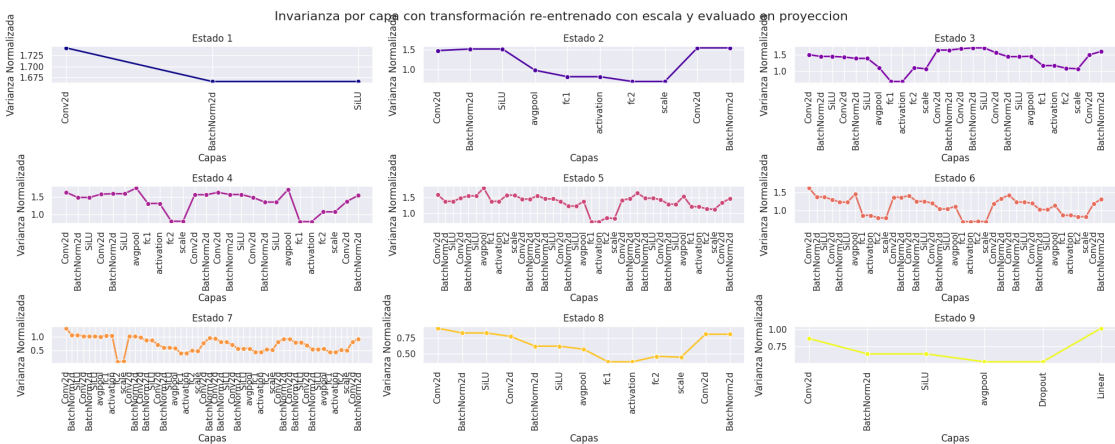


Figura 260: Arquitectura EfficientNetB0, entrenada con enfoque Transfer Learning y transformación Escala, invarianza evaluada con Proyección

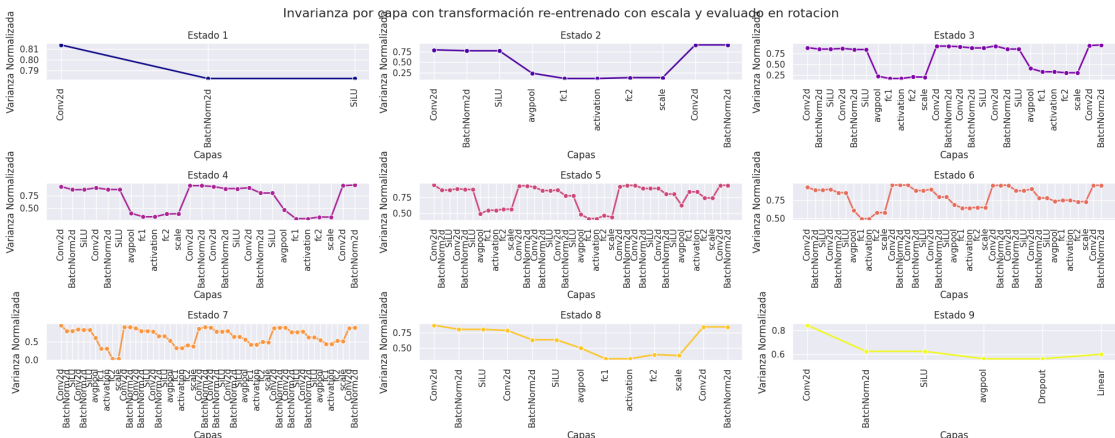


Figura 261: Arquitectura EfficientNetB0, entrenada con enfoque Transfer Learning y transformación Escala, invarianza evaluada con Rotacion

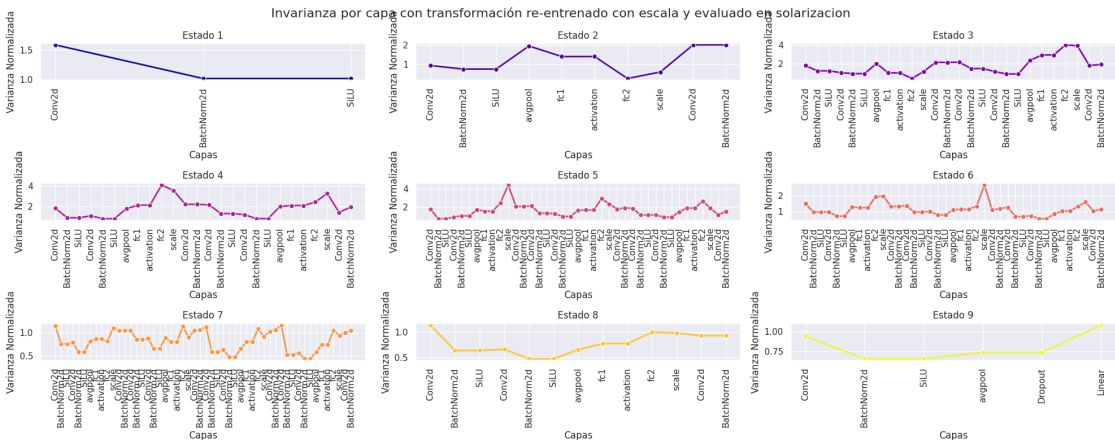


Figura 262: Arquitectura EfficientNetB0, entrenada con enfoque Transfer Learning y transformación Escala, invarianza evaluada con Solarizacion

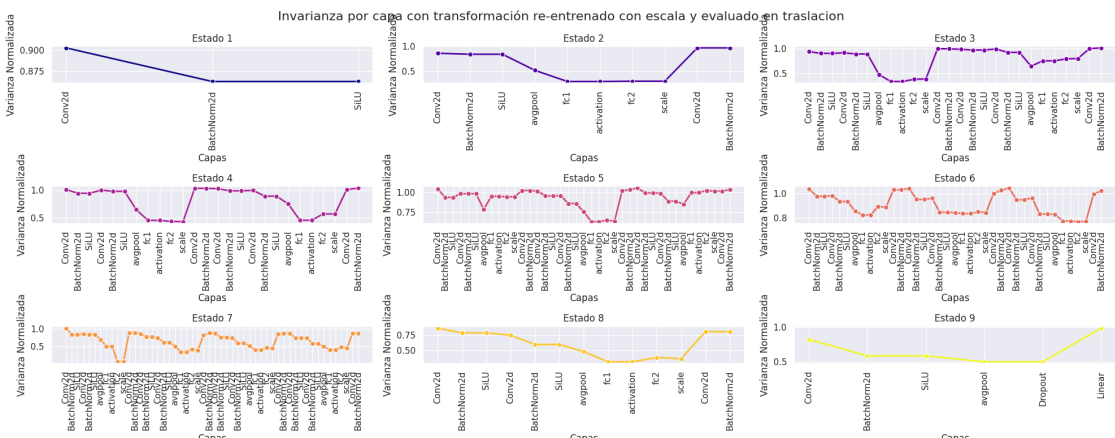


Figura 263: Arquitectura EfficientNetB0, entrenada con enfoque Transfer Learning y transformación Escala, invarianza evaluada con Traslacion

Transformación de entrenamiento: escala de grises

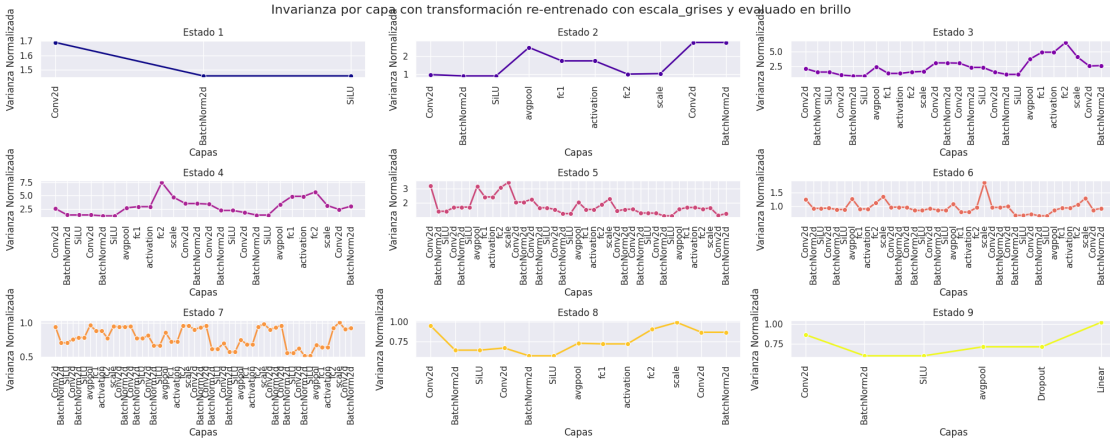


Figura 264: Arquitectura EfficientNetB0, entrenada con enfoque Transfer Learning y transformación escala de grises, invarianza evaluada con Brillo

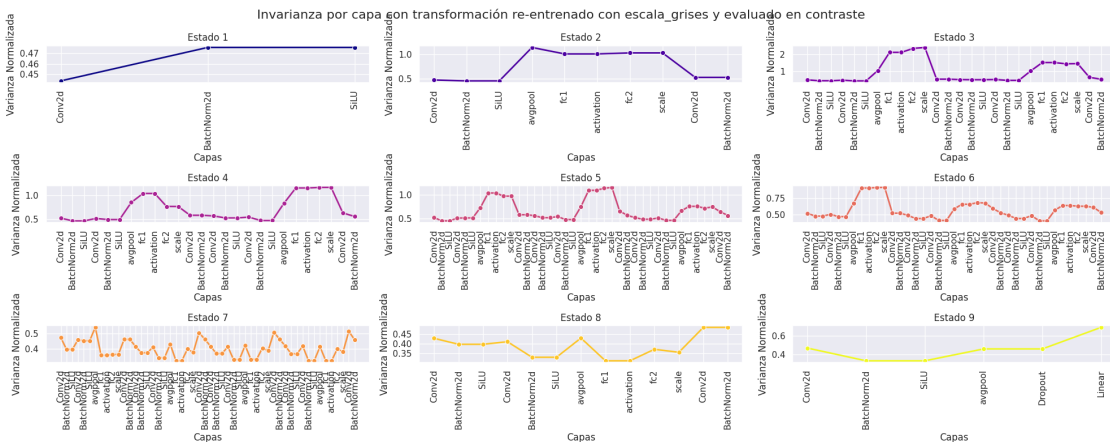


Figura 265: Arquitectura EfficientNetB0, entrenada con enfoque Transfer Learning y transformación escala de grises, invarianza evaluada con Contraste

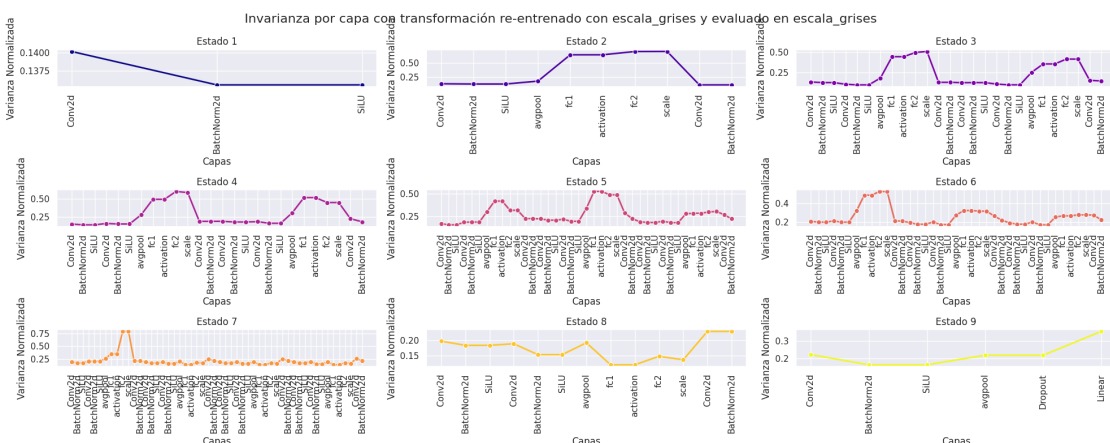


Figura 266: Arquitectura EfficientNetB0, entrenada con enfoque Transfer Learning y transformación escala de grises, invarianza evaluada con escala de grises

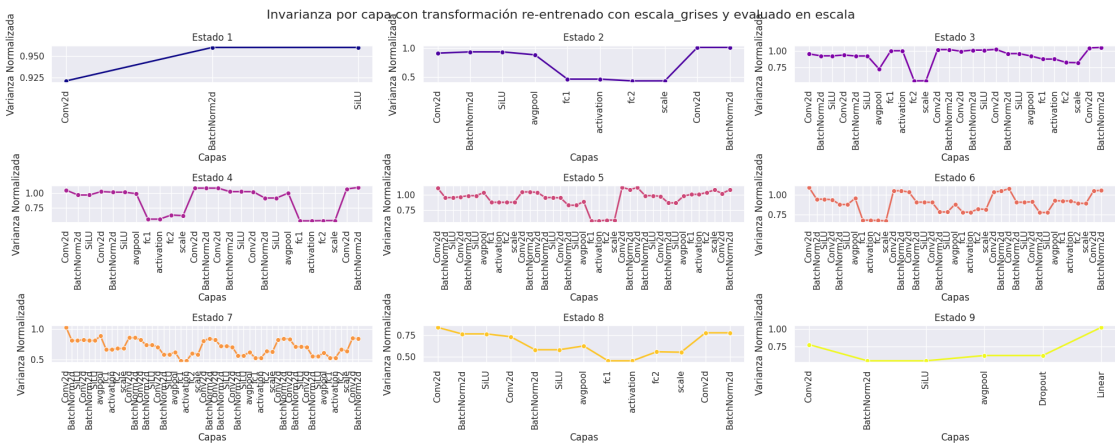


Figura 267: Arquitectura EfficientNetB0, entrenada con enfoque Transfer Learning y transformación escala de grises, invarianza evaluada con Escala

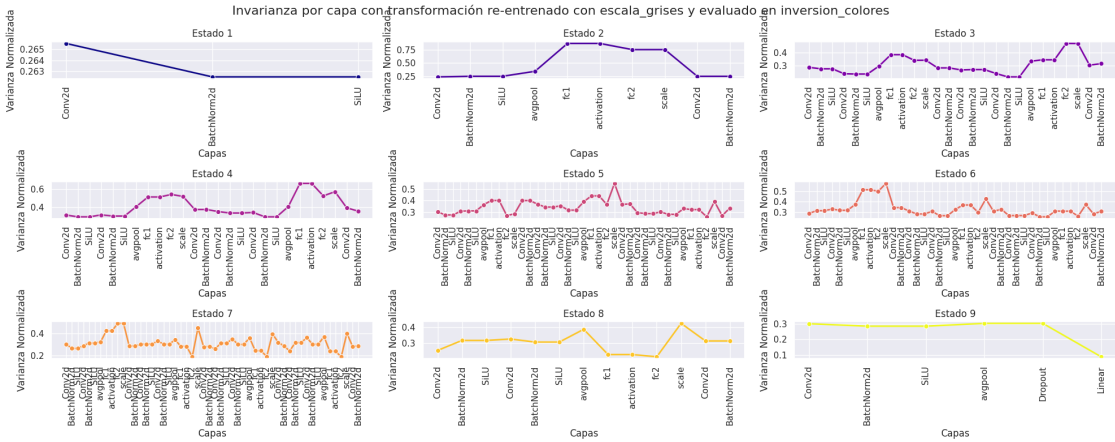


Figura 268: Arquitectura EfficientNetB0, entrenada con enfoque Transfer Learning y transformación escala de grises, invarianza evaluada con inversión de colores

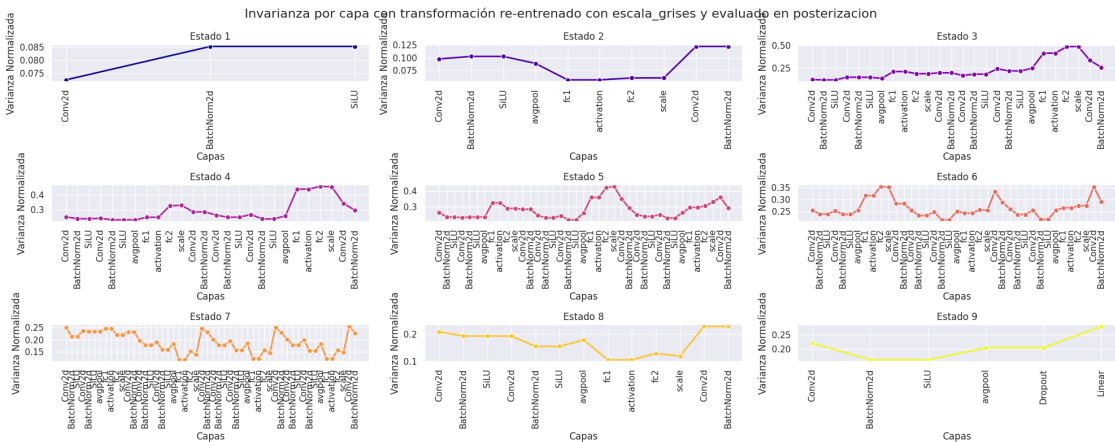


Figura 269: Arquitectura EfficientNetB0, entrenada con enfoque Transfer Learning y transformación escala de grises, invarianza evaluada con Posterización

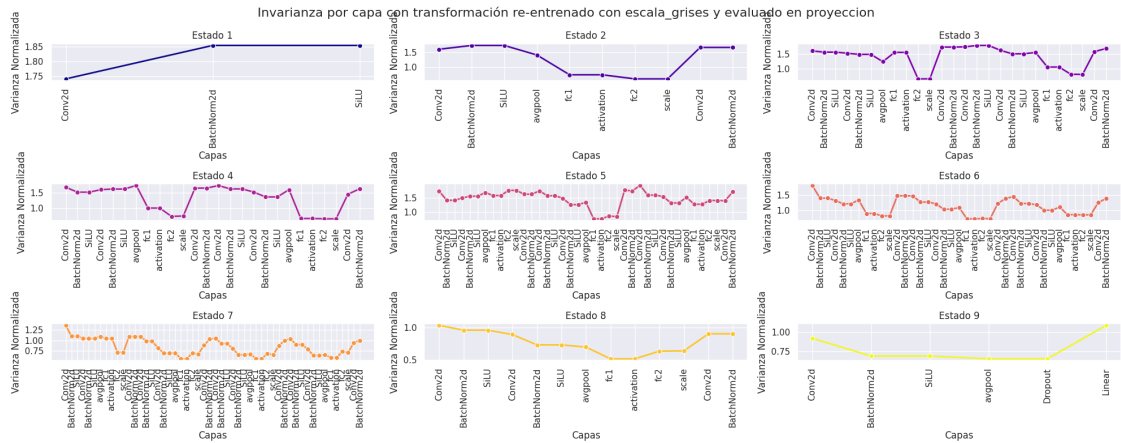


Figura 270: Arquitectura EfficientNetB0, entrenada con enfoque Transfer Learning y transformación escala de grises, invarianza evaluada con Proyección

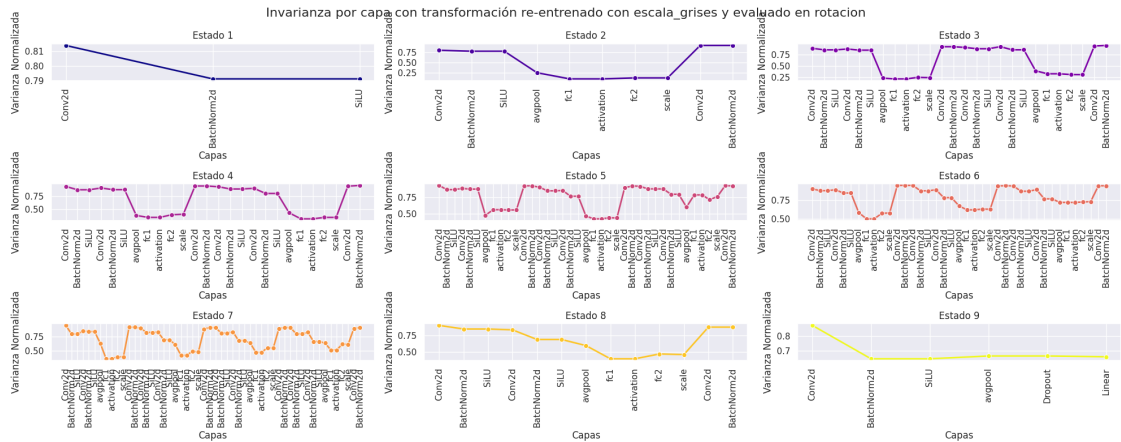


Figura 271: Arquitectura EfficientNetB0, entrenada con enfoque Transfer Learning y transformación escala de grises, invarianza evaluada con Rotación

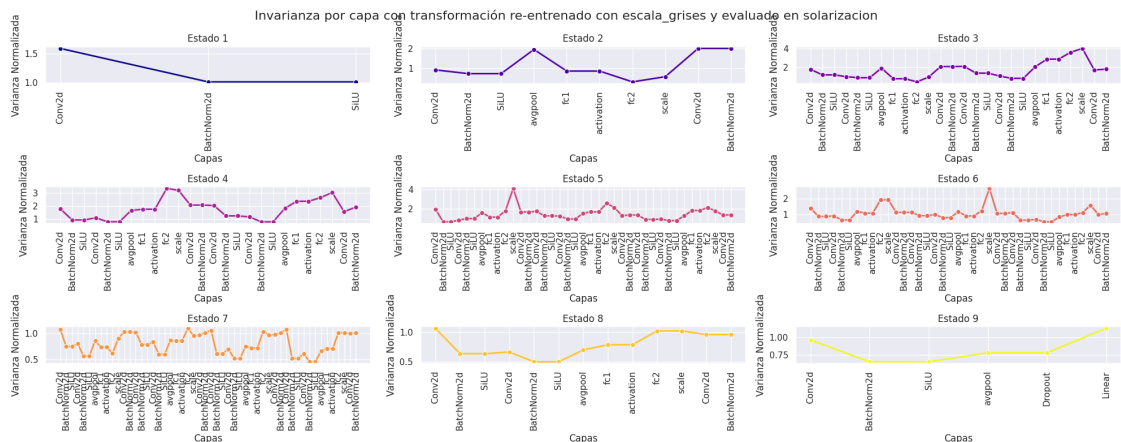


Figura 272: Arquitectura EfficientNetB0, entrenada con enfoque Transfer Learning y transformación escala de grises, invarianza evaluada con Solarización

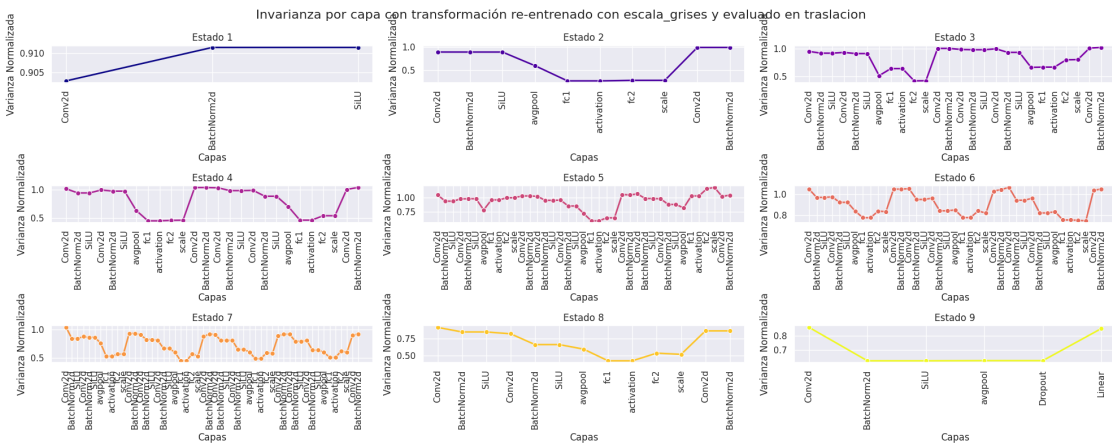


Figura 273: Arquitectura EfficientNetB0, entrenada con enfoque Transfer Learning y transformación escala de grises, invarianza evaluada con Traslacion

Transformación de entrenamiento: inversión de colores

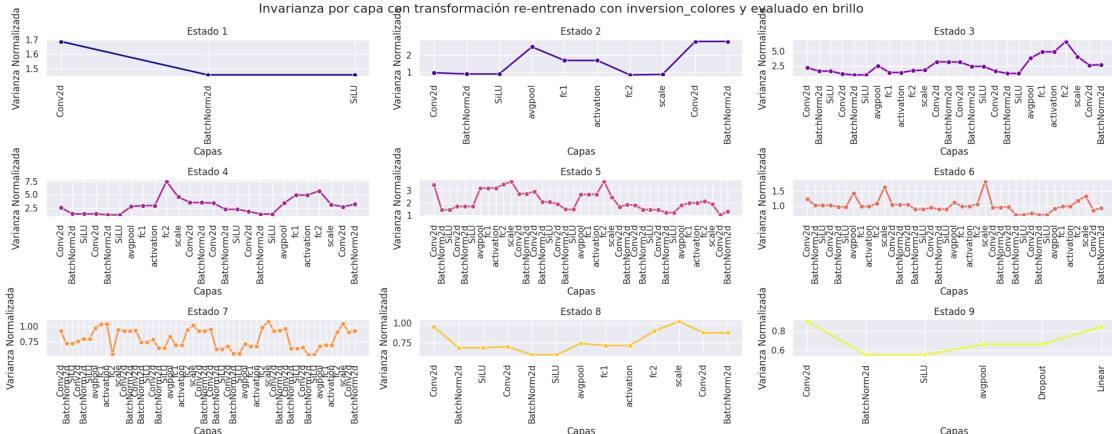


Figura 274: Arquitectura EfficientNetB0, entrenada con enfoque Transfer Learning y transformación inversion de colores, invarianza evaluada con Brillo

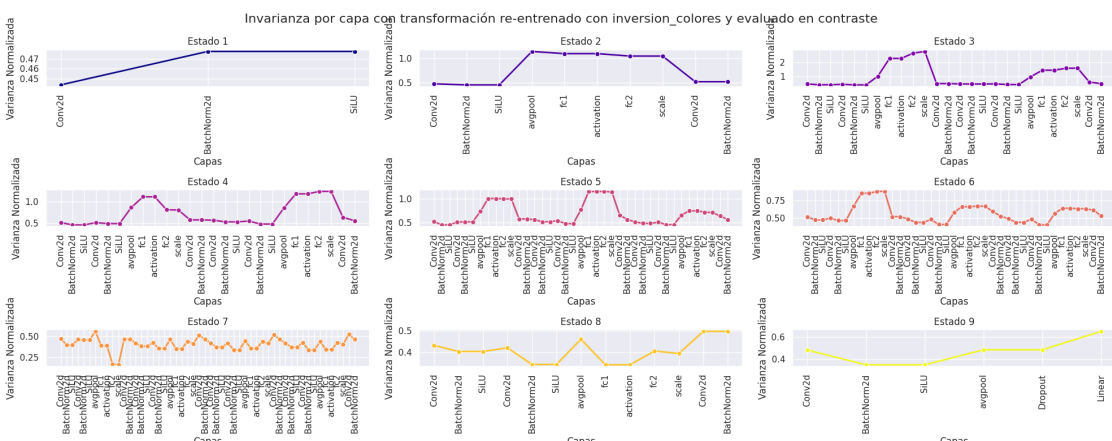


Figura 275: Arquitectura EfficientNetB0, entrenada con enfoque Transfer Learning y transformación inversion de colores, invarianza evaluada con Contraste

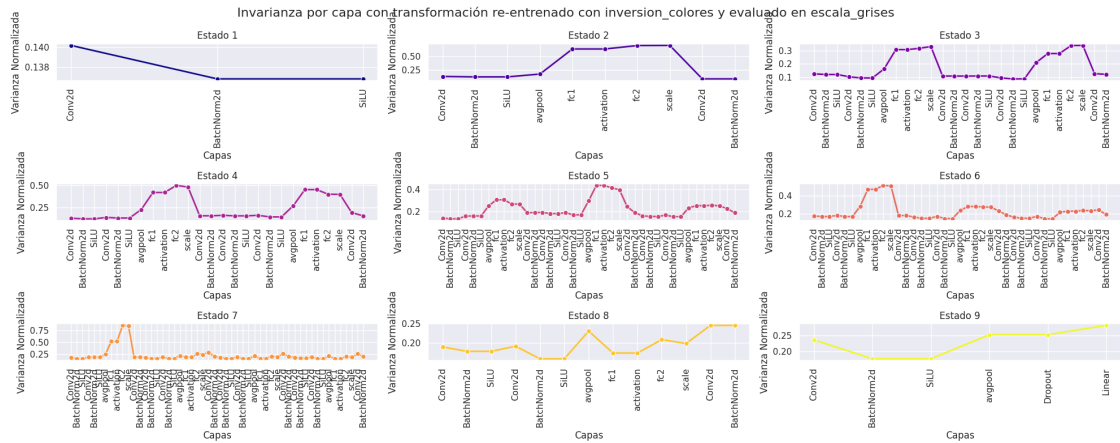


Figura 276: Arquitectura EfficientNetB0, entrenada con enfoque Transfer Learning y transformación inversion de colores, invarianza evaluada con escala de grises

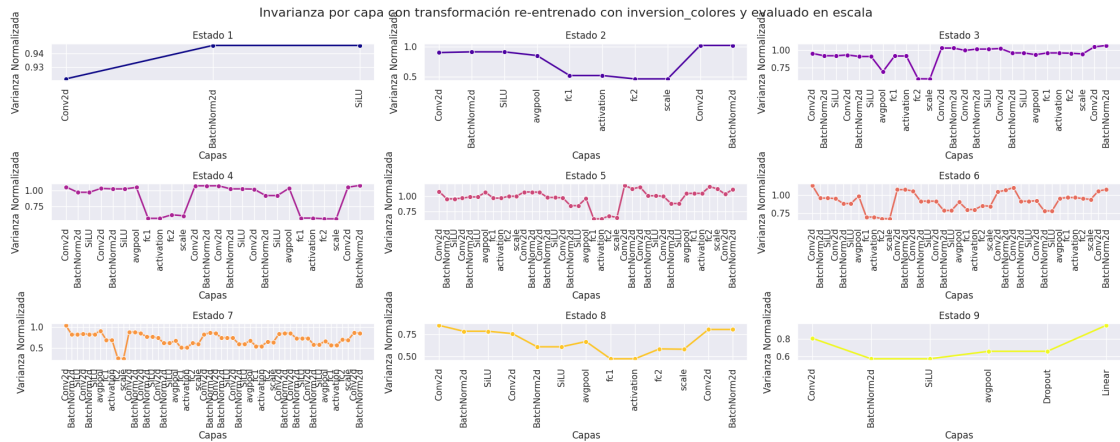


Figura 277: Arquitectura EfficientNetB0, entrenada con enfoque Transfer Learning y transformación inversion de colores, invarianza evaluada con Escala

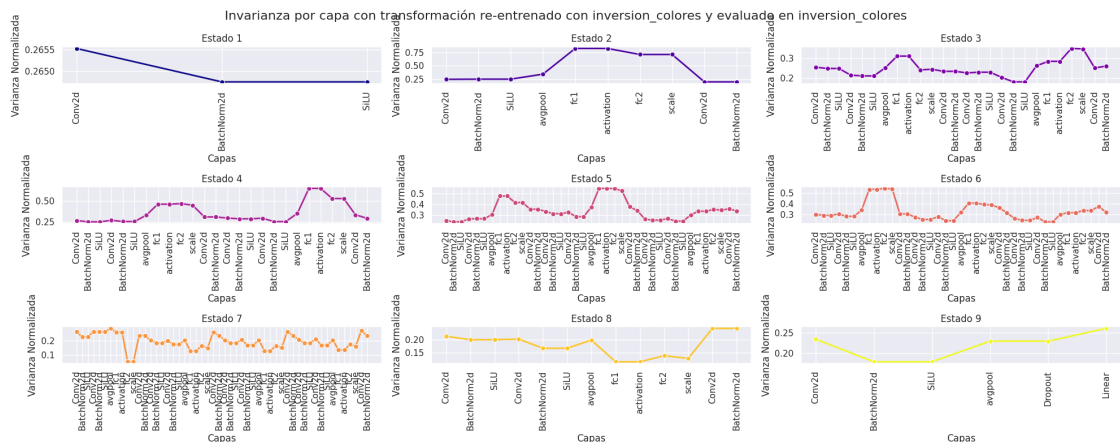


Figura 278: Arquitectura EfficientNetB0, entrenada con enfoque Transfer Learning y transformación inversion de colores, invarianza evaluada con inversion de colores

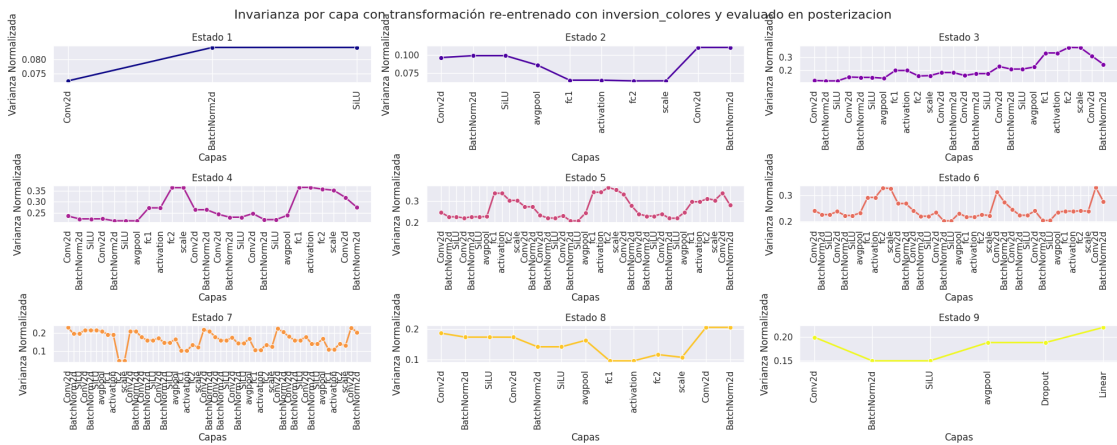


Figura 279: Arquitectura EfficientNetB0, entrenada con enfoque Transfer Learning y transformación inversion de colores, invarianza evaluada con Posterizacion

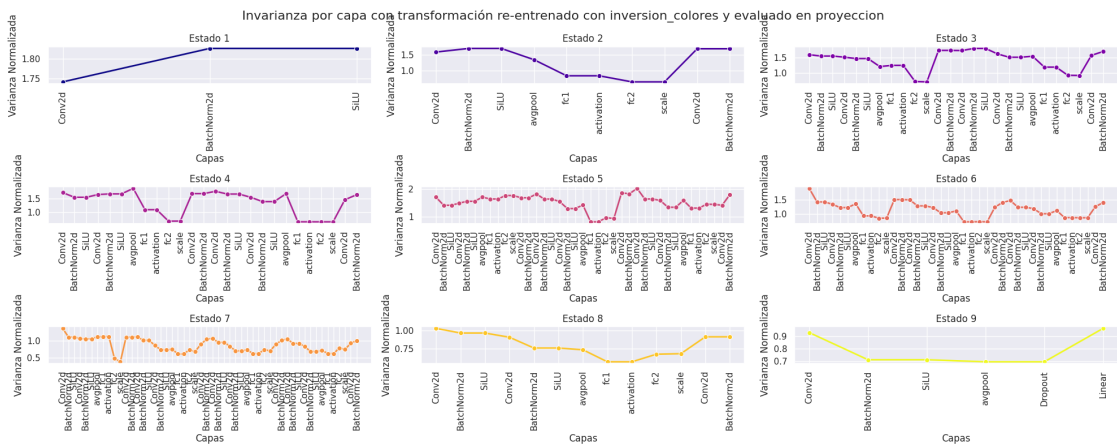


Figura 280: Arquitectura EfficientNetB0, entrenada con enfoque Transfer Learning y transformación inversion de colores, invarianza evaluada con Proyeccion

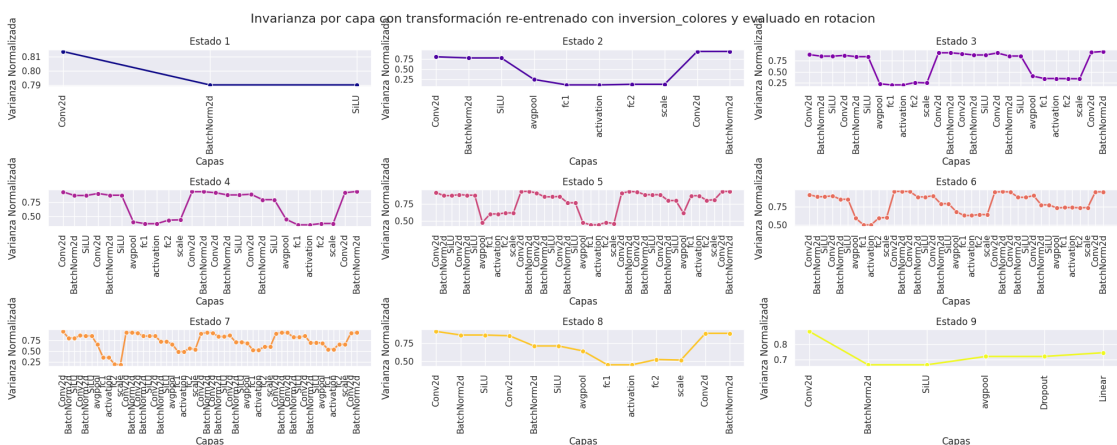


Figura 281: Arquitectura EfficientNetB0, entrenada con enfoque Transfer Learning y transformación inversion de colores, invarianza evaluada con Rotacion

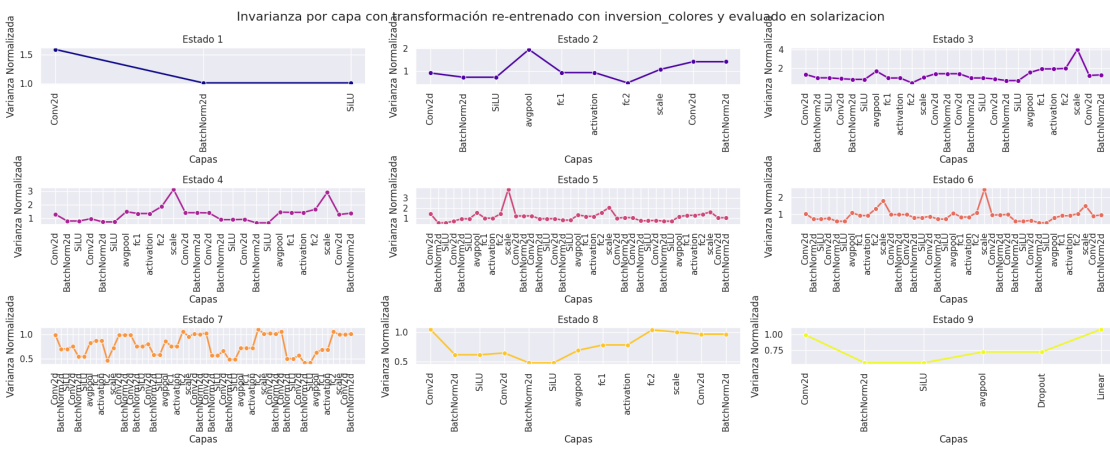


Figura 282: Arquitectura EfficientNetB0, entrenada con enfoque Transfer Learning y transformación inversion de colores, invarianza evaluada con Solarizacion

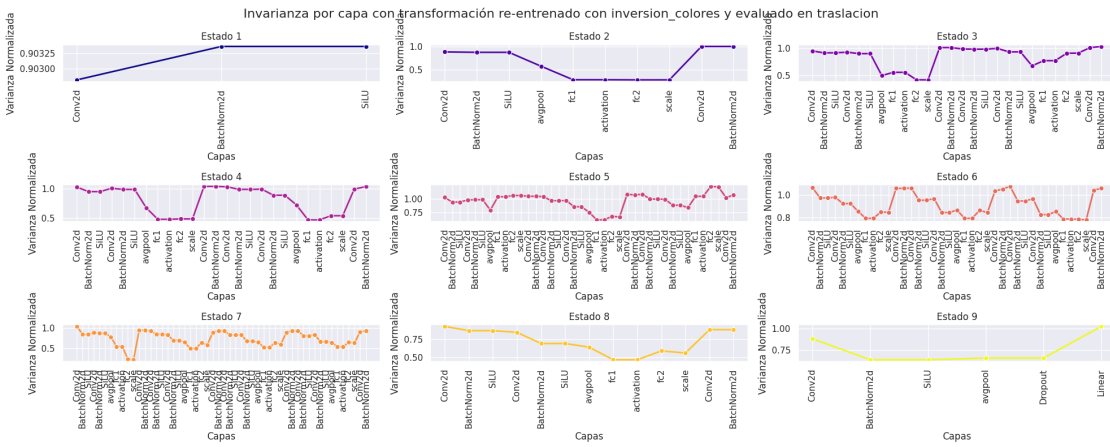


Figura 283: Arquitectura EfficientNetB0, entrenada con enfoque Transfer Learning y transformación inversion de colores, invarianza evaluada con Traslacion

Transformación de entrenamiento: Posterizacion

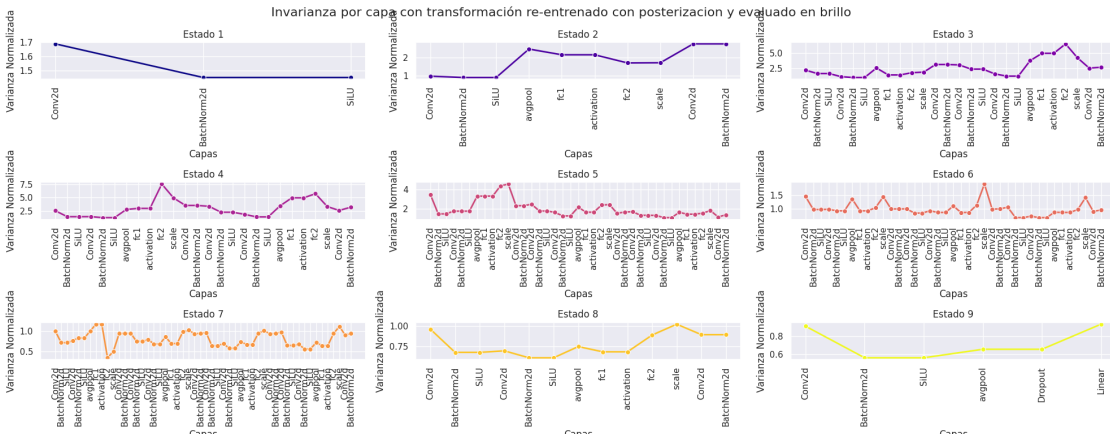


Figura 284: Arquitectura EfficientNetB0, entrenada con enfoque Transfer Learning y transformación Posterizacion, invarianza evaluada con Brillo

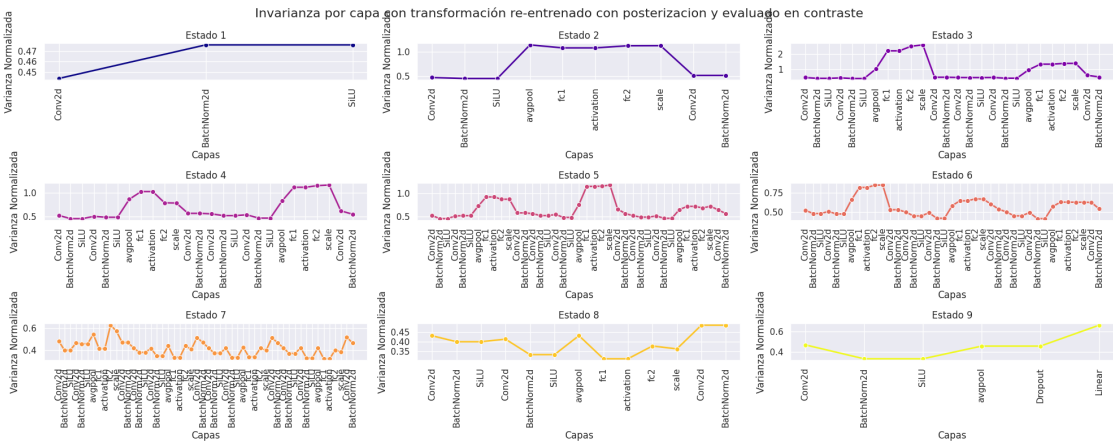


Figura 285: Arquitectura EfficientNetB0, entrenada con enfoque Transfer Learning y transformación Posterizacion, invarianza evaluada con Contraste

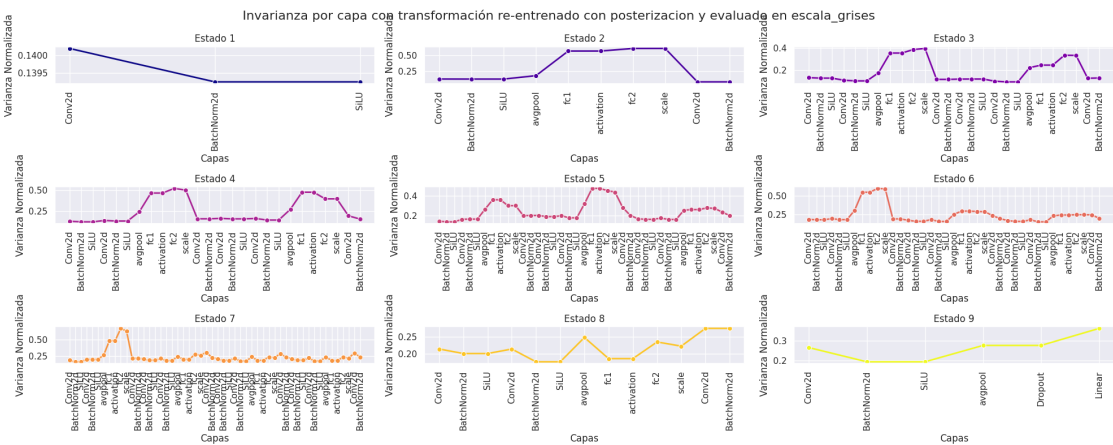


Figura 286: Arquitectura EfficientNetB0, entrenada con enfoque Transfer Learning y transformación Posterizacion, invarianza evaluada con escala de grises

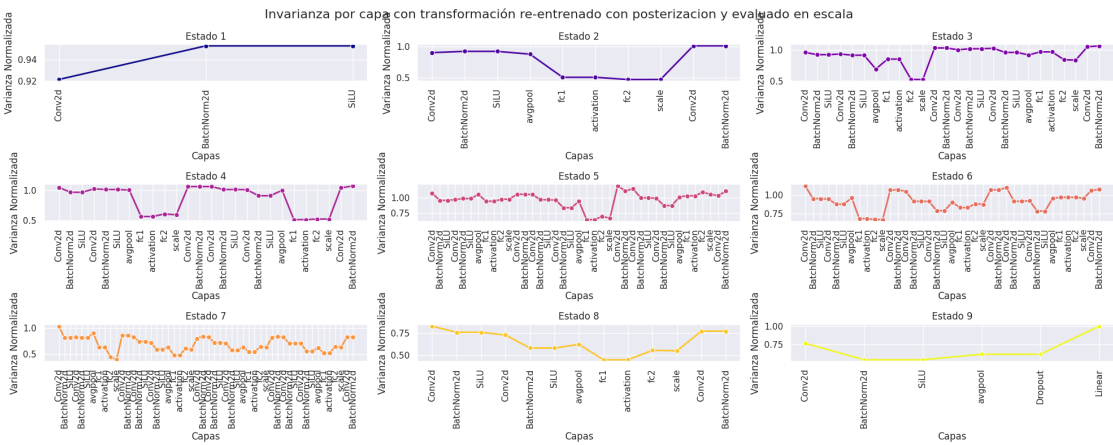


Figura 287: Arquitectura EfficientNetB0, entrenada con enfoque Transfer Learning y transformación Posterizacion, invarianza evaluada con Escala

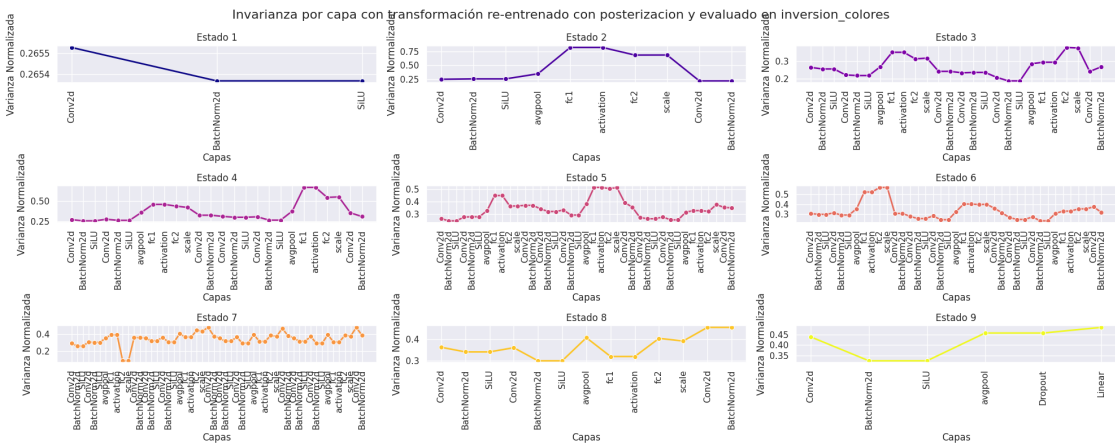


Figura 288: Arquitectura EfficientNetB0, entrenada con enfoque Transfer Learning y transformación Posterizacion, invarianza evaluada con inversion de colores

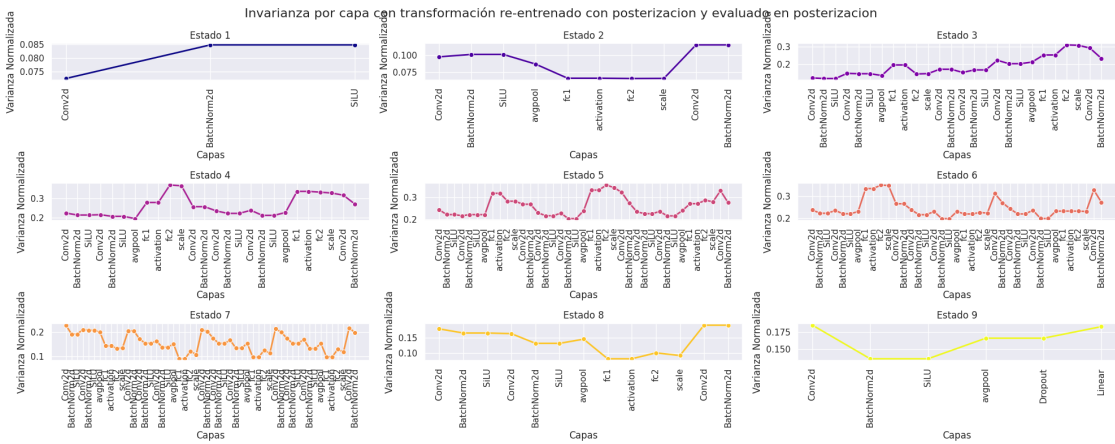


Figura 289: Arquitectura EfficientNetB0, entrenada con enfoque Transfer Learning y transformación Posterizacion, invarianza evaluada con Posterizacion

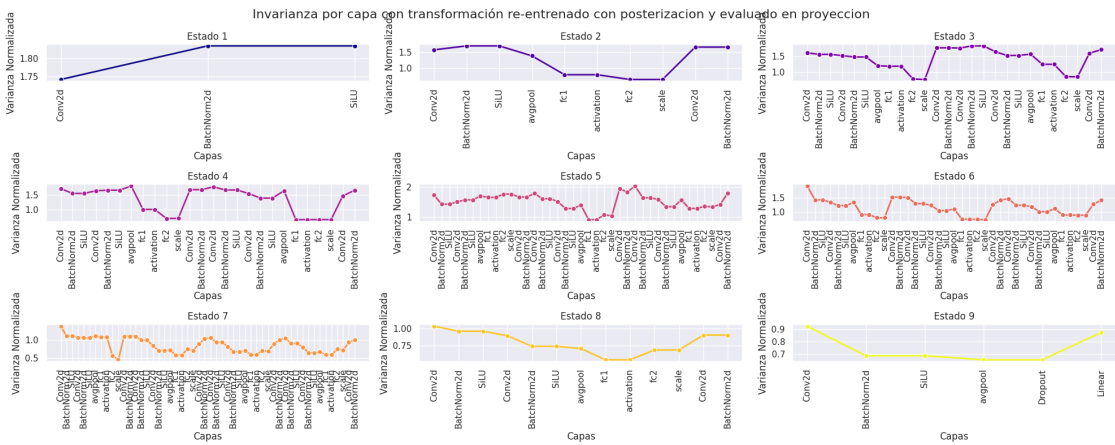


Figura 290: Arquitectura EfficientNetB0, entrenada con enfoque Transfer Learning y transformación Posterizacion, invarianza evaluada con Proyeccion

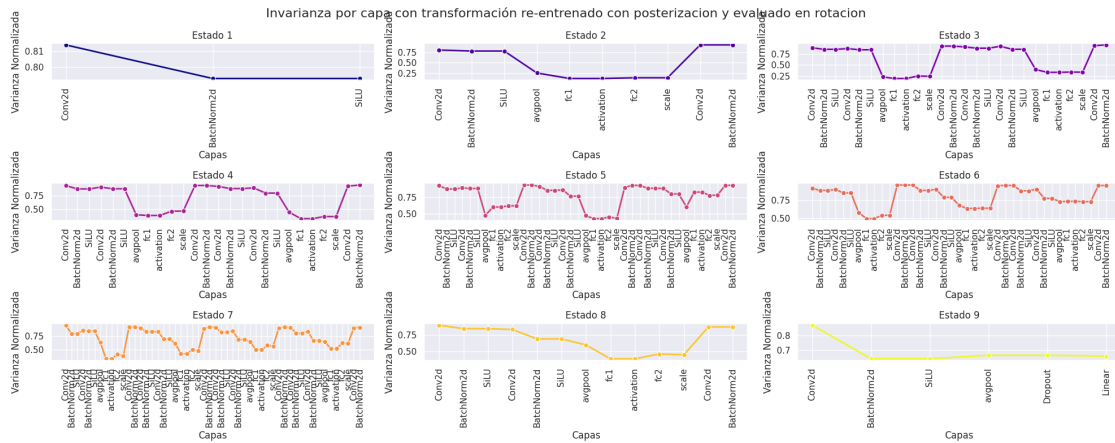


Figura 291: Arquitectura EfficientNetB0, entrenada con enfoque Transfer Learning y transformación Posterizacion, invarianza evaluada con Rotacion

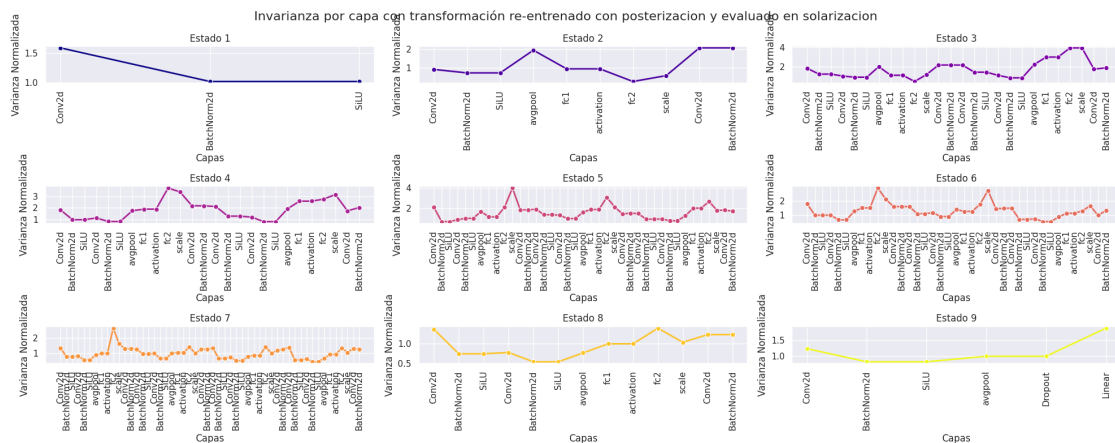


Figura 292: Arquitectura EfficientNetB0, entrenada con enfoque Transfer Learning y transformación Posterizacion, invarianza evaluada con Solarizacion

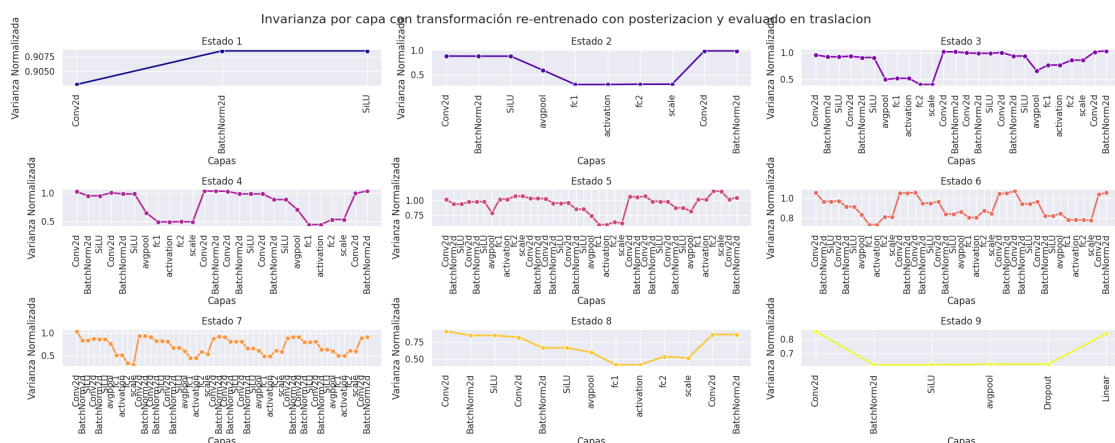


Figura 293: Arquitectura EfficientNetB0, entrenada con enfoque Transfer Learning y transformación Posterizacion, invarianza evaluada con Traslacion

Transformación de entrenamiento: Proyección

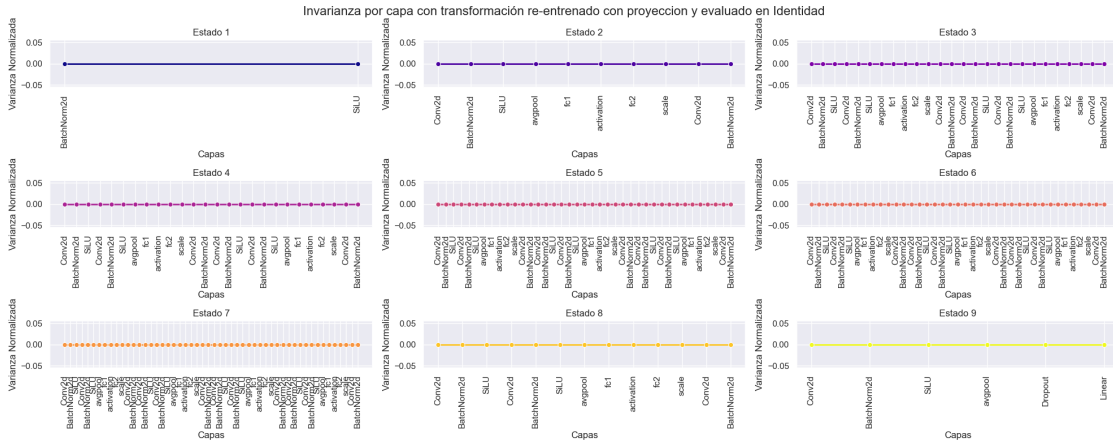


Figura 294: Arquitectura EfficientNetB0, entrenada con enfoque Transfer Learning y transformación Proyección, invarianza evaluada con Identidad

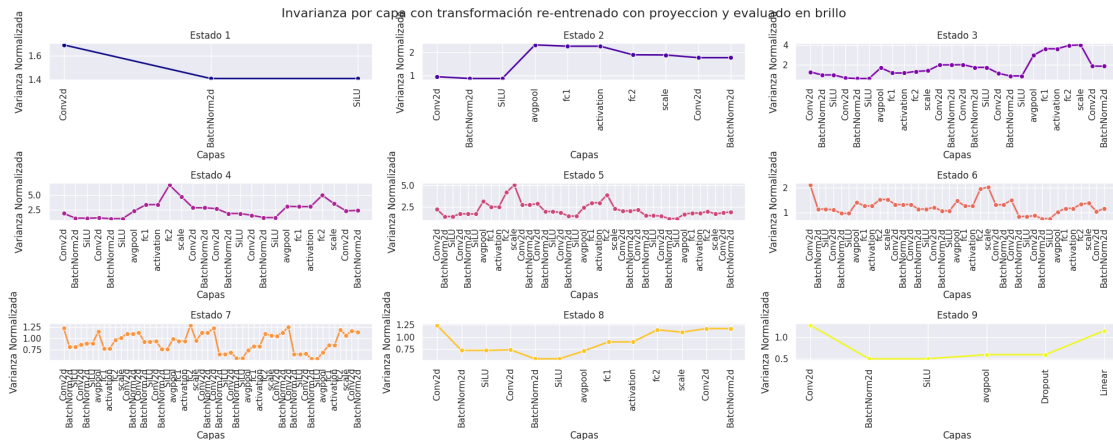


Figura 295: Arquitectura EfficientNetB0, entrenada con enfoque Transfer Learning y transformación Proyección, invarianza evaluada con Brillo

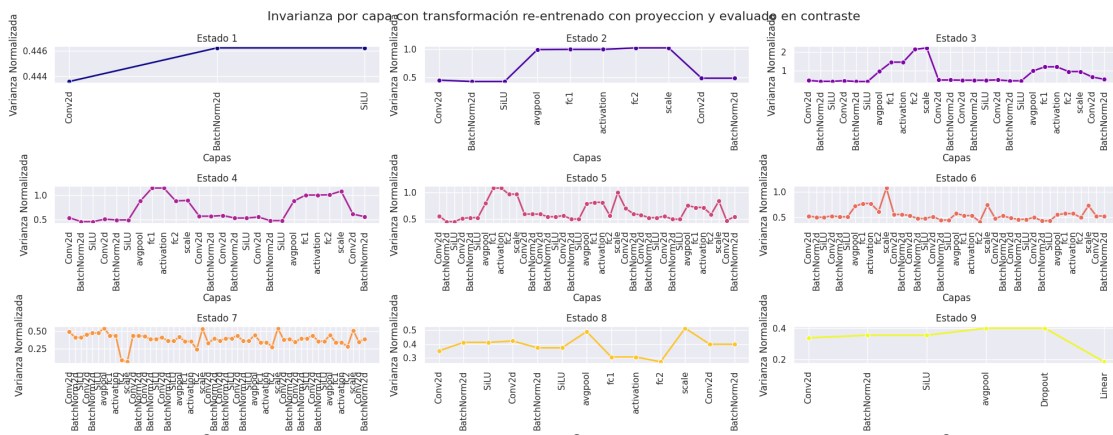


Figura 296: Arquitectura EfficientNetB0, entrenada con enfoque Transfer Learning y transformación Proyección, invarianza evaluada con Contraste

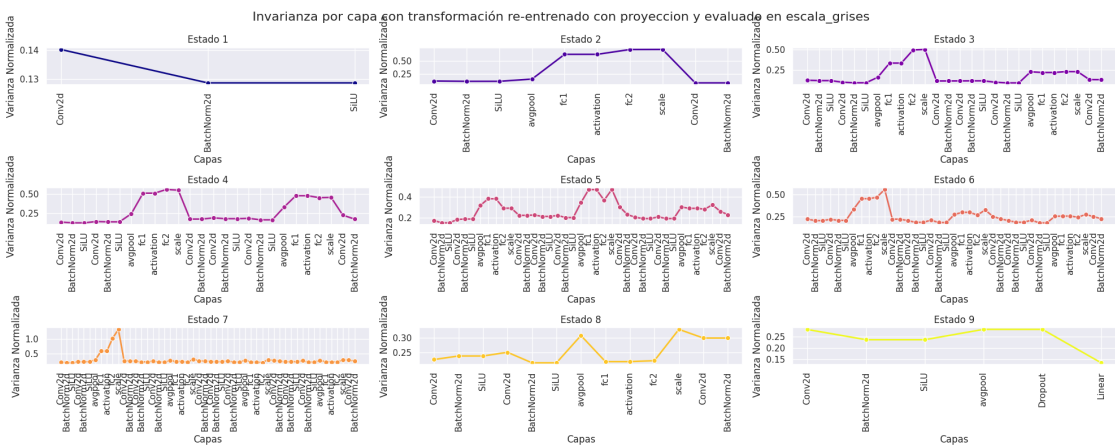


Figura 297: Arquitectura EfficientNetB0, entrenada con enfoque Transfer Learning y transformación Proyección, invarianza evaluada con escala de grises

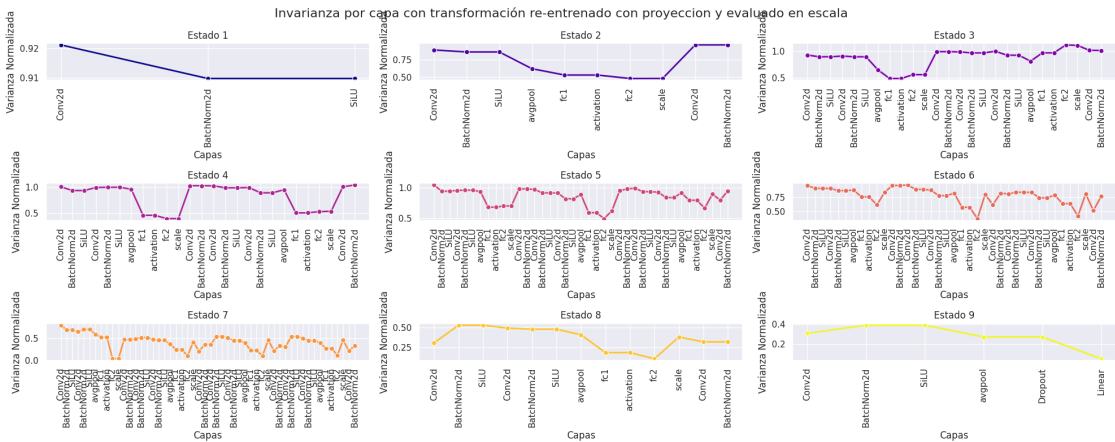


Figura 298: Arquitectura EfficientNetB0, entrenada con enfoque Transfer Learning y transformación Proyección, invarianza evaluada con Escala

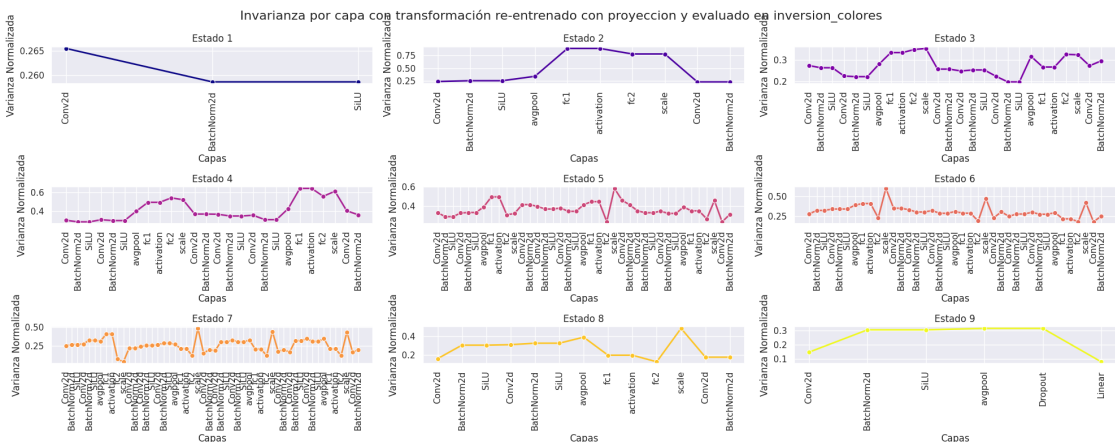


Figura 299: Arquitectura EfficientNetB0, entrenada con enfoque Transfer Learning y transformación Proyección, invarianza evaluada con inversión de colores

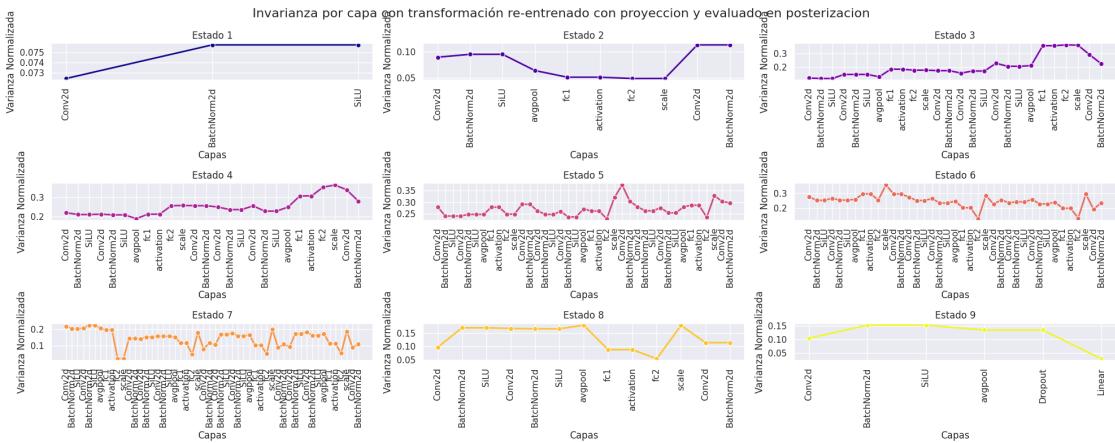


Figura 300: Arquitectura EfficientNetB0, entrenada con enfoque Transfer Learning y transformación Proyección, invariancia evaluada con Posterizacion

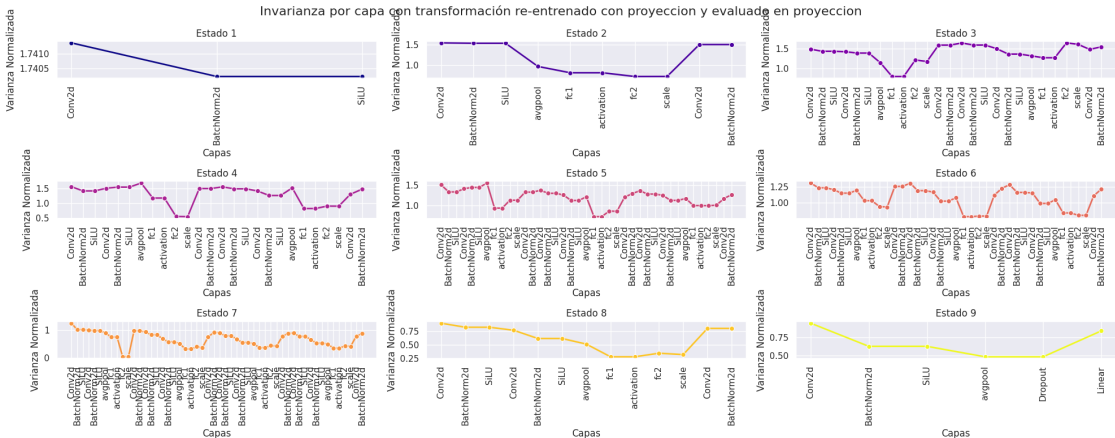


Figura 301: Arquitectura EfficientNetB0, entrenada con enfoque Transfer Learning y transformación Proyección, invariancia evaluada con Proyección

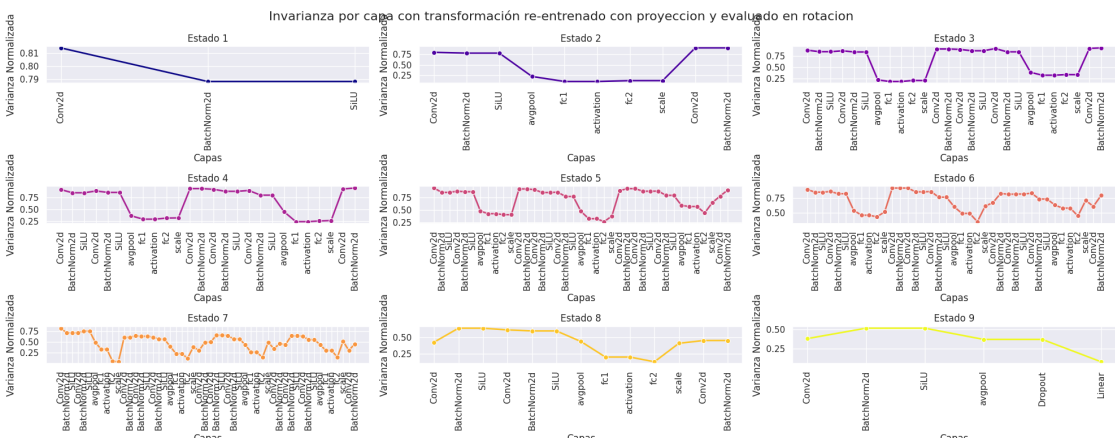


Figura 302: Arquitectura EfficientNetB0, entrenada con enfoque Transfer Learning y transformación Proyección, invariancia evaluada con Rotacion

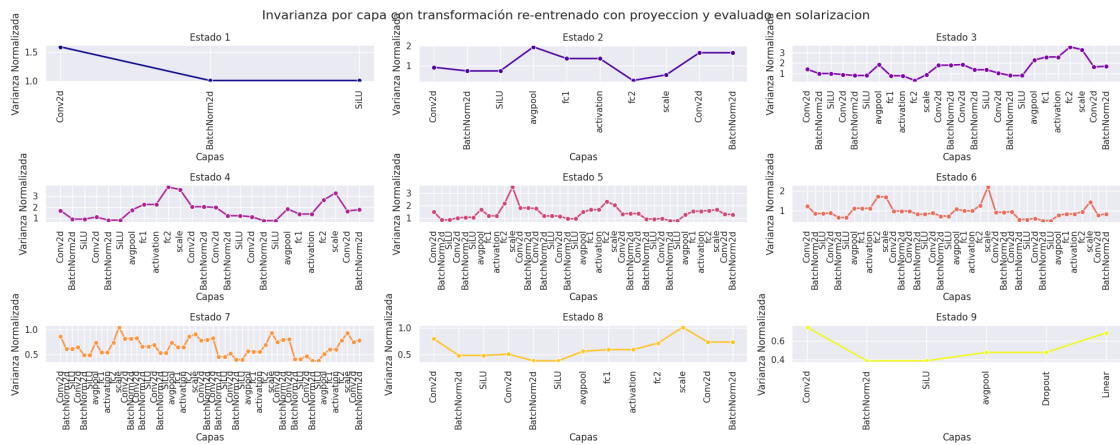


Figura 303: Arquitectura EfficientNetB0, entrenada con enfoque Transfer Learning y transformación Proyección, invarianza evaluada con Solarizacion

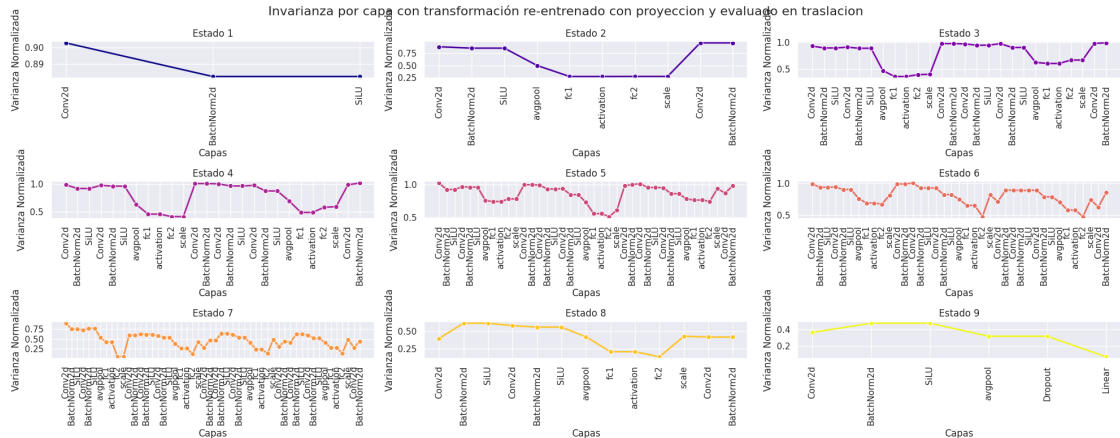


Figura 304: Arquitectura EfficientNetB0, entrenada con enfoque Transfer Learning y transformación Proyección, invarianza evaluada con Traslacion

Transformación de entrenamiento: Rotacion

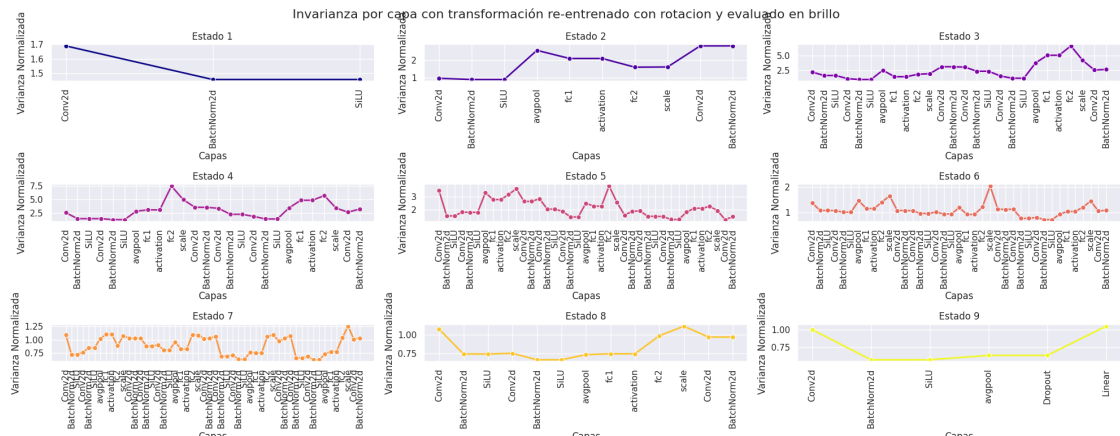


Figura 305: Arquitectura EfficientNetB0, entrenada con enfoque Transfer Learning y transformación Rotacion, invarianza evaluada con Brillo

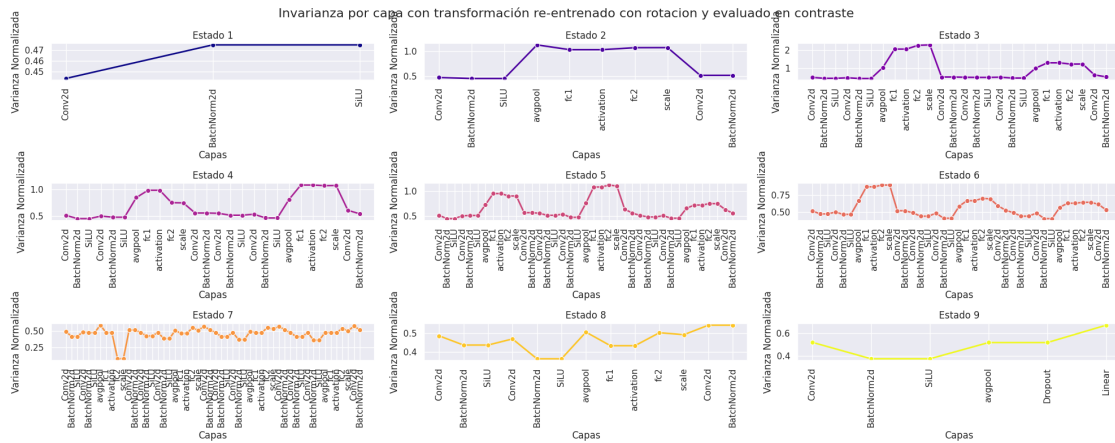


Figura 306: Arquitectura EfficientNetB0, entrenada con enfoque Transfer Learning y transformación Rotacion, invarianza evaluada con Contraste

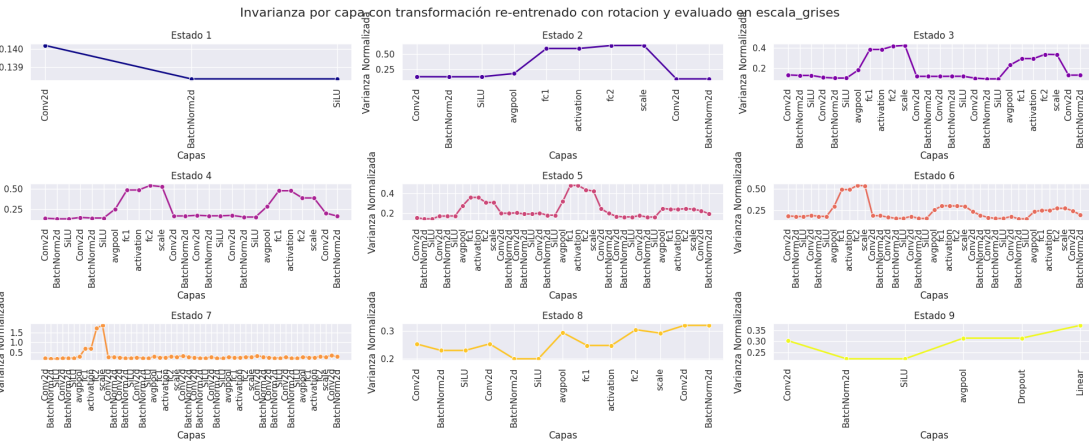


Figura 307: Arquitectura EfficientNetB0, entrenada con enfoque Transfer Learning y transformación Rotacion, invarianza evaluada con escala de grises

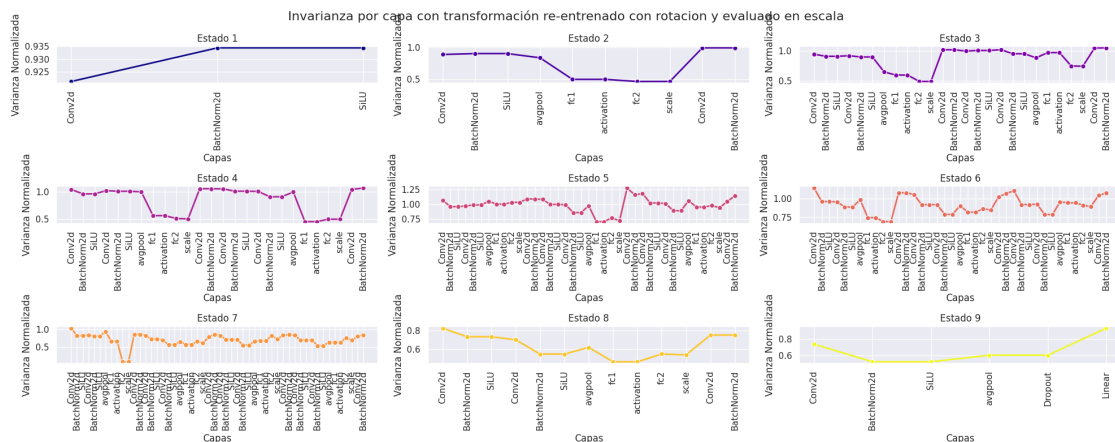


Figura 308: Arquitectura EfficientNetB0, entrenada con enfoque Transfer Learning y transformación Rotacion, invarianza evaluada con Escala

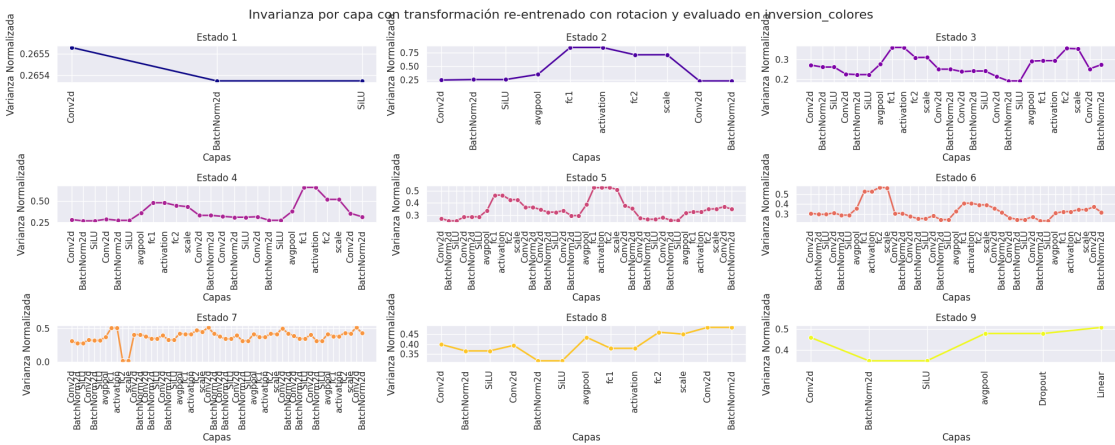


Figura 309: Arquitectura EfficientNetB0, entrenada con enfoque Transfer Learning y transformación Rotacion, invarianza evaluada con inversion de colores

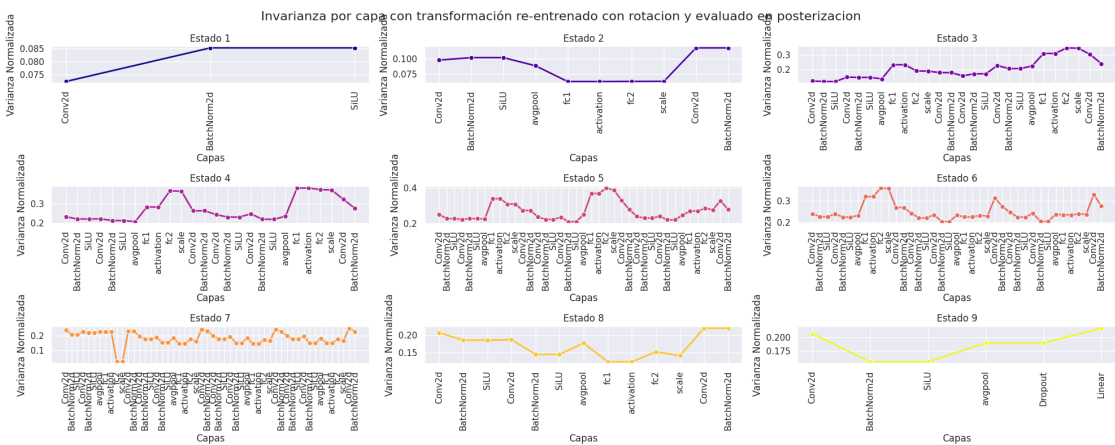


Figura 310: Arquitectura EfficientNetB0, entrenada con enfoque Transfer Learning y transformación Rotacion, invarianza evaluada con Posterizacion

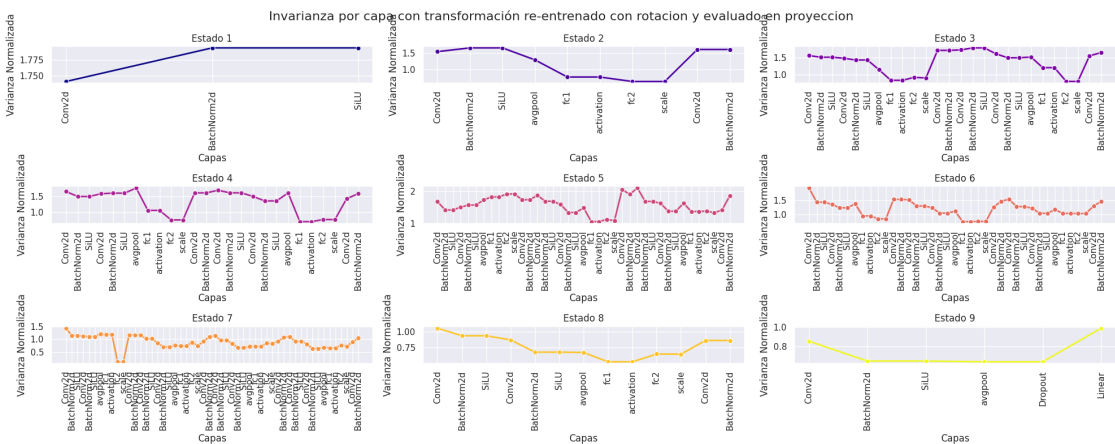


Figura 311: Arquitectura EfficientNetB0, entrenada con enfoque Transfer Learning y transformación Rotacion, invarianza evaluada con Proyeccion

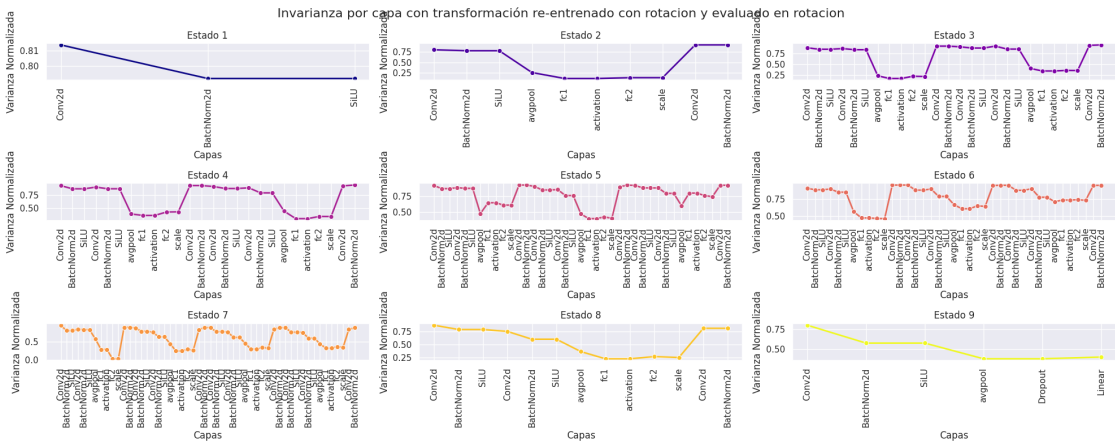


Figura 312: Arquitectura EfficientNetB0, entrenada con enfoque Transfer Learning y transformación Rotacion, invarianza evaluada con Rotacion

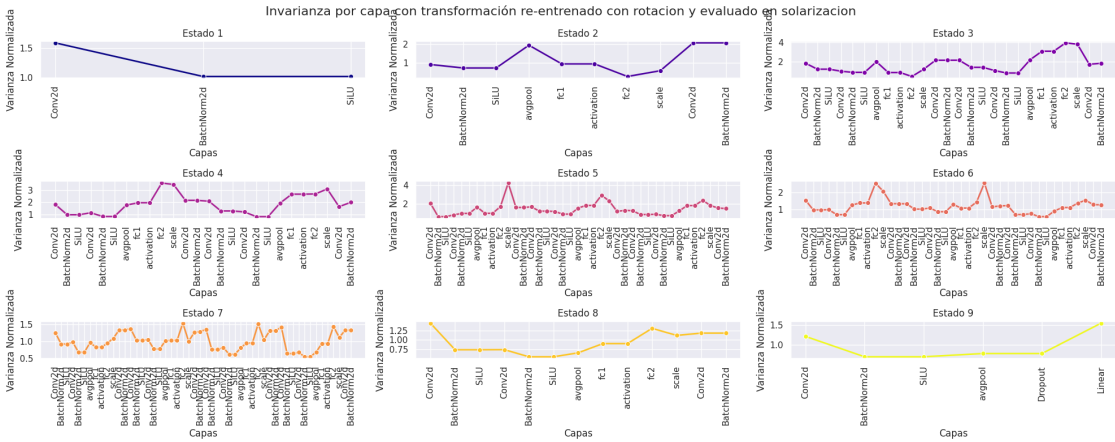


Figura 313: Arquitectura EfficientNetB0, entrenada con enfoque Transfer Learning y transformación Rotacion, invarianza evaluada con Solarizacion

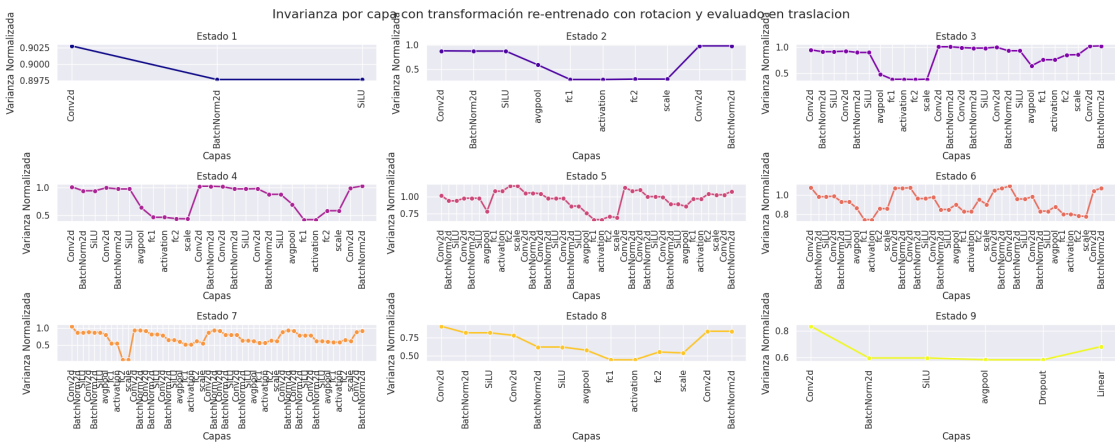


Figura 314: Arquitectura EfficientNetB0, entrenada con enfoque Transfer Learning y transformación Rotacion, invarianza evaluada con Traslacion

Transformación de entrenamiento: Solarización

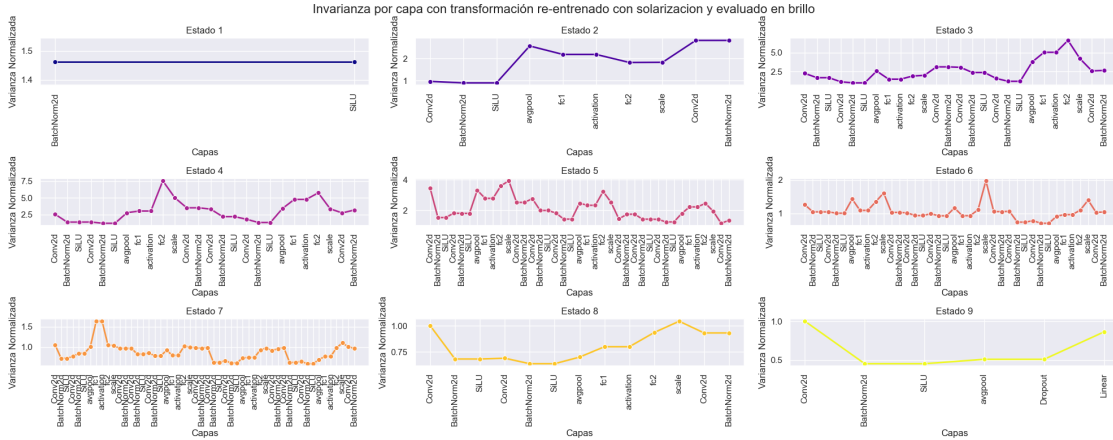


Figura 315: Arquitectura EfficientNetB0, entrenada con enfoque Transfer Learning y transformación Solarizacion, invarianza evaluada con Brillo

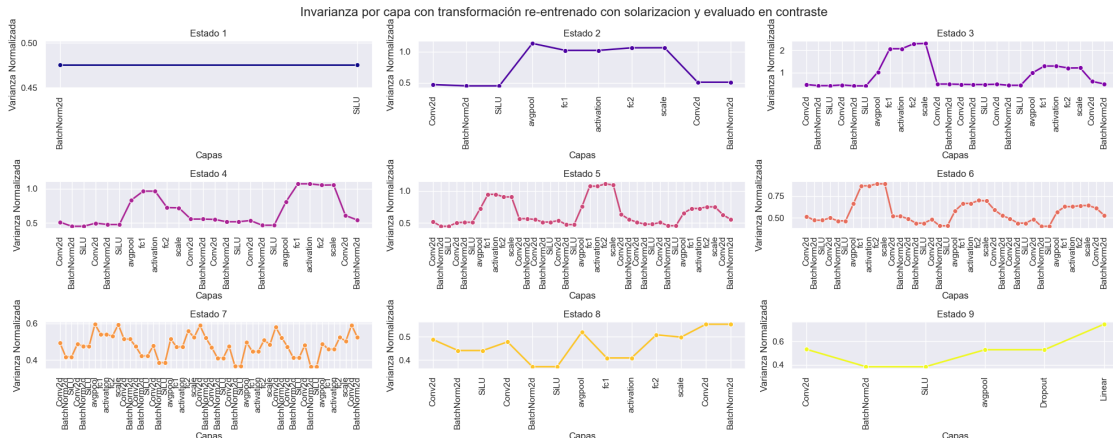


Figura 316: Arquitectura EfficientNetB0, entrenada con enfoque Transfer Learning y transformación Solarizacion, invarianza evaluada con Contraste

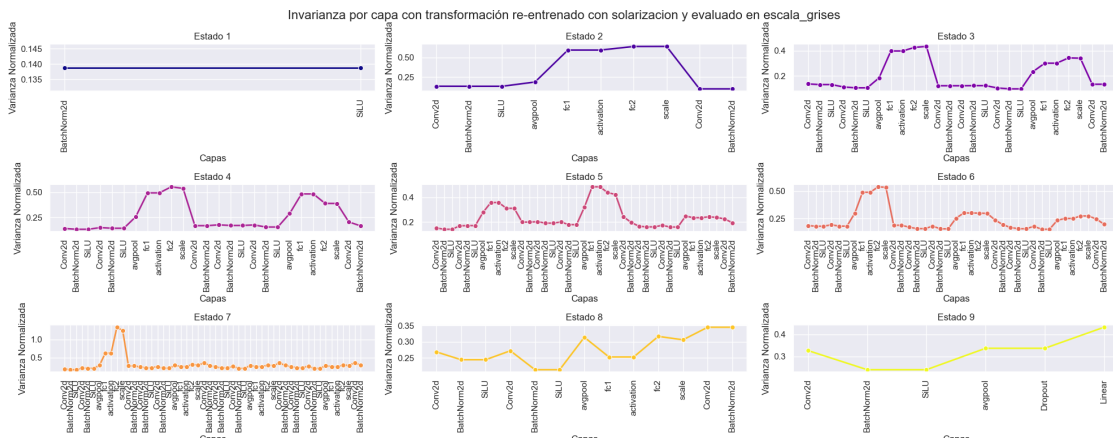


Figura 317: Arquitectura EfficientNetB0, entrenada con enfoque Transfer Learning y transformación Solarizacion, invarianza evaluada con escala de grises

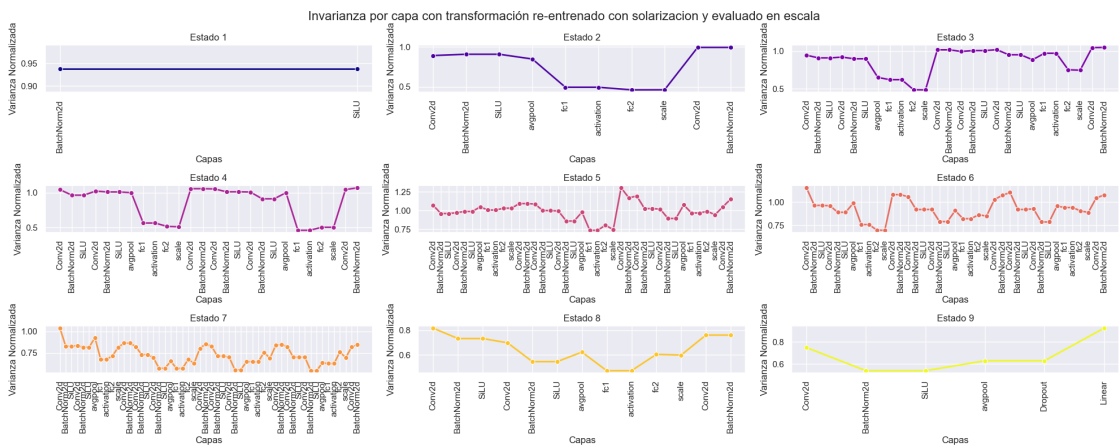


Figura 318: Arquitectura EfficientNetB0, entrenada con enfoque Transfer Learning y transformación Solarizacion, invarianza evaluada con Escala

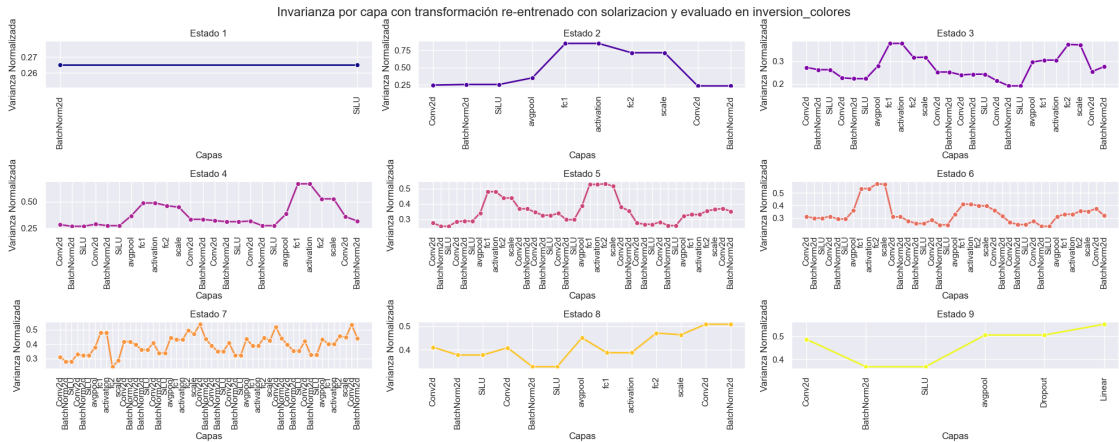


Figura 319: Arquitectura EfficientNetB0, entrenada con enfoque Transfer Learning y transformación Solarizacion, invarianza evaluada con inversion de colores

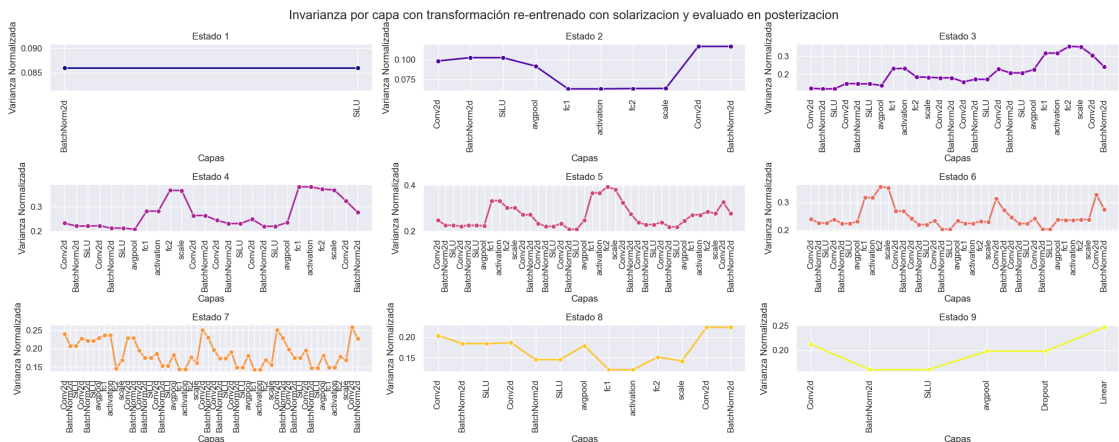
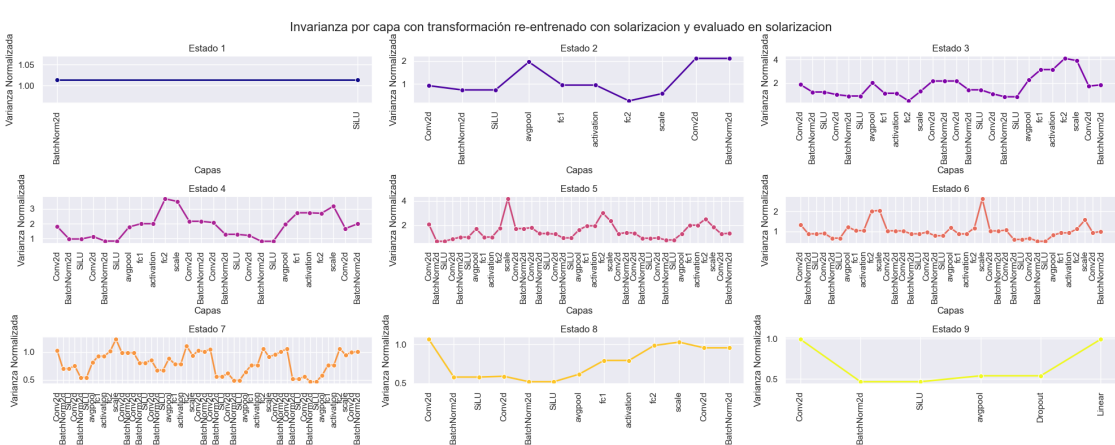
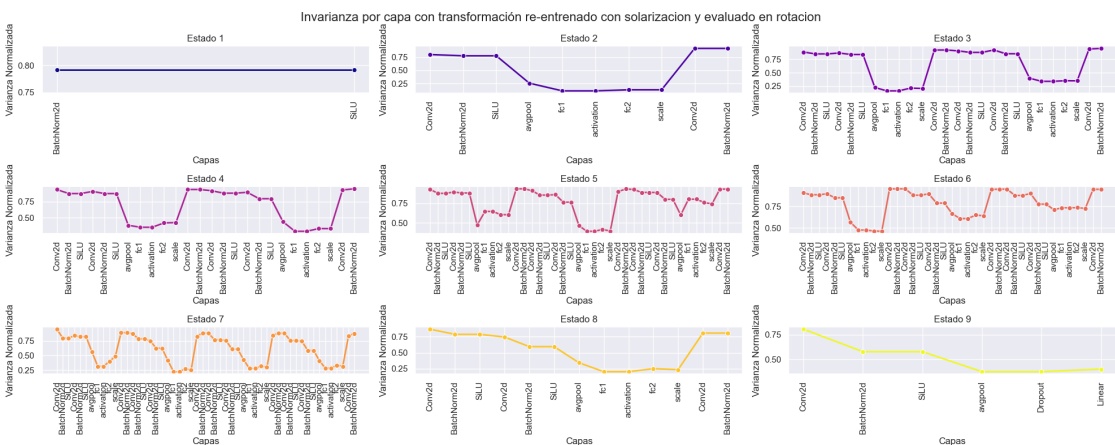
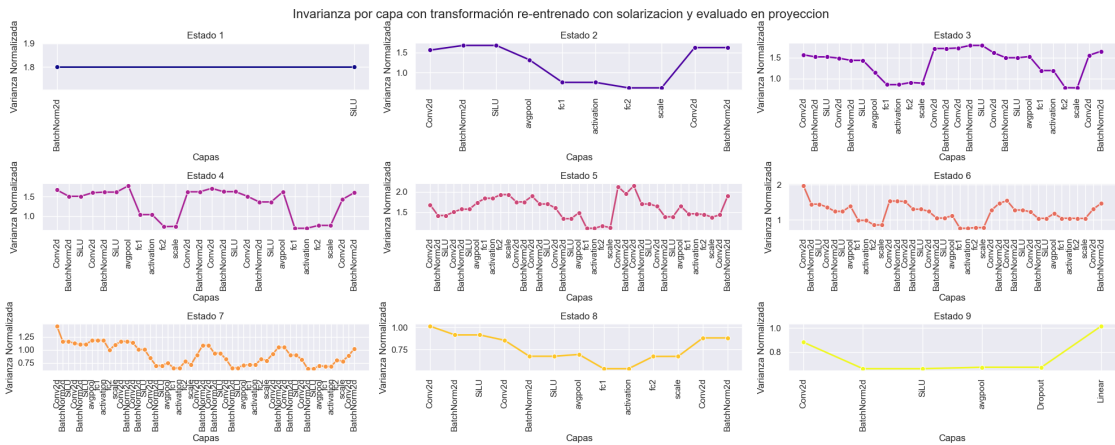


Figura 320: Arquitectura EfficientNetB0, entrenada con enfoque Transfer Learning y transformación Solarizacion, invarianza evaluada con Posterizacion



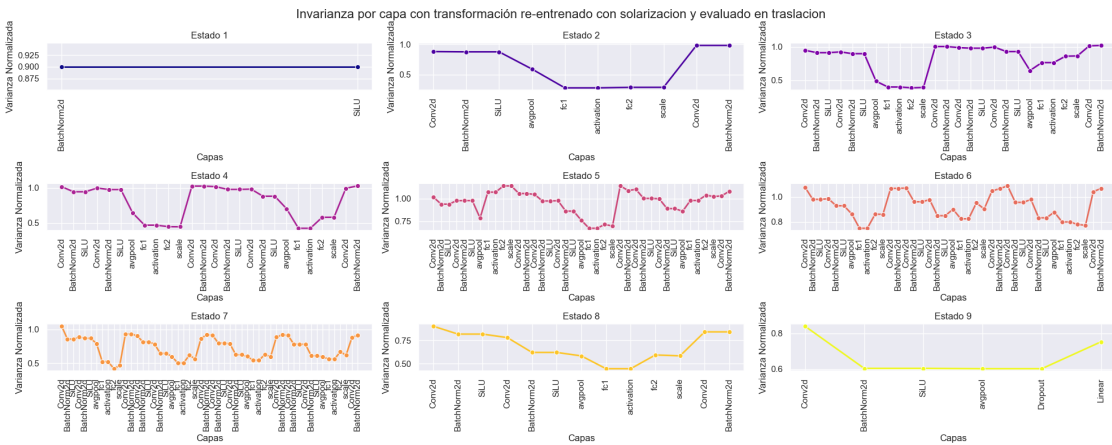


Figura 324: Arquitectura EfficientNetB0, entrenada con enfoque Transfer Learning y transformación Solarizacion, invarianza evaluada con Traslacion

Transformación de entrenamiento: Traslacion

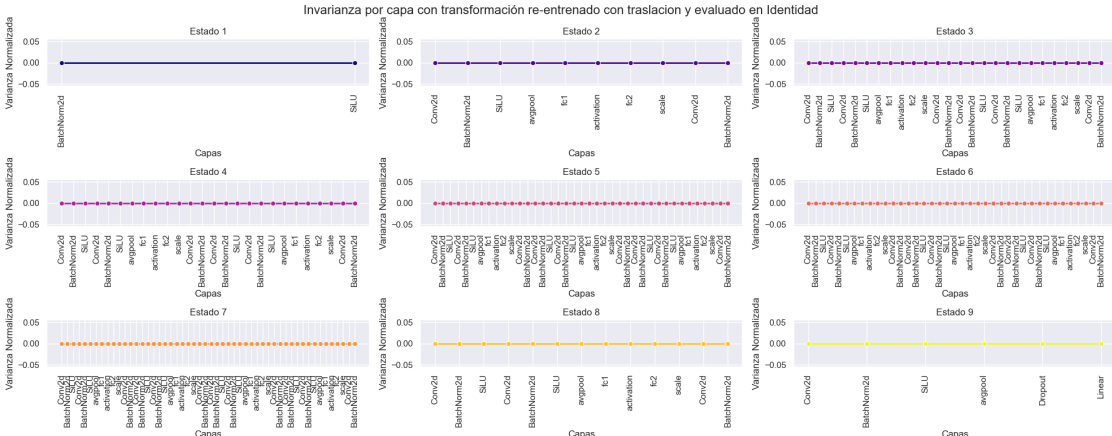


Figura 325: Arquitectura EfficientNetB0, entrenada con enfoque Transfer Learning y transformación Traslacion, invarianza evaluada con Identidad

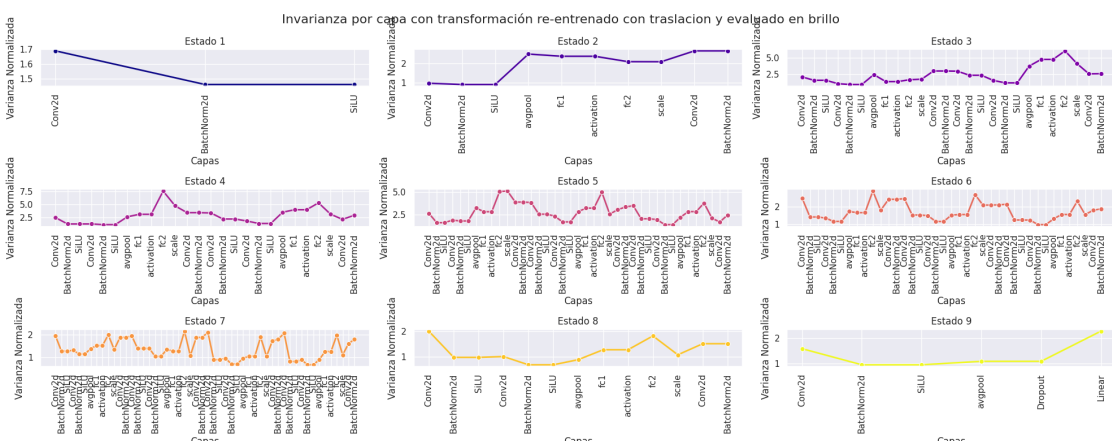


Figura 326: Arquitectura EfficientNetB0, entrenada con enfoque Transfer Learning y transformación Traslacion, invarianza evaluada con Brillo

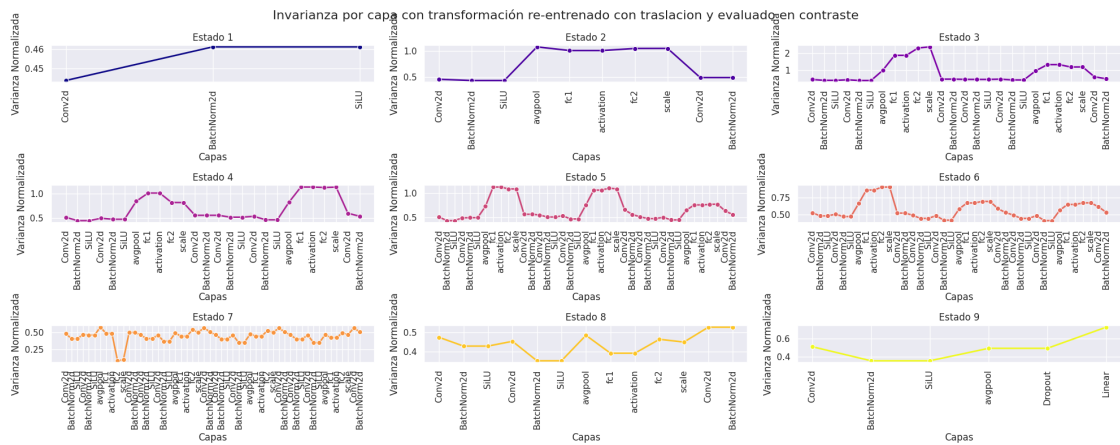


Figura 327: Arquitectura EfficientNetB0, entrenada con enfoque Transfer Learning y transformación Traslacion, invarianza evaluada con Contraste

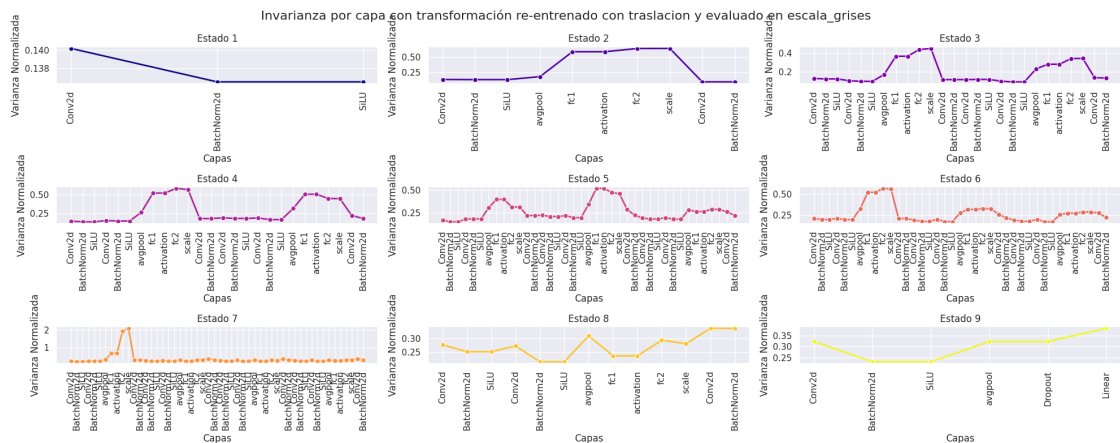


Figura 328: Arquitectura EfficientNetB0, entrenada con enfoque Transfer Learning y transformación Traslacion, invarianza evaluada con escala de grises

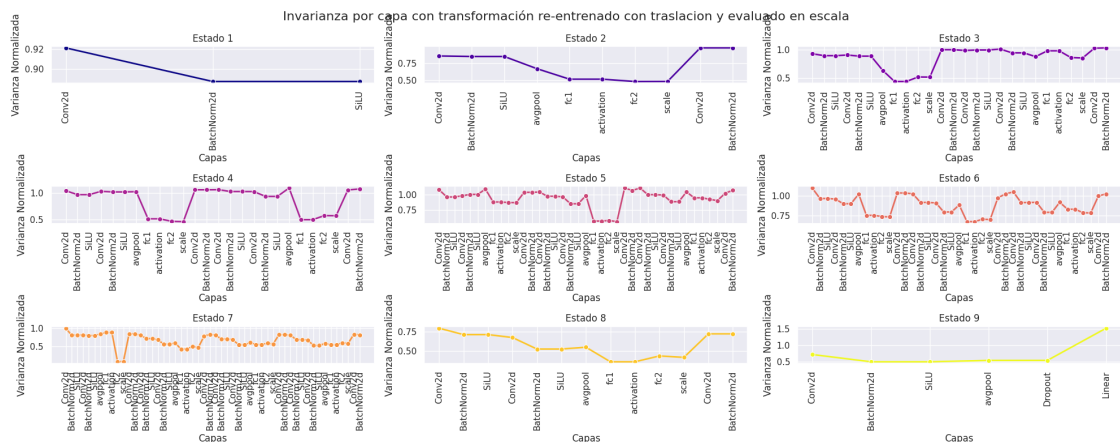


Figura 329: Arquitectura EfficientNetB0, entrenada con enfoque Transfer Learning y transformación Traslacion, invarianza evaluada con Escala

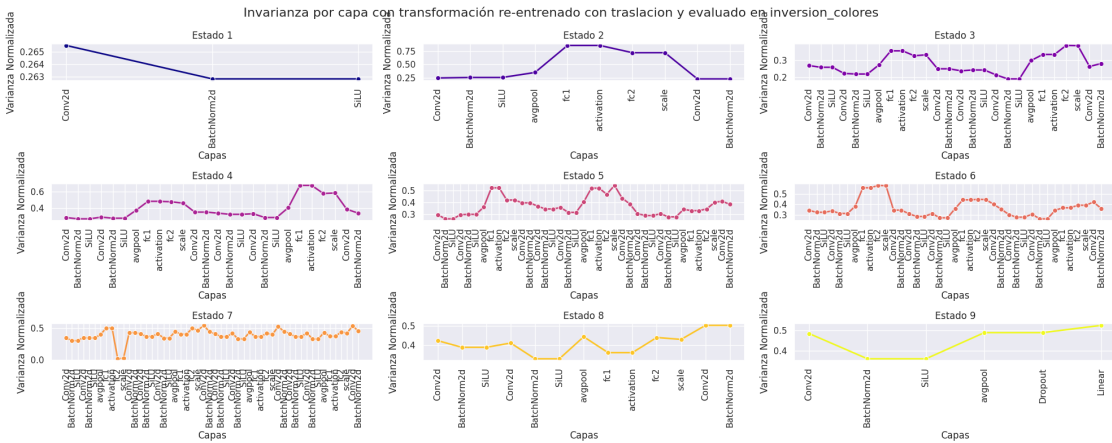


Figura 330: Arquitectura EfficientNetB0, entrenada con enfoque Transfer Learning y transformación Traslacion, invarianza evaluada con inversion_colores

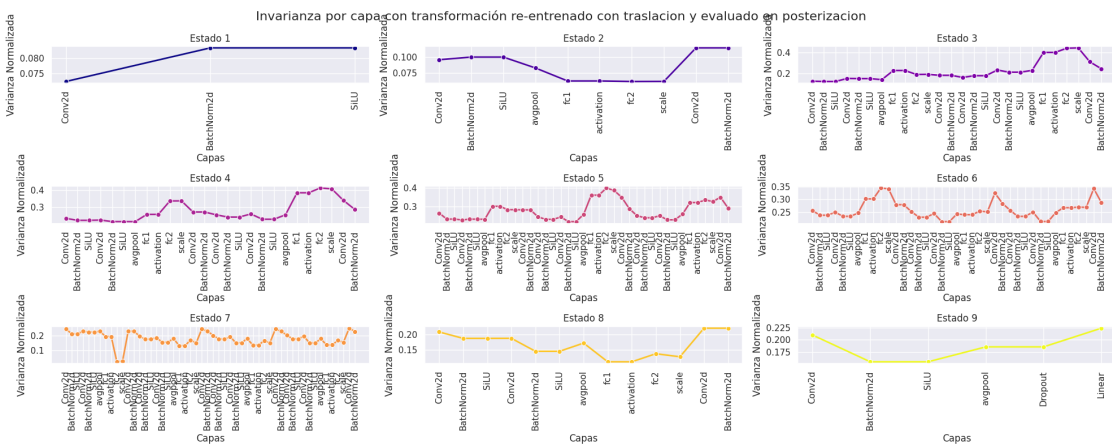


Figura 331: Arquitectura EfficientNetB0, entrenada con enfoque Transfer Learning y transformación Traslacion, invarianza evaluada con Posterizacion

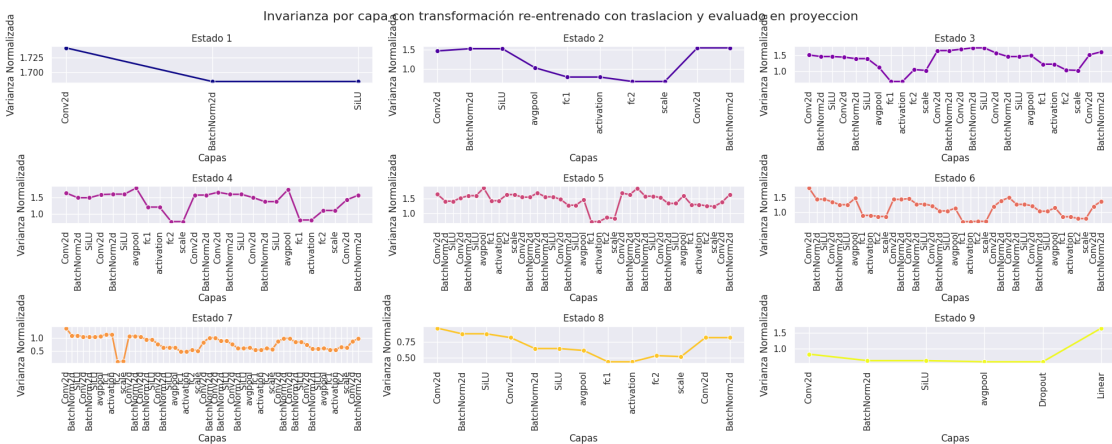


Figura 332: Arquitectura EfficientNetB0, entrenada con enfoque Transfer Learning y transformación Traslacion, invarianza evaluada con Proyeccion

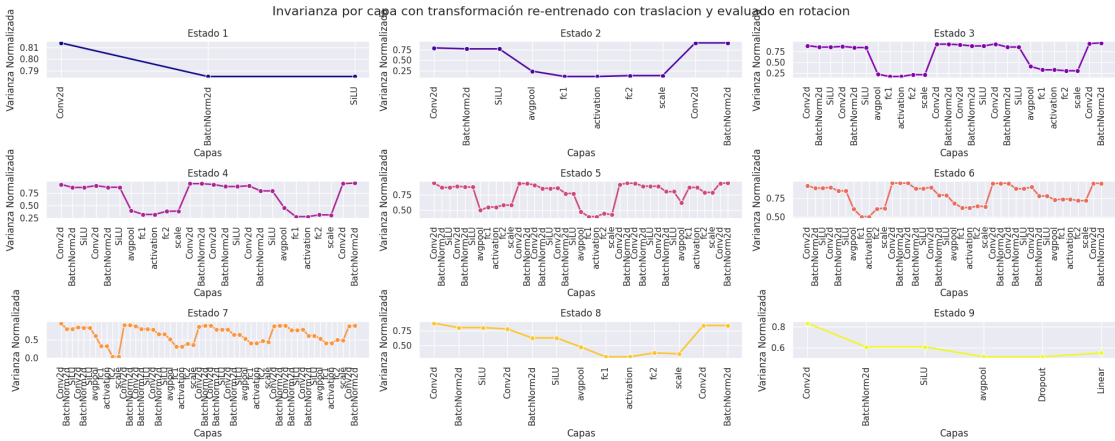


Figura 333: Arquitectura EfficientNetB0, entrenada con enfoque Transfer Learning y transformación Traslacion, invarianza evaluada con Rotacion

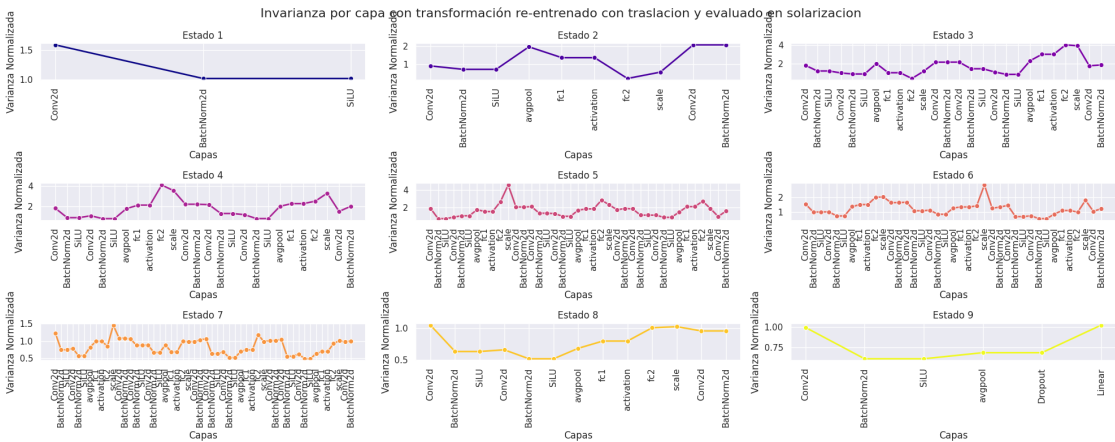


Figura 334: Arquitectura EfficientNetB0, entrenada con enfoque Transfer Learning y transformación Traslacion, invarianza evaluada con Solarizacion

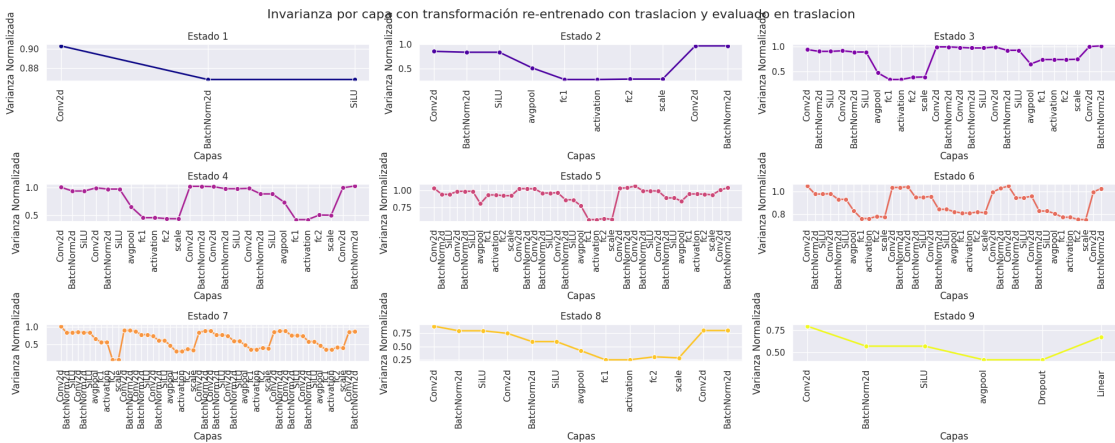


Figura 335: Arquitectura EfficientNetB0, entrenada con enfoque Transfer Learning y transformación Traslacion, invarianza evaluada con Traslacion